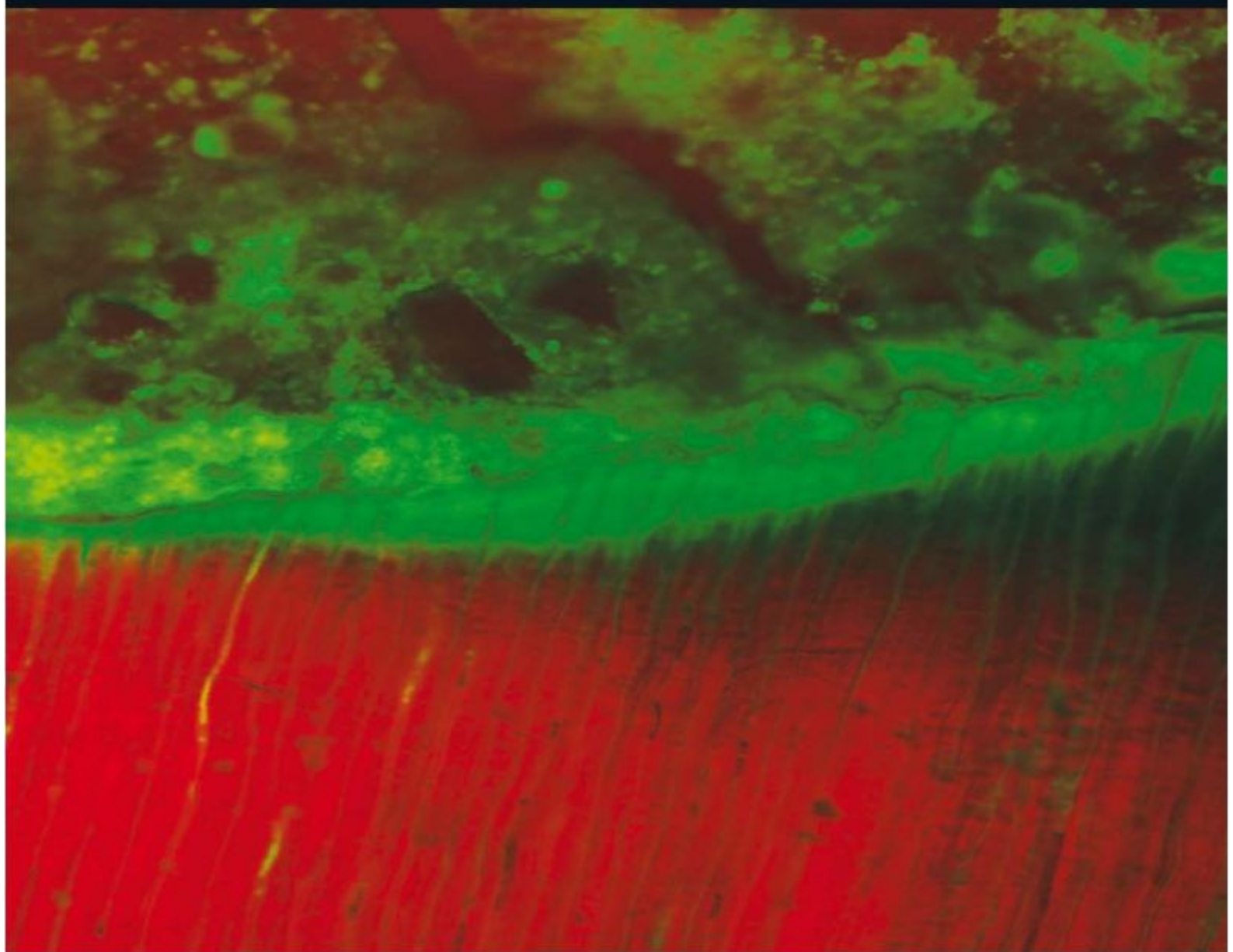




SOCIEDAD ARGENTINA DE INVESTIGACIÓN ODONTOLÓGICA

DIVISIÓN ARGENTINA DE LA INTERNATIONAL ASSOCIATION FOR DENTAL RESEARCH



XLIII Reunión Anual

7, 8 y 9 de Octubre de 2010 - Los Cocos - Córdoba

Colgate Duraphat®

Indicado para el control y tratamiento no invasivo de caries dentales y el alivio de la sensibilidad dentinaria

Barniz de Fluoruro de Sodio al 5% (22,600 ppm flúor).



RINDE HASTA
MÁS DE 20
APLICACIONES



Colgate

Marca recomendada por odontólogos



SOCIEDAD ARGENTINA DE INVESTIGACIÓN ODONTOLÓGICA
DIVISIÓN ARGENTINA DE LA INTERNATIONAL ASSOCIATION FOR DENTAL RESEARCH

XLIII REUNIÓN ANUAL

COMISIÓN DIRECTIVA

PRESIDENTE:	<i>Mirta SPADILIERO de LUTRI</i>
PRESIDENTE ELECTO:	<i>Patricia MANDALUNIS</i>
PRESIDENTE SALIENTE:	<i>Aldo SQUASSI</i>
SECRETARIA:	<i>Raquel GALLARÁ</i>
PROSECRETARIO:	<i>Sebastián FONTANA</i>
TESORERO:	<i>Ana Isabel AZCURRA</i>
PROTESORERO:	<i>Rosana MORELATTO</i>
VOCALES:	<i>Alicia MALBERTI</i> <i>Luis Mario PLAVNIK</i> <i>Marisa MANDOZZI</i>
ASESOR CIENTÍFICO:	<i>Rómulo L. CABRINI</i>
RELACIONES INTERNACIONALES:	<i>Andrea KAPLAN</i>



SOCIEDAD ARGENTINA DE INVESTIGACIÓN ODONTOLÓGICA
DIVISIÓN ARGENTINA DE LA INTERNATIONAL ASSOCIATION FOR DENTAL RESEARCH

XLIII REUNIÓN ANUAL

ÓRGANO DE FISCALIZACIÓN

MIEMBROS TITULARES

Aníbal COBANERA

Ángela ARGENTIERI

Raquel DOÑO

MIEMBROS TITULARES

Ana María MORASSO

Silvina CORTESE

Daniel OLMEDO

TRIBUNAL DE HONOR

Noemí BORDONI

Ricardo MACCHI

María Beatriz GUGLIELMOTTI



SOCIEDAD ARGENTINA DE INVESTIGACIÓN ODONTOLÓGICA
DIVISIÓN ARGENTINA DE LA INTERNATIONAL ASSOCIATION FOR DENTAL RESEARCH

XLIII REUNIÓN ANUAL

DELEGADOS PROVINCIALES

LA PLATA

Pablo MANCUSO

TUCUMÁN

Sofía TORRES

Juan GARAT

Susana ROMERO

MENDOZA

María de los Ángeles GIAQUINTA

Graciela PEÑA

CORRIENTES

María Mercedes GONZÁLEZ

ROSARIO

Rodolfo STEEMAN (H)

BUENOS AIRES

Daniel OLMEDO

María Emilia IGLESIAS

Luciana D'ERAMO



SOCIEDAD ARGENTINA DE INVESTIGACIÓN ODONTOLÓGICA
DIVISIÓN ARGENTINA DE LA INTERNATIONAL ASSOCIATION FOR DENTAL RESEARCH

XLIII REUNIÓN ANUAL

COMISIÓN DE APOYO A LA COMISIÓN DIRECTIVA

Mario SEZÍN

Carlos ROZAS

Marina ROCAMUNDI

Luis OLMEDO

Elena HILAS



SOCIEDAD ARGENTINA DE INVESTIGACIÓN ODONTOLÓGICA
DIVISIÓN ARGENTINA DE LA INTERNATIONAL ASSOCIATION FOR DENTAL RESEARCH

XLIII REUNIÓN ANUAL

AUSPICIOS Y ADHESIONES

La Comisión Directiva de la Sociedad Argentina de Investigación Odontológica agradece los auspicios y adhesiones brindados para esta Reunión a:

Facultad de Odontología de la Univ . Nac. de Cordoba
Facultad de Odontología de la Univ . Nac. de Buenos Aires
Facultad de Odontología de la Univ . Nac. del Nordeste
Facultad de Odontología de la Univ . Nac. de Rosario
Facultad de Odontología de la Univ . Nac. de Tucumán
Facultad de Odontología de la Univ . Nac. de Mendoza
Facultad de Odontología de la Univ . Nac. de La Plata
Asociación Argentina de Osteología y Metabolismo Mineral



SOCIEDAD ARGENTINA DE INVESTIGACIÓN ODONTOLÓGICA
DIVISIÓN ARGENTINA DE LA INTERNATIONAL ASSOCIATION FOR DENTAL RESEARCH

XLIII REUNIÓN ANUAL

AGRADECIMIENTOS

La Comisión Directiva de la Sociedad Argentina de Investigación Odontológica agradece el aporte brindado por:

Dra. Andrea Kaplan, por el curso dictado en la Ciudad de Mendoza

Dr. Rui Operman, Dr. Carlos Mas y Dr. Julio Di Rienzo por el dictado de las conferencias de la XLIII Reunión

Lic. Dino Brocanelli por la confección de la página Web

Colgate Palmolive

Agencia Córdoba Turismo

Centro SBZ

Dental S.D.

Grimberg Dentales

Juan Novacek

Omar Dental

Fundación Creo

Fundación Independencia

Secretaría de Ciencia y Tecnología de la Univ. Nac. de Córdoba

FONCyT

Sra. Gloria de Tumilasci

Dr. Esteban Funosas



SOCIEDAD ARGENTINA DE INVESTIGACIÓN ODONTOLÓGICA
DIVISIÓN ARGENTINA DE LA INTERNATIONAL ASSOCIATION FOR DENTAL RESEARCH

XLIII REUNIÓN ANUAL

***PROGRAMA
GENERAL***



SOCIEDAD ARGENTINA DE INVESTIGACIÓN ODONTOLÓGICA
DIVISIÓN ARGENTINA DE LA INTERNATIONAL ASSOCIATION FOR DENTAL RESEARCH

XLIII REUNIÓN ANUAL

PROGRAMACIÓN HORARIA

PRESENTACIONES ORALES

JUEVES 7 DE OCTUBRE
Tarde

SALA A

14.15 a 16 hs: Materiales Dentales

Presidente: Andrea Kaplan

**Secretario: Cecilia De
Caso**

14.15 a 14.30 hs

2- Capacidad de acondicionamiento de los tejidos dentales de diferentes tipos de adhesivos autocondicionantes

Gustavo Molina, Miguel Farah, Ignacio Mazzola, Laura Brain, Martin Farah, Cabral R*

14.30 a 14.45 hs

3- Penetración de flúor (F) y estroncio (Sr) en dentina afectada por caries desde restauraciones de ionómero vítreo

Molina GF*, Mazzola I, Brain Lascano L, Farah MA, Sainz Aja M, Cabral RJ

14.45 a 15 hs

4- Efecto de la humedad en la dentina blanqueada sobre la resistencia de unión en la técnica etanol bonding.

Garcia EJ*, De Vito Moraes AG, Mena Serrano A, Carrilho MR, Loguercio A, Grande RH

15 a 15.15 hs

5- Influencia de los sellantes de superficie sobre la microfiltración en restauraciones de composite

Brasca N, Urquía Morales C, *Girardi M, Ríos, A, Bonnin C

15.15 a 15.30 hs

6- Dureza superficial y profunda en resinas microhíbridas y nanopartículas

Rosino V, Olguín A, *Hernández JL

15.30 a 15.45 hs

7- Resistencia al corte de adhesivos autoacondicionantes

Cabral R*, Farah M, Farah MA, Zaya M, Brain L.

15.45 a 16 h

8- Estudio comparativo sobre la adaptación de cofias metálicas para porcelana, utilizando diferentes técnicas de elaboración

Sorbera JA*

**16.00 a
17.00 hs**

**Presidente:
Mariana Picca**

Secretario: Mario Sezín

16 a 16.15 hs

9- Esgurrimiento, resistencia flexural y módulo elástico de composites de baja consistencia.

Malaspina EN, Esmoris M, Cesteros RA, Iglesias ME*

16.15 a 16.30 hs

10- Estabilidad dimensional lineal de elastómeros para impresión en función del tiempo

Garrofé A*, Ferrari B, Picca M, Kaplan AE

16.30 a 16.45 hs

11- Comparación Clínica de Sistemas Adhesivos en Dentición Primaria

*Ortolani AM, Cortese S. G, Biondi AM

16.45 a 17 hs

12- Valoración del efecto del uso de un agente remineralizador sobre esmalte dental blanqueado

Tellez N*, Kaplan AE

17.00 a 17.15 hs

95- RELACIÓN ENTRE MORFOLOGÍA Y TIPO DE RELLENO CON LAS PROPIEDADES FLEXURALES DE COMPOSITES

Ramírez Molina R*, Kaplan AE.

SALA B

14.00 a 16.00 hs: Periodoncia e Implantes - Cirugía y Farmacología Clínica

Presidente: Esteban Funosas

Secretario: Gustavo Feser

14 a 14.15 hs

13- Citotoxicidad inducida por partículas de dióxido de titanio en macrófagos

Bruno M, Olmedo D, Cabrini R, Ferraro S, D'Atri P, Tasat D*

14.15 a 14.30 hs

14- Evaluación de parámetros clínicos post Terapia Basica implementada por estudiantes

Calafell C, Oviedo JC, García G, Tortolini P, Rubio S, Doro, Usin M, Musso G, Menso J, Moreno M, Esper ME

14.30 a 14.45 hs

15- Efecto de microgránulos de minociclina subgingival en sujetos con Periodontitis crónica
Chiappe V, Pecci A, Rodríguez C, Gómez M, Romanelli H.

14.45 a 15 hs

16- Evaluación clínica y microscópica de tratamientos periodontales no quirúrgicos combinados
Feser G*; Gulino M; Marí G; Soto A; Klass C; Ybarra O; Funosas E.

15 a 15.15 hs

17- Virus papiloma humano en mucosa bucal y su relación con el estado periodontal de mujeres con lesiones genitales sospechadas del mismo
Fuster Roselló L., Ribotta de Albera E. M., Cuffini C., Fuster Juan M.

15.15 a 15.30 hs

18- Estado periodontal en fumadores pasivos. Informe preliminar
Feser G*, Gulino M, Boccio I, Quintero A, Antuña V, Funosas E.

15.30 a 15.45 hs

19- Indicadores histológicos de corrosión en mucosa bucal asociada a implantes de titanio
*Olmedo DG, Paparella ML, Brandizzi D, Spielberg M, Cabrini RL.

16.00 a 17.30 hs: Cariología, Epidemiología y Salud Pública – SALA B

Presidente: Aldo Squassi

Secretario: Ana Morasso

16 a 16.15 hs

20- Diagnóstico Clínico y Microbiológico en Escolares de Poblaciones Excluidas. Departamento de Yavi, Jujuy
Alavar M, Juárez D, Cruz S, Santana M, Ferro M, Gutiérrez S, Delgado AM

16.15 a 16.30 hs

21- Percepciones acerca de la salud bucal en comunidades originarias de la provincia de Jujuy
Suayter I, Peñaloza M, Alavar M*, Cruz S, Delgado AM.

16.30 a 16.45 hs

22- Estado bucal, variables demográficas y de estilo de vida en niños/as en el primer ciclo de escolaridad
Gonzalez A; Rossi G; Toral M*; Klemonsks G; Bordoni N; Piovano S.

16.45 a 17 hs

23- Percepción de padres/madres medida por la escala de impacto de la salud bucal (ECOHIS) y el estado dentario en preescolares.
*Bordoni N, Haro M, Cilleros , Piovano S

17 a 17.15 hs

24- Efecto de dos programas de atención sobre la salud bucal de niños preescolares de zonas rurales
*Capuano C., Masoli C, Fernandez C, Rossi G, Lombardo

17.15 a 17.30 hs

279- MODELO EVALUATIVO DE LA ATENCIÓN ODONTOLÓGICA. DISEÑO Y TRADUCCIÓN PARA LA TOMA DE DECISIONES.

Mulbany P, Bordoni N*.

SALA SUM

14.00 a 16.00 hs: Microbiología e Inmunología

Presidente: Susana Gutiérrez

Secretario: Susana Molgatini

14 a 14.15 hs

26- Cambios bioquímicos y ultraestructurales de levaduras e hifas de *C. albicans* tratadas con clorhexidina y nistatina

*Barembaum SR, Calamari SE, Azcurra AI, Maldonado C, Coronel CE2.

14.15 a 14.30 hs

27- Cumplimiento del protocolo de recuperación del instrumental por los odontólogos de la Ciudad de Buenos Aires.

Brusca MI*, Levin BC, Tejerina DP, Molgatini SL

14.30 a 14.45 hs

28- Confirmación del pasaje del virus Herpes simplex-1 (HSV-1) a través de los plexos coroideos.

*González MI1, Sanjuan. N2.

14.45 a 15 hs

29- Efecto de sustancias antimicrobianas sobre la microbiota presente en pericoronaritis

Gutiérrez S*, Cajal J C, Budeguer A N, González M, Morales Abújder M, Ferro M, Chelala M

15 a 15.15 hs

30- Actividad de fosfolipasa y proteinasa de *C. dubliniensis* en mucosa bucal de pacientes con y sin VIH/SIDA.

*Jewtuchowicz VM, Levin BC, Cuesta A., Molgatini SL

15.15 a 15.30 hs

31- Elaboración de Indicadores Biológicos de esterilización para calor seco con esporas de *Bacillus subtilis*.

*Kummer M.C., Granillo B. A.

15.30 a 15.45 hs

32- Actividad enzimática en cepas de *Candida albicans* de niños con riesgo cariogénico

*Levin BC, Jewtuchowicz VM, Gliosca L, Bozza FL, González MI, Lamas S, Turcot L, Molgatini SL

15.45 a 16 hs

33- Determinación de IL-1 β en fluido gingival (FG) y sangre periférica (SV) en pacientes con periodontitis crónica

*Olmedo LA, Atala J, Ocampo M, Gimenez E, Riera C

16.00 A 16.15 hs

144- ANALISIS DE LA SALUD DENTAL EN RELACION AL CONSUMO DE ALIMENTOS CARIOGÉNICOS Y SUCEPTIBILIDAD A CARIES EN NIÑOS Y ADOLESCENTES.

Olmedo L*, Breganis L, Escandriolo Nackauzi J, Sorbera Ferrer L, Arriaga A, Gómez de Ferraris ME

16 15 a 16 30 hs

244- Evaluación “in vitro” de diferentes antisépticos químicos para conos de gutta-percha infectados con *Enterococo faecalis*.

Lenarduzzi A, Buldo M*, Mohn C, Elverdin J, Rodriguez P

PRESENTACIONES ORALES

VIERNES 8 DE OCTUBRE

Mañana

SALA SUM

9.00 a 11.15 hs: Patología Clínica, Anatomía Patológica y Radiología

Presidente: Liliana Missana

Secretario: Rosana Morelatto

9 a 9.15 hs

34- VALORACIÓN DE LA HALIMETRIA EN RELACIÓN A LA PCR EN EL DIAGNÓSTICO DEL HELI-

COBACTER PYLORI EN LOS CUADROS CLÍNICOS DE ARDOR, HALITOSIS E

HIPERTROFIA PAPILAR

LINGUAL.

Denninghoff V, Muiño A, dos Santos M, Muiño JM, Marigo Klein LM, Aguas S, García A Avagnina A, Adler I*.

9.15 a 9.30

35- Efecto de la terapia por captura neutrónica en boro (BNCT) SOBRE LA microvasculatura tumoral en la bolsa de la mejilla del hámster

Aromando RF*, Trivillín VA, Heber EM, Molinari A, Kreimann E, Schwint AE, Itoiz ME.

9.30 a 9.45 hs

36- Alteraciones del hueso maxilar en pacientes oncológicos con metástasis en el esqueleto

Brandizzi D*, Paparella ML, Castillo J, Tamburelli M, Pérez Moreno L, Bas CA, Gómez Abuin G, Santini Araujo E, Cabrini RL.

9.45 a 10 hs

37- Metástasis linfonodal de cáncer oral: implicaciones clínicas de la expresión del factor C de crecimiento endotelial vascular por las células malignas

Faustino SES, Santos MJD, *Bravo DMC, Nonogaki S, Landman G, Kowalski LP, Oliveira DT

10 a 10.15 hs

38- Estudio cuantitativo de la magnificación vertical en la radiografía panorámica por la variación posicional

Martínez ME, Martínez BAM, Bosqued RP, *Ditter ER, Bruno IGB

10.15 a 10.30 hs

39- Antígeno prostático específico (APE) en suero de pacientes portadores de tumores de glándulas saliva

*Escandriolo Nackauzi J, Colla R, Ruggieri M, Gaido I, Bertolotto P, Actis A.

10.30 a 10.45 hs

40- Expresión de Podoplanina en tumores odontogénicos epiteliales

*Tjioe KC, Oliveira DT, Caetano AS, Soares CT, Belone AFF, Damante JH.

10.45 a 11 hs

41- Mortalidad y sobrevida de 89 pacientes con Carcinoma de Células Escamosas de localización bucal de un servicio de Córdoba, Argentina

* Bolesina N, Morelatto R, Belardinelli P, Blanc F, Guzman Mentasana G, Fernández E, Herrera G, López SA

11 a 11.15 hs

42- Disfunciones témporomandibulares e impedancia acústica

*Giambartolomei, L. A.; Azcona, S. R. ; Bosco, A. R.; Brunoto, M.

11.15 a 11.30 hs

280- POSIBLE ROL DE LOS MASTOCITOS EN LA INDUCCIÓN DE ANGIOGENESIS EN LA CARCINOGENESIS BUCAL EXPERIMENTAL

Aromando RF*, Pérez MA, Heber EM, Trivillín VA, Schwint AE, Itoiz ME

SALA A

9.00 a 9.45 hs: Educación Odontológica

Presidente: Ricardo Macchi

Secretario: Elena Hilas

9 a 9.15 hs

43- Valoración de los alumnos frente a una propuesta innovadora en la enseñanza de los materiales dentales

Picca M, Iglesias ME*

9.15 a 9.30 hs

44- Práctica social curricular. Percepción de los participantes

Masoli C*, Fernandez C, Furci N, Toral M, Capuano C, Piovano S

9.30 a 9.45 hs

45- Análisis de las discrepancias en el manejo de criterios específicos de Odontología Preventiva y Comunitaria en la Carrera de Odontología

Pedemonte Z*, Alvaredo G, Guz P, Negrini F, Probe C

10.00 a 12.00 hs: Cariología, Epidemiología y Salud Pública

Presidente: Ana María Delgado

Secretario: Susana Cornejo

10 a 10.15 hs

46- Caries de la infancia temprana y su relación con la demanda de atención odontológica, la percepción de salud bucal y los condicionantes socio-económicos en preescolares del Gran Mendoza. Resultados preliminares.

*Fernandez CI, Cambria Ronda S, Vuoto E, Borjas MI, Squassi A

10.15 a 10.30 hs

47- Prevalencia de Hipomineralización Molar Incisiva en la Ciudad Autónoma de Buenos Aires

Biondi AM, Cortese SG, Ortolani AM, Ienco M; Paván V, Mendel N, Sebelli P,

Bertolino M, Martínez, K*, Hecht P

10.30 a 10.45 hs

48- Valoración de la incapacidad dentaria en pacientes psiquiátricos en proceso de desinstitutionalización

Morasso, A. M.*, Maldonado, M., Pozzo, C., Cobanera, A.

10.45 a 11 hs

49- Efecto del Fluoruro Diamino de plata sobre la adhesión de ionómero Vítreo a dentina

Arapé N, Picca M, Squassi A, Kaplan AE

11 a 11.15 hs

50- Efecto de dos programas de educación para la salud en niños escolares

Ramos L, Needleman M, Sorazabal A, Rama A, Capuano C

11.15 a 11.30 hs

51- Impacto del tratamiento odontológico sobre la percepción de la calidad de vida en pacientes VIH+.

Sánchez G*, D'Eramo L, Medici S, Bordoni N, Squassi A.

11.30 a 11.45 hs

52- Salud general y necesidad de tratamiento odontológico en personas que viven con VIH y SIDA

Squassi A*, D'Eramo L, Lecumberri R, Rolón MJ, Sánchez G.

11.45 a 12.00

25- ASOCIACIÓN ENTRE CORTISOL Y ALFA AMILASA SALIVAL, SALUD BUCAL, ALIMENTACIÓN, APTITUDES COGNITIVAS Y ESTRÉS

*Carranza M, Viramonte M, Bregains L, Arriaga A, Sorbera L, Gómez de Ferraris

SALA B

9.00 a 10.15 hs: Fisiología, Farmacología, Bioquímica y Biofísica

Presidente: Carlos Bozzini

Secretario: Marcelo Mazzeo

9 a 9.15 hs

53- Caracterización de la Ca-ATPasa de retículo sarcoplásmico de músculo temporal.

Di Croce D*, Casadoumeq AC, Quiroz GO, Sánchez G, Takara D.

9.15 a 9.30 hs

54- Impacto de la recuperación de la insuficiencia de vitamina D, utilizando 100 y 200 UI diarias de vitamina D2 o vitamina D3, sobre el hueso mandibular. Estudio experimental

*Gonzales Chaves M., Marotte C1,3,, Pellegrini G, Mandalunis P2, Friedman S1, Zeni S

9.30 a 9.45 hs

55- Alteraciones de la concentración de glucógeno y α - amilasa salival en glándula parótida de ratas Wistar por efecto de 5-FU y LV cálcica

Mazzeo MA*, Bachmeier E, López M, Wietz F, Linares J, Finkelberg AB.

9.45 a 10 hs

56- La Lidocaína modula la actividad de la proteína quinasa C en forma concentración dependiente en los fibroblastos de gíngiva humana

Emmanuel Quinteros Villarruel, Enri Borda, Leonor Sterin-Borda, *Betina Orman

10 a 10.15 hs

57- Modelo de biodisponibilidad de ciprofloxacina en maxilares de ratas.

Ruth Ferreyra de Prato y *Ada Quinteros, Maria E Olivera

PRESENTACIONES ORALES

VIERNES 8 DE OCTUBRE

Tarde

SALA SUM

14.30 a 15.45 hs: Patología Clínica, Anatomía Patológica y Radiología

Presidente: Isabel Adler

Secretario: Marina Rocamundi

14.30 a 14.45 hs

58- Aplicación Local de Parathormona Recombinante sobre Defectos Óseos Críticos

Jammal M V*, Pastorino N F, Abate C M, Missana L R.

14.45 a 15 hs

59- Caracterización clínica e histopatológica del cáncer de encía: estudio comparativo de 115 casos.

Labbrozzi M *; Gandolfo M., Giacco C., Werner L. Calvo C. Ozvatic B., Cabrera I., Velazco M., Lanfranchi H

15 a 15.15 hs

60- BNCT en el modelo de cancer bucal en hamster: potenciación de la eficacia terapéutica mediante la normalización de vasos sanguíneos

*Molinari AJ, Pozzi ECC, Monti Hughes A, Heber EM, Garabalino MA. Thorp SI, Miller.

15.15 a 15.30 hs

61- Los Autoanticuerpos Anti-receptor M3 de pacientes con Síndrome de Sjögren Primario Disparan la Producción de MMP-3 y de PGE2 en las Glándulas Submaxilares de Rata

*Silvia Reina, Leonor Sterin-Borda, Enri Borda

15.30 a 15.45 hs

62- Función endotelial y enfermedad periodontal (estudio FEEP). Estudio preliminar

*Rubio MC, Lewin P, De la Cruz G, Sarudiansky A, Nieto M, Costa O, Nicolosi L.

SALA A

14.30 a 17.00 hs: Anatomía e Histología

Presidente: María Elsa Gómez de Ferraris Secretario: Luis Plavnik

14.30 a 14.45 hs

63- Cambios histológicos en los vasos de la pulpa dental humana durante su ciclo vital

Boiero CF*, Gani O

14.45 a 15 hs

64- Localización del citoesqueleto de actina en la red osteocitaria del hueso alveolar en cortes descalcificados

Bozal C*, Sanchez L, Lacave M, Ubios A

15 a 15.15 hs

65- Interneuronas GABAérgicas en el subnúcleo caudal del trigemino luego de una lesion pulpar unilateral

Canzobre MC*, Ríos H

15.15 a 15.30 hs

66- Reclutamiento de osteoclastos en mandíbula de rata como respuesta a una dieta aterogénica.

Gubert M, Gómez Echarren MP, Bruno G, Monforte F, Caló C, Nuñez F, Lylyk P, Gamba C, Friedman SM, Mandalunis P, Gamba CA*.

15.30 a 15.45 hs

67- Efectos de la deficiencia de estrogénos sobre la expresión de esclerostina en los osteocitos del hueso alveolar en el periodo preosteopénico

Sánchez LM*, Bozal CB, Lewicki M, Ubios AM

15.45 a 16 hs

68- Nueva clasificación de formas coronarias del incisivo central superior

*Senn LF; Lazos JP; Brunotto MN.

16 a 16.15 hs

69- Estandarización de piezas dentarias anteriores incompletamente formadas de un modelo animal

de la Vega, M.C., Luppi L., Gerometta R., Ferreyra S.

16.15 a 16.30 hs

70- Frecuencia de Doble Conductos en Raíces Mesiales de Primeros Molares Superiores.

Gani O., Visvisián C., de Caso C

16.30 a 16.45 hs

71- Evaluación histológica cualitativa de la respuesta pulpar al diamino fluoruro de plata en animales experimentales: Estudio Preliminar

Rossi G*, Mandalunis PM, Squassi A

PRESENTACIONES POSTERS

VIERNES 8 DE OCTUBRE

Mañana

9.00 a 10.30 hs: Materiales Dentales y Ortodoncia

Veedores: Andrea Kaplan, Carlos Rozas, Nora Brasca, P Pelosi

1- Acción de agentes antisépticos sobre la microflora de conductos radiculares con ápice inmaduro.

Evjanian G*, Gani O, Visvisián C

72- Valoración de las Fuerzas Generadas por la Instrumentación Endodontica

Gioino G*, Gani O

73- Influencia de la Edad sobre la Dureza Dentinaria

Gioino G*, Gani O

74- Efecto de diferentes operadores en la radiopacidad de cementos de ionómero de vidrio

Sarmiento V*; Moreira Barros I, Prado LZ, Borges JCR, Lima AA, Pereira, LCG.

75- Evaluación de la solubilidad y absorción de cementos de ionómero de vidrio frente a diferentes técnicas de inserción.

Alves LD*, Mendes FCM, Mendonça CBF, Santos PS, Lima AA, Pereira LCG.

76- Análisis De Diferentes Sistemas Adhesivos Sobre Estructuras Cerámicas Basadas En Disilicato De Litio y Circonio

Arias S*, Jordan S, Paz A, Abel V, Español C.

77- Estudio De Las Interfaces Producidas Entre Los Postes De Fibra De Vidrio Y La Estructura Dentaria Mediante Diferentes Medios De Cementación

Arias S- Azzarri MJ- Jordán S

78- Trabajo preliminar sobre comparación entre la relación que guarda el plano de oclusión y el plano de Camper en pacientes dentados y desdentados totales

Atala J*, Ocampo M, Rico R, Gimenez E

79- Remineralización del esmalte dental desmineralizado artificialmente

Cano V*, Edelberg M, Gianna V

80- Rehabilitación de dientes tratados endodónticamente con pernos colados y coronas metalo cerámicas.

Isla C, *Correa D, Goubat A, Bustos S, Lopez Sivilat F, Di Baja F, Panero M, Simonian M, Filsinger A.

81- Liberación de clorhexidina desde sustratos de Ti-poliacrilato en cultivos de osteoblastos: influencia de la concentración de clorhexidina sobre la actividad celular.

Cortizo MC*, Oberti TG, Cortizo MS, Fernández Lorenzo M, Cortizo AM

82- Evaluación in vitro de la filtración coronaria empleando dos materiales de obturación provisoria

*Cheein E, Erimbaue M, Galván L, Hero F, Bulacio MA

83- Terapia pulpar vital con MTA (ProRoot) en dientes permanentes jóvenes

Ferreira S, Doliani M, *Díaz S

84- Influencia de diferentes técnicas de inserción en la radiopacidad de cementos de ionómero de vidrio

*Prado LZ, Moreira Barros I, Borges JCR, Sarmiento V, Lima AA, Pereira, LCG

85- Cementado De Postes De Fibra De Vidrio Con Sistemas Autoacondicionantes

Españon C*, Arias S, Jordán S, Paz A, Abel V

86- Modelo experimental en ratas de dos sustitutos óseos: sintético y liofilizado humano. Prueba piloto

Aguirre L, *Finten S, Vallejos A., Fernández V.

87- Efecto de la concentración del peróxido de hidrogeno y la fuente de activación en el clareamiento dental

Neves RG*, Vieira ACG, Neves RG, Ribeiro LCS, Teixeira GM, Pereira, LCG

88- Calibración de dos observadores para evaluar restauraciones en una investigación clínica. Aplicación del índice de concordancia de Kappa

Ruiz Diaz de Centeno, E; *Hidalgo, JC; Quiroz, M; Juarez, R

89- Interface de unión a las paredes de preparaciones por fisurotomía de resinas fluídas y de un cemento de ionómero de vidrio fotopolimerizable

Spadiliero de Lutri M, Lutri P*, Rozas C, Sezin M. Priotto E, Uribe Echevarría J

90- Interface de unión a las paredes cavitarias de preparaciones oclusales de cementos de ionómeros vítreos fotopolimerizables con diferente activación del sustrato

Sezin M, Piconi C, Lutri P*, Monserrat N, Spadiliero de Lutri M, Uribe Echevarría J.

91- Interface de unión a las paredes de preparaciones oclusales de cementos de ionómeros de vidrio convencionales para obturación

Sezin M, Mirotti G*, Rozas C, Kraemer E, Spadilero de Lutri M, Uribe Echevarría J.

92- Análisis De Las Descalcificaciones Y Remineralizaciones Adamantinas Durante Los Tratamientos Ortodóncicos

Paz A*, Arias S, Raguso M, Brewer V

93- Análisis De La Penetración De Un Colorante En El Sistema Poste De Fibra - Material Reconstructor De Muñones Dentarios

Paz A*, Arias S, Abel V, Jordán S, Españañ C

94- Comparación clínica de la longevidad entre resinas compuestas en restauraciones proximales

Quiroz María*, Ruiz Dias de Centeno Elena, Juarez Rolando

95- Relación entre morfología y tipo de relleno con las propiedades flexurales de composites

*Robert A Ramirez Molina, Andrea E Kaplan

96- Efecto de los medios de polimerización y del color en la dureza superficial de las resinas de nanotecnología

*Rosino V, Olguín A, Hernández JL

97- Efecto del pH sobre la liberación controlada de calcio y yodo de un biomaterial de obturación endodóntica de tercera generación. Estudio Preliminar.

Sabaté RE*, Sánchez GA, Fernández Monjes J, Maresca BM

98- Estudio experimental comparativo “in vitro” entre terminaciones periféricas recto y chanfer profundo para coronas cerámicas puras mecanizadas

Peralta, G.; *Spaccesi, J.

99- Evaluación de la adopción de implantes

Steeman R. (h)*;Lapalma, M.A.; Reynoso, A.C.

100- Estudio epidemiológico longitudinal para la caracterización de los motivos de consulta en prostodoncia

Steeman, R.(h) * Lapalma, M.A.; Reynoso, A.C.; Steeman F; Gómez A; Becerra A; Sica M; Ruiz G; Reviglione, M

101- Análisis epidemiológico de efectores odontológicos como fuentes de información secundaria.

Steeman, F.; Lapalma, M.A.; Sánchez, H.; Reviglione, M. Reynoso, A.C.

102- Alteraciones Superficiales En Cerámicas Dentales De Estratificación

Españañ C.; *Abel V.; Jordán S.; Arias S.; Paz A

103- Asociación entre tipo de hábito de succión no nutritiva practicado y relación oclusal

Iriquin MS*, Iriquin SM, Milat E, Rancich L, Rimoldi M, Mendes C, Oviedo Arévalo J.

104- Respiración bucal y deglución atípica: relación con la oclusión

Iriquin SM*, Milat E, Rancich L, Rimoldi M, Mendes C, Oviedo Arévalo J, Iriquin MS.

105- Análisis de los patrones de separaciones interdentarias en dentición temporaria.
Maria Cecilia Martínez *, Maria Elsa Gómez de Ferraris

106- Influencia de la edad de inicio de un hábito de succión no nutritiva en las relaciones oclusales
Mendes C*, Iriquin SM, Rimoldi M, Rancich L, Oviedo Arévalo J, Iriquin MS

107- Asociación entre tipo de hábito de succión no nutritiva practicado y presencia de disfunciones
Rancich L*, Iriquin SM, Rimoldi M, Mendes C, Oviedo Arévalo J, Iriquin MS.

108- Relación entre el tiempo de lactancia natural y los hábitos de succión no nutritiva
*Rimoldi, M.; Iriquin, S.M; Milat, E.;Mendes, C.; Rancich, L.; Oviedo Arévalo, J.; Iriquin, MS.

109- Prácticas habituales de succión no nutritiva y su relación socio cultural
Oviedo Arévalo J*, Iriquin SM, Milat E, Rancich L, Rimoldi M; Mendes C, Iriquin MS.

110- Efecto intrusivo de la barra transpalatina sobre los primeros molares superiores en pacientes en crecimiento. Estudio Preliminar.
Verdú S*, Alessandrello H, Sales P, Lerman A, Behr G, Caramelo P, Mateu ME.

282- ESTUDIO DE PACIENTES CON LA CONVEXIDAD FACIAL AUMENTADA EN EL SERVICIO DE ORTODONCIA DE LA FACULTAD DE ODONTOLOGÍA DE LA UNNE.
Collante de Benítez C, Lewintre de Borjas M, Latyn de Enz K*, Alarcón Laurenzana S.

283- MAYOR EXPANSIÓN TRANSVERSAL EN ORTODONCIA, UTILIZANDO BRACKETS AUTOLIGABLES.
Mateu, ME, Folco AA, Iglesias M, Gambardella L, Benítez Rogé S, Cabrese D, Lumi M, Pelizardi C, Sayago A.

284- MÉTODO DE EVALUACIÓN DE EXPANSIÓN TRANSVERSAL DE LAS ARCADAS EN TRATAMIENTOS ORTODÓNICOS. ESTUDIO COMPARATIVO.
Mateu ME, Folco AA, Benítez Rogé S*, Calabrese D, Iglesias M, Gambardella L, Sayago A, Pelizardi C.

9.00 a 10.30 hs: Anatomía e Histología

Veedores: Patricia Mandalunis, Ismael Rodríguez, Alicia Malberti

111- Evaluación histológica de dos selladores endodónticos en animales experimentales. Estudio Preliminar
Agüero Romero G*, Canzobre M, Kaplan AE, Mandalunis PM.

112- Predominio de la médula ósea amarilla en animales ovariectomizados y tratados con un bisfosfonato.
Ledesma PA, Lewicki M, Cabirta L, Escudero ND, Mandalunis PM.

113- Restricción proteica. Su efecto en la amelogénesis.
Bernasconi A, Garat J

114- Efecto del Olpadronato Monosódico en la periodontitis experimental de animales ovariectomizados
Cabirta ML*, Ledesma PA, Goya JA, Mandalunis PM.

115- Tumores odontogénicos: estudio retrospectivo de 803 casos
Lawall M.A., Barbosa B.A., Soubhia A.M.P., *Taveira L.A.A

116- Evaluación de células TRAP+ en ratas con periodontitis experimental tratadas localmente con olpadronato

J.A. Goya*, P.M. Mandalunis

117- Diferentes respuestas del cóndilo mandibular y de la tibia frente a la restricción dietaria

Martín A*, Meheris H, Pani M, Ruiz Holgado N, Lopez Miranda L, Rodriguez G, Aybar Odstrcil A, Garat J

118- Respuesta ósea alveolar en un modelo de intoxicación con plomo.

Mitre P*, Soria N, Meheris H, Garat J.

119- Evaluación del VEGF en la medula ósea de hueso interradicular en animales tratados con bisfosfonatos

M.M. Pujadas Bigi *, N. D. Escudero, Ubios A.M. y P.M. Mandalunis.

120- Estudio comparativo de la respuesta ósea en tibias y maxilares a la diabetes experimental en ratas

Pulitano Manisagian GE*, Villarino ME, De Lucca RC, Ubios AM

121- Evaluación “in vitro” de la biocompatibilidad de un agregado trióxido mineral en un modelo de células de la pulpa dental.

Rodriguez IA, Ximenes Oliveira C, Uribe Echevarria J, Campos A, Ferraris ME

122- Estudio histoquímico de la maduración epitelial en un modelo de mucosa artificial humana de espesor completo

Rodriguez IA*, Garzón I, Oliveira, ACX, Campos-Sanchez F, Rodriguez MA1, Jimenez JM, Martinez C , Sanchez MC

123- Criopreservación de sustitutos de corion de mucosa bucal generados por ingeniería tisular. Estudio de proliferación celular mediante PCNA.

Rodríguez MA, Rodríguez IA, Alaminos M, Garzon I, Sanchez Quevedo MC, Campos A, Ferraris ME

124- Evaluación histológica cualitativa de la respuesta pulpar al diamino fluoruro de plata en animales experimentales: Estudio Preliminar

Rossi G*, Mandalunis PM, Squassi A

125- Estudio histológico comparativo de los músculos masticadores y el hueso mandibular pre-natal en distintos mamíferos

Vázquez C*, Carranza V, Polop D, Rugani M, Ferraris Me, Carranza M

10.30 a 12.00 hs: Patología Clínica, Anatomía Patológica y Radiología

Veedores: D Brandizzi, S López de Blanc, M Paparella, M Brunotto

126- Incidencia de caries en pacientes irradiados por cáncer de cabeza y cuello en un servicio de Córdoba, Argentina

* Blanc Federico, Morelato R, Bolesina N, Belardinelli P, Montesana G, Herrera G, Fernández E, López de Blanc S

127- Gel de digluconato de clorhexidina al 0,12% para la prevención de alveolitis

*Alcazar V, Gilligan J M, Ulfhon A

128- Efecto de la hiposialia por submandibulectomía en un modelo de reparación ósea en ratas.

Amer MAR*1, Sivak MG2, Elverdín JC4, Guglielmotti MB2, Vacas MI3

129- Exactitud del método de Demirjian's y Willems en la estimación de la edad cronológica

Aragón HN, Wuscovi LF, Gordillo ME, López ME

- 130- Edad ósea y edad dentaria en pacientes tratados con hormona de crecimiento
Auad, MD, *Aragón, HNR, Avellaneda R, Bazán, MC, Gordillo M.E, López, ME.
- 131- Valor predictivo de la edad cronológica a partir de mediciones en molares temporarios
*Aragón, HN, Avellaneda R, Singh F, Ibañez R, Fernández P, Gordillo ME.
- 132- Eosinófilos pueden predecir metástasis linfonodales ocultas en cáncer oral inicial
*Biassi TP,Oliveira DT, Faustino SES, Wang L, Carvalho, AL, Landman G, Kowalski LP
- 133- Caracterización fenotípica y alteraciones del exon 2 MSX1 de familias con pacientes con fisura oral
Bolesina M, Sorokin S, Moncunill I, Barra JL, *Brunotto M
- 134- Características geno-fenotípicas como predictores de riesgo de malignidad en citologías bucales
Zarate AM, Brezzo M, Secchi D, Dericia J, Lazos J, Barra JL, Brunotto M *
- 135- Valoración de técnicas de citología en mucosa bucal de pacientes con Síndrome de Sjögren
*Busamia B1, Canals N2, Gobbi C3, Albiero E3. Finkelberg A1
- 136- Consejos y Guías de los Odontólogos para Pacientes Fumadores del Servicio Público de Salud de Anápolis, GO, Brasil
*Moura RS; Pereira AG; Melo JHM; Dias MCS; Roriz VM; Stefani CM
- 137- Estudio imagenológico de: “Lesiones Óseas Experimentales del Sector Posterior en Mandíbulas Humanas Cadavéricas con Radiovisiografía (RVG) y Ortopantomografía
Duarte*, S. Martinez, J. Olmedo, L. Poletto, A. Giménez, E.
- 138- Antígeno prostático específico (APE) en suero de pacientes portadores de tumores de glándulas salivares
*Escandriolo Nackauzi J, Colla R, Ruggieri M, Gaido I, Bertolotto P, Actis A.
- 139- Implicancia del procesamiento en la medición de la distancia Euclídea entre puntos en imágenes digitales Indirectas de uso Odontológico
Flesia.G*, Gimenez.E, Flesia.AG
- 140- Estudio Comparativo de imágenes en soporte digital y convencional en Lesiones Óseas Experimentales del sector posterior en mandíbulas humanas cadavéricas
Flesia. G*, Calvimonte.C, Olmedo.A, Poletto.A, Giménez.E.
- 141- Efecto del hidróxido de calcio en la neoformación ósea en alveolos post extracción. Estudio experimental
*Gait MT (1), Diaz A (2), Fontana S (3), Plavnik LM (3), Malberti A(3)
- 142- Predicción de lesiones potencialmente malignas y malignas a través de variables clínicas y micológicas en pacientes adultos
*Gilligan G, Secchi D, Panico R, Calamari S, Barembaum S, Scatena G, Castillo G, Sotomayor C; Azcurra A
- 143- Evaluación de membrana ósea en defectos óseos críticos. Estudio preliminar
Missana LR 1, 2, *Jammal MV1, Guzmán H 1, Abate CM1, 2.

144- Análisis de la salud dental en relación al consumo de alimentos cariogénicos y susceptibilidad a caries en niños y adolescentes

*Olmedo L, Bregains L, Escandriolo Nackauzi J, Sorbera Ferrer L, Arriaga A, Gómez de Ferraris ME

145- Prácticas preventivas en el ejercicio profesional de los graduados de la FOLP

*Papel,G; Mosconi,E.; Medina,M.; Irigoyen,S.; Albarracín,S.; Coscarelli,N.; Rueda,L.; Tomas,L.

146- Evaluación biológica de una nueva Hidroxiapatita Biogénica

Pastorino, NF, Missana L R, Guzmán H, Jammal M V, Winik BC

147- Reabsorción ósea del reborde residual mandibular en desdentados totales

Vera M., Serabián R., Montañéz D., Pajón A., *Pescio J.

148- Comportamiento de la presión arterial en el sillón odontológico

*Rubio M, Lewin P, Martinez D, Winter G, Caraballo J, Medina F, Nicolosi L

149- Presentación preliminar de una metodología para cuantificar por análisis de imagen queratohialina en lesiones queratósicas bucales

*Scola MJ, Brandizzi D, Keszler A, Lanfranchi HE, Cabrini RL

150- Una herramienta computacional para el análisis de imágenes odontológicas de rayos X

Mauro Valente, *German Tirao, Carolina Virga, Alejandra Aguzzi.

151- Trastornos de ansiedad relacionados con dolor orofacial y bruxismo

Echarte JM, *Tomasetti V,Palacios SB

152- Enfermedad gingival en gestantes adolescentes del primer y tercer trimestre

*Tosti, S. Baudo, J. Dominguez, G. Di Salvi, N. Allegreti, P

153- Niveles séricos de estrógenos y progesterona en relación a enfermedad gingival en gestantes adolescentes.

*Tosti, S. Baudo, J. Dominguez, G. Di Salvi, N. Allegreti, P

154- Potencial de proliferación celular y apoptosis en el epitelio de folículos dentales asociados a piezas retenidas asintomáticas

Villalba L(*), Stolbizer F, Piloni MJ, Blasco F, Molina G, Keszler A

155- Variables radiográficas del germen del canino permanente en niños tratados con hormona de crecimiento

*Wuscovi, LF, Auad, MD, Avellaneda RR1, Aragón, HN, Bazán, MC, López, ME

156- Estudio histomorfométrico del hueso post- extracción, en ratas con dieta rica en sacarosa.

Baró MA, Rocamundi M*, Ferreyra R

285- DETERMINACIÓN INMUNOHISTOQUÍMICA DE LEPTINAS EN DISTINTOS TIPOS DE MÉDULA

ÓSEA EN UN MODELO DE REPARACIÓN ÓSEA PERI-IMPLANTE.

Basualdo MM*, Collet AM, Olmedo DG, Guglielmotti MB

286- PATOLOGÍAS INTERNAS DE ARTICULACIÓN TEMPORO MANDIBULAR. RELACIÓN ENTRE

LA PERCEPCIÓN DEL PACIENTE Y EL DIAGNÓSTICO CLÍNICO.

Páez R*, Delgado AM, Erbiti S, D'Urso M.

287- ANALISIS DE LA MORFOLOGÍA ARTICULAR Y DEL DISCO EN PACIENTES CON TRASTORNOS INTERNOS DE ATM.

*Romero S, Páez R, Navarro A, D'Urso M.

288- CARACTERIZACIÓN DE FACTORES TRAUMÁTICOS INTRAORALES CRÓNICOS EN LESIONES BENIGNAS Y MALIGNAS DE MUCOSA ORAL.

Lazos JP, Piemonte ED*, Brunotto MN.

289- ESTUDIO DE LOS FACTORES DE RIESGO EN LA EVOLUCIÓN DEL LIQUEN PLANO BUCAL.

Scola M*, Gandolfo M, Masquijo P, Keszler A , Lanfranchi H.

290- CARACTERIZACIÓN ULTRAESTRUCTURAL DE LA SUPERFICIE DEL ESMALTE EN MOLARES PERMANENTES CON DIAGNÓSTICO DE HIPOMINERALIZACIÓN MOLAR-INCISIVA (MIH).

Bozal CB*, Ortolani A, Cortese GS, Biondi AM.

291- ¿SERÁ LA QCT-MC EL MÉTODO DE DIAGNÓSTICO POR IMÁGENES MÁS FIABLE EN LA EVALUACIÓN DE LA ARQUITECTURA ÓSEA MANDIBULAR?

Gubert M, Gómez Echarren MP, Bruno G, Monforte F, Caló C, Friedman SM, Lylyk P, Gamba CA*.

10.30 a 12.00 hs: Periodoncia e Implantes- Cirugía y Farmacología Clínica

Veedores: Daniel Olmedo – Miriam Grenón

157- Presencia de Herpes virus en bolsas periodontales de pacientes asistidos en la Cátedra de Periodoncia de la F.O.U.N.N.E

Monzón, Javier; Acuña, Miguel*; Britos, Maria; Canga, Ernesto

158- Efecto de la submandibulectomía sobre la pérdida ósea de las corticales alveolares en ratas con periodontitis crónica

Amer M1*, Elverdin JC2, Chiarenza AP3, Mandalunis P4, Vacas MI3

159- Amoxicilina/metronidazol o raspaje y alisado radicular para el tratamiento de la periodontitis crónica

Bono A., Brunotto M

160- Método para la medición de cambios dimensionales en alvéolos post- extracción mediante tomografía c omputadas

Hernan Bontá*, Federico Galli, Facundo Caride, Nelson Carranza

161- Estudio del efecto del tratamiento de periodontitis crónica realizado con raspaje manual asociado con digluconato de clorhexidina al 0.2% en pacientes

Ferreira M, Silva V, Roriz V

162- Evaluación de la condición periodontal de pacientes internados en UCI y su relación con la neumonía

Guerra D, Ferreira P*, Roriz V

163- Flujo salival y niveles de proteínas, amilasa y mucina en saliva completa de pacientes sanos y con periodontitis leve, moderada y severa.

Sánchez G*, Miozza V, Delgado A, Busch L.

164- Relación entre el consumo de calcio en la dieta y la concentración de calcio en la saliva y el fluido gingival en pacientes con patología periodontal.

Grenón M, Fuks D, Verde ME*, Bonetto L, Sánchez HJ

165- Microanálisis mineral de tejido óseo en contacto con mini-implantes de uso ortodóncico. Estudio preliminar

Piacenza A, Rocamundi M*, Peralta G, Bass Puer A.

166- Comparación de dos concentraciones diferentes de un agentes esclerosante para el tratamiento de lesiones vasculares orales y periorales

Anabel Peláez, Néstor R. Maurino, José Luis Ferrería, Graciela Ana Giannunzio, Federico Stolbizer.

10.30 a 12.00 hs: Microbiología e Inmunología

Veedores: Berta Granillo, María A. Bojanich

167- Relación entre la composición lipídica de membrana y la actividad de ATPasa de cepas de Streptococcus mutans

*Bojanich M.A; Calderón R O.

168- Influencia de las drogas para tratamiento prostático en pacientes periodontales. Estudio preliminar

Brusca MI*, Albaina Olatz, Ponton J

169- Susceptibilidad antibiótica de microorganismos periodontopáticos

Gliosca L, *Brusca MI, Maccarone G, Turcot LG, Molgatini SL

170- Accion antibacteriana de MTA y pastas de hidróxido de calcio con g. De clorhexidina
*Ciancia Mansur AA, Gil Deza M, Saez MM, de la Casa ML, Cecilia M

171- Formas atípicas de microorganismos de placa subgingival en pacientes con periodontitis crónica
Somaglia L1, *Turcot L1, Bernat MI1, Vilotta SM1, Bermolen M2, Lavandeira P2, Zamberlin J, 2 Lavandei

172- Adhesión del género Mycoplasma a superficies biocompatibles de nitinol
*Vilotta SM, Somaglia L, Bernat MI, Rosmino F, Palacios N, Rosa A, Molgatini S, Turcot, L.

PRESENTACIONES POSTERS

VIERNES 8 DE OCTUBRE

Tarde

14.30 a 16.00 hs: Cariología, Epidemiología y Salud Pública

Veedores: L Nicolosi, Fabiana Carletto Korber, Ana Argentieri, Susana Piovano

173- Salud Oral de Escolares de Poblaciones excluidas. Estudio Socioepidemiológico
Alavar M*, Cruz S, Martínez C, Delgado A M, Santana M

174- Redelimitación del Campo Salud/ Enfermedad Atención en los grupos (Qom) Tobas asentados en los “Pumi”
Azcona; M.S*; Carames R; Carbó;L; Carracedo ; E.

175- Presencia de Candida spp. y grupo Streptococcus mutans en diferentes superficies dentarias en niños. Estudio preliminar
Bojanich MA, Martinez MC, Castillo G, Scatena G, Ochonga G, Tolcachir B, Vera Cucciaro V, Calamari S, Azcurra A, Barembaum S, Evjanian G, Lescano de Ferrer A.

176- La rugosidad y composición de las salivaderas y la formación del biofilm
Butler T, Fernandez de Mele M.

177- Análisis de la Absorción de Fluor a través de Espectrografía infrarroja (FTIR)
Butler T, Lazo S, Lazo G, Basal R, Vizcovic C, Friso E, Merlo D, Alfaro G, Pazos F.

178- Estrategias para la detección bacteriológica de S. mutans en saliva de niños participantes de un programa preventivo comunitario.
Zimmermann E, Cachia A*, Díaz A, Maino A, Spoleti MJ§, Pisterna G, Spoleti P.

179- Caracterización de cepas de Streptococcus mutans en escolares por PCR multiplex
Carletto-Körber F*, González-Ittig R, Jiménez M, Cornejo L

180- Relación de signos y síntomas de trastornos témporomandibulares en niños y adolescentes
Cortese S., Farah C*., De la Cal C., Hecht, P; Biondi A.

- 181- Estado gingivo-periodontal en pacientes adultos hospitalizados. Estudio preliminar
González N, Lewin P, Rubio M, Cruz M, Módena J, Nicolosi L.
- 182- Salud bucal en preescolares y la percepción de su impacto en la calidad de vida
Klemonsks G*; Capuano C; Masoli C; Fernandez C; Piovano S.
- 183- Estudio multidimensional de la epidemiología aplicada a la prostodoncia
Lapalma, M.A.; Reynoso, A.C.; Steeman, R.(h)
- 184- Representaciones de salud-enfermedad atención en adolescentes de Córdoba. Estudio preliminar
Lucero M Hilas E, Moncunill I, Bella M, Herrera A, Gigena P, Agüero N, Cornejo L
- 185- Valoración del grado de satisfacción de los pacientes asistidos en los servicios odontológicos de atención externa. Facultad De Odontología. Universidad Nacional De Cordoba.
Mandozzi M, Gomez de Ferraris M, Sánchez Dagúm M, Sánchez Dagum E.
- 186- Impacto de acciones preventivas sobre la salud bucal de niños con enfermedad celíaca: un estudio longitudinal
*Mina S, M. Brunotto
- 187- Conocimiento de la población de anápolis, sobre los métodos alternativos de higiene bucal
Moreira Barros I*, Borges JCR, Sarmiento V, Prado LZX, Pereira, LCG.
- 188- Estudio de lesiones cicatrizales en niños con abuso físico y sexual en la provincia de Córdoba
*Navarro Guitart M, Ferreyra de Prato R S.
- 189- Programa Preventivo – Educativo en niños escolares rurales de Quilino, Córdoba
Manzano Fernandez M, Brasca N, Susmann T, Herrera A, Passera C, Pastrana Sanchez S, Palma G, Alvarez
- 190- Saberes Acerca del Proceso Salud Enfermedad Atención Bucal. Divergencias y Encuentros
Salas, A.*; Copello, M N.; Gaiteri, M.; Beltramone,L; Condis , G.
- 191- Uso de piercing y conductas de riesgo en adolescentes escolarizados
Sebelli P; Ferrari L.
- 192- Análisis epidemiológico de efectores odontológicos como fuentes de información secundaria.
Steeman, F*; Lapalma, M.A.; Sánchez, H.; Reviglione, M.; Reynoso A. C
- 193- Comparación de tres métodos de diagnóstico para lesiones de caries oclusales
Verduci P, Cornejo LS
- 194- Manifestaciones bucales en adolescentes adictos con diagnostico F 19.
Vila, V. Barrios, C. Martínez, S. Bogado, Z. Gómez, J.

14.30 a 16.00 hs: Educación Odontológica

Veedores: Mónica Gardey, Luis Wuscovi, Ana Biondi, Elba Priotto, C Masoli, G Klemons-kis

195- La opinión del estudiante como instrumento de evaluación institucional.

Albarracín S.; Coscarelli N.; Medina M.; Mosconi E.; Rueda L.; Irigoyen S.; Papel G.; Seara S.; Tomas L.

196- Conocimientos y actitudes relacionados con la salud bucal en estudiantes universitarios

Lissera RG, Berta MJ, Kruse IS, Scherma ME, Osilio M, Lorenzo M, *Aramburu G

197- Metodología de Investigación - Acción, aplicada a actividades de la asignatura Introducción a la Odontología.

Lissera RG, *Aramburu G, Scherma ME, Kruse IS, Berta MJ, Lorenzo CM, Osilio M.

198- Influencia de los cambios socio-económicos en la Inserción Laboral de los Egresados de la FOLP

*Coscarelli N.; Medina M.; Mosconi E.; Rueda L.; Albarracín S.; Irigoyen S.; Papel G.; Seara S.; Tomas L.

199- Anticipo de tesis sobre estrategias de aprendizajes de los alumnos de 2o año de la cátedra Fisiología

Erimbaue M.* Naigeboren M.

200- Implementación del aula virtual en Clínica de Prótesis

Gallego,MC; Pira,DA; Encina,M; Battilana,E.

201- Inserción de la Bioética como eje transversal al Módulo de Periodontología para promoción de actitud

Giaquinta MA, Pascucci J, Fracapani M, Fazio M, Gabrielidis A, Pesce E, Conill J

202- Análisis de la dimensión método científico en la visión de la ciencia en alumnos de la Facultad de Odontología, UNC.

*Hernando L, Gomez Borus C, Carletto Körber F, Gosso C, Rubinstein J.

203- Impacto de un programa de Tutorías en el Rendimiento Académico

Iriquin MS*, Iriquin SM

204- Situaciones problemáticas de la clínica-odontológica, como estrategia de enseñanza en talleres integradores en el curso de Biología Celular.

Martínez, L. D.*, Arriaga A. y Cornejo L.S.

205- La necesidad de la educación permanente en función de un compromiso social y profesional

Mosconi,E*;Cantarini,L;Medina,M;Irigoyen,S;Coscarelli,N;Albarracin,S;Papel,G;Rueda,L;Seara,S.;Saporitti,F.;Tomas,L.

206- Resultados de análisis psicométricos: años 2007, 2008 y 2009.

Peñalva M A, Tosti S B, Cecho A C, Sambartolomeo P M y Domínguez G E.

207- Representaciones acerca del rol docente y profesor "ideal"

Peñalva M A

208- Estudio del pH, Flujo Salival y Capacidad Buffer en saliva estimulada y no estimulada de una muestra

Panei Paula Pinciroli, Diego Rostagno, Matias Struck, Maximiliano Villagra Ariel, Joison Agustin.

209- Monitoreo bacteriológico del instrumental utilizado en la práctica clínica de ortodoncia

Graciela Castillo, Sonia Barbero, Viviana Lucero, Liliana Bregains, Pablo Marqués, Mariana Recio*, M Cristina Castillo, M Silvina Rezzónico, Beatriz Castillo, Elba Priotto, Ana M Zárate, M Laura Irazuzta

210- La lectura, instrumento para generar crecimiento en lo científico y tecnológico

Rueda,L.; Papel,G; Mosconi,E.; Medina,M.; Irigoyen,S. ; Albarracín,S.; Coscarelli,N.; Tomas,L.; Cantarini,L; Seara,S.;Saporitti,F.

211- Recurso web para la enseñanza de Histología bucodental: Entrenamiento visual en el análisis de imágenes

Sánchez LM*, Coria SH, Oyhanart SR, Mandalunis PM

212- Incorporación de medidas preventivas y recomendaciones de prácticas de auto cuidado en salud bucal en alumnos de tercer año de la Facultad De Odontología – U.N.C

Sánchez Dagum M, Mandozzi M*, Sanz A, Marega G, Sanchez Dagum E.

213- Estrategias educativas en bioética durante el ciclo clínico de odontología

Miguel R, Sapienza M*, Zemel M, Cocco L, Pólvora B, Iantosca A, Di Girolamo G, Blanco N, Miguel L.

214- Determinación de la capacidad de autonomía en el aprendizaje de los ingresantes de la Facultad De Odontología UNLP.

*Saporitti F, Irigoyen S, Medina M, Albarracin S, Seara S, Coscarelli N, Tomas L, Mosconi E, Cantarini L, Papel, G; Rueda, L

215- Rasgos de la ética profesional, según la opinión de los estudiantes

Seara, S*; Tomas, L; Medina, M; Irigoyen, S; Albarracín, S; Coscarelli, N; Papel, G; Rueda, L; Mosconi, E.; Cantarini,L; Saporitti,F.

216- Análisis de las preocupaciones y necesidades sentidas por los docentes de tres facultades de Odontología

Steimberg C*, Alcaraz F, Aznarez M, Coromina E, D`Urso M, Fernández JI, Romano SC Vitantonio

217- Correlación entre los estilos de aprendizaje y de enseñanza en ingresantes del año 2008 de la FOUNLP.

Tomas,L*;Medina,M;Irigoyen,S;Albarracín,S;Coscarelli,N;Papel,G;Rueda,L; Mosconi,E; Seara,S.;Cantarini,L.;Saporitti,F.

292- BIOESTADÍSTICA Y METODOLOGÍA DE LA INVESTIGACIÓN. UN ACERCAMIENTO AL PERFIL EPISTEMOLÓGICO DEL PROFESIONAL EGRESADO.

García MH*, Egido P, Vacca F, Cerutti R, González DA.

14.30 a 16.00 hs: Fisiología, Farmacología, Bioquímica y Biofísica

Veedores: Ana Finkelberg, Graciela Stranieri, MI Vacas, L Sterin Borda, Patricia Mandalunis, Beatriz Busamia

218- Estudio comparativo de diferentes estrategias de enseñanza-aprendizaje en Farmacología

Virga C, Aguzzi A*, Ricco V

219- Estudio de la efectividad terapéutica de Alendronato y Monofluorofosfato de sodio en la remodelación ósea en ratas

Aramburu G*, Virga C, Aguzzi A, Hubert S

220- Correlación entre mucositis y antioxidantes salivales en pacientes sometidos a trasplante de médula

Bachmeier E*, López M, Wietz F, Mazzeo MA, Linares J, Finkelberg AB.

221- Análisis del impacto de la ingesta de proteína de bajo valor biológico sobre la calidad biomecánica

Bozzini C*, Huygens P, Picasso E, Champín G, Bozzini CE, Alippi RM

222- Calidad de Vida en Estudiantes de la Facultad de Odontología de la Universidad Nacional de Tucumán.

*Cardinale M.; Bottcher S.; Coromina E.

223- Valor diagnóstico del cortisol salival matutino en la insuficiencia adrenal.

Cardoso EML*, Arregger AL, Tumilasci EG, Pazo JH, Contreras LN

224- Estudio preliminar sobre hábitos de sueño en estudiantes universitarios

Coromina Estela Inés*, Suayter Inés

225- Modulación colinérgica en la producción de leucotrienos en la pulpitis experimental de la rata

Alejandra De Couto Pita*, Enri Borda, Leonor Sterin-Borda

226- Evaluación de la respuesta ósea administrando Bisfosfonatos con un nuevo protocolo terapéutico.

De Leonardí A*, Virga C, Aguzzi A, Aramburu G,

227- Actividad NTPDásica en retículo endoplásmico de glándula submandibular de rata.

Egido P*, García MH, Rivas NC, González DA

228- Influencia del ayuno en el perfil de ácidos grasos en saliva parotídea de ratas

Escandriolo Nackauzi J*, Gallará R, Defagó M, Actis A.

229- Ácidos grasos monoinsaturados dietarios: correlación entre el perfil lipídico lipoproteico y el contenido mineral óseo

Alsina Estefania, *Gonzales Chaves María M, Zago Valeria, Hecht P, Scherier Laura, Rodriguez Patricia

230- Comparación de la efectividad antimicrobiana entre hipoclorito de sodio y detergentes enzimáticos sobre mesadas en cuatro servicios de odontología hospitalarios

Jotko C*, Butler T, Serrano V, Ameri C, Solari E, Cattaneo M, Casariego Z

231- Comportamiento biomecánico de la mandíbula de ratas desnutridas tratadas con dosis crecientes de propanolol

Lezón CE, Bozzini C, Olivera MI, Champin G, Pintos P, Ojea A, Mandalunis P, Boyer PM

232- Alteraciones fisiopatológicas en glándulas submandibulares de ratas con ingesta crónica de alcohol

*Mariani M.C., Plavnik L., Malberti A, Linares J, Finkelberg A.

233- Estudio temporal del desarrollo de periodontitis por aplicación de lipopolisacárido de *Escherichia coli*

Ossola CA*, Surkin PN, Mohn C, Amer M, Rettori V, Elverdin JC, Fernandez-Solari J.

234- Aceites vegetales de la dieta y masa ósea: cual es la mejor opción?

*Pellegri G, Alsina E, Ferreira Monteiro A, Suárez C, Casavalle P, Mandalunis P, Friedman S

235- Valoración del diagnóstico por imágenes en la A.T.M. de pacientes con artritis reumatoidea

*Rhys K, Busamia B, Marchegiani S, Gobbi C, Astesana P, Albiero E, Finkelberg A.

236- Repercusión biomecánica de la malnutrición proteica sobre la mandíbula de rata

Ríos CE*, Bozzini C, Olivera MI, Alippi RM, Bozzini CE

237- Factores Inmunológicos No Aterogénicos de Riesgo Cardíaco en Pacientes con Enfermedad Periodontal

Segovia M.*, Ganzinelli S., Borda E. y Sterin-Borda L.

238- Efectos centrales y locales de endocannabinoides sobre el funcionamiento de la glándula submaxilar de rata

Surkin PN*, Prestifilippo JP, Ossola CA, Fernandez- Solari J, Elverdin JC

239- Estudio histológico y morfométrico del hueso mandibular en ratas intoxicadas con aluminio en condiciones de hipoxia

Dmytrenko G, Conti MI, Mandalunis PM, Bozzini C, Terrizzi AR*, Martínez MP

240- Modificaciones de la cantidad y composición del flujo salival y su relación con algunos parámetros de salud bucal en pacientes sometidos a trasplante de médula ósea (TMO).

López M, Wietz F*, Mazzeo M, Bachmeier, E, Linares J y Finkelberg A

241- Inhibición diferencial de mepivacaína y procaína sobre la bomba de calcio

Casadoumeq AC*, Di Croce DE, Sánchez GA, Takara D. Cátedra de Biofísica, FOUBA

293- DIFUSION DE IONES CALCIO Y PH DE MTA Y PASTAS DE HIDROXIDO DE CALCIO

Cuenya P*, López GL, de la Casa ML, Atlas D.

295- ESTUDIO LONGITUDINAL DE PACIENTES CON REABSORCIÓN ÓSEA SEVERA SIN INJERTO CON IMPLANTES EN ZONA POSTERIOR DEL MAXILAR SUPERIOR

Filsinger AJ, Brunotto M.

VIERNES 8 DE OCTUBRE

PROYECTOS

SALA B

14.30 a 17.00 hs

Presentaciones orales

Veedores: A Ubios, A Squassi

14.30 a 14.45 hs

242- PROYECTO: Evaluación de Aulas Virtuales. Plataforma Virtual de la Facultad de Odontología

de la UNC

Hernando L*, Spadiliero de Lutri M, Evjanian G.

14.45 a 15 hs

243- PROYECTO: El Miedo como una Representación del Alumno en la Situación Odontológica con el Paciente Niño

Fernández, Marta G

15.15 a 15.30 hs

245- PROYECTO: Estudio de las características cristalográficas del proceso de remineralización in vitro de la lesión incipiente de caries por microscopia electronica de barrido

*Tolcachir B y Gallará RV

15.30 a 15.45 hs

246- PROYECTO: Estrategias terapéuticas con trióxidos mineral agregados de origen nacional en tratamientos de pulpotomías en piezas dentarias permanentes de adolescentes y jóvenes.

Enfoque Interdisciplinario

Gutiérrez M1. *, Rodríguez I A2, Fadel P1, Jerez M11, Llompart L1, Marega G1, Villalba C1, Abratte

15.45 a 16 hs

247- PROYECTO: Determinación de la correlación clínica, dermatoscópica e histológica de las lesiones pigmentarias de cavidad bucal

A Mordoh, M Gandolfo, *S Sano, A Lence, H Lanfranchi

16 a 16.15 hs-

248- PROYECTO: Expresión de proteínas de adhesión y unión celular en tejido pulpar de incisivos de ratas expuestas a fluoruro en el agua de bebida

Centeno VA, Gallará RV, Fontanetti PA, Ponce RH.

16.15 a 16.30 hs

249- PROYECTO: Programas Preventivos en Pacientes con Aparatología Fija de Ortodoncia. Remineralización de Manchas Blancas. Estudio de Costo Efectividad

Borjas M I,Nasso P ,Fernandez C, Vuoto E, Grilli S, Pistochini A.

16.30 a 16.45 hs

250- PROYECTO: Evaluación Buco-Maxilo-Facial de jóvenes entre 18 y 29 años en tratamiento por adicción a drogas

Rotemberg E*, Salveraglio I, Piovesan S, Varela A, Smaisik K, Ormaechea R

16,45 a 17 h

251- Proyecto Valoración del trauma oclusal en la evolución de retracciones en pacientes fumadores y no fumadores

García MG*, Esper ME

17.00 a 17.15 hs

281- UTILIZACIÓN DE RADIOGRAFÍAS ESTANDARIZADAS PARA VALORAR LOS CAMBIOS EN LA DENSIDAD ÓSEA POST TERAPIA PERIODONTAL Y OCLUSAL.

García MG*, Esper ME

SÁBADO 9 DE OCTUBRE

PROYECTOS

9 a 10.30 hs

Presentación Posters

Veedores: S Cortese, F Femopase, R Alippi, M Vacas

252- PROYECTO: Determinación del grado de retención en pernos intraradiculares colados, confeccionados por diferentes técnicas. Análisis Comparativo.

Sorbera JA, Meneses A*, Roqué Montilla CA, Augusto G, Ozuna A, Lozza Manziotti M.

253- PROYECTO: Dificultades en Física General de ingresantes a la Facultad de Odontología de la Universidad Nacional de Tucumán (FOUNT)

Catalán, P.E.; Pérez, L.I; Alderete, M.S.; Merletti, S.M.; Córdoba, J.E.; Juárez, T.A.; Rodriguez, N.

254- PROYECTO: Hábitos Académicos de los ingresantes en el CINO (Curso Introductorio de Nivelación en Odontología) relacionados con su Rendimiento Académico (FOUNT)

Rodríguez, N.; Juárez, T.A.; Alderete, M.S.; Merletti, S.M.; Pérez, L.I; Córdoba, J.E.; Catalán, P.E.

255- PROYECTO: Diagnóstico de las condiciones académicas en Física General de los estudiantes al ingreso a la F.O.U.N.T.

Merletti, S.M.; Pérez, L.I; Alderete, M.S.; Catalán, P.E.; Córdoba, J.E.; Juárez, T.A.; Rodriguez, N.

256- PROYECTO: Importancia del Curso Introductorio de Nivelación en Odontología (CINO) en los aspirantes a ingresar a la Facultad de Odontología de la Universidad Nacional de Tucumán (FOUNT)

Pérez, L.I; Catalán, P.E.; Alderete, M.S.; Merletti, S.M.; Córdoba, J.E.; Juárez, T.A.; Rodriguez, N.

257- PROYECTO: Investigación de la variación dimensional de las impresiones dentales con alginato vaciadas en distintos tiempos.

Noste JL*, Granato M, Martín A, Attorresi B, Galleano S, Di Benedetto S, Girgenti J, Valdés C, Surraco MF, Arancegui N.

258- PROYECTO: Resistencia adhesiva a dentina de cementos resinosos de autograbado

Chávez Lozada J *, Urquía Morales C

261- PROYECTO: Prevalencia de especies de levadura en surco periimplantario en pacientes con más de cinco años de finalizado su tratamiento.

Bertone A, Mujica MT, Pola S, Finquelievich J, Jewtuchowicz V

262- PROYECTO: Relación de las Disgnacias y las alteraciones Fonemáticas en el habla infantil.
Filippa F, Nardi A, Schreiner A, *Rhys K

264- PROYECTO: "Formación de equipos de trabajo y protocolo de identificación odontológica en caso de catástrofes en la capital de la Pcia. De La Rioja, Argentina"
Femopase F, González CM*.

265- PROYECTO: Asociación de Patógenos Periodontales con Expresión del Factor de Necrosis Tumoral α
Monetti, M, Usin M.M.*, Gonzalez, A., Cabral, H.R.A., Parodi, R., Sembaj, A.

266- PROYECTO: "COMPORTAMIENTO CLINICO DE LOS MINI-IMPLANTES UTILIZADOS DU-
RANTE EL TRATAMIENTO ORTODONCICO"
Piacenza A, Peralta G, Rocamundi M*, Plavnik L, Bass Pluer A.

267- PROYECTO: Efectos de diferentes Fármacos sobre el movimiento Ortodónico. Estudio in vivo.
Escribano MF*, Rocamundi M, Piacenza A

268- PROYECTO: Acción de anestésicos de uso odontológico sobre la proteína bomba de calcio
Di Croce DE*, Casadoumecq AC, Quiroz GO. Tutora: Takara D.

269- PROYECTO: Importancia de la Proteína Inhibidora de elastasa Secretada por Leucocitos (S.L.P.I.) en el flujo salival.
Grenat A, Rhys K.

270- PROYECTO: Influencia de la posición postural, la pronación de pie y valgo de calcáneo sobre la A.T.M. y la oclusión
Massa Díaz I, Funes Alvarez M, Rhys K.

271- PROYECTO Necesidad de tratamiento de ortodoncia en niños con infección por VIH
Alessandrello H, Casim D, Lecumberri R, Squassi A, Sanchez G

272- PROYECTO:" Estudio analítico y comparativo sobre la influencia de diferentes factores en el dolor post-endodoncia".
Arena A, Luján G, Villalba A, Bronstein M*, Croharé L.

273- PROYECTO: Saberes y Prácticas de Autocuidado en Salud Bucal en estudiantes de la Universidad Nacional de Córdoba.
Sánchez Dagum M, Mandozzi M, Sánchez Dagum E, Sanz A, Marega G, Evjanian G, Sica Sanchez M.

274- PROYECTO: Aspectos socio-demográficos y entorno familiar de estudiantes del tercer año de las carreras de odontología de la provincia de Córdoba, como motivadores en la elección de la profesión
Sánchez Dagum M; Mandozzi V; Sanz A; Hernando L; Tarifa S.

275- PROYECTO: Actividad de caries y composición salival en personas que viven con VIH/SIDA
Lastra Fukunaga V, D'Eramo, Sanchez G, Fuchs A, Squassi A

276- PROYECTO: Atención Primaria de la Salud en escuelas rurales: evaluación de un programa preventivo-educativo.

Manzano, M; Brasca, N; Porta, J; Leiva Centeno, A; Larghi C; Corbalán M, Girardi M, Palma G, Alvarez

277- PROYECTO: Pérdida de tejido dentario de origen no bacteriano en adolescentes de una comunidad rural y del area metropolitana de Buenos Aires

Argentieri A, Doño R, Pistochini A, Sorazabal A

294- PROYECTO: Estado periodontal y terapia antirretroviral en pacientes con infección por el virus de la inmunodeficiencia humana.

D'Eramo L*, Sanchez G, Lastra Fukunaga V, Abusamra L, Squassi A.

PREMIOS

SÁBADO 9 DE OCTUBRE

SALA A

PREMIO DIVISIONAL PARA JÓVENES INVESTIGADORES: PREMIO EDWARD HATTON

Jurado: M Itoiz, H Lanfranchi, N Bordoni

9 hs

Inhibición diferencial de mepivacaína y procaína sobre la bomba de calcio

Casadoumecq AC*, Di Croce DE, Sánchez GA, Takara D. Cátedra de Biofísica, FOUBA

PREMIO EGOZCUE

Jurado: S Molgatini, A Finkelberg, I Adler

9.20 hs

Elaboración de Indicadores Biológicos de esterilización para calor seco con esporas de *Bacillus subtilis*

*Kummer M.C., Granillo B. A.

PREMIO FUNDACION CREO

Jurado: R Macchi, G Stranieri, B Guglielmotti

9.40 hs

Evaluación in vitro de la filtración coronaria empleando dos materiales de obturación provisoria

*Cheein E, Erimbaue M, Galván L, Hero F, Bulacio Ma

10 hs

Citotoxicidad inducida por partículas de dióxido de titanio en macrófagos.

Bruno M, Olmedo D, Cabrini R, Ferraro S, D'Atri P, Tasat D*

10.20 hs

Estudio de la efectividad terapéutica de Alendronato y Monofluorfosfato de sodio en la remodelación ósea en ratas.

Aramburu G*, Virga C, Aguzzi A, Hubert S.

PREMIO COTTA RAMUSSINO

Jurado: A Ubios, L Missana, R Cabrini

10.40 hs

PROYECTO: Estudio de las características cristalográficas del proceso de remineralización in vitro de la lesión incipiente de caries por microscopía electrónica de barrido

*Tolcachir B y Gallará RV

11.0 hs

PROYECTO: Actividad de caries y composición salival en personas que viven con VIH/SIDA

*Lastra Fukunaga V, D'Eramo, Sanchez G, Fuchs A, Squassi A

11.20 hs

PROYECTO: Estado periodontal y terapia antirretroviral en pacientes con infección por el virus de la inmunodeficiencia humana.

*D'Eramo L, Sanchez G, Lastra Fukunaga V, Abusamra L, Squassi A.

SALA B

PREMIO SALUD BUCAL

Jurado: S Piovano, A Squassi, R Doño

9 hs

Variables radiográficas del germen del canino permanente en niños tratados con hormona de crecimiento

*Wuscovi, LF, Auad, MD, Avellaneda RR1, Aragón, HN, Bazán, MC, López, ME

9.20 hs

Prevalencia de Hipomineralización Molar Incisiva en la Ciudad Autónoma de Buenos Aires

Biondi AM, Cortese SG, Ienco* M, Ortolani AM; Paván V, Mendel N, Sebelli P, Bertolino M, Martínez, K, Hecht P

9.40 hs

Estudio del pH, Flujo Salival y Capacidad Buffer en saliva estimulada y no estimulada de una muestra

Panei Paula Pinciroli Diego Rostagno Matias Struck Maximiliano Villagra Ariel. Joison Agustin

PREMIO ERAUSQUIN

Jurado: S López de Blanc, A Kaplan, A Biondi

10.00 hs

Los Autoanticuerpos Anti-receptor M3 de pacientes con Síndrome de Sjögren Primario Disparan la Producción de MMP-3 y de PGE2 en las Glándulas Submaxilares de Rata

*Silvia Reina, Leonor Sterin-Borda, Enri Borda

10.20 hs

Comparación de dos concentraciones diferentes de un agente esclerosante para el tratamiento de lesiones vasculares orales y periorales

Anabel Peláez, Néstor R. Maurino, José Luis Ferrería, Graciela Ana Giannunzio, Federico Stolbizer.

SUBSIDIO ERAUSQUIN A JÓVENES INVESTIGADORES

Jurado: S López de Blanc, A Kaplan, A Biondi

11.00 hs

PROYECTO: Actividad de caries y composición salival en personas que viven con VIH/SIDA

*Lastra Fukunaga V, D'Eramo, Sanchez G, Fuchs A, Squassi A

PREMIO SUZEL SCOZZARO

Jurado: E Funosas, D Olmedo, P Mandalunis

10.40 hs

Asociación de Patógenos Periodontales con Expresión del Factor de Necrosis Tumoral α

Monetti, M, Usin M.M.*, Gonzalez, A., Cabral, H.R.A., Parodi, R., Sembaj, A.

1

ACCIÓN DE AGENTES ANTISÉPTICOS SOBRE LA MICROFLORA DE CONDUCTOS RADICULARES CON ÁPICE INMADURO

Evjanian Gladys- Gani Omar - Visvisián Carmen
Facultad de Odontología

El principal obstáculo en el tratamiento del diente inmaduro con necrosis pulpar es la desinfección del conducto. **OBJETIVO:** Estudiar *in vivo* el efecto que tiene el hipoclorito de sodio (NaClO) y el yodo yoduro de potasio (IPI) sobre la microflora aerobia y anaerobia del conducto radicular. **MÉTODOS.** Se seleccionaron 14 pacientes entre 7 y 20 años de edad con diagnóstico de necrosis pulpar y ápice inmaduro distribuidos en dos grupos (A y B) de 7 casos c/u. **Grupo A:** Efectuado el acceso al conducto y previo a toda intervención, se obtuvo la primera muestra bacteriológica. Luego como antiséptico se utilizó NaOCl al 2,5% como irrigante y al 5% como medicación tópica. **Grupo B:** Se procedió del mismo modo, utilizando IPI como irrigante y antiséptico. Finalizada la sesión se selló la cavidad de acceso dejando el conducto vacío. En la segunda 8 días después, luego de abrir la cavidad y previo a toda intervención se obtuvo otra muestra bacteriológica. Efectuados los estudios correspondientes los valores obtenidos se confrontan estadísticamente mediante Prueba de Wilcoxon. **RESULTADOS: Bacterias aerobias: Grupo A:** *Corynebacterium spp.* y *Streptococcus* del grupo *viridans* disminuyeron un 75% y *Staphylococcus coagulasa negativa* 50%. **Grupo B:** *Staphylococcus coagulasa negativa* disminuyeron un 100%, *Streptococcus* del grupo *viridans* 50% y *Corynebacterium spp.* 33%. **Bacterias anaerobias: Grupo A:** *Propionibacterium spp.* disminuyeron un 100%, *Fusobacterium spp.* 50%, mientras que, *Prevotella intermedia* permanecieron sin variantes. **Grupo B:** Bacilos gram negativos y *Peptostreptococcus spp* disminuyeron 100%, mientras que, *Prevotella intermedia* no pudo ser eliminada. En ambos grupos, los resultados mostraron una disminución estadísticamente significativa en el desarrollo de bacterias aerobias y anaerobias al finalizar el tratamiento ($p < 0.05$) salvo *Prevotella intermedia*. **CONCLUSIÓN.** Ambos antisépticos redujeron la microflora aerobia y anaerobia aislada, a excepción de *Prevotella intermedia* que persistió sin variantes. NaClO fue eficaz, con una reducción del 100%, sólo sobre *Propionibacterium spp.*, mientras que IPI sobre *Staphylococcus coagulasa negativa*, Bacilos gram negativos y *Peptostreptococcus spp.*

2

CAPACIDAD DE ACONDICIONAMIENTO DE LOS TEJIDOS DENTALES DE DIFERENTES TIPOS DE ADHESIVOS AUTOACONDICIONANTES

Gustavo Molina, Miguel Farah, Ignacio Mazzola, Laura Brain, Martin Farah, Cabral R*.
Facultad de Odontología de Córdoba

El propósito de este trabajo, fue comparar mediante la obtención de replicas para observar al MEB la capacidad de penetración en dentina y esmalte de diferentes tipos de adhesivos autoacondicionantes en comparación con la técnica tradicional de acondicionamiento ácido y posterior infiltración con adhesivo hidrofílico. Se tomaron 35 terceros molares recientemente extraídos. Los elementos se conservaron hasta el momento de ser utilizados, se realizó a cada uno de los dientes, un corte axial, en sentido mesiodistal, hasta 1 mm del techo de la cámara pulpar, y se realizó otro corte horizontal desde la cara lingual de cada elemento y se eliminó así la mitad lingual de la corona, por último, se realizó un corte horizontal a los fines de eliminar la porción radicular. Los dientes fueron divididos al azar en cuatro grupos: Grupo 1 se utilizó Adper SE Plus (SEP) de 3M-Espe, en el Grupo 2 se utilizó Adper-siloro (S) 3M-Espe, en el Grupo 3 AdheSE (ASE) Ivoclar-vivadent, y el Grupo 4 de control se utilizó ácido fosfórico + Single-bond 2 (SB) 3M-Espe. Cada adhesivo fue aplicado sobre la superficie cortada según las indicaciones del fabricante, luego de aplicado el adhesivo se relleno con resina compuesta Filtek Z 100 para los grupos 1, 3 y 4 y resina P90 para el grupo 2, se polimerizó cada muestra durante 40 segundos con lámpara halógena XL 3000 con una potencia de salida de 680 mw/cm² medida con radiómetro Demetron. La misma técnica se aplicó por vestibular de cada molar de cada grupo pero en esta cara se eliminó el esmalte aprismático mediante piedra de diamante fino, luego se aplicó la resina compuesta con la ayuda de un anestubo, todas las muestras fueron disueltas en ácido Clorhídrico durante 48 horas, a los fines de eliminar el tejido dental y obtener así las replicas de la cara interna de las obturaciones. Luego las réplicas fueron buferizadas con cacodilato de Na al 12% y por último limpiadas en baño con ultrasonido. Las réplicas fueron luego metalizadas y observadas mediante Microscopio Electrónico de barrido. Las microfotografías se realizaron a 1200x se evaluó en primera instancia la presencia de tags de resina. **Resultados:** Todos los materiales observados mostraron buena penetración tanto en dentina como esmalte. **Conclusiones:** Los materiales observados acondicionan el tejido dental.

3

PENETRACIÓN DE FLÚOR (F) Y ESTRONCIO (Sr) EN DENTINA AFECTADA POR CARIES DESDE RESTAURACIONES DE IONÓMERO VÍTREO

Molina GF*, Mazzola I, Brain Lascano L, Farah MA, Sainz Aja M, Cabral RJ
Cátedra de Materiales Dentales, Facultad de Odontología, Universidad Nacional de Córdoba

INTRODUCCIÓN: El tratamiento restaurador atraumático especifica la remoción manual de tejido cariado y la posterior obturación de la cavidad con un material adhesivo, preferentemente un ionómero vítreo de alta densidad. En el presente estudio se plantea si esta difusión de iones resulta significativa para optimizar la interfase de restauraciones atraumáticas, comparando diferentes restauradores de uso corriente. **MATERIALES Y MÉTODOS:** Se realizaron restauraciones atraumáticas en dieciocho (18) terceros molares de reciente extracción, con lesiones abiertas de caries sin compromiso pulpar, obturando las cavidades resultantes con Fuji IX Extra (F9), GC Int.; Ketac Molar Easymix (KM), 3M Espe; Ionofil Molar (IM), VOCO). Una vez restaurados, los dientes fueron conservados a temperatura bucal en agua deionizada. Las muestras fueron examinadas en MEB, en 3 grupos: A los 40, 15 y 0 días de haber realizado la restauración. Para cada muestra se escanearon 2 líneas con sonda EDAX para identificar la presencia de flúor (F) y estroncio (Sr) en 60 puntos con intervalos cada 5 micras desde la unión material/cavidad hasta una distancia de 300 micras, comparando la penetración de estos elementos en la dentina por el porcentaje de su peso relativo. Los resultados fueron analizados estadísticamente utilizando la prueba de Kruskal Wallis ($p < 0.05$). **RESULTADOS:** La penetración de F y Sr fue significativamente mayor para IM y KM en restauraciones de 15 días tanto en porcentaje relativo como en profundidad, mientras que en las muestras de 40 días, los resultados fueron significativamente mayores en peso como en profundidad en F9, luego KM y IM respectivamente. No obstante, los porcentajes relativos de F y Sr se mantuvieron con valores similares en muestras de 0, 15 y 40 días. **CONCLUSIÓN:** La posibilidad de remineralización de dentina afectada por caries a partir de la penetración de F y Sr desde el material de restauración depende del material restaurador y del tiempo en que éste ha permanecido en contacto con el tejido dentinario. Sin embargo, no es posible determinar in-vitro el impacto que esta migración de iones tiene sobre respuestas biológicas en los procesos de cicatrizales de dentina afectada por caries.

4

EFFECTO DE LA HUMEDAD EN LA DENTINA BLANQUEADA SOBRE LA RESISTENCIA DE UNION EN LA TÉCNICA ETANOL BONDING

Garcia EJ*, De Vito Moraes AG, Mena Serrano A, Carrilho MR, Loguercio A, Grande RHM
Departamento de Materiales Dentales, Facultad de Odontología, USP, Brasil.

El uso de etanol puede ser una alternativa para remover el exceso de agua provocado por la degradación de los agentes de blanqueamiento dental y así revertir los bajos valores de resistencia de unión encontrados en dientes blanqueados. **OBJETIVO:** evaluar la influencia de la humedad en la técnica *etanol bonding* (EB) sobre la resistencia de unión [RU] a dentina blanqueada con peróxido de hidrógeno. **MÉTODOS:** Superficies de dentina oclusal de terceros molares humanos fueron expuestas, tratadas con peróxido de hidrógeno 35% durante 15 min, acondicionadas con ácido fosfórico 35%, mantenidas húmedas con agua [H] o secadas con chorro de aire por 30s [S] y divididas en cuatro grupos experimentales (n=5): técnica adhesiva convencional sobre dentina húmeda [TC/H]; técnica adhesiva convencional sobre dentina seca [TC/S]; técnica *etanol bonding* sobre dentina húmeda [EB/H] y técnica *etanol bonding* sobre dentina seca [EB/S]. En TC fue usado un adhesivo de tres pasos (Adper Scotchbond Multi-Uso, [SB]) siguiendo instrucciones del fabricante. Para EB, las superficies dentinarias fueron tratadas con tres aplicaciones de etanol 50% e 100% (30s cada una). El procedimiento adhesivo fue realizado con un *primer* hidrófobo creado a partir de la mezcla del paso 3 del adhesivo [SB] con etanol (70/30% p/p). Bloques de resina compuesta (Z250) fueron construidos sobre las superficies adheridas. Luego de 24 h de almacenamiento en agua destilada a 37°C, los dientes restaurados fueron cortados en "palitos" (0,8 mm²) para la prueba de microtracción (1 mm/min). Los datos fueron evaluados por ANOVA de dos factores y el test de Tukey. **RESULTADOS:** los valores de RU para ambas técnicas adhesivas sobre dentina seca (TC/S y EB/S), fueron significativamente superiores que cuando aplicadas sobre dentina húmeda ($p = 0,00023$). **CONCLUSIÓN:** La humedad influencia los valores de resistencia de unión en el uso de técnica *etanol bonding* en los dientes clareados; el mejor desempeño ocurre en dentina seca.

5

INFLUENCIA DE LOS SELLANTES DE SUPERFICIE SOBRE LA MICROFILTRACIÓN EN RESTAURACIONES DE COMPOSITE

Brasca N, Urquía Morales C, *Girardi M, Ríos, A, Bonnin C
Cátedra de Operatoria I "B". Facultad de Odontología -U.N.C. Argentina.

La contracción de polimerización de los composites puede generar fuerzas que determinan la formación de microbrechas en la interfase resina-esmalte y filtración marginal. El **Objetivo** de este trabajo fue evaluar la influencia de los sellantes de superficie, en restauraciones de composite, sobre la microfiltración. **Materiales y Métodos:** Se utilizaron 30 premolares superiores e inferiores, libres de caries, donde se realizaron preparaciones oclusales amelodentinarias que fueron obturadas con One Coat Bond SL y Brilliant New Generation (Coletene), siguiendo las indicaciones del fabricante y pulidas adecuadamente. Luego las muestras se distribuyeron aleatoriamente en seis grupos, según los materiales experimentales: Grupo I (Control), Grupo II: Single Bond (3M/ESPE), Grupo III: Perma Seal (Ultradent), Grupo IV: Heliobond (Vivadent), Grupo V: Biscover LV (Bisco), Grupo VI: bioforty (biodinámica). Posteriormente las piezas fueron sometidas a ciclaje térmico por 100 ciclos entre 5° C y 55° C, sumergidas en una solución acuosa de azul de metileno al 2% durante 48 hs. y desgastadas en sentido V-P, hasta el plano medial, para ser observadas con lupa estereoscópica a 40 X. El grado de filtración se evaluó por la penetración del colorante en la interfase diente-restauración en una escala de 0 a 3. Los datos obtenidos fueron analizados mediante la muestra no paramétrica de Kruskal-Wallis. **Resultados:** Se encontraron diferencias significativas de todos los grupos con respecto al grupo control ($p=0,0167$), no existiendo significación entre Single Bond, Perma Seal y bioforty ni entre Heliobond y Biscover LV. **Conclusión:** En restauraciones de composite, sería conveniente la aplicación de sellantes de superficie para mejorar la integridad marginal y disminuir la microfiltración.

Este trabajo ha sido subsidiado por SecyT

6

DUREZA SUPERFICIAL Y PROFUNDA EN RESINAS MICROHÍBRIDAS Y NANOPARTÍCULAS

Rosino V, Olguín A, *Hernández JL
Cátedra de Clínica de Operatoria Dental. Facultad de Odontología Universidad Nacional de Tucumán

Las resinas microhíbridas y de nanotecnología o nanopartículas, por su composición, tamaño de partículas y alto porcentaje de carga, que le otorgan buenas propiedades estéticas y mecánicas, están indicadas en el sector anterior y posterior. **OBJETIVO:** el objetivo de este trabajo fue comparar la dureza superficial y profunda en resinas microhíbridas y de nanopartículas tratadas con tres protocolos de polimerización.

MÉTODO: Se prepararon 120 probetas de 2 mm. espesor, las que se dividieron en grupos ($n=5$) según el color Esmalte Translúcido, A2 y B2 y Dentina A3 y al tipo de resina empleada microhíbrida Z100 (3M ESPE) y de nanopartículas Filtek Z350 (3M ESPE). Se polimerizaron con luz Halógena (QTH) por 40 segundos, LED 20 segundos y QTH 40 segundos + horno lumínico de Polimerización por 7 minutos. El protocolo de polimerización para QTH y LED contempló la potencia de la lámpara y el tiempo de aplicación, para tener una equivalencia en la densidad de energía entregada ($20-24 \text{ J/cm}^2$). Las muestras se conservaron durante 7 días en agua destilada a 37°C. Posteriormente se midió la microdureza Vickers aplicando una fuerza de 300 g. durante 15 segundos en tres puntos de las superficies superior e inferior.

RESULTADOS: Se empleó análisis de Varianza (ANOVA) y test de comparaciones múltiples de Bonferroni con un nivel de significancia del 5%. Con los tres medios de polimerización y en los tres colores de esmalte, la dureza superficial y profunda de las resinas microhíbridas fue significativamente mayor que las de nanotecnología. También hubo diferencias significativas en para resinas microhíbridas dentina al emplear QTH y LED. No se observaron diferencias significativas en dentina QTH + horno lumínico en la cara superior.

CONCLUSIONES: las resinas microhíbridas presentaron valores de dureza mayores que las de nanotecnología en todos los colores de resinas esmalte. Al emplear QTH + horno lumínico en dentina la dureza fue similar en ambas resinas en la cara superior.

Realizado en el Laboratorio de Materiales Dentales de la Facultad de Odontología. Universidad Nacional de Tucumán. Parcialmente subsidiado por el CIUNT

7

RESISTENCIA AL CORTE DE ADHESIVOS AUTOACONDICIONANTES

Ricardo Cabral*, Martin Farah, Miguel alfredo Farah, Marcelo Zaya, Brain Laura
Facultad de odontología

La infiltración de la dentina tratada con adhesivos, genera la formación de microtags de resina que a su vez generan comunicaciones laterales. La utilización de los adhesivos autoacondicionantes, no utiliza grabado ácido previo, por lo que tampoco se realiza el lavado, quedando los subproductos de la desmineralización in situ. En el caso de la dentina forman microtags de resina, estos tienen la finalidad de sellar la entrada del túbulo y colaboran en el proceso de adhesión. El propósito de este trabajo fue establecer la posible correlación entre la longitud de los tags y la resistencia de la adhesión y corroborar si el tag juega un rol importante en el proceso de adhesión. Se crearon cuatro grupos 1 Adper SE plus (3M-Espe), grupo 2 adper LS (3M-Espe), grupo 3 Adhese (Ivoclar-vivadent) y grupo 4 de control, ac fosfórico + adhesivo Single bond (3M-Espe). Se confeccionaron las muestras para cada grupo usando superficie dentinaria y en esmalte y se adhirió a cada superficie tratada según las recomendaciones del fabricante, un cilindro de resina compuesta de 10 mm de largo por 1 mm de diámetro. Las muestras fueron sometidas a pruebas de resistencia al corte mediante la utilización de Instron 3344, con una velocidad de carrera de 0.5 mm por minuto. Los valores obtenidos fueron medidos en Megapascuales y sometidos a análisis de varianza ANOVA y test de student. Los resultados mostraron evidencias significativas para el grupo control. No se pudo establecer una correlación entre la longitud de los tags y la resistencia al corte.

Conclusiones: El largo de los tags no determina la capacidad de adhesión con respecto a la dentina. En el caso del esmalte no mostraron diferencias significativas.

8

ESTUDIO COMPARATIVO SOBRE LA ADAPTACIÓN DE COFIAS METÁLICAS PARA PORCELANA, UTILIZANDO DIFERENTES TÉCNICAS DE ELABORACIÓN

Sorbera JA*
Universidad Católica de Córdoba

Objetivos: Actualizar conocimientos sobre factores de orden técnico para mejorar la adaptación y el ajuste de cofias metálicas (CM) para porcelana. Desarrollar una técnica innovadora de confección y evaluar las modificaciones al procedimiento convencional. **Métodos:** Se utilizaron troqueles desmontables de material refractario (MR) y de yeso extraduro (YE) obtenidos a partir de un pilar metálico (primario) confeccionado "in Vitro". Los materiales para confección del patrón fueron: cera para patrón y resina acrílica autopolimerizable. Se establecieron 4 grupos de 10 muestras cada uno: Grupo A1 combinación troquel de MR-patrón de resina acrílica, A2 troquel de MR-patrón de cera, B1 combinación troquel de YE-patrón de resina acrílica y B2 troquel de YE-patrón de cera. Posteriormente, todos los patrones correspondientes cada grupo fueron sometidos bajo las mismas condiciones a la técnica de colado dental. Luego, cada pieza colada fue cementada sobre su correspondiente pilar primario, usando para ello, una fuerza de presión constante (prensa hidráulica) un intermediario y un agente cementante. Se midió la interfase cofia-pilar. (10 mediciones por muestra, 400 en total para toda la experiencia) mediante fotografías digitales sobre imágenes microscópicas y volcadas sobre un software capaz de realizar mediciones en micrómetros. Los valores obtenidos en cada grupo fueron promediados y sometidos a un estricto análisis estadístico. (T de Student). **Resultados:** Se compararon los valores (p) de la interfase entre los diferentes grupos: A1-A2: 0,0486. A1-B1: 0, 0006. A1-B2: 0, 0001. A2-B1: 0, 0266. A2-B2: 0, 0005. B1-B2: 0,0803. En el cotejo final se encontraron diferencias estadísticamente significativas en todos los grupos. Solo la comparación B1-B2 no registró, diferencias estadísticamente significativas. **Conclusión:** La técnica convencional (B2) registró el menor grado de adaptación. El MR demostró ser el material de elección en la elaboración de modelos definitivos para confeccionar patrones para CM, independientemente del material utilizado para confeccionar el patrón, comparativamente con el YE. Las resinas de autopolimerización en frío resultaron ser el mejor material para elaborar patrones solo cuando se utilizaron sobre modelos de trabajo hechos en MR.

9

ESCURRIMIENTO, RESISTENCIA FLEXURAL Y MÓDULO ELÁSTICO DE COMPOSITOS DE BAJA CONSISTENCIA.

Malaspina EN, Esmoris M, Cesteros RA, Iglesias ME*
Cátedra de Materiales Dentales. Facultad de Odontología. Universidad de Buenos Aires.

Los composites de baja consistencia (CBV) se caracterizan, por una mayor fluidez, menores valores de rigidez y, en algunos casos, una fracción menor de relleno cerámico. El **OBJETIVO** de este trabajo fue valorar el escurrimiento, resistencia flexural y módulo elástico de composites de baja viscosidad y la relación existente entre estas propiedades. **MATERIALES Y MÉTODOS:** Se utilizaron para este estudio siete CBC: Composite Flowable (Cf)-Prime-Dent, Z350 (Zf) -3M-ESPE-, Brilliant Flow (Bf)-Coltene-Whaledent-, Tetric-N-Flow (Tf) -Ivoclar-Vivadent-, Klepp Flow (Kf) – Klepp -, Flowlux (Ff)-Ventura- y Wave (Wf) –SDI- **ESCURRIMIENTO (esc)** : (n=3) el escurrimiento fue valorado mediante el dispensado de 2ml de material sobre un portaobjetos que se colocó a 90° sobre un dispositivo ad-hoc durante 60 segundos; finalmente se registró, con un calibre Somet, la distancia entre una marca inicial y una final. **RESISTENCIA A LA FLEXIÓN (RF) Y MÓDULO ELÁSTICO (E)** : (n= 5) fueron determinados de acuerdo a la norma ISO 4049. Se confeccionaron 5 probetas prismáticas de 25x2x2mm mediante el llenado de un conformador ad-hoc. La polimerización se activó, según instrucciones de cada fabricante con una unidad de curado 3M XL3000 (609,3mwatt/cm²). Una vez completado el endurecimiento, cada espécimen fue pulido con papel de carburo siliconado de granulometría 320, almacenado en agua destilada a 37° durante 24hs y por último sometido a ensayo de RF en una máquina Instron con un cabezal de 1mm/min, hasta la fractura. El E (en GPa) fue obtenido a través de la pendiente de la curva de deflexión obtenida durante el test de RF de tres puntos. Los datos se analizaron con ANOVA. **RESULTADOS:** Cf: esc: 0,93mm±0,12/RF: 96,80GPa±9,37 /E 5,36GPa±0,4. Ff: esc:2,13mm± 0,12; RF:112,26±10,37; E:5,85±0,83. Kf: esc:2,37± 0,23; RF: 93,35±8,35; E: 4,76±0,14. Bf: esc: 0,93±0,21; RF:94,38±5,34; E: 4,01±0,26. Wf: esc:2,85±0,30; RF:85,48±3,40,E:3,23±0,45. Zf: esc: 0,47±0,15; RF:118,08±7,08; E: 4,52±0,83; Tf: esc: 2,53±0,33; RF:118,00±1,78; E:4,72±0,35. Se encontró diferencia significativa entre los materiales estudiados.

10

ESTABILIDAD DIMENSIONAL LINEAL DE ELASTÓMEROS PARA IMPRESIÓN EN FUNCIÓN DEL TIEMPO

Garrofé A, Ferrari B, Picca M, Kaplan AE.
FOUBA – Cátedra Materiales Dentales

OBJETIVO: El objetivo del trabajo fue evaluar la estabilidad dimensional lineal de diferentes elastómeros para impresión.

MÉTODOS: Se confeccionó una matriz metálica con sus correspondientes cubetas individuales realizadas con láminas termoplásticas (Marca Sabilex, de 0.125 mm de espesor). Se tomaron tres impresiones con cada material a esta matriz. Se utilizaron tres siliconas por adición (Examix-GC-(AdEx), Aquasil-Dentsply-(AdAq), y Panasil – Kettenbach-(AdPa)) y tres siliconas por condensación (Densell-Dental Medrano-(CoDe), Speedex-Coltene-(CoSp), y Lastic-Kettenbach-(CoLa)). Se realizaron todas las impresiones con dos consistencias: pesada y liviana, con la técnica de un solo tiempo. Luego se tomaron fotografías estandarizadas a diferentes intervalos de tiempo (0, 15, 30, 60, 120 minutos; 24 horas; 7 días y 14 días), con una cámara fotográfica digital, utilizando un dispositivo ad-hoc. Las imágenes se analizaron con software de procesamiento de imágenes (Image Tool) realizando la medición de la distancia entre las intersecciones de surcos previamente realizados en la porción superior de la matriz. Los resultados obtenidos fueron analizados mediante Análisis de varianza para mediciones repetidas.

RESULTADOS: La media y el DS inicial y final para todos los materiales fue: AdEx: 1,32(0,01) y 1,31(0,00); AdAq:1,32(0,00) y 1,32(0,00); AdPa:1,327(0,006) y 1,31(0,00); CoDe:1,32(0,00) y 1,32(0,01); CoSp: 1,327(0,006) y 1,31(0,00); CoLa: 1,327(0,006) y 1,303(0,006). La evaluación estadística mostró el efecto significativo de las variables material y tiempo.

CONCLUSION: Bajo las condiciones de este estudio podemos concluir que el tiempo afectaría significativamente la estabilidad dimensional lineal de elastómeros para impresiones.

Este trabajo fue financiado con el subsidio O011 de la Universidad de Buenos Aires

*Ortolani A. M, Cortese S. G, Biondi A. M
Cátedra Odontología Integral Niños. Facultad de Odontología. Universidad Buenos Aires

En un trabajo anterior, se concluyó que los sistemas autoacondicionantes brindan una alternativa restauradora en Odontopediatría con menor índice de dificultad, menor tiempo operatorio y semejante comportamiento clínico que los sistemas convencionales.

El **objetivo** de este trabajo fue comparar el comportamiento clínico de restauraciones realizadas en piezas primarias con resinas compuestas utilizando tres sistemas adhesivos: un sistema monocomponente previo grabado ácido, y dos sistemas autoacondicionantes.

Sujetos y Métodos: Los datos obtenidos en 40 pacientes de 5.25+1.83 años de edad con 1 o más piezas primarias que fueron restauradas con resinas compuestas, utilizando un sistema autoacondicionante Adper Prompt 3M (Grupo AA: n=70) o una técnica convencional con grabado ácido + sistema monocomponente Adper Single Bond 2 (Grupo AG: n=45) fueron comparados con los obtenidos en 45 pacientes de 5.19+1.9 años utilizando Adper SE Plus 3M (Grupo AAP: n=78). Las 193 restauraciones fueron evaluadas clínicamente en condiciones basales, a los 6 y a los 12 meses acorde a los criterios de Ryge y los resultados fueron analizados estadísticamente con Test de Fisher.

Resultados: Clínicamente no se registraron diferencias significativas entre los tres grupos a los 180 días (AA vs. GA p=0.54; AA vs. AAP p=0.58; GA vs. AAP p=0.55), ni a los 360 días (AA vs. GA p=0.64; AA vs. AAP p=0.13; AG vs. AAP p=0.10). En la evaluación a 6 meses fue necesario el reemplazo de 7 restauraciones en AA, 5 en GA y 8 en AAP y al año de 2 restauraciones en AA, 2 en GA y 0 en AAP.

Conclusión: En este estudio a 12 meses los tres sistemas adhesivos empleados mostraron semejante comportamiento clínico, observándose mayor necesidad de reemplazo de restauraciones en la evaluación a 6 meses.

Tellez N*, Kaplan AE
Facultad de Odontología, Universidad de Buenos Aires, Argentina y Universidad los Andes, Venezuela

Objetivo comparar el efecto de la aplicación de un agente remineralizante a base de arginina con carbonato de calcio (ACC) con la colocación de ACC con fluoruro sobre el esmalte dental blanqueado, mediante el uso de EDS.

Materiales y Métodos 13 terceros molares extraídos fueron incluidos en bloques de acrílico y cortados a nivel del límite amelocementario. Las coronas fueron seccionadas en dos partes (vestibular y lingual) con el fin de usar un diseño experimental de muestras apareadas, los dientes fueron divididos aleatoriamente en cuatro grupos Grupo 0: control, Grupo 1: peróxido de hidrógeno al 38% (PH) Grupo 2: PH y ACC para uso en el consultorio, Grupo 3: PH y ACC para uso doméstico (con fluoruro), las muestras fueron observadas en MEB y analizadas con EDS. Se aplicó un análisis multivariado para comparar los grupos.

Resultados. Los valores registrados (en %) para calcio oscilaron entre 14.65 y 63.59, para fósforo entre 5.49 y 20.34 y no hubo registro de flúor. La diferencia entre los valores obtenidos para calcio y fósforo fue significativa con un p= ,000, el análisis estadístico mostró una diferencia de medias entre grupos significativa a un nivel <0,05 con un intervalo de confianza del 95% con respecto al aumento de fosfato entre el grupo control y el grupo PH y ACC con fluoruro.

Conclusión el esmalte es susceptible a cambios en su composición mineral durante el tratamiento blanqueador, pero la pérdida de minerales se minimiza por el empleo de remineralizantes con ACC y carbonato de calcio o fluoruro.

Este trabajo fue financiado con el Subsidio 0011 de la Universidad de Buenos Aires

CITOTOXICIDAD INDUCIDA POR PARTÍCULAS DE DIÓXIDO DE TITANIO EN MACRÓFAGOS

Bruno M1,3, Olmedo D2,3, Cabrini R3,4, Ferraro S1, D'Atri P1, Tasat D*1,3
Esc. Ciencia y Tecnología UNSAM1 - CONICET2 - Fac. de Odontología UBA3 - CNEA 4

Los macrófagos son células del sistema inmune que interaccionan con los biomateriales a nivel de la interface metal-tejido. Dentro de los biomateriales metálicos el titanio es uno de los más utilizados como implante en el área biomédica, que presenta una capa de dióxido de titanio (TiO₂) que lo recubre. La respuesta biológica al TiO₂ dependería de sus propiedades físico-químicas como composición, forma, tamaño, concentración, etc.

Objetivo: evaluar in vitro la citotoxicidad de partículas de TiO₂ de diferentes tamaños y concentraciones en macrófagos. **Métodos,** macrófagos murinos se obtuvieron mediante lavado broncoalveolar, cultivaron en RPMI-1640 con SBF 10% y expusieron a partículas de TiO₂ de 10 y 150 nm a diferentes concentraciones (2.5, 5, 10 y 100 µg/mL). Luego de 24 hs. de cultivo se evaluaron los siguientes parámetros funcionales: metabolismo celular mediante el ensayo de MTT (3-(4,5-dimethylthiazol-2-yl)-2,5-diphenyltetrazolium bromide), generación del anión superóxido (O₂⁻) mediante la reducción de azul de tetrazolio, liberación del factor de necrosis tumoral (TNFα) mediante ELISA, reducción del número de células mediante recuento celular y muerte celular (apoptosis

y/o necrosis) por coloración diferencial empleando bromuro de etidio y naranja de acridina y por citometría de flujo. **Resultados,** el metabolismo celular independientemente del tamaño de la partícula mostró una tendencia a disminuir observada solo para la dosis mayor empleada. La generación de O₂⁻ (ej: TiO₂10nm[2.5]: 66,6±7,7; 10nm[10]: 77,4±0,4 vs. Co: 17,5±1,9; p<0.001) y la producción de TNF α (ej: TiO₂10nm[2.5]: 91,7±3,5; 10nm[10]: 136,7±18,6 vs. Co: 61,4±6,6; p<0.001) aumentaron significativamente de manera dosis dependiente para ambos tamaños de partículas. Asimismo, los cultivos expuestos a ambos tamaños de partículas de TiO₂ presentaron reducción en el número de células debido principalmente a la inducción de la muerte celular mediante la vía apoptótica. **Conclusiones,** el TiO₂ generó una citotoxicidad dependiente de la concentración evidenciada por los parámetros evaluados. Sin embargo, a una misma concentración, las partículas de 10nm provocaron una alteración mayor que las de 150nm. *Subsidios: PICT 1116 - ANPCyT y MicroFitS.A.*

EVALUACION DE PARÁMETROS CLÍNICOS POST TERAPIA BASICA IMPLEMENTADA POR ESTUDIANTES

*Calafell C, Oviedo JC, García G, Tortolini P, Rubio S, Doro, Usin M, Musso G, Menso J, Moreno M, Esper ME. FOUNC

Como parte del tratamiento periodontal la TERAPIA BASICA incluye el control del biofilm dental, instrucción en técnicas de higiene bucal y la eliminación de factores retentivos locales, incluyendo el calculo dental. Muchas veces con esta única técnica se logra la salud de los tejidos periodontales.

Objetivo: Evaluar clínicamente la efectividad del tratamiento realizado por los estudiantes de la asignatura Periodoncia B de la FOUNC, a pacientes periodontalmente enfermos.

Material y Técnica: Se trataron 11.112 elementos dentarios, que correspondieron a 469 pacientes, 260 mujeres y 209 varones, cuyas edades fueron 135 menores de 25 años, 250 entre 26 y 50 y 84 mayores de 50. Se diagnosticó 1471 elementos con Gingivitis, 7950 con Periodontitis leve, 1282 con Periodontitis Grave y 409 con Periodontitis complicada. Se registró: porcentaje de placa, supuración y hemorragia. Con sonda periodontal, se tomaron las medidas de Profundidad de sondaje y Nivel de Inserción Clínica.

Resultados:

Registro de Placa Pre: Max. sup. 62,89% Post: 13,72%; Pre. Inf. 70,31% y Post. 13,28%

Registro de Hemorragia Pre Max Sup. 38,93% Post.: 9,30%; Pre. Inf. 45,68 y Post. 10,43

Registro de Supuración Pre Sup 2.07 post 0.03; Pre. Inf. 2.49 y Post. 0.27

Prof. de sondaje menores de 5mm Pre : 9830 y Post 10.480

Prof. de sondaje mayores de 5mm Pre : 1282 y Post 590

Elementos extraídos: 42

Conclusiones: Del análisis de los resultados, se desprende que la terapia inicial realizada por los estudiantes, es efectiva para controlar el biofilm, disminuir la inflamación y la profundidad de sondaje. La patología residual, debe resolverse con cirugía de acceso.

EFECTO DE MICROGRÁNULOS DE MINOCICLINA SUBGINGIVAL EN SUJETOS CON PERIODONTITIS CRÓNICA

*Chiappe V, Pecci A, Rodríguez C, Gómez M, Romanelli H.

Cátedra de Microbiología y Carrera de Especialización en Periodoncia. Facultad de Odontología. Universidad Maimónides

Objetivo: evaluar el efecto clínico y microbiológico de microgránulos de Minociclina, colocados subgingivalmente, como coadyuvante del raspaje y alisado radicular. **Método:** Participaron 26 sujetos voluntarios con Periodontitis crónica (edad promedio: 45,6), no fumadores. Se seleccionaron 4 sitios contralaterales clínicamente homogéneos con Sangrado al Sondaje (SS) y Profundidad al Sondaje (PS) ≥ 6 mm. Se determinó presencia de *Porphyromonas gingivalis* (Pg), *Tannerella forsythia* (Tf), *Treponema denticola* (Td) y *Aggregatibacter actinomycetemcomitans* (Aa) mediante PCR. Condición Basal (CB): se registraron parámetros clínicos: SS, PS y Nivel de Inserción (NI). Se tomaron muestras microbiológicas de los sitios seleccionados. Un lado de la boca fue aleatoriamente asignado al tratamiento experimental: Raspaje y alisado radicular más microgránulos de Minociclina (grupoE Ry A+M), el otro lado al tratamiento control: Raspaje y alisado radicular (grupoC RyA). Día 30 y 90: se repitieron las evaluaciones. **Resultados:** En la CB el 100% de los sitios presentó SS. Al día 30 el SS se redujo al 81% en el grupo C y al 12% en el grupoE ($p < 0,05$). Estas diferencias se mantuvieron al día 90 (grupoC: 58%, grupoE: 8%). La media inicial PS de la fue de 6,3mm para el grupoC y de 6,6 mm para el grupoE ($p > 0,05$). Al día 30 hubo, en ambos grupos, disminución significativa de la PS (grupoC: 4,8mm, grupoE: 4,2mm), siendo más efectivo el tratamiento experimental. Esta diferencia se mantuvo al día 90 (grupoC: 4,7mm, grupoE: 3,8mm). La media inicial del NI fue de 6,2 mm para el grupoC y de 6,5 mm para el grupoE ($p > 0,05$). En ambos grupos a los 30 días hubo disminución significativa del NI ($p < 0,05$), no hubo diferencias entre los grupos, evidenciándose al día 90. En la CB no hubo diferencias entre los grupos para Pg, Aa, Tf y Td ($p > 0,20$). A los 30 y 90 días en ambos grupos se redujo la prevalencia para Pg, Tf y Aa. A los 30 y 90 días la reducción de sitios con Pg fue mayor en el grupoE ($p = 0,002$). A los 90 días la frecuencia de sitios con Td disminuyó en el grupoE y aumentó en el grupoC ($p = 0,023$). **Conclusiones:** Los resultados mostraron que el RyA+M produjo una reducción mayor del SS, PS y NI que el RyA solo, aumentó la probabilidad de suprimir Pg y retardó la recolonización con Td.

EVALUACIÓN CLÍNICA Y MICROSCÓPICA DE TRATAMIENTOS PERIODONTALES NO QUIRÚRGICOS COMBINADOS

Feser G*; Gulino M; Marí G; Soto A; Klass C; Ybarra O; Funosas E.
Facultad de Odontología. UNR.

OBJETIVO: Comparar la efectividad de dos terapias periodontales no quirúrgicas combinadas desde el punto de vista clínico y con un análisis de la superficie dentaria tratada mediante microscopía óptica (MO) y electrónica de barrido (MEB). **MÉTODO:** En un estudio previo (Funosas et al, SAIO 2009) se estableció que piezas dentarias sometidas a raspaje radicular con distintos instrumentos no arrojaron diferencias estadísticamente significativas en referencia al cálculo residual observado por microscopía óptica, mientras que con microscopía electrónica de barrido se observó un mayor desprendimiento cementario en el grupo de ultrasonido piezoeléctrico. Fueron seleccionados 30 pacientes con enfermedad periodontal moderada a severa e indicación de al menos una pieza para extracción por mal pronóstico. Se realizó un estudio clínico con un diseño de boca partida, randomizado y doble ciego. Se compararon dos modalidades de tratamiento combinadas: Cavitron Bobcat + terminación con Curetas Gracey (G1) y EMS + terminación con curetas Gracey (G2). La instrumentación fue efectuada hasta obtener una superficie lisa y sin presencia de cálculos o residuos, lo que fue comprobado mediante una sonda periodontal. Las piezas extraídas fueron analizadas mediante MO y MEB. Las variables periodontales: Índice de placa (IP), sangrado al sondaje (SS), profundidad de sondaje (PS), nivel de inserción (NI), recesión gingival (RG) fueron observadas antes del tratamiento y a los 3 y 6 meses posteriores. El tiempo operatorio ($T^{\circ}pd$) para cada método también fue analizado. Los resultados se compararon mediante ANOVA seguido por el test de Tukey, fijándose el valor de significancia $p < 0,05$. **RESULTADOS:** IP, SS, PS, NI se comportaron de forma semejante en ambos grupos. RG determinada en mm fue para G1 (0,31) y para G2 (0,46). $T^{\circ}pd$ en minutos por diente fue para G1 (3,21) y para G2 (3,12). **CONCLUSION:** Ambas modalidades de tratamiento favorecieron la resolución de la patología periodontal. La instrumentación piezoeléctrica combinada con curetas Gracey produjo mayores recesiones gingivales. Las superficies analizadas mediante MO y MEB no demostraron variaciones cuantitativas ni cualitativas estadísticamente significativas.

17

VIRUS PAPILOMA HUMANO EN MUCOSA BUCAL Y SU RELACIÓN CON EL ESTADO PERIODONTAL DE MUJERES CON LESIONES GENITALES SOSPECHADAS DEL MISMO

*Fuster Roselló L., Ribotta de Albera E. M., Cuffini C., Fuster Juan M.
Hospital Universitario Materno Neonatal y Fundación Independencia. Córdoba. Argentina.

Objetivo: identificar la presencia del HPV en lengua y periodonto de mujeres sanas y enfermas periodontales con lesiones genitales sugestivas al mismo. **Método:** fueron evaluadas 30 mujeres, no menopáusicas, de entre 18 y 50 años de edad, derivadas del Servicio de Ginecología del Hospital Universitario Materno Neonatal de la ciudad de Córdoba. Las mismas, sistémicamente sanas y con diagnóstico ginecológico, por estudios colposcópico, citológicos y anatomopatológicos, de lesiones genitales compatibles de HPV, expresaron voluntariamente su consentimiento por escrito. Se realizó, anamnesis enfatizando sobre la práctica de sexo oral, inspección de mucosas bucales, examen clínico periodontal y la toma de tres escobillados por paciente, dos de un mismo sitio periodontal (epitelio externo de encía y epitelio interno del surco/bolsa periodontal y el otro de lengua. Las 90 muestras fueron sometidas a estudios citológicos de Papanicolaou y a estudios moleculares de amplificación de ácidos nucleicos por Reacción en Cadena de la Polimerasa. Los datos fueron agrupados y analizados por el "Test Chi Cuadrado" (χ^2) y el "Índice de Kappa" (κ). **Resultados:** Fue demostrada la alta prevalencia de la presencia del virus papiloma tanto en lengua (30%), como en tejidos periodontales (15%). El genotipo -16 de alto riesgo (HR) fue identificado en mayores porcentajes (67%) encontrando, también, el genotipo -52 (HR) y el -6. Siempre que el HPV estuvo presente en los sitios periodontales fue detectado, también, en la lengua de las mismas pacientes, de las cuáles el 88,89% practicaba sexo oral. Se destaca el hallazgo clínico de lesiones estomatológicas compatibles con papilitis foliada en las pacientes HPV intrabucales positivas. En la muestra analizada, no se pudo establecer asociación estadísticamente significativa entre la presencia de HPV y enfermedades periodontales. **Conclusiones:** en el grupo de mujeres con lesiones ginecológicas de HPV, tanto el periodonto como la lengua demostraron actuar como reservorios del mismo pudiendo esta última, además, facilitar la contaminación intrabucal y la transmisión interpersonal entre humanos. No fueron positivamente correlacionados la presencia de HPV y la mayor incidencia y severidad de lesiones periodontales.

18

ESTADO PERIODONTAL EN FUMADORES PASIVOS. INFORME PRELIMINAR

Feser G*, Gulino M, Boccio I, Quintero A, Antuña V, Funosas E.
Facultad de Odontología. UNR.

OBJETIVO: Determinar si los individuos no fumadores expuestos al tabaco ambiental tienen una mayor prevalencia y severidad de enfermedad periodontal con respecto a los fumadores y a los no fumadores no expuestos al humo del tabaco.

MATERIALES Y MÉTODOS: Se realizó un estudio epidemiológico analítico de casos y controles para determinar si la inhalación ambiental del humo del tabaco tiene algún efecto perjudicial sobre los tejidos gingivales y periodontales. Se evaluaron 125 estudiantes de la carrera de Odontología de la Universidad Nacional de Rosario: 54 no fumadores no expuestos al humo ambiental (NF), 33 no fumadores expuestos al humo del tabaco (NF Exp) y 33 fumadores (F). Las variables estudiadas fueron: Índice de placa (IP), Sangrado al sondaje (SS), Profundidad de sondaje (PS), Pérdida de inserción clínica (PIC), Recesiones gingivales (REC) y Cantidad de dientes presentes (DP). Los datos fueron analizados por un test de Kruskal-Wallis y por un análisis de la regresión logística multivariada. La significación estadística se fijó en $p < 0,05$.

RESULTADOS: El IP para F 0.43 (0.24), NF 0.38 (0.23) y NF Exp 0.42 (0.18). El SS para F 36.30 (18.02), NF 14.43 (7.07), NF Exp 24.24 (14.01). La PS para F 1.95 (0.32), NF 1.86 (0.26), NF Exp 2.04 (0.24). La PIC para F 1.43 (0.31), NF 0.35 (0.25), NF Exp 0.67 (0.34). Las REC para F 0.64 (0.47), NF 0.39 (0.46), NF Exp 0.73 (1.52). La DP para F 26.7 (1.93), NF 27.2 (1.45), NF Exp 27.25 (1.34). El IP, PS y DP se comportó en forma similar en todos los grupos. La PIC fue significativamente mayor para F respecto a los otros grupos. En cambio al considerar las REC y el SS observamos diferencias estadísticamente significativas entre los NF con respecto al resto de la población.

CONCLUSIONES: Este informe preliminar muestra una asociación entre las recesiones gingivales y la exposición al tabaco, tanto directa como indirecta. La pérdida de inserción clínica es coincidente con el sangrado al sondaje, siendo significativamente mayor en los fumadores.

19

INDICADORES HISTOLÓGICOS DE CORROSIÓN EN MUCOSA BUCAL ASOCIADA A IMPLANTES DE TITANIO

*Olmedo DG1,2, Paparella ML1, Brandizzi D3,4, Spielberg M4, Cabrini RL1,3.
1Cát. Anat. Patológica, Fac. Odontología, UBA. 2CONICET. 3Div. Patología, Dpto. Radiobiología, CN

El titanio es el biomaterial metálico más utilizado en implantología odontológica. Como consecuencia de la corrosión pueden liberarse iones y/o partículas hacia el bioentorno. En trabajos previos hemos mostrado la presencia de partículas metálicas en el tejido peri-implantario de implantes dentales humanos fracasados y en citologías exfoliativas de mucosas peri-implantarias. **Objetivo:** Evaluar histológicamente indicadores del proceso de corrosión en mucosas bucales humanas asociadas a implantes sumergidos de titanio. **Métodos:** Se analizaron 153 biopsias de mucosas bucales humanas de la zona que cubre el tornillo de cierre del implante. Las muestras se fijaron en formol y se prepararon para su observación histológica. Se evaluó la respuesta del tejido epitelial y conectivo y la presencia de partículas metálicas. Se analizó la distribución, y cuantificó el número y tamaño de las partículas mediante un programa "ad-hoc" de análisis de imágenes. Se realizaron técnicas inmunohistoquímicas para células de Langerhans (anti CD1a), macrófagos (anti CD68) y linfocitos T (anti CD45RO). El análisis microquímico de las partículas se realizó por dispersión de rayos x (EDS). La superficie de los tornillos de cierre se evaluó mediante microscopía electrónica de barrido (MEB). **Resultados:** En 63 muestras (41%) se observaron partículas metálicas en diferentes sectores del espesor de la mucosa. Las partículas mostraron una importante variabilidad en relación al número y tamaño (tejido conectivo: n° de partículas:460±720; área:3±2μ²/tejido epitelial: n° de partículas:551±558; área: 0.9±0.7μ²). El epitelio mostró acantosis y estratificación basal y el conectivo presentó diferentes grados de vascularización e infiltrado de células inflamatorias crónicas. Las técnicas de inmunomarcación confirmaron la presencia de macrófagos y de linfocitos T asociados a las partículas. El análisis microquímico reveló el elemento titanio. Con MEB se observaron depresiones e irregularidades en la superficie de los tornillos. **Conclusión:** La detección de partículas de titanio en el tejido y la respuesta inmune asociada a las mismas, constituyen indicadores tisulares del proceso de corrosión.

Subsidio: PICT 2008-1116 - ANPCyT.

20

DIAGNÓSTICO CLÍNICO Y MICROBIOLÓGICO EN ESCOLARES DE POBLACIONES EXCLUIDAS. DEPARTAMENTO DE YAVI, JUJUY

Alavar M, Juárez D, Cruz S, Santana M, Ferro M, Gutiérrez S, Delgado AM.
Hospital Dr. Jorge Uro, La Quiaca, Jujuy. Cátedra de Bioestadística. Fac. de Medicina. Cátedra de Mi

OBJETIVO: Fue relevar el estado de salud oral desde el punto de vista clínico y microbiológico y así determinar el tratamiento odontológico necesario, en una población escolar descendiente de pueblos originarios del Departamento de Yavi, Jujuy. **MATERIALES Y MÉTODOS:** La población estudiada estuvo representada por 46 niños entre 6 y 13 años, de ambos sexos que concurrieron a la Escuela Vicente López y Planes en el año 2009. El 65 % (30) de los escolares eran indigentes. Clínicamente se registró CPOD/ceod, Índice de Placa de Löe y Silness (IP), Frecuencia de Cepillado (FC), Historia de Dieta (MA) y la necesidad de tratamiento de caries (INTC). Para el estudio microbiológico se tomaron muestras de saliva sin estimular que fueron recibidas en frasco estéril de boca ancha. Se realizó el recuento de estreptococos del grupo mutans, en Agar Mitis Salivarius-Bacitracina (MSB). Las placas fueron incubadas a 37 °C, durante 48 a 72 hs, en presencia de aire + 5% de CO₂. Se realizó un análisis descriptivo de las variables observadas y el resultado del nivel de los microorganismos se expresaron en UFC/ml de saliva. Se usó el coeficiente de correlación Tau-b de Kendall para analizar la relación entre los indicadores clínicos y microbiológicos. **RESULTADOS:** Se obtuvieron las medidas de tendencia central y su dispersión de los parámetros clínicos y microbiológicos: C+c= 13,13 ± 3,4; IP= 1,3 ± 0,34; FC= 1,69 ± 0,65; MA= 6,19 ± 1,10; INTC= 43% (20) necesitaban medidas y programas preventivos. Estreptococos del grupo mutans (UFC/ml de saliva)= 117.778,3 + 99.421,68. La correlación entre el nivel de estreptococos del grupo mutans fue de -0,0453 con C+c; de 0,0623 con MA; y de 0,0542 con IP; y de -0,1698 con FC, siendo ésta última la única significativamente diferente de cero. **CONCLUSIONES:** Clínicamente el 56 % de la población estudiada necesitan rehabilitación (inactivación de caries, tratamientos pulpares y exodoncia). Desde el punto de vista microbiológico, el recuento de estreptococos del grupo mutans mostró leve infección en este grupo de escolares

Subsidiado por SACYT y CIUNT

PERCEPCIONES ACERCA DE LA SALUD BUCAL EN COMUNIDADES ORIGINARIAS DE LA PROVINCIA DE JUJUY

Suayter I, Peñaloza M, Alavar M, Cruz S, Delgado AM.
Hospital "Dr. Jorge Uro", La Quiaca, Jujuy. Cát. Trabajo Social Comunitario. Facultad de Filosofía y

Objetivo: Conocer las percepciones que expresan los miembros de la Comunidad de Cangrejillos, -pueblo originario de Jujuy-, acerca de la Salud Bucal.

Métodos: Se trabajó desde el paradigma cualitativo con un diseño constructivista – interpretativo (Bourdieu, 2005). El enfoque que se utilizó fue la Fenomenología Hermenéutica y el Interaccionismo Simbólico. Se empleó la técnica de Grupos Focales (GF) con las siguientes variables: Opinión de la Salud Bucal; Atención que se brinda y que desearían obtener. Accesibilidad. Valores. Para el análisis se realizó la reducción de los textos obtenidos y se los ordenó según las categorías enunciadas. Se asumió el criterio de saturación de datos.

Resultados: Se realizaron 5 GF en los que participaron 43 personas, 17 (40%) de sexo masculino, con rangos de edad entre 9 y 11 años en los escolares; entre 25 y 55 en la comunidad y entre 30 y 51 en los docentes. Para la conformación de los GF se tuvo en cuenta la heterogeneidad entre grupos e intra-grupos, con homogeneidad de sexos -por razones culturales-, excepto en los docentes. Las matrices analíticas revelaron en todos los GP, el interés en la salud bucal por los beneficios estéticos y la posibilidad de una buena alimentación; la accesibilidad a los Servicios es “*difícil*”, siendo éste el más sensible de los indicadores encontrados y “*cuando logran acceder*” el modelo de práctica dominante es demanda espontánea-resolución de urgencia. Ante esto la Comunidad y los Docentes proponen “*prevenir más que curar*” ya que consideran que las infecciones producen “*muerte*”. Por su parte, la inaccesibilidad lleva a recurrir a “*médicos caseros y mano santas*”, dando lugar a la automedicación con “*prácticas botánicas*” relacionadas con pautas culturales. El grupo social propone un perfil de odontólogo que desearían tener.

Conclusión: En este estudio se comprobó cómo la cultura, la tradición y los elementos emotivos determinan actitudes y comportamientos frente a la salud bucal.

Subsidiado por SACyT

ESTADO BUCAL, VARIABLES DEMOGRAFICAS Y DE ESTILO DE VIDA EN NIÑOS/AS EN EL PRIMER CICLO DE ESCOLARIDAD

Gonzalez A; Rossi G; Toral M; Klemonsks G; Bordoni N; Piovano S.
Catedra Odontología Preventiva y Comunitaria; FOUBA

Las variables contextuales que intervienen en el estado de salud de las personas pueden pertenecer a diferentes categorías. El **objetivo** de este trabajo fue analizar variables demográficas e inherentes a estilo y condiciones de vida estableciéndose sus asociaciones con estado de salud bucal en una muestra de niños cuyos padres firmaron el consentimiento informado aceptando participar en la investigación.

MÉTODOS: En una muestra de 52 niños/as con una edad media de $7,16 \pm 0,6$ años, odontólogos calibrados realizaron el diagnóstico bucal registrando los índices de placa Silness y Löe H. (1964) y gingival Löe y Silness (1963); el examen dentario (CPOD, CPOS, ceod, ceos y sus componentes, según Knutson *et al*, 1934; INTC según Bordoni *et al*, 1998; e ICDAS II, 2005). Se relevaron datos acerca de la caracterización demográfica, de condiciones de vida y de estilo de vida. Fueron tomadas muestras de saliva no estimulada y se analizaron el flujo salival y los niveles de *Streptococcus grupo mutans*. Se calculó la media aritmética y su dispersión para los indicadores clínicos y salivales y se analizó la asociación y correlación (prueba de Chi cuadrado (χ^2), y coeficiente de correlación de Pearson y Spearman)

RESULTADOS: El INTC osciló entre grado 2 y 14; el componente c fue de $3,53 \pm 0,39$; ICDAS 5 y 6 fue de $9,41 \pm 1,72$ con 72,5 % de niños que presentan este grado de severidad. Asociación y correlación significativa se observó entre índice de placa y componente c y C ($\chi^2 = 7$ y 4,18, $\rho = 0,37$ y 0,29, $p < 0,01$); entre índices de placa y gingival ($\chi^2 = 12,93$, $\rho = 0,48$, $p < 0,000$); entre índices de placa e índice de placa oclusal ($\chi^2 = 10,44$ $\rho = 0,38$, $p < 0,005$); Correlación negativa entre el IP e INTC y nivel educacional de la madre ($\rho = -0,28$ y 0,29 respectivamente, $p < 0,05$).

CONCLUSION: Los resultados parecen indicar que las variables biológicas y las ligadas al contexto intervienen en el estado bucal de los niños/as.

PERCEPCIÓN DE PADRES/MADRES MEDIDA POR LA ESCALA DE IMPACTO DE LA SALUD BUCAL (ECOHIS) Y EL ESTADO DENTARIO EN PREESCOLARES

*Bordoni N, Haro M, Cilleros , Piovano S.

Instituto de Investigaciones en Salud Pública, UBA; Odontología Preventiva y Comunitaria, FOUBA

El “*Early Childhood Oral Health Impact Scale*” (ECOHIS) fue diseñado para investigar la calidad de vida relacionada con la salud bucal en preescolares y sus familias. Incluye 13 preguntas distribuidas en dos dominios: 9 referidas a la percepción de los padres respecto del impacto de la salud bucal sobre los niños y 4, referidas al impacto sobre la familia, codificándose las respuestas de acuerdo con una escala tipo Likert. El **objetivo** de este trabajo fue explorar el impacto que la salud bucal tiene sobre preescolares y sus familias y su correlación con el estado dentario de los niños. La **metodología** incluyó: la traducción y validación del ECOHIS (Bordoni *et al*, 2010) y la aplicación sobre dos muestras de familias: (a) con y (b) sin factores asociados con la pobreza (n=45 y n=50, respectivamente). Sobre una submuestra aleatoria del grupo (a) fue diagnosticado el estado dentario de acuerdo con los criterios del ICDAS II, a cargo de examinadores calibrados. Las respuestas se procesaron estadísticamente mediante: (a) dicotomización en dos grupos: R1 (categorías “nunca” y “casi nunca” de la escala) y R2 (categorías “ocasionalmente”, “a menudo” y “siempre”); (b) determinación de la distribución porcentual para cada dominio; (c) comparación de medias y varianza del *score* final obtenido para cada encuestado y el *score* obtenido en cada uno de los dominios, (d) correlación entre valores del ECOHIS y del ICDAS. Los **resultados** revelaron: (1) la muestra (a) mostró una mayor concentración de R1 que la muestra (b) para ambos dominios; (2) la comparación de medias y varianza de *scores* entre (a) y (b) revelaron mayor concentración de R2 en la muestra (b) llegando al doble en el *score* en la dimensión familia; (3) el estado dentario y el ECOHIS mostraron una correlación negativa significativa. **Conclusiones:** (1) Los resultados por dominios fueron consistentes dentro de cada muestra. (2) Los factores vinculados con la pobreza parecen representar una variable interviniente en la percepción de la salud bucal. (3) Se recomienda su aplicación en muestras mayores teniendo en cuenta el contexto social donde se desarrolla el estudio.

(UBACYT R001; IADR LA 2009)

EFFECTO DE DOS PROGRAMAS DE ATENCION SOBRE LA SALUD BUCAL DE NIÑOS PREESCOLARES DE ZONAS RURALES

*Capuano C., Masoli C, Fernandez C, Rossi G, Lombardo M

Cátedra de Odontología Preventiva y Comunitaria. FOUBA. Instituto de Investigaciones en Salud Pública

El **objetivo** de este trabajo fue analizar el efecto de dos programas de atención en preescolares.

Materiales y método: sobre un total de 73 niños preescolares con una media de edad de $5,2 \pm 0,4$ se realizó:

a) Historia médica b) toma de saliva, siembra e identificación de *Streptococcus* “grupo” *mutans* (*S. mutans*) c) Índice de placa (IP) ; d) examen dentario. El grupo de niños fue dividido en dos según la escuela a la que concurrían. En el grupo 1 el tratamiento de las caries amelodentinarias sin sintomatología se realizó con la remoción de la dentina necrótica e infectada, conformación de cavidades expulsivas y aplicación de Diaminofluoruro de plata al 38%. En el grupo 2 el tratamiento consistió en la limpieza del biofilm dental y aplicación de Diaminofluoruro de plata al 38%. La identificación *S. mutans* se repitió a los 6, 12, 18 y 24 meses. El IP y estado dentario fueron repetidos a los 12 y 24 meses en las mismas condiciones que en el examen basal. Procesamiento estadístico: Se realizó $X^2 \pm ES$, test t de datos apareados y test t de datos independientes.

Resultados: a) En el grupo 1 la condición basal fue: ceod=5,00±0,63 ; ceos=10,22±1,55 ; IP=0,69±0,10; *S. mutans* = 110,54±20,84 y a los 24 meses de programa ceod= 4,92±0,58; ceos= 9,22±1,08; CPOD= 0,28±0,13; CPOS= 0,28±0,13; IP= 1,03±0,11 y *S. mutans* = 60,35±10,21. b) El grupo 2 en la condición basal mostró un ceod = 6,79±0,77; ceos= 15,29±2,32; IP= 1,44±0,07 ; *S. mutans* = 124,57±23,86 y a los 24 meses de programa ceod= 7,19±0,67; ceos= 17,03±2,01; CPOD=1,78±0,30; CPOS 2,35±0,39; IP= 1,06±0,13 y *S. mutans* =126,07±18,37. c) En ambos grupos no se observaron diferencias significativas entre ceod y ceos en condición basal y post 24 meses. d) en el grupo 1 se observó una disminución significativa *S. mutans* post 24 meses. $p < 0,05$. e) en el grupo 2 no se observaron diferencias significativas entre *S. mutans* basal y post 24 meses. $p > 0,05$.

Conclusión: El mantenimiento de la infección en las cavidades que sólo retiraron zona necrótica, asociada o no a otros factores de estilo de vida pudieron dar lugar a las diferencias observadas entre ambos programas.

25**ASOCIACION ENTRE CORTISOL Y ALFA AMILASA SALIVAL, SALUD BUCAL, ALIMENTACION, APTITUDES COGNITIVAS Y ESTRÉS**

*Carranza M1-2, Viramonte M3, Bregains L1, Arriaga A1, Sorbera L1, Gómez de Ferraris1. Facultades de: Odontología1- C. Exac., Fís y Naturales2-. Lenguas3-. UNC.

OBJETIVO. Se correlacionó en alumnos el consumo de alimentos cariogénicos, salud dental, aptitudes cognitivas en la lectura comprensiva y estrés percibido, con los niveles matutinos de cortisol y alfa amilasa salival, indicadores del estrés mental que modulan el rendimiento de la memoria. **MÉTODOS.** Se recolectaron muestras de saliva matutina de 61 niños sanos de ambos sexos entre 8 y 13 años de edad, con consentimiento firmado y participación voluntaria que concurrían a 4°, 5° y 6° grados de primaria, de una escuela pública de Córdoba, Argentina. Se les efectuó un examen bucal no invasivo, control de peso y talla, encuesta sobre hábitos nutricionales y se evaluó su autopercepción de estrés y capacidad cognitiva con pruebas de lectura. La determinación de alfa amilasa salival se realizó mediante método enzimático a 405 nm. El cortisol se determinó por radioinmunoensayo. Los datos se sometieron al análisis estadístico y se aceptó una significación de $p < 0.05$. **RESULTADOS.** Los niveles matutinos de ambos indicadores de estrés variaron entre los sexos. Valores superiores de cortisol e inferiores de alfa amilasa se encontraron en las niñas. Estos no estuvieron asociados con el peso y la talla corporal. Los niños de 4° grado mostraron los niveles de cortisol y alfa amilasa más bajos, los puntajes más altos en las pruebas de lectura y la dieta más rica en carbohidratos, que sus pares de 5° y 6° grado. Los índices de CPO-D estuvieron asociados al número de dientes cariados. En general, los alumnos consumían golosinas diariamente entre las comidas e ingerían gaseosas todos los días. Entre los no consumidores de gaseosas se hallaron diferencias significativas en los CPO-D. La mayoría de los valores más altos de cortisol se correspondieron con los puntajes más bajos en las pruebas de lectura y con la ausencia de azúcares en la dieta. Hubo asociación directa y significativa entre los niveles de alfa amilasa salival, el CPO-D y el consumo de golosinas. **CONCLUSION.** Los niveles de cortisol y alfa amilasa se relacionaron inversamente y estuvieron influidos por la dieta, un estresor que afectó el desempeño cognitivo. Una dieta pobre en azúcares favorece la salud bucal, pero afecta negativamente el rendimiento cognitivo. *PICTOR II 20293,SECyT159/09.*

26**CAMBIOS BIOQUÍMICOS Y ULTRAESTRUCTURALES DE LEVADURAS E HIFAS DE C. ALBICANS TRATADAS CON CLORHEXIDINA Y NISTATINA**

*Barembaum SR1, Calamari SE1, Azcurra AI1, Maldonado C3, Coronel CE2. 1Dpto.Biol.Bucal, F. Odontología, 2Lab.Bioq.Biol.Reproductiva-ICTA-FCEfYn, 3C.M.E.-F.C.M. UNC.

INTRODUCCIÓN: La patogenicidad y virulencia de *Candida* se relaciona principalmente con la pared celular fúngica. La transformación de levadura a hifa de *C. albicans* modifica la composición de las proteínas de la pared celular del hongo, siendo la forma filamentosa la más virulenta. Debido a que las células del huésped carecen de pared celular, esta estructura sería un importante blanco para el desarrollo de drogas antifúngicas. Por lo tanto, resulta importante conocer acerca de la estructura y función de las proteínas de la pared celular involucradas en dicha transformación y el efecto de drogas antifúngicas sobre las mismas. **OBJETIVO:** Estudiar los cambios bioquímicos y ultraestructurales de levaduras e hifas de *C. albicans* tratadas con Nistatina y Clorhexidina. **MÉTODOS:** Para la inducción del tubo germinativo (TG) las levaduras se incubaron con suero fetal bovino a 37°C por 3,5 h. Tanto levaduras como TG (1×10^6 cel/mL) se trataron con diferentes concentraciones de Clorhexidina (CLX) y Nistatina (Nis) a 37°C por 30 minutos. Las proteínas de la pared celular se extrajeron en medio reductor y luego se separaron por SDS-PAGE. Para la microscopía electrónica (ME), las células se incluyeron en Araldita, se realizaron cortes con ultramicrotomo y se tiñeron con metales pesados para su observación. **RESULTADOS:** Los perfiles electroforéticos de los extractos proteicos de pared celular de TG mostraron marcadas diferencias con los de las levaduras, principalmente en la región correspondiente a proteínas de más de 60 kDa. El tratamiento con CLX y Nis provocó modificaciones en los perfiles electroforéticos de TG mostrando marcada disminución en una banda de ~ 65 kDa. La ME reveló que ambos tratamientos provocaron daño celular siendo más pronunciado con CLX, tanto en TG como en las levaduras. **CONCLUSIONES:** El tratamiento con CLX y Nis provocó marcadas alteraciones tanto en los patrones electroforéticos de las proteínas de la pared celular de TG como en la ultraestructura celular. La disminución de la banda proteica de ~ 65 kDa por tratamiento con ambas drogas resulta interesante y altamente auspicioso ya que se conoce que una mananoproteína de igual masa participa en la adhesión al huésped y también colaboraría en el desarrollo del biofilm.

CUMPLIMIENTO DEL PROTOCOLO DE RECUPERACIÓN DEL INSTRUMENTAL POR LOS ODONTÓLOGOS DE LA CIUDAD DE BUENOS AIRES

Brusca MI*, Levin BC, Tejerina DP, Molgatini SL
Cátedra de Microbiología y Parasitología. Facultad de Odontología. Universidad de Buenos Aires.

Para brindar una práctica odontológica segura y evitar la transmisión de infección por medio de fómites en la consulta odontológica se requiere del cumplimiento de múltiples pasos en el tratamiento de recuperación del instrumental, que deben ejecutarse correctamente para alcanzar una adecuada seguridad del personal y del ambiente, en el proceso de control de la infección. El **objetivo** del presente trabajo fue evaluar el cumplimiento de los protocolos de recuperación del instrumental en consultorios odontológicos de la ciudad de Buenos Aires.

Método: Se evaluaron 113 encuestas cerradas, durante un periodo de 4 meses, realizadas a odontólogos de diferentes especialidades del ámbito privado (APRI) y público (APUB), que concurren por demanda espontánea para realizar controles biológicos de sus aparatos de esterilización al Servicio de Controles biológicos de la FOUBA. Las encuestas comprendían la evaluación del cumplimiento del protocolo de recuperación del instrumental en cuanto a la utilización de la descontaminación química, el tipo y antigüedad del equipamiento y la frecuencia de realización de controles biológicos. El análisis estadístico de los resultados se realizó mediante empleo del test de Student.

Resultados: Cuando se analizó el tratamiento realizado al instrumental antes del lavado sólo utiliza solución enzimática el 20,05% del APRI y 37,46% del APUB, solo desinfectante 15,63% del APRI y 18,87% del APUB y ambos 24,48 del APRI y 13,56% del APUB. En referencia a la antigüedad del equipamiento de esterilización el 60% tiene más de 10 años de antigüedad. Resulta estadísticamente significativo que los profesionales realicen sus controles cada 3 meses con respecto a los que los realizan por primera vez ($p \leq 0,005$). La cantidad de controles biológicos negativos en relación a los positivos (110 de 113) es estadísticamente significativo ($p \leq 0,0002$).

Conclusiones: La demanda de controles para evaluar los equipos de esterilización a través de los controles biológicos, muestra una adecuada periodicidad. Esto nos permitiría inferir mayor y mejor concientización de los profesionales con respecto al proceso de esterilización, etapa fundamental en el Control de la Infección.

CONFIRMACIÓN DEL PASAJE DEL VIRUS HERPES SIMPLEX-1 (HSV-1) A TRAVÉS DE LOS PLEXOS COROIDEOS

*González MI1, Sanjuan. N2. 1Cátedra de Microbiología, Facultad de Odontología, UBA. 2Departamento de Microbiología.

Las infecciones neonatales del Sistema Nervioso Central (SNC) debidas al HSV-1 pueden ser consecuencia de una infección con o sin diseminación. Su patogenia es diferente, en la primera la infección cerebral se desarrolla por vía hemática, mientras que en la segunda la progresión es neural. Se ha propuesto que algunas infecciones meníngeas debidas a enterovirus alcanzan el SNC a través de los plexos coroideos ya que tienen capilares fenestrados, pero este hecho no ha sido confirmado. En trabajos anteriores desarrollamos un modelo experimental de infección herpética bucal en ratones neonatos, donde encontramos una infección viral sistémica.

Objetivo: analizar el compromiso del SNC y las posibles vías de diseminación viral en este modelo.

Métodos: Se empleó la cepa MacIntyre, prototipo del HSV-1, cuyo *stock* viral se produjo en monocapas de células Vero. Se inocularon ratones Balb/c menores de 1 semana con una suspensión del HSV-1 usando 2 métodos diferentes: 33 por inyección intralabial y 27 por deglución. Como controles negativos se inocularon con los mismos métodos ratones de la misma edad con el sobrenadante de cultivos celulares no infectados. Los ratones murieron espontáneamente o fueron sacrificados en estado terminal en el transcurso de los 4 días post-infección (pi). Los tejidos fueron procesados para su inclusión en parafina y se practicaron cortes histológicos seriados. En ellos se realizaron coloraciones de hematoxilina-eosina y los antígenos virales fueron detectados en los cortes adyacentes utilizando la técnica de peroxidasa-antiperoxidasa.

Resultados: en algunos animales inoculados por inyección se detectaron antígenos virales en el encéfalo (31,82%), las leptomeninges (4,55%) y los plexos coroideos (9,09%). En el grupo inoculado por deglución los porcentajes en los mismos sitios fueron del 19,05%; 4,76% y 4,76% respectivamente. Ningún ratón de los grupos control presentó manifestaciones clínicas.

Conclusión: En este modelo experimental se confirmó que la diseminación viral se produjo no solamente por vía neural, también por vía hemática y que los plexos coroideos juegan un rol esencial en esta última.

EFFECTO DE SUSTANCIAS ANTIMICROBIANAS SOBRE LA MICROBIOTA PRESENTE EN PERICORONARITIS

Gutiérrez S*, Cajal J C, Budeguer A N, González M, Morales Abújder M, Ferro M, Chelala M
Cát. de Cirugía Dento-Máxilo-Facial I Curso y Cát. de Microbiología. FOUNT. Av. Benjamín Araoz 800.

En el tratamiento local de las pericoronaritis se utiliza el ácido tricloroacético al 30%, que demostró ser efectivo, pero presenta la desventaja de ser cáustico y debe ser manipulado por manos expertas para evitar accidentes durante su utilización. El propóleo es un producto natural elaborado por la abeja *Apis mellifera*, a partir de resinas vegetales y secreciones propias, que posee comprobada actividad antibacteriana y antifúngica. **OBJETIVO:** Validar el uso de una solución de propóleo como antimicrobiano, en pacientes con pericoronaritis, comparándola con otras sustancias con reconocidas propiedades antimicrobianas de uso de rutina en la clínica. **MÉTODOS:** La población estudiada estuvo representada por pacientes de ambos sexos, entre 17 y 30 años de edad que concurren espontáneamente a la consulta odontológica y no presentaron patologías sistémicas. Estos fueron agrupados aleatoriamente en 4 grupos. El grupo control estuvo constituido por pacientes que recibieron la terapia con TCA 30% (TCA 30%). En los restantes grupos se utilizó Ácido Tricloroacético 10% (TCA 10%), Diguconato de Clorhexidina al 0,12 % (CL) y Propóleo al 5% (P). Para el estudio microbiológico se tomaron muestras del interior del capuchón gingival, antes y después de cada tratamiento. Se realizó examen microscópico y recuento de microbiota total (MT), microorganismos anaerobios (A) y anaerobios facultativos (AF). Los resultados se expresaron en UFC/ml de muestra. Para el análisis estadístico de los datos se aplicó prueba de ANOVA. **RESULTADOS:** Tomando como referencia al grupo control se encontró: 1) El tratamiento con Propóleo disminuye significativamente los niveles de MT, A y AF. Estos resultados son similares a los obtenidos con TCA 10%. 2) Si bien se observa disminución de MT, A y AF cuando se aplica CL, este descenso no fue estadísticamente significativo. 3) Con respecto a la presencia de espiroquetas se observó que las mismas desaparecían con todos los tratamientos. **CONCLUSIONES:** Se propone la solución de propóleo al 5 % como alternativa en el tratamiento de pericoronaritis, debido a que es una sustancia natural, de fácil manejo, cuya utilización no presenta los riesgos demostrados en el tratamiento habitual de esta patología con TCA al 30%. *Trabajo subsidiado por el CIUNT.*

ACTIVIDAD DE FOSFOLIPASA Y PROTEINASA DE *C. DUBLINIENSIS* EN MUCOSA BUCAL DE PACIENTES CON Y SIN VIH/SIDA

*Jewtuchowicz VM, Levin BC, Cuesta A., Molgatini SL
Cátedra de Microbiología y Parasitología. Facultad de Odontología, UBA.

Candida dubliniensis (Cd), es un patógeno emergente en pacientes con SIDA con manifestaciones en cavidad bucal. Sin embargo pocos estudios abordan sus características de virulencia. **Objetivo:** estudiar la actividad enzimática (fosfolipasa y proteasa), de aislamientos de *C. dubliniensis* aisladas de cavidad bucal en individuos con y sin VIH/SIDA. **Métodos:** se incluyeron aislamientos de Cd de mucosa bucal de 240 individuos inmunocompetentes y de 125 con VIH/SIDA. De este último grupo 28% (n=35) presentó candidiasis orofaríngea. La identificación de Cd se confirmó mediante PCR con cebadores específicos. La actividad de fosfolipasa se ensayó por el método de placa con agar malta y agar Sabouraud con yema de huevo; y la de proteasa en medio conteniendo albúmina sérica bovina. Los ensayos se realizaron por duplicado y los aislamientos fueron clasificados en altos, moderados, bajos o no productores. Se utilizaron controles: positivo (*C. albicans* ATCC 10231) y negativo (*C. glabrata* ATCC 90030). **Resultados:** La prevalencia de Cd en mucosa bucal fue del 5% (12/240) en sanos y 14% (19/125) en VIH/SIDA (p<0.001). De los 19 pacientes VIH/SIDA, 5 presentaron lesiones en cavidad bucal (candidiasis orofaríngea) y los 5 aislamientos de *C. dubliniensis* mostraron alta producción de fosfolipasa y proteasa. En grupos estudiados que no presentaron candidiasis orofaríngea los aislamientos de Cd mostraron baja o moderada actividad de fosfolipasas y no mostraron actividad de proteasa. Si bien se observó un mejor desarrollo en medio de Sabouraud, no hubo diferencias significativas en ambos medios utilizados. **Conclusiones:** La portación de *C. dubliniensis* es mayor en mucosa bucal de pacientes VIH/SIDA respecto de los sanos (p<0.001). Los resultados sugieren que *C. dubliniensis* es una especie de levadura poco virulenta, debido a la baja actividad enzimática observadas en ambas poblaciones estudiadas, excepto en los aislamientos de pacientes con SIDA que presentaban candidiasis orofaríngea. Sería necesario continuar los estudios en esta última población particular para demostrar la capacidad patógena de Cd.

Este trabajo fue realizado en parte con el subsidio UBACYT 0409

*Kummer M.C., Granillo B. A.
Cat. de Microbiología y Parasitología . Fac. Odontología. UNT

Objetivo: El trabajo consistió en lograr la concentración ideal de esporas de *Bacillus subtilis* para impregnar tiras de papel de filtro con la finalidad de ser usadas como indicadores biológicos de esterilización por calor seco, en lugar de los comerciales que son de alto costo.

Métodos: Se realizó la germinación de esporas de las tiras comerciales del Laboratorio TROPAX. Luego de la identificación se sembró en cajas de petri con Agar BHI y Agar Caso. Se incubaron a 37°C para el envejecimiento del cultivo y la obtención de esporas. El recuento de esporas se realizó microscópicamente en reiteradas oportunidades a través de un extendido coloreado con verde de malaquita hasta obtener un recuento de más del 80%. El inóculo se preparó suspendiendo las colonias en tubos con agua destilada estéril, se centrifugó por 10 minutos a 3000 rpm. Se desechó el sobrenadante y se agregó agua destilada estéril, se realizó un shock térmico (calentamiento a 80°C y brusco enfriamiento a 4°C) con lo que se eliminó las células vegetativas restantes. Posteriormente la turbidez fue ajustada al tubo N° 4 de la escala de Mac Farland (106 UFC/ml) tomándose también la densidad óptica. Se impregnaron las tiras con 1ml de la solución obtenida se secaron y empaquetaron en sobres de papel estéril.

Resultado: Para comprobar su eficacia se hicieron pruebas en procesos de esterilización fallidos. Se controlaron 40 hornos con tiras comerciales y las fabricadas. En todos los casos se obtuvieron los mismos resultados.

Conclusión: El presente trabajo representa el punto de partida de estudios posteriores que tenga como finalidad validar su efectividad y caducidad a través del tiempo como indicador biológico. Con posterioridad se realizará igual investigación pero empleando *Bacillus stearothermophilus* para elaborar el indicador biológico para autoclave.

Subsidiado por el Consejo de Investigación de la UNT.

*Levin BC, Jewtuchowicz VM, Gliosca L, Bozza FL, González MI, Lamas S, Turcot L, Molgatini SL
Cátedra de Microbiología y Parasitología. Facultad de Odontología. Universidad de Buenos Aires

Candida albicans (Ca) posee varios de factores de virulencia, como el dimorfismo, la adherencia, la capacidad de formar biofilm y la actividad lipolítica y proteolítica. Estos factores pueden modificar su estado de comensal a patógeno tanto en la cavidad bucal como en otras localizaciones.

Objetivo: Evaluar *in vitro* la capacidad de producir fosfolipasa y proteinasa en cepas del *Ca* aisladas de la mucosa bucal y del biofilm de placa dental en niños con alto riesgo cariogénico.

Método: Se trabajó con cepas de *Ca*, 19 aisladas de mucosa bucal y 11 de biofilm de placa dental obtenidas de niños con alto riesgo cariogénico, que no presentaban manifestaciones clínicas de candidosis (edad entre 7 y 12 años). La identificación de especie se realizó con la utilización de medio cromogénico, micromorfología en agar leche 1% -tween y sistema comercial ID32C. La actividad de fosfolipasa se ensayó por el método de placa con agar malta y agar Sabouraud con yema de huevo y la proteasa en medio con albúmina sérica bovina. Los ensayos se realizaron por duplicado y los resultados se expresaron mediante el índice Pz, que es la relación entre el diámetro de las colonias y de las mismas más el halo de opacidad producido por la actividad enzimática. Se clasificaron los aislamientos en altamente, moderados, bajos o no productores de enzimas (Price 1982 y Ozcan S 2005). Se utilizaron como control positivo *C. albicans* ATCC 10231 y negativo *C. glabrata* ATCC 90030. Resultados. De las cepas estudiadas el 60% presentó actividad de proteasa. En referencia a la fosfolipasa el 70% lo hizo en agar malta y 90% en medio Sabouraud. No hubo diferencias estadísticamente significativas entre los aislamientos de mucosa y placa ($p \geq 0.05$).

Conclusiones: en la población estudiada las cepas de *Ca* tuvieron una moderada o alta actividad enzimática. Esto podría deberse a que la acidificación del medio causado por el alto riesgo cariogénico, favorecería la producción de las enzimas.

Este trabajo fue financiado con el subsidio UBACyT O409

DETERMINACIÓN DE IL-1 β EN FLUIDO GINGIVAL (FG) Y SANGRE PERIFÉRICA (SV) EN PACIENTES CON PERIO

*Olmedo LA, Atala J², Ocampo M², Gimenez E³, Riera C.
FACULTAD DE ODONTOLOGIA DE LA UNC.

Objetivo: Evaluar respuesta inmune innata de IL-1 β como marcador de actividad y progresión de periodontitis.

Métodos: Estudio transversal de pacientes con PA según criterios de International Workshop 1999, pacientes con PC y sanos de ambos sexos, edades entre 15 a 35 años (PA n=8), 35 a 65 años (PC n=23) y 20 a 25 años (Sanos n=4) sin patología sistémica, compromiso inmunológico, ni medicados. Se recogieron muestras de SV y FG para determinar valores de IL-1 β por ELISA de captura. Para el análisis de datos se usaron percentiles 25- 50 y 75. La comparación del grupo con PA, PC y sanos se realizó con la prueba de Wilcoxon para muestras independientes fijando un valor $p < 0,05$ para significación estadística.

Resultados: Las mediciones de IL-1 β realizadas en muestras de suero en el grupo enfermos arrojaron una gran dispersión, observándose en algunos pacientes valores extremos muy altos. En muestras de FG no hubo presencia de valores extremos; sí una distribución asimétrica con tendencia a valores elevados. Comparando los resultados obtenidos en pacientes enfermos y sanos hubo diferencias significativas en suero ($p=0,0112$) y en FG ($p=0,0124$).

Conclusión: Los valores hallados de IL-1 β en todas las determinaciones de FG fueron superiores en pacientes enfermos a los encontrados en pacientes sanos, lo que indica que la citocina IL-1 β podría ser usada como marcador de actividad y progresión de periodontitis. Teniendo en cuenta que los resultados surgen de una muestra por paciente, y que esta citocina se produce y se libera al momento de mediar una acción biológica proinflamatoria, podemos inferir que la distribución asimétrica y la dispersión pueden obedecer a que el momento de la toma de la muestra no haya sido coincidente con el de la liberación de IL-1 β .

EFICACIA DE LA HALIMETRÍA EN LA INFECCIÓN POR HELICOBACTER EN LA BOCA

Denninghoff V, Muiño A, dos Santos M, Muiño JM, Marigo Klein LM, García A, Aguas S, Avagnina A, Adler L. EQUIBA-CEMIC

El *Helicobacter pylori* en boca puede hallarse en placa, saliva y lengua. La IARC lo considera carcinógeno tipo I por su compromiso gástrico. Las estrategias diagnósticas para la determinación de Hp se han desarrollado en métodos directos o invasivos e indirectos o no invasivos. **OBJETIVO.** El objetivo del estudio fue estimar la eficacia diagnóstica de la halimetría en relación con la PCR para Hp, en pacientes que presentaban ardor e hipertrofia papilar lingual. **MATERIAL Y MÉTODO:** fueron estudiados prospectivamente pacientes con sintomatología de Ardor e Hipertrofia Papilar Lingual y referían malestar gástrico. Se excluyeron: menores de 21 años, con patologías dentales y gingivoperiodontales, pacientes con diagnóstico de: hepatitis C, HIV, enfermedad renal. Individuos con coagulograma alterado, pacientes sometidos a algún tratamiento antibiótico o que se encontraban en tratamiento gastroenterológico con diagnóstico de infección por HP, pacientes fumadores y aquellos que no firmaron el consentimiento Informado. El procedimiento de investigación fue el siguiente: A-Diagnóstico Estomatológico. A todos los pacientes se les efectuó una historia clínica protocolarizada. El ardor fue evaluado por autoreporte. La hipertrofia de las papilas se considero con la inspección clínica. B-Diagnóstico por Biología Molecular, Del material en fresco del raspaje se extrajo ADN. C-La halitosis fue evaluada con el Halimeter® InterScan. La muestra constituida por 27 individuos, 18 (67%) de sexo femenino, 9 (33%) de sexo masculino, la media de edad fue de 55,66, ES 3,13 y una mediana de 64. **RESULTADOS:** Fueron comparados los valores obtenidos por Halimetría con los resultados de PCR del dorso lingual: ambas pruebas coincidieron en 23 pacientes (7 Positivos y 16 Negativos), se obtuvieron 4 Falsos Negativos y no se detectaron Falsos Positivos. La sensibilidad para la Halimetría fue del 100% (IC 92-100), especificidad 80 % (IC 60-100), e índice de validez 85% (IC 70-100). **CONCLUSIÓN:** la medición objetiva de la halitosis es una herramienta que podría incorporarse al diagnóstico de AHH, teniendo en cuenta que para los valores comprendidos entre 100 y 120 ppb, sería indispensable la confirmación de la presencia del genoma viral del HP mediante técnicas moleculares.

EFECTO DE LA TERAPIA POR CAPTURA NEUTRÓNICA EN BORO (BNCT) SOBRE LA MICROVASCULATURA TUMORAL EN LA BOLSA DE LA MEJILLA DEL HÁMSTER

Aromando RF*, Trivillín VA, Heber EM, Molinari A, Kreimann E, Schwint AE, Itoiz ME.
Facultad de Odontología, Universidad de Buenos Aires

Introducción: La terapia por captura neutrónica en boro (BNCT) ha demostrado inducir la remisión tumoral de carcinomas en la bolsa de la mejilla del hámster. Los mecanismos de la remisión tumoral no han sido totalmente aclarados.

Objetivo: En base a observaciones histológicas previas relativas a daño vascular post tratamiento, el objetivo del presente trabajo fue analizar los efectos de BNCT sobre la microvasculatura tumoral.

Materiales y métodos: Se utilizaron hámsters Golden Syrian, topicados según protocolo de cancerización (Shklar G, 1979) hasta la aparición de tumores. Los animales fueron divididos en un grupo control de hámsters con tumor no tratados con BNCT y 2 grupos experimentales: (1) tratados con BNCT mediado por el compuesto borado BPA y (2) tratados con BNCT mediado por GB-10. Los animales de los grupos 1 y 2 fueron irradiados con el haz epitérmico-termalizado del Reactor RA-6 (Bariloche, Argentina) luego de la administración de los compuestos borados y sacrificados 1, 7 y 30 días post-irradiación. Las bolsas fueron extirpadas, fijadas y procesadas para la marcación de las paredes vasculares mediante la determinación inmunohistoquímica de Factor VIII. Se evaluaron: número de secciones vasculares, perímetro y forma (índice de circularidad) de las secciones vasculares mediante análisis de imágenes en tejido premaligno y estroma tumoral.

Resultados: BPA-BNCT y GB-10 BNCT indujeron una disminución de la densidad vascular en el tejido premaligno ($182,63 \pm 104,8$ pre-tratamiento hasta $73,95 \pm 43,26$, 30 días post GB-10 BNCT). Asimismo, se observó una disminución del perímetro de los vasos tumorales y una modificación de su forma hacia una estructura vascular más cercana a la normalidad (índice de circularidad $0,68 \pm 0,23$ pre-tratamiento vs $0,76 \pm 0,20$, 30 días post GB-10 BNCT, siendo 1 el valor del círculo perfecto).

Conclusión: la disminución del parénquima tumoral y de la actividad proliferativa post-BNCT ya demostrada previamente en este modelo produciría una disminución de la compresión vascular, permitiendo una normalización parcial de la estructuración de la red vascular.

ALTERACIONES DEL HUESO MAXILAR EN PACIENTES ONCOLÓGICOS CON METÁSTASIS EN EL ESQUELETO

Brandizzi D*, Paparella ML, Castillo J, Tamburelli M, Pérez Moreno L, Bas CA, Gómez Abuin G, Santini Araujo E, Cabrini RL. Departamento de Odontología y Cirugía Bucomaxilofacial, Hospital Alemán. Instituto de Oncología

Los protocolos terapéuticos para pacientes con patologías oncológicas con afectación ósea (mieloma múltiple, cáncer de mama y próstata) incluyen el uso de bifosfonatos que se emplean para limitar el efecto destructivo de la diseminación neoplásica en el esqueleto. En los últimos años se han publicado casos de osteonecrosis del maxilar como complicación de esta medicación. Escasa es la información que se dispone acerca de la etio-fisiopatogenia de este cuadro llamado osteonecrosis del maxilar asociado a bifosfonatos (OMAB). En un trabajo previo (SAIO-2009) presentamos caracteres histopatológicos de la OMAB observados en 4 pacientes. **OBJETIVO:** En este trabajo presentamos alteraciones observadas en el hueso maxilar en pacientes oncológicos en tratamiento por carcinoma metastático en el esqueleto. **MÉTODOS:** Se estudiaron 13 pacientes con diagnóstico de cáncer y metástasis óseas tratados en el Hospital Alemán de Buenos Aires entre marzo del 2008 y enero del 2010. Se evaluaron caracteres clínico-radiográficos bucales. En 9 casos se realizó estudio anatomopatológico del hueso maxilar. **RESULTADOS:** 6 casos (46%) presentaron cuadros clínicos de OMAB. En los 9 casos en los que se realizó estudio anatomopatológico del tejido óseo se observó una estructura trabecular de tipo pagetoide. 4 de estos casos (31%) no presentaron cuadros clínicos de OMAB, no obstante histológicamente mostraron un hueso de aspecto pagetoide, 1 de estos pacientes no había iniciado el tratamiento con bifosfonatos en el momento de la realización de la biopsia. **CONCLUSIONES:** En todos los pacientes oncológicos con carcinoma metastático en el esqueleto en los que se realizó estudio anatomopatológico del hueso maxilar se observaron alteraciones histopatológicas similares correspondientes a una estructura trabecular tipo pagetoide. El paciente con alteraciones histológicas del hueso maxilar y sin tratamiento con bifosfonatos plantea la necesidad de realizar estudios prospectivos, aumentar el número de casos analizados y correlacionar los hallazgos con los tratamientos oncológicos recibidos.

Subsidio: UBACyT 0006.

37**METÁSTASIS LINFONODAL DE CÁNCER ORAL: IMPLICACIONES CLÍNICAS DE LA EXPRESIÓN DEL FACTOR C DE CRECIMIENTO ENDOTELIAL VASCULAR POR LAS CÉLULAS MALIGNAS.**

Faustino SES, Santos MJD, *Bravo DMC, Nonogaki S, Landman G, Kowalski LP, Oliveira DT. Departamento de Estomatología, Área Patología, Facultad de Odontología de Bauru- Universidad de Sao Paulo

OBJETIVO: La metástasis de las células tumorales es el aspecto más letal del cáncer, es conocido que tumores sólidos como el carcinoma espinocelular oral (OSCC) se propaga principalmente por el sistema linfático. Ha sido sugerido que la expresión del factor C de crecimiento endotelial vascular por parte de las células malignas induce la linfoangiogénesis aumentando la aparición de metástasis linfonodales. No obstante, la ausencia de estandarización de la evaluación microscópica del VEGF-C causa que los resultados de investigaciones de esta relación sean contradictorios. El objetivo de este estudio fue evaluar los diferentes sistemas de puntuación usados para el análisis microscópico de la expresión inmunohistoquímica por parte de las células malignas de VEGF-C y establecer una metodología más confiable y reproducible, que pueda contribuir al uso del VEGF-C como un coadyuvante en el establecimiento de las estrategias terapéuticas para la adecuada indicación de la disección de los linfonodos de cuello en pacientes con estadios iniciales de OSCC. **MÉTODOS:** Sesenta y cuatro pacientes, T1N0M0 y T2N0M0 con (pN+) y sin (pN0) metástasis linfonodales ocultas de OSCC, del Departamento de Cirugía de Cabeza, Cuello y Otorrinolaringología del Hospital A.C. Camargo, São Paulo, Brasil, desde 1968 a 2001 fueron seleccionados para análisis de la inmunoexpresión de VEGF-C usando diferentes métodos de puntuación subjetiva. El test chi-cuadrado o el test exacto de Fisher fueron usados para analizar la asociación de la expresión de VEGF-C con las características clínicas, tratamiento y evolución de los pacientes. **RESULTADOS:** No fue observada asociación estadísticamente significativa entre la expresión de VEGF-C por parte de las células malignas, las variables clínicas, las informaciones del seguimiento y la aparición de metástasis linfonodales, en ninguno de los diferentes sistemas de puntuación empleados. **CONCLUSIÓN:** Estos resultados refuerzan que, a pesar del sistema de puntuación microscópica empleado, la sola expresión de VEGF-C por parte de las células malignas no es un factor predictivo de la aparición de metástasis linfonodal en estadios iniciales de OSCC.

38**ESTUDIO CUANTITATIVO DE LA MAGNIFICACIÓN VERTICAL EN LA RADIOGRAFÍA PANORÁMICA POR LA VARIACIÓN POSICIONAL**Martínez ME, Martínez BAM, Bosqued RP, *Ditter ER, Bruno IGB
Cátedra de Radiología. FOUBA

Objetivos: El propósito de este estudio fue cuantificar la magnificación que se observa en las longitudes de las piezas dentarias con la modificación de la posición de la cabeza en la radiografía panorámica (RP).

Materiales y métodos: Se utilizó un cráneo seco sobre el cual se adaptó un modelo Typodont. Se tomaron 5 RP de el cráneo montado sobre un posicionador, las incidencias se efectuaron: en la posición ideal, 5° hacia arriba, abajo, derecha e izquierda. Las mediciones fueron realizadas con calibre digital por 5 operadores calibrados en cuarto oscuro sobre un negatoscopio. Se realizaron las mediciones de las longitudes de las piezas dentarias, a las cuales se les había colocado esferas de acero de 1 mm de diámetro en incisal/oclusal y en apical de cada una. Los datos fueron analizados con un análisis de varianza de 2 rutas y un test post-hoc (tukey)

Resultados: Hay diferencia altamente significativa entre las diferentes posiciones, no así entre operadores ni en la interacción posición-operador. Hay diferencias altamente significativas entre la posición hacia abajo y las posiciones arriba, derecha e izquierda. Hay diferencias significativas entre las mediciones observadas en la RP y la longitud real.

Conclusiones: La RP siempre posee una magnificación vertical comparada con la imagen real. La colocación inadecuada de la posición del paciente contribuye a la distorsión en la imagen.

ANTÍGENO PROSTÁTICO ESPECÍFICO (APE) EN SUERO DE PACIENTES PORTADORES DE TUMORES DE GLÁNDULAS SALIVALES

*Escandriolo Nackauzi J, Colla R, Ruggieri M, Gaido I, Bertolotto P, Actis A. Hospital Privado-Centro Médico de Córdoba. Facultad de Odontología y CONICET-Instituto de Biología Celular

Las glándulas salivales y la próstata son órganos hormono-dependientes que estarían asociados en tumorigénesis. En este sentido, pacientes portadores de neoplasias prostáticas tendrían mayor riesgo de desarrollar tumores salivales y viceversa. **OBJETIVO:** El propósito de este estudio preliminar fue analizar los valores de APE sérico en pacientes portadores de tumores de glándulas salivales para el diagnóstico precoz de segundos tumores primarios en próstata. **MÉTODOS:** Participaron 71 sujetos de sexo masculino y 29-79 años de edad, distribuidos en: 9 con diagnóstico reciente de tumores benignos y malignos de glándulas salivales (TGS), 19 con tumores benignos y malignos de próstata (TP) y 43 sin diagnóstico de tumores, a modo de control (C). Se obtuvieron muestras de suero para analizar APE mediante técnicas de electroquimioluminiscencia. Los valores, expresados en ng/ml, fueron comparados mediante el test no paramétrico de Kruskal Wallis. Se consideraron, además, variables tales como volumen prostático (en TP: <40 g, 40-80 g, >80 g), edad (en TGS: <40 y >40 años), presencia o ausencia de enfermedades sistémicas, administración de medicamentos y consumo de tabaco y alcohol. **RESULTADOS:** Se hallaron los siguientes valores medios de APE sérico: 1.27 (TGS), 4.77 (TP) y 1.94 (C). Se observaron diferencias estadísticamente significativas al comparar APE entre TGS y TP ($p=0.03$) y entre TP y C ($p=0.03$). No se hallaron diferencias significativas ($p>0.05$) al comparar APE entre TGS y C, entre TGS benignos y malignos y entre TP benignos y malignos. Tampoco se hallaron diferencias significativas ($p>0.05$) al analizar APE sérico según volumen prostático (TP), edad (TGS), enfermedades sistémicas, administración de medicamentos, consumo de alcohol y tabaco tanto en TGS como en TP. **CONCLUSION:** Los valores de APE hallados en este estudio preliminar sugerirían la ausencia de patología prostática en pacientes con TGS. No obstante, es necesario continuar investigando en un mayor número de sujetos.

Subsidiado por Secretaría de Ciencia y Tecnología. Universidad Nacional de Córdoba. Res. N° 123/04, 197/05, 162/06, 069/08 y Ministerio de Ciencia y Tecnología-Provincia de Córdoba Res. N°121/08. Córdoba, Argentina.

EXPRESIÓN DE PODOPLANINA EN TUMORES ODONTOGÉNICOS EPITELIALES

Tijoe KC*, Oliveira DT, Caetano AS, Soares CT, Belone AFF, Damante JH
Departamento de Estomatología, Facultad de Odontología de Bauru, Universidad de São Paulo, Brasil

INTRODUCCIÓN: La podoplanina (PO) es glicoproteína cuya función es aún desconocida. Su expresión fue reportada en tejidos fisiológicos y normales. En malignidades orales, la inmunoreacción de PO fue asociada con pobre pronóstico para paciente. Además, recientes estudios han demostrado que es mediador de migración celular y invasión. Asimismo, su inmunoexpresión fue observada en pre-ameloblastos de gérmenes dentarios humanos, y no en ameloblastos diferenciados. En tumores odontogénicos benignos, la podoplanina fue reportada en las células localizadas adyacentes al estroma tumoral. De esta manera, este trabajo contribuye para la identificación de la inmunolocalización de la podoplanina en tres distintos tumores odontogénicos epiteliales benignos. **OBJETIVOS:** Describir la expresión de podoplanina en tumores odontogénicos epiteliales benignos. **MÉTODOS:** Cortes de tejidos previamente fijados con formalina e incluidos en parafina fueron analizados mediante inmunohistoquímica con anticuerpo monoclonal anti-podoplanina, usando el sistema de detección de polímeros NovoLink. Siendo 10 ameloblastomas, 15 tumores odontogénicos queratoquísticos (TOQ) (10 paraqueratinizados y 5 oroqueratinizados) y 6 tumores odontogénicos adenomatoides. **RESULTADOS:** La mayoría de los tumores odontogénicos epiteliales mostraron fuerte expresión membranosa y citoplasmática de podoplanina. En los ameloblastomas la PO fue restricta a las células periféricas de las islas tumorales, entretanto que algunas de las estructuras semejantes al retículo estrellado no expresaron esta proteína. La expresión de podoplanina fue evidente en las células basales y suprabasales del TOQ paraqueratinizado. No fue observada marcación de las células epiteliales de TOQ ortoqueratinizado. Todos los tumores odontogénicos adenomatoides mostraron fuerte inmunoexpresión de podoplanina tanto en células epiteliales como en estructuras semejantes a ductos dispersas en los tumores. **CONCLUSION:** La PO fue expresada en la mayor parte del epitelio de tumores odontogénicos benignos y esta proteína puede jugar un rol en la capacidad invasiva tumoral mediante migración celular colectiva. *Patrocinado por la Fundação de Amparo à Pesquisa do Estado de São Paulo, #2009/12811-8 and 2009/12813-0.*

41

MORTALIDAD Y SOBREVIVENCIA DE 89 PACIENTES CON CARCINOMA DE CÉLULAS ESCAMOSAS DE LOCALIZACIÓN BUCAL DE UN SERVICIO DE CÓRDOBA, ARGENTINA. * Bolesina N, Morelato R, Belardinelli P, Blanc F, Guzman Montesana G, Fernández E, Herrera G, López SA. Cát. de Clínica Estomatológica B FOUNC-Servicio de Oncohematología, Hospital Nacional de Clínicas.

El cáncer bucal (CB) es un serio problema de salud pública a nivel mundial. Las tasas de curación y supervivencia no han mejorado en los últimos años. En nuestra provincia, las tasas de mortalidad por CB se han incrementado en los últimos años, en mayor medida que el cáncer de cualquier otra parte del organismo y este aumento se nota más en mujeres, según un estudio efectuado por nuestro grupo.

Objetivo: El objetivo del presente trabajo fue estudiar el porcentaje de supervivencia y mortalidad según estadio (E), en una serie de casos de carcinomas de células escamosas (CCE) y relacionarlos con edad, localización y factores de riesgo.

Material y Métodos: Se analizó un grupo de pacientes concurrentes al servicio de Estomatología de la FOUNC y al comité de tumores de cabeza y cuello del Hospital Nacional de Clínicas entre los años 1989-2005. El presente es un estudio descriptivo retrospectivo de 89 historias clínicas de pacientes con diagnóstico histopatológico de CCE de localización bucal. Se aplicó el test de Kaplan Meier.

Resultados: Del total de pacientes: 66 (74%) fueron de sexo masculino, relación M:F 3:1. La edad media fue 60 y el rango 25-93 años. Al momento de la consulta el 25 % se presentaron en E I, el 8% en E II, 9% en E III y el 58% E IV. La localización más frecuente fue la de lengua 30% seguida por encía 26%. La supervivencia fue analizada, siendo la global del XX% a los 5 años; guardando relación con la localización. Aquellos pacientes de sexo masculino, con tumores localizados en encía y piso de boca, fumadores y bebedores tuvieron menor supervivencia que los demás. Los pacientes entre los 61-70 años fueron los que tuvieron mayor índice de mortalidad.

Conclusiones: El conocimiento de la realidad local nos confirma la necesidad de trabajar para el diagnóstico precoz.

SECYT 2010

42

DISFUNCIONES TEMPOROMANDIBULARES E IMPEDANCIA ACÚSTICA

Autores: *GIAMBARTOLOMEI, L. A.; *AZCONA, S. R.; *BOSCO, A. R.; **BRUNOTO, M.
*Consultorio ESECI

OBJETIVO: el propósito de este estudio fue determinar la relación entre disfunción interna de la articulación temporomandibular (ATM) y la complacencia acústica (CA).

MÉTODOS: Se estudiaron un total de 300 imágenes de resonancia magnética y complacencia acústica de pacientes (n=62; 55 femeninos y 7 masculinos) de ambos sexos con un promedio de 33,46 años de edad atendidos en consultorio ESECI por dolor y disfunción de ATM entre los años 2007-2009. Las imágenes de resonancia magnética fueron realizadas en un mismo equipo resonador y con igual dispositivo para determinar la CA. Se consideraron casos aquellos con el disco desplazado anterior (DDA) por debajo y/o delante de la eminencia articular. Se excluyó del estudio a las personas con alguna enfermedad otológica simple o compleja. A las 62 relaciones ATM-OÍDO incluidas en el estudio se les asignó el valor 0 cuando CA presentó un valor igual o mayor a 0,8 centímetros cúbicos (cc) y con ATM normales; en tanto se asignó valor 1 cuando CA presentó un valor <0,8 cc. y ATM con DDA.

RESULTADOS: el 43,54% de las relaciones OÍDO-ATM estudiadas tuvieron una asociación 1-1; 12,90% tuvieron relación 0-0, 33,87% con 0-1 y 9,67% con correspondencia 1-0. Asociaciones significativas, evaluadas mediante la aplicación del coeficiente de correlación de Spearman, fueron observadas entre el DDA y la rigidez osicular (Coef. Spearman=0,43, p=0,0007).

CONCLUSIÓN: El DDA tiene un claro y potencial impacto en la CA, resultando la CA menor a 0,8 cc. en un porcentaje verdaderamente importante de ATM con DDA que se corresponden con una fijación de la cadena osicular, dejando ver la interdependencia clínica sintomatología entre el oído y la ATM.

El diseño y la incorporación de propuestas innovadoras en enseñanza y el aprendizaje de los materiales dentales constituye un desafío, en especial por las características específicas del contenido, las competencias involucradas y el momento del currículo en el que está inserto.

El **OBJETIVO** de este trabajo fue valorar la respuesta de los estudiantes de la asignatura Preclínica de Rehabilitación I (PRI) de la carrera de odontología de la Facultad de Odontología de la Universidad de Buenos Aires frente a una propuesta innovadora en la enseñanza de los materiales dentales.

MATERIALES Y MÉTODOS: La Premanipulación de Alginato (PdA) se realizó en las seis comisiones del tercer año que cursaban PRI en la sesión anterior (ses0) a la de la actividad teórica y práctica tradicionalmente empleadas para el tema mencionado (ses1), en tres de las comisiones (con el consentimiento de los participantes) se filmó y fotografió a los alumnos durante la actividad. Al finalizar la ses1 se administró un cuestionario con preguntas estructuradas y no estructuradas a todos los estudiantes presentes, en cada una de las comisiones que habían participado de la PdA (n=333)

RESULTADOS: El 90% de los estudiantes afirmó que se aprende a manipular los materiales a partir del análisis de los errores cometidos, sólo el 0,60% sostuvo que "si no tengo manualidad nunca me va a salir bien" y sólo el 7% que "es fundamental "tener mano". Más de la mitad de los encuestados consideró que PdA le había facilitado "bastante" la comprensión del contenido de la clase teórica, y el desarrollo de las tareas de la actividad práctica. Las expresiones seleccionadas con mayor frecuencia para describir la PdA fueron: útil, divertida, me gustó, motivadora, estimula la curiosidad. Más del 70% de los alumnos afirmaron que durante la PdA aprendieron "la apariencia del material", "de sus errores", y a leer las instrucciones de los fabricantes. Más de la mitad de los alumnos consideraron que la actividad debería extenderse a todos los materiales. En las comisiones en las que se registraron y analizaron imágenes, entre el 60 y el 90% de los alumnos afirmó que las imágenes les permitieron identificar errores para evitarlos.

El **objetivo** del presente trabajo fue analizar la percepción de los estudiantes del último año de la carrera de odontología de la Universidad de Buenos Aires antes y después de realizar la práctica social en el curso optativo que se desarrolló en Caragatay, Tarumá y Guaraypo (Pcia de Misiones) y su visión como graduados de la facultad dos años después de la experiencia.

Materiales y Métodos: En el programa se desarrollaron talleres preparatorios para realizar:

- Educación para la salud
- Atención clínica
- Capacitación de recursos humanos extrasectoriales
- Trabajo con la comunidad

En el año 2008 se construyeron dos cuestionarios autoadministrados pre y post inmediato y mediato a 2 años de la experiencia, destinados a identificar las percepciones de los alumnos vinculadas a la práctica social. Se utilizó el método de escalamiento tipo Likert del 1 (muy bajo) al 5 (muy alto). El alumno marcó la categoría que mejor describe su reacción o respuesta ante un conjunto de ítems referidos a su práctica profesional futura, su formación personal y los beneficiarios del programa relacionados con esta práctica social.

Resultados: de los 8 ítems analizados en el cuestionario pre, la media fue de 4,14 (IC= 4 - 4,28). 97,9% de los alumnos mostraron puntuación de medio a alto (39,6%) y de alto a muy alto (58,3%). De los cuestionarios pos, la media fue de 4,25 (mínimo 2,91, máximo 5). El 2% de los alumnos respondieron al total de los ítems entre bajo y medio. 26,6% entre medio y alto y 71,4% entre alto y muy alto. De los cuestionarios a 2 años la media fue de 4,22 (mínimo 3,63 , máximo 5)

Conclusión: Los resultados permiten concluir que para los alumnos esta práctica social incidió en su desempeño profesional y en su formación como persona y alcanzaron un alto grado de satisfacción con la labor realizada en el programa.

ANÁLISIS DE LAS DISCREPANCIAS EN EL MANEJO DE CRITERIOS ESPECÍFICOS DE ODONTOLOGÍA PREVENTIVA Y COMUNITARIA EN LA CARRERA DE ODONTOLOGÍA

Pedemonte Z*, Alvaredo G, Guz P, Negrini F, Probe C.
Cátedra de Odontología Preventiva y Comunitaria. Facultad de Odontología.

OBJETIVO: Identificar los aprendizajes de los estudiantes que obstaculizaron la enseñanza de los contenidos de la materia. **MATERIALES Y METODOS:** sobre una muestra de 150 estudiantes asistentes al curso Articulación Docencia Servicios de Salud (ADSI), perteneciente al último año de la carrera de Odontología, se identificó el año de ingreso a la carrera, el puntaje obtenido por los estudiantes al aprobar los cursos Enfermedades Asociadas a Placa, Clínica Integrada I y II, y Epidemiología y Gestión de Salud. Los estudiantes respondieron a un cuestionario parcial domiciliario, con el propósito de recuperar contenidos nodales, y un examen preclínico presencial, que requería selección de indicadores, fundamentación de la toma de decisiones clínicas, descripción de protocolos de tratamientos, pasos técnicos y definiciones. El criterio de aprobación se estableció en 80 % de respuestas correctas. Posteriormente, se solicitó a los estudiantes, que a la vista de los exámenes preclínicos corregidos respondieran una encuesta destinada a monitorear los procesos metacognitivos referidos a la evaluación por ellos realizada. Se obtuvo la distribución de frecuencia. **RESULTADOS:** El 12 % de los estudiantes ingresaron en 2006, 51 % lo hicieron en el período 2004-2005, 12% en 2003 y el 25% restante ha ingresado en años anteriores. Al analizar las notas obtenidas por los estudiantes en los 4 cursos previos se observó que la calificación más frecuente estuvo comprendida entre 4 y 8. Las respuestas al cuestionario mostraron errores en la búsqueda bibliográfica de los temas, en la descripción de pasos técnicos. Un 62 a 80 % de estudiantes contestaron correctamente las preguntas que solicitaban definiciones. La pregunta que permitía elegir una secuencia de procedimientos pero requería fundamentar la toma de decisiones produjo el porcentaje más bajo de respuestas correctas (36 %). Los estudiantes coinciden en afirmar que la toma de decisiones clínicas y su fundamentación pone de manifiesto las distintas concepciones que recibieron durante su formación y que provocan el mayor grado de dificultad. **CONCLUSIÓN:** Pueden reconocerse dificultades relacionadas con la coexistencia de diferentes criterios y teorías propias del claustro universitario.

CARIES DE LA INFANCIA TEMPRANA Y SU RELACIÓN CON LA DEMANDA DE ATENCIÓN ODONTOLÓGICA, LA PERCEPCIÓN DE SALUD BUCAL Y LOS CONDICIONANTES SOCIO-ECONÓMICOS EN PREESCOLARES DEL GRAN MENDOZA. RESULTADOS PRELIMINARES

*Fernandez Claudia, Cambria Ronda Salvador, Vuoto Elena, Borjas María Inés, Squassi Aldo
Facultad de Odontología U.N.Cuyo

OBJETIVOS: Establecer las asociaciones existentes entre estado dental, demanda de atención odontológica, percepción de salud bucal y condición socio-económica en niños preescolares del Gran Mendoza.

METODO: población constituida por escolares de nivel inicial residentes en el Gran Mendoza. Sobre una muestra por conglomerado de 150 niños pertenecientes a ámbito escolar urbano-marginal, se registraron los siguientes índices: ceod, CPOD, ceos, CPOS, y sus componentes discriminados, ICDAS II, ÍNTC (Bordoni, 1998) e índice de placa (Silness y Løe, 1967). Fue aplicado un cuestionario de percepción parental de salud bucal (ECO-HIS) y se realizaron encuestas estructuradas sobre tipología de demanda de atención odontológica y de condiciones socioeconómicas (NBI). Fue determinada la distribución de frecuencias y los intervalos de confianza para cada variable, las medidas de tendencia central y dispersión y se realizaron comparaciones entre grupos (T de Student).

RESULTADOS: 85.8% de la muestra presentaba experiencia de caries. Se registraron los siguientes valores: ceod+CPOD= 5.716 +- 4.08; cd+CD =5,39+-3.79; ed+PD= 0.25+-0.72 y od+OD= 0.08+-0.34; ceos+CPOS=8.89+-8.39; cs+CS=7.63+-6.25; es+PS=1.23+-3.62 y os+OS= 0.12+0.46; IP= 1.04+-0.48; INTC=5.65+-3.19. Al agrupar según la variable sexo no se encontraron diferencias significativas (t 0,616, P 0.539 para p>0,05). Al analizar la demanda de atención bucal se observó que el 54,9% efectuó una consulta odontológica, 25% en el último año, y 74% en el subsistema de salud público. El análisis del cuestionario ECOHIS reveló que obtuvo el máximo porcentaje de respuestas cuando se ordenó según la categoría nunca.

CONCLUSIONES: Se observa alta prevalencia de caries dental sin que la demanda de atención odontológica haya producido impacto positivo sobre el estado dentario ni sobre la percepción de los padres respecto de la salud bucal.

PREVALENCIA DE HIPOMINERALIZACIÓN MOLAR INCISIVA EN LA CIUDAD AUTÓNOMA DE BUENOS AIRES

Biondi AM, Cortese SG, Ienco M, Ortolani AM; Paván V, Mendel N, Sebelli P, Bertolino M, Martínez, K*, Facultad de Odontología Universidad de Buenos Aires.

La prevalencia de la Hipomineralización Molar Incisiva (MIH), es en nuestro país aún desconocida. **Objetivos:** Estimar la prevalencia de MIH en un grupo de niños que demandaron atención en la Ciudad Autónoma de Buenos Aires; analizar su distribución de acuerdo al año de nacimiento; y comparar prevalencia y severidad de acuerdo a la accesibilidad a los servicios de salud. **Sujetos y Métodos:** Se diseñó un estudio prospectivo, observacional, transversal, y descriptivo, sobre la población infantil que demandó atención en la Cátedra de Odontología Integral Niños y en 3 consultorios odontopediátricos de los miembros del equipo de trabajo ubicados en la ciudad de Buenos Aires (Kappa 0.933 0.911-0.952) en el período comprendido entre abril y agosto de 2010. Fueron incluidos todos los niños nacidos entre 1993 y 2003, que presentaban erupcionados los 4 primeros molares y los 8 incisivos permanentes. Después de una profilaxis, las piezas fueron clínicamente evaluadas con luz del foco, previamente secadas, registrando en planillas diseñadas para tal fin, sexo, fecha de nacimiento, tipo de acceso a la atención, presencia de MIH, número de incisivos y molares afectados, y máximo grado de severidad registrado en cada pieza. Para el análisis de los datos obtenidos se utilizaron porcentajes con bandas de confianza del 95%, Test Exacto de Fisher y regresión lineal. **Resultados:** Fueron evaluados 1098 niños de 11.3 años (10.88-11.12). (Relación varón-mujer: 0.9:1). La prevalencia obtenida fue de 15.9% (13.8-18.2). Con respecto al año de nacimiento se observó una correlación positiva y altamente significativa ($p < 0.0001$). El grupo A (Modalidad Prepago) quedó conformado por 586 niños y el B (Hospital Público Universitario) por N=512. En A la prevalencia de MIH fue del 24,40% y en B de 6,44% ($p < 0,0001$). El 37% (32.2-42) de los molares afectados de A y el 13.7% (6.7-23.8) de B presentaban lesiones de grado 3, con pérdida de esmalte ($p < 0,0001$). **Conclusiones:** En este estudio la MIH se presentó como una patología frecuente (15.9%) observándose un aumento significativo con el año de nacimiento durante el periodo bajo estudio. Los pacientes con mejores condiciones de acceso a la salud, mostraron mayor prevalencia, y grado de severidad de MIH.

Proyecto subsidiado por UBACyT.

VALORACIÓN DE LA INCAPACIDAD DENTARIA EN PACIENTES PSIQUIÁTRICOS EN PROCESO DE DESINSTITUCIONALIZACIÓN

Morasso, A. M.*, Maldonado, M., Pozzo, C., Cobanera, A. Escuela Economía de la Salud. FC. Económicas UNLP. Carrera de Espec. en O. Legal. USAL/AOA

Incapacidad es una disminución permanente o temporaria de la estructura o funcionalidad que limita el cumplimiento de la función normal.

OBJETIVO: El objetivo de este trabajo fue determinar el grado de incapacidad o minusvalía producida por la pérdida de piezas dentarias en pacientes que son transferidos desde un hospital neuropsiquiátrico a un programa de rehabilitación y externación asistida para la reinscripción social.

MÉTODOS: la muestra estuvo integrada por 56 adultos psiquiátricos (28 V y 28 M) en proceso de desinstitucionalización, edad media 48,02(9,02)(rango 28-65). Para cuantificar la situación de incapacidad se usaron baremos: estético E, fonético F y masticatorio M. Se consideró para la evaluación de la pérdida de la función el componente P del índice CPOD. Se calcularon valores mediana y rango. Se analizó el grado de correlación con intervalo de confianza del 5% entre edad y pérdida de las funciones.

RESULTADOS: función M 82(92), varones n28 75(80), mujeres n28 85(92) $P > 0.05$, rho 0.4616. Función E y F 34.25(100), varones n28 29(83), mujeres n28 40(100) $P > 0.05$ rho 0.5376.

CONCLUSIÓN: Los resultados permiten determinar, según los baremos aplicados, una debilitación permanente o pérdida de la función compatible con incapacidad en los enfermos psiquiátricos que son transferidos al proceso de desinstitucionalización.

49

EFFECTO DEL FLUORURO DIAMINO DE PLATA SOBRE LA ADHESIÓN DE IONÓMERO VÍTREO A DENTINA

Arapé N, Picca M, Squassi A, Kaplan AE.
Facultad de Odontología, Universidad de Buenos Aires, Argentina y Universidad los Andes, Venezuela

Objetivo: En este estudio se tomó como objetivo analizar el efecto del fluoruro diamino de plata 38% (Fluoroplat® - Naf) sobre la superficie dentinaria con tratamiento adhesivo del ionómero vítreo.

Materiales y métodos: Se tomaron catorce dientes sanos y se dividieron en dos grupos de acuerdo con el ionómero a aplicar (Ketac Molar Easy mix – 3M Espe - KME y Klepp – Grimberg Dentales – K). A su vez, se cortaron en dos partes separando las superficies vestibular y lingual. Todas estas superficies fueron tratadas con acondicionador dentinario (Vitro condicionador – DFL). Aleatoriamente se colocó Fluoroplat(F) en una de las partes y la otra se empleó como control, sin tratar con el fluoruro de diamino plata (F). Se prepararon probetas de ionómero vítreo, conservadas 24 hs a 37°C y sometidas a ensayos de corte. Luego fueron cortadas longitudinalmente para ser observadas bajo el microscopio Imager.A1m marca ZEISS, a 50X, registradas con fotografías digitales y analizadas con el programa ImageTool, midiendo profundidad de difusión del Fluoruro diamino de plata y cantidad del ionómero remanente.

Resultados: Los resultados obtenidos para la cantidad de ionómero remanente fueron (media y desviación estándar): Med: KME 1,18(1,25); KME +F: 0,73(0,57); K: 1,23(1,10); K+ F: 0,57(1,23). La evaluación de los resultados con ANOVA mostró la ausencia de diferencias estadísticamente significativas para las variables material y tratamiento ($p > 0.05$). Se observó una media para la difusión de F de 0,45.

Conclusiones: en las condiciones de este trabajo, puede concluirse que el material aplicado o el tratamiento con diamino fluoruro de plata no influirían sobre la cantidad de ionómero remanente luego de realizar ensayos adhesivos a dentina.

Este trabajo fue financiado con el subsidio O011 de la Universidad de Buenos Aires.

50

EFFECTO DE DOS PROGRAMAS DE EDUCACION PARA LA SALUD EN NIÑOS ESCOLARES

Ramos L, Needleman M, Sorazabal A, Rama A, Capuano C
FOUBA - Inst. de Investigaciones en salud Publica

El **objetivo** de este trabajo fue analizar el efecto de dos programas de Educación con alto componente de Promoción de Salud en escolares.

Materiales y metodos: Sobre una muestra de 72 niños con una media de edad = 6.15 ± 0.73 que cursaban el 1° grado de escolaridad primaria. Se realizó Índice de placa (IP), Índice gingival (IG) según Loe (1967) y examen dentario.

Los niños fueron divididos en dos grupos en forma aleatoria. El grupo 1 que recibió el componente educativo de promoción para la salud por parte de los odontólogos y el grupo 2 por adolescentes promotores de salud graduados del curso de Capacitación. Los datos fueron analizados estadísticamente ($\bar{X} \pm E.S.$, análisis de variancia, test de datos apareados y test de grupos independientes).

Los **resultados** mostraron:

a) El grupo 1 en la condición basal con un ceod = 5.24 ± 0.55 ; ceos = 11.39 ± 1.39 ; CPOD = 0.25 ± 0.11 ; CPOS = 0.29 ± 0.14 ; IP = 1.25 ± 0.18 ; IG = 0.63 ± 0.08 y a los 12 meses de programa ceod = 5.20 ± 0.57 ; ceos = 10.79 ± 1.27 ; CPOD = 0.80 ± 0.25 ; CPOS = 0.90 ± 0.29 ; IP = 1.06 ± 0.10 y IG = 0.77 ± 0.12 . b) El grupo 2 en la condición basal mostró un ceod = 7.11 ± 0.89 ; ceos = 16.11 ± 2.61 ; CPOD = 0.61 ± 0.22 ; CPOS = 0.56 ± 0.23 ; IP = 1.06 ± 0.08 ; IG = 0.78 ± 0.07 y a los 12 meses de programa ceod = 7.04 ± 0.72 ; ceos = 15.79 ± 2.17 ; CPOD = 1.32 ± 0.28 ; CPOS = 1.84 ± 0.40 ; IP = 1.13 ± 0.11 ; IG = 0.36 ± 0.11 .

Conclusión: No se observaron diferencias entre las poblaciones que recibieron componente educativo de Promoción para la salud por la parte de los promotores como de los odontólogo.

IMPACTO DEL TRATAMIENTO ODONTOLÓGICO SOBRE LA PERCEPCIÓN DE LA CALIDAD DE VIDA EN PACIENTES VIH+.

Sánchez G*, D'Eramo L, Medici S, Bordoni N, Squassi A.
Clínica para la Atención de Pacientes de Alto Riesgo I (CLAPAR I), F.O.U.B.A.

Objetivo: evaluar el impacto del tratamiento odontológico correspondiente al primer nivel de atención sobre la percepción de la calidad de vida en pacientes VIH+. **Materiales y Métodos:** 79 pacientes VIH+ de ambos géneros completaron antes y después del tratamiento el cuestionario OHIP-49 validado (López, 2006), que comprende 49 preguntas, agrupadas en 7 dominios, relativas al impacto social atribuido al estado bucal. Cada pregunta admite respuesta dentro de 5 categorías (nunca, casi nunca, a veces, casi siempre, siempre). Se determinó el componente C (CPOD) y el INTP para cada paciente. El tratamiento odontológico incluyó: resolución de urgencias, inactivación de caries amelodentinarias abiertas, raspaje supragingival, exodoncias y topicación con FFA. Las diferencias entre las puntuaciones del OHIP-49 antes y después del tratamiento se evaluaron por la prueba de Wilcoxon y las diferencias entre dominios por la de Kruskal-Wallis. El nivel de significación fue $p < 0.05$. La correlación entre las puntuaciones del OHIP-49 y las variables odontológicas se evaluó a través de modelos de regresión uni y multivariados. **Resultados:** El 58 % de la muestra correspondió a varones y el 42 % a mujeres. La edad promedio fue 36.3 ± 0.9 años y no fue significativamente diferente entre géneros ($t_{(77)} = 0.70$, $p = 0.48$). La puntuación del OHIP-49 resultó significativamente menor después del tratamiento ($z_{(T)} = 1.99$, $p = 0.046$). Los dominios con mayor impacto ($H = 12.8$, $p = 0.04$) fueron los correspondientes a limitación funcional (1), dolor físico (2) e incomodidad psicológica (3) y el de mayor variación entre antes y después del tratamiento fue el 3 ($z_{(T)} = 2.01$, $p = 0.04$). La percepción del impacto fue mayor en mujeres solo antes del tratamiento ($z_{(T)} = 2.12$, $p = 0.03$) y la mayor variación antes-después correspondió a este género ($z_{(T)} = 2.20$, $p = 0.03$). El análisis multivariado identificó al componente C y al número de sesiones de tratamiento como variables intervinientes en la variación de la percepción de la calidad de vida ($R_2 = 0.63$, $p < 0.05$). **Conclusión:** Las intervenciones correspondientes al primer nivel de atención contribuyen a disminuir la percepción del impacto del componente salud bucal sobre la calidad de vida.

Subsidio UBACyT 0800.

SALUD GENERAL Y NECESIDAD DE TRATAMIENTO ODONTOLÓGICO EN PERSONAS QUE VIVEN CON VIH Y SIDA

Squassi A*, D'Eramo L, Lecumberri R, Rolón MJ, Sánchez G.
Clínica para la Atención de Pacientes de Alto Riesgo I (CLAPAR I), F.O.U.B.A.

Objetivo: determinar la vinculación entre factores inherentes a la salud general y la necesidad de tratamiento odontológico en personas que viven con VIH y sida (PVVS). **Materiales y Métodos:** 155 pacientes de ambos géneros con serología positiva para VIH participaron del estudio. Se determinó el INTC y el INTP para cada paciente y se recolectaron de las historias clínicas médicas datos relativos al número de episodios de candidiasis faringoesofágica, neumonía, tuberculosis y hospitalización a causa de enfermedades relativas a la infección por el VIH. Se calcularon las medianas y rangos del INTC y el INTP y se analizaron las diferencias entre géneros a través de la prueba de la mediana ($p < 0.05$). La vinculación de los factores clínicos médicos (variables independientes) y la necesidad de tratamiento odontológicos (INTC e INTP, variables dependientes dicotomizadas según la mediana) se analizó haciendo uso de modelos de regresión logística. **Resultados:** El 64.5 % de los participantes fueron varones y el 35.5 % mujeres. La edad de la muestra (media \pm SEM) fue 38 ± 0.7 años y no fue significativamente diferente entre géneros ($t = 0.15$, $p = 0.87$). El tiempo de curso de la infección por el VIH y de administración de la terapia antiretroviral fue 4.5 ± 0.18 años y no se hallaron diferencias entre géneros. El INTC (mediana/rango) fue 11/ 6-14 y el INTP fue 2/ 2-4. El INTC no resultó significativamente diferente entre géneros (varones: 11/ 6-14 vs. mujeres: 12/ 8-14, $p = 0.82$) al igual que el INTP (varones: 2/ 2-4 vs. mujeres: 2/ 2-4, $p = 0.97$). Los episodios de candidiasis (OR: 0.6, IC95: 0.2-1.4), neumonía (OR: 2.5, IC95: 0.9-6), tuberculosis (OR: 0.6, IC95: 0.2-2) y hospitalización (OR: 1.1, IC95: 0.7-1.6) no resultaron variables predictoras del INTC dicotomizado ni del INTP (OR candidiasis: 0.9, IC95: 0.3-2.2; OR neumonía: 1.4, IC95: 0.6-3.3; OR tuberculosis: 1.1, IC95: 0.3-3.7; OR hospitalización: 0.9, IC95: 0.6-1.5). **Conclusión:** La alta necesidad de tratamiento odontológico de las PVVS es una función compleja que implicaría un mayor número de factores médico-clínicos indicadores de salud general.

Subsidio UBACyT 0800.

CARACTERIZACIÓN DE LA CA-ATPasa DE RETÍCULO SARCOPLÁSMICO DE MÚSCULO TEMPORAL

Di Croce D*, Casadoumecq AC, Quiroz GO, Sánchez G, Takara D.
Cátedra de Biofísica. Facultad de Odontología. UBA

Objetivos: (a) aislar a la Ca-ATPasa de retículo sarcoplásmico (RS) de músculo temporal, (b) determinar las condiciones óptimas para la actividad enzimática y el transporte de calcio, (c) comparar los resultados con los obtenidos en músculo blanco rápido. **Materiales y Métodos:** se aislaron vesículas de membrana de RS de músculo temporal y músculo blanco rápido de conejo a través de centrifugación diferencial. Se analizó la composición proteica por electroforesis (SDS-PAGE). La actividad Ca-ATPásica se determinó por técnica colorimétrica. Se emplearon métodos radioisotópicos para la determinación de la captación y unión de calcio a la enzima y su fosforilación por Pi. Se calculó media y error estándar de los valores máximos y de K_i para tapsigargina (inhibidor específico de la Ca-ATPasa). Las diferencias entre medias se analizaron mediante el test t de Student ($p < 0.05$). **Resultados:** el análisis electroforético de la preparación de músculo temporal evidenció una banda mayoritaria (100 KDa) correspondiente a la Ca-ATPasa. La máxima unión de calcio a la enzima correspondió a 6.4 ± 1.2 nmol Ca_{2+}/mg proteína ($n = 8$). La condiciones óptimas para la actividad de la enzima fueron: pH 7.2, 3 mM ATP, 3 mM $MgCl_2$, 0.1 mM $CaCl_2$, 0.1 mM EGTA, 100 mM KCl y no fueron significativamente diferentes de las del músculo blanco rápido. La actividad enzimática y la captación de calcio resultaron sensibles a tapsigargina ($K_i = 26.3 \pm 4.1$ nM; $K_i = 9.2 \pm 1.8$ nM, $n = 8$) y significativamente menores que en el músculo blanco rápido. La actividad enzimática y la captación de calcio máxima (255.4 ± 5.1 mmol Pi/ mg proteína.h; 26.2 ± 2.1 nmol Ca_{2+}/mg proteína) resultaron significativamente menores que las del músculo blanco rápido. Se verificó la formación de fosfoenzima en presencia de $(^{32}P)NaH_2PO_4$. Conclusiones: la menor actividad enzimática y capacidad de transporte de calcio de la Ca-ATPasa de RS de músculo temporal sugiere la presencia de una isoforma diferente a la del músculo blanco rápido, posiblemente una SERCA 2a o una combinación de SERCA2 y SERCA1.

Subsidio UBACyT O 802.

IMPACTO DE LA RECUPERACIÓN DE LA INSUFICIENCIA DE VITAMINA D, UTILIZANDO 100 Y 200UI DIARIAS DE VITAMINA D2 O VITAMINA D3, SOBRE EL HUESO MANDIBULAR. ESTUDIO EXPERIMENTAL

*Gonzales Chaves M1,3,, Marotte C1,3,, Pellegrini G1,3,, Mandalunis P2, Friedman S1, Zeni S1,3, 1 Bioquímica General y Bucal e 2 Histología de la FOUBA, 3 Sección Osteopatías Médicas.

Niveles adecuados de 25OHD son necesarios para una correcta mineralización y formación ósea. Existen controversias sobre que tipo de vitamina D (vitD): vitamina D2 (D2) ó vitamina D3 (D3) es más efectiva y en qué dosis. **Objetivo:** determinar la respuesta del hueso mandibular en función de los niveles de 25OHD alcanzados al utilizar dos dosis diferentes: 100UI% (AIN 93) y 200UI% de D2 y D3. **Métodos:** $n = 32$ ratas Wistar adultas normales ($200 \pm 50g$) por 45 días se las alimentó con una dieta semisintética sin el aporte de vitD (0UI%) para generar su insuficiencia. Luego se las dividió en 4 grupos que recibieron: A 100IU% de D2 ó D3 y B 200IU% de D2 ó D3. Los niveles de 25OHD (ng/ml) se evaluaron a los tiempos: 0, 45, 70 y 90 días de la experiencia. Se utilizó el equipo comercial que detecta por igual a 25OHD3 y 25OHD2 (^{125}I RIA Kit, DiaSorin, Stillwater, MN, USA). Al final de la experiencia se sacrificaron los animales y se determinó histomorfométricamente el volumen óseo (VO) hemimandibular.

Resultados: 25OHD (ng/ml) a diferentes tiempos y VO a $T=90$ ($\bar{x} \pm ES$): **Basal (T=0):** 19.2 ± 0.3 ng/ml. **T=45:** **A) D2** 6.0 ± 0.5^a , **D3** 7.0 ± 0.4^a , **B) D2** $7.2 \pm 0.5a$, **D3** $9.0 \pm 1.2a$ **T=70:** **A) D2** $7.7 \pm 0.9b$, **D3** $11.6 \pm 1.0c$, **B) D2** $22.05 \pm 1.4b$, **D3** $25.35 \pm 2.1b$ **T=90:** **A) D2** $8.1 \pm 0.7b$, **D3** $14.0 \pm 1.9c$, **B) D2** $23.25 \pm 0.9b$, **D3** $27 \pm 1.3b$. **Y VO T=90:** **A) D2** $32.8 \pm 4.4a$, **D3** 32.9 ± 3^a ; **B) D2** $37.31 \pm 3.4b$; **D3** $37.7 \pm 1.5b$.

Letras diferentes indican un $p < 0.05$. A $T=45$ existió una deficiencia similar en los niveles de 25OHD. Al día 70 los niveles de 25OHD aumentaron en el grupo B sin diferencias significativas respecto del tipo de vit suministrada; en cambio, el grupo A presentó niveles inferiores y diferencias entre los grupos ya que el que recibió D3, presentó niveles significativamente mayores que el que recibió D2. No existieron diferencias en el VO por haber recibido D2 o D3, aunque aquellos animales que recibieron mayor cantidad de vitD, presentaron un mayor VO.

Conclusiones: Bajo nuestras condiciones experimentales, existe una respuesta diferente del hueso mandibular dependiente de la cantidad pero no del tipo de vitD administrada. PIP 6483.

ALTERACIONES DE LA CONCENTRACIÓN DE GLUCÓGENO Y α - AMILASA SALIVAL EN GLÁNDULA PARÓTIDA DE RATAS WISTAR POR EFECTO DE 5-FU Y LV CÁLCICA

Mazzeo MA*, Bachmeier E, López M, Wietz F, Linares J, Finkelberg AB.
Cátedra de Fisiología. Facultad de Odontología. UNC

OBJETIVO: Estudios previos de nuestro laboratorio demostraron alteraciones funcionales en la actividad de la glándula submandibular de rata por acción de 5-FU y LV cálcica. Con el propósito de evaluar el efecto de estas drogas sobre la funcionalidad de la glándula parótida, se evaluaron los depósitos de glucógeno y α -amilasa salival.

MÉTODOS: Se utilizaron 20 ratas Wistar machos de 3 meses de edad, de 300-400 gr de peso corporal, alojadas en jaulas metabólicas individuales, con fotoperíodos de 12hs cada uno y divididas en 4 grupos experimentales: control(C), tratadas con 5-FU (20 mg/kg PC/5 días consecutivos) y tratadas con LV+ 5FU (10 mg/kg/PC y 20 mg/kg PC/5 días consecutivos). Los animales fueron ayunados por 24 hs y sacrificados al 7º día del inicio de la experiencia.

Los niveles de glucógeno y amilasa salival se evaluaron inmediatamente después de sacrificado el animal en tiempo 0 (T 0) y luego de 60 minutos (T 60) de incubación en medio libre de glucosa (KRB).

RESULTADOS: En (C) los depósitos de glucógeno disminuyeron significativamente en (T60) con relación a (T 0) en todos los grupos. Los valores basales (T0) de los grupos tratados muestran un incremento significativo ($p < 0.5$; $p < 0.01$) en relación a controles. Respecto a la amilasa salival, al evaluar su concentración glandular, el grupo (C) en (T0) mostró una concentración significativamente mayor. En (T 60) la concentración de amilasa disminuyó significativamente respecto a (T 0), sólo en el grup (C) En concordancia con este efecto a nivel glandular; la liberación de amilasa al medio de incubación es significativamente mayor ($p < 0.5$) en (C) que (5-FU) y (LV+5-FU).

CONCLUSIÓN: Estos resultados sugieren el efecto deletéreo de (5-FU) y (LV+5-FU) sobre la actividad funcional de la glándula parótida siendo mayor el producido por el esquema (LV+5-FU).

LA LIDOCAÍNA MODULA LA ACTIVIDAD DE LA PROTEÍNA QUINASA C EN FORMA CONCENTRACIÓN DEPENDIENTE EN LOS FIBROBLASTOS DE GÍNGIVA HUMANA

Emmanuel Quinteros Villarruel, Enri Borda, Leonor Sterin-Borda, *Betina Orman Cátedra de Farmacología, Facultad de Odontología, Universidad de Buenos Aires y CONICET Buenos Aires

Introducción: Los anestésicos locales son fármacos que anivian o previenen el dolor al interrumpir la conducción nerviosa siendo los fármacos de mayor uso en odontología. Su principal blanco de acción son los canales de Na^+ voltaje dependiente. A su vez, el canal de Na^+ es modulado mediante la fosforilación de dos enzimas: proteína quinasa A (PKA) y proteína quinasa C (PKC). **OBJETIVO:** En este trabajo estudiamos la capacidad de la lidocaína de modular la actividad de PKC en forma concentración dependiente sobre la proliferación celular y la apoptosis en fibroblastos de gíngiva humana. **Materiales y Métodos:** La proliferación celular inducida por la lidocaína se cuantificó mediante la incorporación de timidita tritiada en cultivos primarios de fibroblastos de gíngiva humana mientras que la apoptosis inducida por la lidocaína se estudió mediante la técnica de transferencia terminal de deoxinucleótidos (TUNEL) en los mismos cultivos celulares. La actividad de PKC se cuantificó por la técnica de ELISA. **Resultados:** La lidocaína presentó un efecto dual dependiente de su concentración sobre cultivos primarios de fibroblastos de gíngiva humana. Se pudo observar que la lidocaína a concentraciones crecientes de 10^{-11} a 10^{-7} M estimuló la proliferación de cultivos primarios de gíngiva humana y paralelamente estimuló la actividad de la PKC. Por su parte la inhibición de la PKC por staurosporina inhibió la proliferación inducida por la lidocaína. Asimismo, se pudo observar que la lidocaína estimuló el proceso apoptótico de los cultivos primarios en forma concentración dependiente a partir de 10^{-6} M. El efecto proapoptótico inducido por la lidocaína resultó estimulado por la inhibición de la PKC con staurosporina, observándose una correlación negativa entre el número de núcleos apoptóticos y la actividad de la PKC. **Conclusiones:** Estos resultados muestran que la lidocaína promueve tanto la proliferación celular como la muerte celular programada en forma concentración dependiente. La lidocaína promueve la proliferación celular de fibroblastos de gíngiva humana involucrando un aumento en la actividad de la PKC mientras que en el proceso apoptótico inhibe la actividad de la esta enzima.

57

MODELO DE BIODISPONIBILIDAD DE CIPROFLOXACINA EN MAXILARES DE RATAS

Ruth Ferreyra de Prato *Ada Quinteros, María E Olivera.
Cátedra Anatomía Patológica A y Catedra de Histología y Embriología A Fac.Odontología UNC. Dpto. Patología Oral.

La biodisponibilidad de antibióticos, no ha sido estudiada en hueso maxilar por lo que el **objetivo** de este modelo fue probar la biodisponibilidad de Ciprofloxacina en un modelo en ratas con infección periapical.

Material y Método: Se utilizaron 20 ratas Wistar, machos, de 250 grs de peso mantenidas en el Instituto de Biología Celular de la Universidad Nacional de Córdoba, a temperatura de 24°C e iluminados con luz natural. Los animales fueron alimentados con dieta balanceada y agua ad libitum durante el periodo de experimentación. Se dividieron en 2 grupos, **A:** se provocó una infección en el Primer Molar inferior derecho y a los molares izquierdos se los mantuvo sanos. **B:** se les provocó una infección en dos molares inferiores derechos, los molares izquierdos se mantuvieron sanos. En ambos casos se realizó la apertura cameral de los elementos dentarios hasta conseguir la formación de un granuloma, en tiempos experimentales de 15 y 30 días. La infección fue comprobada por RX e histológicamente. El grupo de animales siguientes, fueron tratados con Ciprofloxacina hasta conseguir una dosis estable y se los anestesió con inyección intraperitoneal de 8 mg/100g de Clorhidrato de Ketamina y 1,28 mg/100g de Xylazina. Se obtuvo la sangre dejada en lecho del alveolo post-extracción dentaria de los molares inferiores, el del lado derecho con infección provocada y el izquierdo sano mediante Pipeta Pasteur heparinizada. Se analizaron las muestras, que fueron centrifugadas y el sobrenadante se mantuvo a 4°C. Se realizaron las determinaciones por el método del HPLC con detección por fluorescencia, en el Laboratorio del Departamento de Farmacia de la Facultad de Ciencias Químicas.

Resultados: Los datos obtenidos fueron evaluados, encontrándose diferencias significativas entre ambos grupos. Se eligió el modelo B donde se obtuvo muestras de 5 microlitros promedio, que fueron suficientes para obtener resultados cualitativos medibles por la técnica de HPLC. Este modelo podría ser utilizado para evaluar otros antimicrobianos.

58

APLICACIÓN LOCAL DE PARATHORMONA RECOMBINANTE SOBRE DEFECTOS ÓSEOS CRÍTICOS

Jammal M V1*, Pastorino N F 1, Abate C M 2, Missana L R 1, 2.
1 Cátedra Anatomía y Fisiología Patológicas. Laboratorio de Patología Experimental Bucal. CONICET

La parathormona recombinante humana (rh-PTH 1-34) es una terapéutica eficaz para el tratamiento de la osteoporosis; sin embargo se desconoce su respuesta en pérdidas óseas de diferente etiología.

Objetivo: evaluar la acción biológica de rhPTH combinada con atelocolágeno tipo I en defectos óseos críticos de calota de rata (DOC). En 44 ratas *Wistar* hembras (150± 50 g) se realizaron DOC de 5mm de diámetro en hueso parietal. Se dividieron en 3 grupos: control (GC), no recibió ningún tratamiento postquirúrgico; Grupo colágeno (GCo): recibió membrana de atelocolágeno I (mcol) y Grupo colágeno-rhPTH (GC-rhPTH): recibió mcol combinada con rhPTH. Las muestras se evaluaron a la 1°, 3° y 6° semana (s) post quirúrgica, utilizando rayos x blandos, estudios histológicos e histométricos.

Resultados Radiográficos: áreas radiopacas irregulares de variado tamaño dentro del área radiolúcida del DOC en GC-rhPTH.

Resultados Histológicos: GCo: A la 1°, 3° y 6° s sobre la membrana colágena se observó neoformación ósea (0,2%, 4,4% y 4,1%). El nuevo hueso fue de **tipo compuesto**. GC-rhPTH: a la 1° s escasa neoformación ósea (0,2%). Sobre el hueso parietal endóstico se observaron zonas de reabsorción, algunas muy activas y otras en vías de reparación. A la 3° s se observó conglomerados de osteoblastos que representaban al esbozo del futuro hueso (4,8%). A la 6° s dentro del DOC se distinguieron áreas de neoformación ósea de **aspecto peculiar** (5,3%). Los datos obtenidos fueron analizados estadísticamente con el Test de Kruskal Wallis, observándose diferencias significativas entre los GC, GCo y GC-rhPTH a la 3° y 6° s (p=0.03 y 0.01).

Conclusión: Al vehicular la rhPTH con colágeno, se demostró un incremento en la formación ósea, debido a la acción sinérgica entre ambas sustancias.

CARACTERIZACIÓN CLÍNICA E HISTOPATOLÓGICA DEL CÁNCER DE ENCÍA: ESTUDIO COMPARATIVO DE 115 CASOS.

LABBROZZI M*; GANDOLFO M., GIACCO C., WERNER L. CALVO C. OZVATIC B., CABRERA I., VELAZCO M., LANFRANCHI H Cátedra de Clínica Estomatológica - FOUBA

Introducción: A pesar de la abundante literatura existente en relación al carcinoma de células escamosas (CCE) de la cavidad bucal no se dispone aún de trabajos concluyentes referentes a la caracterización clínica e histopatológica del cáncer de encía.

Objetivo: caracterizar los aspectos clínicos e histopatológicos de 115 casos de CCE de encía de pacientes que concurren a la Cátedra de Clínica Estomatológica de la FOUBA comparando los períodos 1990-1999 (Brandizzi y col. 2008) y 2000-2008.

Materiales y métodos: se realizó el examen clínico e histopatológico de 115 casos de CCE de encía. En el tratamiento estadístico de los datos obtenidos se realizaron los test de Chi cuadrado y de Kaplan & Meyer.

Resultados: Se observó un aumento estadísticamente significativo del CCE de encía en el género femenino, con un 43% en el período 1990-1999 y un 56,14% entre 2000-2008, acompañado por el incremento del hábito de fumar en el último período (26,3%) con respecto al primero (13,8%). En cuanto al estadio (E) se observó en el primer período: E I 10.5%, E II 12.30%, E III 52.60%, E IV 24.6%; en el segundo período: E I 15.09%, E II 20.76% E III 50.95%, E IV 13.20%.

Conclusión: Se caracterizó el CCE de encía observándose un aumento significativo de ésta localización en el género femenino. Este aumento es probablemente vinculable al incremento del hábito de fumar en este grupo. En relación al diagnóstico se ha logrado revertir la tendencia del diagnóstico tardío con un aumento del diagnóstico precoz en el período 2000-2008. Estos datos sugieren continuar la formación de los profesionales dado que ésta es la segunda ubicación después del cáncer de lengua, tratándose de una topografía de fácil acceso para el odontólogo.

BNCT EN EL MODELO DE CÁNCER BUCAL EN HAMSTER: POTENCIACIÓN DE LA EFICACIA TERAPÉUTICA MEDIANTE LA "N"

*Molinari AJ(1), Pozzi ECC(1,2), Monti Hughes A(1), Heber EM(1), Garabalino MA1, Thorp SI(3), Miller (1) Dpto. de Radiobiología, (2) Dpto. de Reactores de Investigación y Producción, (3) Dpto. de Instr

OBJETIVO: Es sabido que la llegada de los compuestos borados a todas las células del tumor es fundamental para el éxito de la Terapia por captura Neutrónica en Boro (BNCT), y que la "normalización" de los vasos sanguíneos tumorales mejora la entrega de drogas al tumor. En este contexto, nuestro objetivo fue establecer un método para inducir la normalización de los vasos sanguíneos tumorales en el modelo de cáncer bucal de la bolsa de la mejilla del hamster y evaluar el efecto de ésta normalización en la eficacia terapéutica y potencial radiotoxicidad del BNCT.

METODO: Se inyectaron dos dosis de Talidomida (200mg/kg de peso corporal) i. p. en hamsters con tumor en dos días consecutivos. Mediante microscopía *in vivo* y estudios de permeabilidad, establecimos que la normalización de los vasos tumorales fue máxima a las 48hs después de la primera inyección de Talidomida. El efecto de la normalización vascular en el éxito del BNCT se ensayó del siguiente modo: Grupo I tratado con BNCT mediado por BPA (15, 5 mg₁₀B/kg) en el Reactor Nuclear RA-3, 48hs después de la primera inyección de Talidomida; Grupo II tratado con BPA-BNCT; Grupo III tratado con Haz Sólo 48hs después de la primera inyección de Talidomida y el Grupo IV tratado con Haz Sólo. Los grupos I-IV fueron tratados con la misma fluencia de neutrones. Los análisis estadísticos se realizaron utilizando test de Student y test de Fisher.

RESULTADOS: El control tumoral total (respuesta completa + parcial) 28 días post-tratamiento fue significativamente mayor para el Grupo I (Talidomida+BPA-BNCT) que para el Grupo II (BPA-BNCT): 84±3% vs 67±5% (p<0,01). El tratamiento previo con Talidomida no induce cambios significativos en el control tumoral total del Haz Sólo. El BPA-BNCT induce una mucositis reversible en el tejido premaligno que alcanza grado 3-4 en el 80% de los animales, mientras que ninguno de los animales tratados con Talidomida-BPA-BNCT superó el grado 2 de mucositis. No se observó radiotoxicidad en el tejido normal en ninguno de los protocolos empleados.

CONCLUSION: El tratamiento previo con Talidomida aumenta la eficacia terapéutica del BNCT mediado por BPA y reduce la radiotoxicidad en el tejido premaligno circundante al tumor.

61**LOS AUTOANTICUERPOS ANTI-RECEPTOR M₃ DE PACIENTES CON SÍNDROME DE SJÖGREN PRIMARIO DISPARAN LA PRODUCCIÓN DE MMP-3 Y DE PGE₂ EN LAS GLÁNDULAS SUBMAXILARES DE RATA**

*Silvia Reina, Leonor Sterin-Borda, Enri Borda
Cátedra de Farmacología – Facultad de Odontología – Universidad de Buenos Aires y CONICET

Los pacientes con Síndrome de Sjögren primario (SSp) producen autoanticuerpos (Ac) capaces de interactuar y activar a los receptores muscarínicos colinérgicos M₃ (mAChR M₃) presentes en las glándulas salivales. Además, en éstos pacientes se presenta una destrucción de los componentes de la lámina basal glandular, acompañada de un infiltrado linfocitario periductal.

El **objetivo** de nuestro trabajo fue estudiar la modulación de los Ac sobre la producción de metaloproteína 3 (MMP-3) y la generación/liberación de prostaglandinas E₂ (PGE₂) en la glándula submaxilar de la rata. Se utilizaron glándulas submaxilares de rata, expuestas a inmunoglobulinas G (IgG) anti-péptido M₃ (IgG anti-M₃), purificadas por afinidad en presencia del péptido sintético correspondiente al 2do dominio extracelular del mAChR M₃ humano. La producción de PGE₂ y de MMP-3 se realizó a través de ensayos inmunoenzimáticos. Demostramos una asociación entre los niveles de IgG anti-M₃ y los de MMP-3 y de PGE₂ en sueros de pacientes con SSp. Por otro lado, la IgG anti-M₃ produjo una estimulación sobre las glándulas submaxilares de rata, causando un incremento en la producción y/o liberación de MMP-3 y de PGE₂. Este incremento, estuvo acompañado por la activación de la fosfolipasa A₂ y de la ciclooxigenasa 2.

Estos **resultados** muestran una asociación entre los niveles séricos de IgG anti-M₃, PGE₂ y MMP-3, los que pueden ser considerados como marcadores tempranos asociados a la inflamación presente en el SSp. Además, los anticuerpos anti-colinoreceptores cumplirían un nuevo rol en el desarrollo de la inflamación glandular, por la inducción de mediadores pro-inflamatorios, como la PGE₂ y las MMP-3.

62**FUNCIÓN ENDOTELIAL Y ENFERMEDAD PERIODONTAL (ESTUDIO FEFP). ESTUDIO PRELIMINAR**

*Rubio MC, Lewin P, De la Cruz G, Sarudiansky A, Nieto M, Costa O, Nicolosi L
Cátedra de Patología y Clínica Bucodental y Cátedra de Periodoncia, Facultad de Odontología. UBA.

La función endotelial (FE) desempeña un papel fundamental en la patogenia aterosclerótica. Se ha demostrado que la FE empeora con variedad de factores como hipertensión arterial (HTA), dislipemias (DLP) y procesos infecciosos e inflamatorios crónicos como la enfermedad periodontal (EP). Se ha comprobado que a 24 hs de efectuado el tratamiento intensivo de la EP la FE empeora. Sustancias como las estatinas (EST) y los inhibidores de la enzima convertidora de angiotensina (IECA) mejoran la FE.

OBJETIVO: Determinar si el riesgo de empeoramiento de la función endotelial post tratamiento de la EP, es significativamente menor en pacientes que reciben estatinas y/o IECA, versus aquellos que no las reciben.

MÉTODOS: Estudio prospectivo en pacientes con EP severa con y sin tratamiento con EST y/o IECA. Se les efectuó: el día 1 FE basal (cuantificación de la dilatación arterial post isquemia con ecografía/doppler), el día 2 el tratamiento intensivo de la EP en una sola sesión, raspaje y alisado utilizando curetas y ultrasonido. El día 3 y 15 medición de la FE.

RESULTADOS: Ingresaron 14 pacientes de 61± 14 años, 28.6% mujeres, con IECA 71.4%, EST 42,9%. Sitios con EP 21± 13, Hemorragia al sondaje 18 ± 13, profundidad de sondaje 5,9 ± 0,4 mm, Nivel de inserción clínica 5,5± 2,2 mm. La FE entre el día 1 y 3 disminuyó 6,36 % (p< 0.000) entre el día 3 y 15 aumentó 9,43 % (p< 0.000). No hubo diferencia entre el día 1 y 15. Los pacientes con IECA vs. los no tratados tuvieron al día 3 una disminución de la FE significativamente menor (p< 0.05), no habiendo diferencia en los tratados con EST.

CONCLUSIONES: El empeoramiento de la función endotelial post tratamiento de la enfermedad periodontal, es significativamente menor en pacientes que reciben IECA. No hubo diferencias post tratamiento en los pacientes que recibían estatinas. La función endotelial mejoró a los 15 días del tratamiento, recuperando los valores basales.

Trabajo realizado con subsidio Programa Erausquin 2009-2011. FOUBA.

CAMBIOS HISTOLÓGICOS EN LOS VASOS DE LA PULPA DENTAL HUMANA DURANTE SU CICLO VITAL

Dr. Boiero CF*, Prof. Dr. Gani O.
Cátedra de Endodoncia "A". Facultad de Odontología. U. N. de Córdoba. Argentina.

La pulpa posee una circulación del tipo terminal y sus vasos, por estar encerrados dentro del diente, poseen aspectos que les son propios.

Objetivo: analizar en cortes transversales del ápice radicular, los cambios que sufren los vasos sanguíneos de la pulpa dental humana durante su ciclo vital.

Método: Se utilizaron dientes humanos sanos extraídos por diversas razones. Según la edad, se distribuyeron en: Adolescentes (Ad) 14/20 años; Adultos Jóvenes (AJ) 25/40 años y Adultos Mayores (AM) >50 años. Efectuados los pasos de la técnica histológica, se efectuaron cortes a partir de los 2mm del ápice. Concluida la técnica, se obtuvieron imágenes digitalizadas en las que se analizaron las estructuras vasculares. Mediante procesador de imágenes se midió el área pulpar y se identificaron y contaron los vasos; se midió el área vascular total y de su luz y se obtuvo el espesor de la pared vascular. Por último se estableció la proporción área luz vascular/área pulpar. Los datos fueron tratados estadísticamente (método de Mann-Whitney).

Resultados: El grupo Ad se caracterizó por presentar gran cantidad de vasos; disparidad en sus tamaños y variedad en sus formas. En AJ el número y distribución de los vasos, no fue constante y en AM hubo una significativa reducción a expensas de las vénulas y capilares ($p < 0.05$). El área vascular de las arteriolas, incluidas sus paredes, mostró variantes no significativas ($p > 0.05$). El número de vénulas fue dispar y sus tamaños aumentaron significativamente ($p < 0.05$) con la edad. La luz vascular de arteriolas y vénulas varió con valores no significativos ($p > 0.05$). El espesor de las paredes vasculares aumentó significativamente con la edad ($p < 0.05$).

Conclusión: La reducción de los vasos pulpares sólo fue significativa en Adultos mayores respecto a Adolescentes. El envejecimiento del sistema vascular a nivel apical, se manifiesta en la reducción del número de vasos y en el espesor de sus paredes, no así en cuanto a la luz de los grandes troncos arteriales y venosos. La posible implicancia de estos cambios sobre el fisiologismo pulpar, exige profundizar los estudios.

LOCALIZACIÓN DEL CITOESQUELETO DE ACTINA EN LA RED OSTEOCITARIA DEL HUESO ALVEOLAR EN CORTES DESCALCIFICADOS

BOZAL CB*, SANCHEZ LM, LACAVE M, UBIOS AM
Cátedra de Histología y Embriología, Facultad de Odontología, UBA

Los osteocitos forman un complejo sistema de comunicación extracelular a través del sistema lacuno-canalicular (SLC) e intracelular a través de la red de sus procesos citoplasmáticos. Previamente hemos reconstruido y analizado morfológicamente la microarquitectura tridimensional del SLC del hueso alveolar por microscopía confocal en cortes sin descalcificar. Dado que la ubicación de los osteocitos dentro de una matriz mineralizada dificulta el estudio de la estructura celular y que no ha sido estudiado el hueso alveolar descalcificado por microscopía confocal, el **OBJETIVO** del presente trabajo fue estandarizar la técnica de descalcificación para poder estudiar morfológicamente la estructura de su red osteocitaria mediante la marcación fluorescente de la actina.

MÉTODOS: El hueso alveolar de ratas Wistar machos se descalcificó durante 45 días en EDTA. Cortes de 150µm de espesor orientados a nivel de la raíz mesial del 1º molar se incubaron con phallotoxina conjugada con Alexa-Flúor 594 en dilución 1:200 y se observaron por microscopía confocal excitando la fluorescencia con láser de He-Ne (longitud de onda de 543 nm). **RESULTADOS:** La actina se observó en la corteza de los cuerpos celulares y en las prolongaciones y sus ramificaciones. Se evidenció la compleja red de ramificaciones y los sitios de interconexión entre osteocitos y con las células de la superficie. En la tabla de remodelación el ratio largo-ancho celular fue de $2,56 \pm 1,03$ en la cresta y de $1,23 \pm 0,24$ cerca del ápice; en la tabla de modelación fue de $2,36 \pm 0,85$ en la cresta ósea y $2,10 \pm 0,42$ cerca del ápice. Esto determina que los cuerpos celulares en ambas tablas se orienten siguiendo una disposición perpendicular a la dirección en la que las fibras del ligamento periodontal transmiten las fuerzas. **CONCLUSIONES:** La metodología utilizada nos permitió evidenciar la compleja red osteocitaria del hueso alveolar. Nuestros resultados sugieren que las fuerzas que transmite el ligamento periodontal determinan el patrón de orientación de la actina en los osteocitos, y que los distintos arreglos del citoesqueleto participarían de la transducción de las señales físicas durante la mecanotransducción.

Subsidios UBACyT 0018 y Premio Colgate Palmolive 2009.

65

INTERNEURONAS GABAÉRGICAS EN EL SUBNÚCLEO CAUDAL DEL TRIGEMINO LUEGO DE UNA LESION PULPAR UNILATERAL

Mariela C. Canzobre* y Hugo Ríos
Histología y Embriología, FOUBA

Glutamato y GABA son importantes neurotransmisores excitatorios e inhibitorios respectivamente en el sistema nervioso central. El glutamato es a la vez sustrato de la enzima glutamato descarboxilasa (GAD) para la síntesis de GABA. Las neuronas aferentes que inervan la pulpa dentaria utilizan al glutamato como neurotransmisor, terminando sus axones en las neuronas de proyección en las capas superficiales del subnúcleo caudal del trigémino (Vc). Desde estas láminas la estimulación nociceptiva se transmiten a otras regiones del tronco encefálico o al tálamo y a interneuronas locales. La activación del receptor NMDA aumenta los niveles de Ca^{2+} intracelular, clave en eventos de neuroplasticidad. Nuestro laboratorio analizó la participación de neuronas inmunoreactivas (IR) para calbindina y calretinina, proteínas fijadoras de calcio regulatorias de la homeostasis de calcio, y las poblaciones de neuronas nitrérgicas (Canzobre y col. SAIO 2006 y 2009). En este trabajo estudiamos a las interneuronas GABAérgicas, las cuales mediante inhibición pre o post-sináptica, o actuando sobre otras interneuronas del Vc, modulan las aferencias primarias de la vía nociceptiva. **Objetivos:** evaluar cambios en la expresión de GAD-6 involucrado en el sistema GABAérgico, y examinar la relación entre los terminales sinápticos GAD-6 y diferentes subtipos neuronales en el Vc, luego de una lesión pulpar unilateral. **Materiales:** en ratas Wistar hembras adultas se lesionó la cámara pulpar del 1er molar inferior izquierdo. Analizamos la distribución de terminales IR GAD-6 en los diferentes niveles del Vc ipsi y contralateral, en cada grupo de animales, por medio de dobles tinciones con inmunofluorescencia e histoquímica para NADPH. **Resultados:** Nuestros resultados muestran evidencia morfológica que los terminales axónicos IR GAD-6 establecen un plexo sináptico a modo de corona sobre neuronas del Vc. Por otro lado, observamos un aumento del plexo axónico GABAérgico en las láminas superficiales del núcleo ipsilateral luego de los 4 días postlesión. **Conclusiones:** Este trabajo muestra que las neuronas GABAérgicas serían activadas durante la inflamación pulpar y generación del estímulo nociceptivo, lo que sugiere un control de las aferencias dolorosas a nivel del Vc. *UBACyT O 014.*

66

RECLUTAMIENTO DE OSTEOCLASTOS EN MANDÍBULA DE RATA COMO RESPUESTA A UNA DIETA ATEROGÉNICA

4Gubert M, 1Gómez Echarren MP, 3Bruno G, 4Monforte F, 4Caló C, 2Nuñez F, 4Lylyk P, Gamba C*, 1Friedman SM, 2Mandalunis P. Cátedras de 1Bioquímica, 2Histología y 3Radiología, Facultad de Odontología, UBA y 4Clínica Sagrada

En estudios previos hemos observado que una dieta aterogénica en etapas de rápido crecimiento alteraba la arquitectura y estructura óseas, evidenciando cambios en la remodelación interradicular de la mandíbula de rata. **Objetivo:** Evaluar el reclutamiento de osteoclastos en la mandíbula con un modelo experimental de ratas en crecimiento, alimentadas con una dieta aterogénica. **Métodos:** Ratas Wistar macho (n=12) al destete loteadas por peso en 2 grupos: Control (C) y experimental (E), recibieron a libre demanda: C dieta stock para roedores (pellets) y E dieta aterogénica (pellets+grasas saturadas+colesterol) por 7 semanas (Tf) en las que se monitorearon zoometría (peso y longitud corporales) y consumo de dieta (g/100g rata/día). A Tf en suero (mg/dL) el perfil lipídico-lipoproteico aterogénico: colesterol total (col-T), triglicéridos (TG), col HDL y noHDL y en las hemimandíbulas en cortes orientados en sentido mesio-distal, en el hueso interradicular del primer molar -dividiendo en zonas superior (SUP) e inferior (INF)-, la valoración histomorfométrica del volumen óseo (VO) (Image pro-plus 2.0) y la determinación de fosfatasa ácida tartrato resistente (TRAP) evaluando osteoclastos + preosteoclastos por superficie (μm^2). Análisis estadístico: test t de Student (nivel de significación $p < 0.05$). **Resultados:** (media \pm DE) a Tf no hubo diferencias zoométricas, ni en la ingesta ($p > 0.05$); el perfil lipídico-lipoproteico indicó correspondencia con la dieta. En E la reducción de 10% del VO total vs C ($38,6 \pm 7,23$ vs $48,6 \pm 6,95\%$ $p < 0.05$) se vio reflejada el VO INF que mostró una reducción significativa vs C ($25,1 \pm 8,12$ vs $39,8 \pm 7,58\%$ $p = 0.009$) y no en el VO SUP ($p > 0.05$). Los valores de TRAP/ μm^2 (expresados como células TRAP+ $\times 10^{-3}$ / μm^2) mostraron un aumento global de E vs C ($23,9 \pm 3,4$ vs $10,3 \pm 4,6$ $p < 0.05$) y SUP ($35,1 \pm 5,3$ vs $13,2 \pm 8,5$ $p < 0.05$), sin diferencias significativas INF ($p > 0.05$). **Conclusión:** Estos resultados sugieren que una dieta aterogénica induce el reclutamiento de osteoclastos en el hueso interradicular de la mandíbula de la rata, que se refleja con la reducción del volumen óseo. En este aspecto, quedaría en evidencia la influencia sistémica de los lípidos sobre el reclutamiento de los osteoclastos.

67

EFECTOS DE LA DEFICIENCIA DE ESTROGENOS SOBRE LA EXPRESIÓN DE ESCLEROSTINA EN LOS OSTEOCITOS DEL HUESO ALVEOLAR EN EL PERIODO PREOSTEOPÉNICO

Sánchez LM*, Bozal CB, Lewicki M, Ubios AM
Cátedra de Histología y Embriología, Facultad de Odontología, UBA

Hay indicios de que los osteocitos además de mecanotransductores, regulan la función de las células efectoras durante la remodelación ósea en respuesta a alteraciones hormonales. En un trabajo previo realizado en nuestro laboratorio hemos demostrado que en el hueso alveolar de ratas ovariectomizadas (OVX) que a los 60 días, encontrándose bajos los niveles de estrógeno en sangre y sin registrar aún osteopenia, el volumen lacunar aumentó significativamente. La glicoproteína esclerostina es un inhibidor de la formación ósea sintetizado por los osteocitos. Se desconocen hasta ahora los efectos tempranos de la deficiencia de estrógenos sobre la expresión in vivo de esclerostina en los osteocitos del hueso alveolar.

El **OBJETIVO** del presente trabajo fue evaluar la expresión de esclerostina en los osteocitos del hueso alveolar en animales con deficiencia de estrógenos por ovariectomía antes de la instalación del cuadro osteopénico.

MÉTODOS: Se utilizaron ratas Wistar hembras de 9 semanas divididas en 2 grupos: I) sham 15 días II) OVX 15 días, III) sham 60 días y IV) OVX 60 días. Luego del sacrificio los maxilares inferiores se procesaron histológicamente para inmunomarcación para esclerostina. Se cuantificaron los osteocitos positivos y negativos para esclerostina (Oc Scl+ y Oc Scl-), expresando los valores en porcentaje y densidad. Los valores se evaluaron estadísticamente mediante test ANOVA.

RESULTADOS: El porcentaje y la densidad de Oc Scl+ aumentaron significativamente en los animales del grupo IV con respecto al grupo III y con respecto a los animales sacrificados a 15 días. Nuestros resultados evidencian que los niveles de esclerostina *in vivo* aumentan significativamente ante la deficiencia de estrógenos establecida y no al inicio de la disminución hormonal. Esto demuestra que la expresión de esclerostina en los osteocitos es anterior a la instalación del cuadro osteopénico por deficiencia de estrógenos.

Subsidio UBACyT O 018.

68

NUEVA CLASIFICACIÓN DE FORMAS CORONARIAS DEL INCISIVO CENTRAL SUPERIOR

*Senn LF; Lazos JP; Brunotto MN.
Facultad de Odontología, UNC

OBJETIVO: analizar ciertas dimensiones coronarias del Incisivo Central Superior (ICS) para determinar grupos morfológicos dentarios.

MÉTODO: 150 (n=150) ICS humanos fueron usados en este estudio; todos se encontraban limpios, libres de restauraciones/caries y no presentaban evidencia de desgaste incisal. Sobre cada corona dentaria varios puntos de referencia fueron marcados, y luego las siguientes medidas fueron realizadas utilizando un calibre digital: diámetros mesiodistales (MD=mayor, md=menor) y diámetros axiales (AC o Altura Coronaria, CC o Convexidad Cervical). Se usó una proporción entre md y MD (md/MD) para valorar formas dentarias. Las clase de ICS se categorizó en tres niveles (C1, C2 y C3) considerando los valores superiores de los tres intervalos grupales como punto de corte (C1: 0.72; C2: 0.83; C3: 0.94).

RESULTADOS: nuestros resultados sobre coronas anatómicas son similares aquellos dados por otras publicaciones; AC=10,88 mm (DE 1,07), MD=8,58 mm (DE 0,52) y md=6,67 mm (DE 0,59). El porcentaje de ICS en cada grupo fue: C1 20,67%; C2 22,67%; y C3 56,67% (hubo un 89% de precisión validado por método discriminante lineal). En nuestra muestra, el grupo C3 refiere a la forma más comúnmente descrita de ICS.

CONCLUSIÓN: nuestros resultados sugieren que la morfología del ICS puede ser adecuadamente valorada a través de métodos cuantificables. Nuestra proporción es simple, cuantitativa y fácilmente reproducible. Proponemos una definición de formas dentarias cuantificable, basada en características que no se afectan por la posición del margen gingival o el desgaste incisal.

ESTANDARIZACIÓN DE PIEZAS DENTARIAS ANTERIORES INCOMPLETAMENTE FORMADAS DE UN MODELO ANIMAL

de la Vega, M.C., Luppi L., Gerometta R., Ferreyra S.
Departamento de Investigación, Facultad de Medicina UNNE.

Objetivos: *General:* Estandarizar los dientes anteriores con formación incompleta en un modelo animal ovino. *Específico:* Describir el tamaño del foramen apical de piezas dentarias permanentes en un modelo animal ovino en función de la edad y raza del animal. **Métodos:** Se realizó un estudio descriptivo in vitro de 56 piezas dentarias anteriores extraídas de mandíbulas de ovejas; de raza "Ideal", sexo femenino. Unidades de análisis: pinzas, 1° medios y 2° medios entre 12 y 30 meses de edad. Se estudiaron los forámenes apicales mediante lupa estereoscópica Leica que aportó imágenes digitales capturadas con una cámara fotográfica conectada a una PC. Se determinaron los calibres de los forámenes apicales a través de mediciones directas con software de la lupa y con el programa Image Tool versión 3.0. Todas las imágenes se obtuvieron y se analizaron al mismo aumento. Se utilizaron herramientas informáticas e indicadores estadísticos. **Resultados:** Se analizaron 56 piezas dentarias. Los forámenes apicales se diferenciaron de acuerdo a edad y grupo dentario, y el mean corresponde a: Pinzas de 12-18 meses: 2,3mm en distancia Vestibulolingual (V-L) y 2mm en distancia mesiodistal (M-D); Pinzas de 20-24 meses: 1,9mm en V-L y 1,3mm en M-D, Pinzas de 24-30 meses: 1,3mm en V-L y 0,8mm en M-D. 1° medios de 20-24 meses: 2,5mm en V-L y 2mm en M-D, 1° medios de 24-30 meses: 0,9mm en V-L y 0,7mm en M-D, 2° medios de 24-30 meses: 1,3mm en V-L y 1mm en M-D. No se hallaron extremos a estas edades. El mean de la superficie de los forámenes en mm² resultó: Pinzas de 12-18 meses: 3,4; de 20-24 meses: 1,9; de 24-30 meses: 0,5. 1°medios de 20-24 meses: 3,9; de 24-30 meses: 1. 2° medios de 24-30 meses: 1,6. **Conclusión:** El tamaño de los forámenes, medidos en ambas distancias (V-L y M-D) y superficie, muestran que al aumentar la edad de la oveja disminuye el tamaño del foramen apical, lo cual indicaría que las mejores edades para utilizar como modelo a este animal dependería del grupo dentario que se desea utilizar. Si se desea utilizar las pinzas la mejor edad es entre 12 y 24 meses, los 1° medios entre 20 y 24 meses, y los 2°medios entre 24 y 30meses, asumiendo que para utilizar los extremos deberían ser mayores de 30 meses.

FRECUENCIA DE DOBLE CONDUCTOS EN RAÍCES MESIALES DE PRIMEROS MOLARES SUPERIORES

Gani O., Visvisián C., de Caso C.
Departamento de Endodoncia. Facultad de Odontología. U. N. de Córdoba. Argentina.

La frecuencia de doble conductos en raíces mesiales (RM) de primeros molares superiores permanentes (1°MSP) es muy dispar, sin embargo muchos autores coinciden en que es cercana al 45%. **Objetivo:** Estudiar en estas raíces la influencia de la edad sobre el número de conductos en sus distintos niveles. **Método:** Se utilizaron 40 1°MSP distribuidos en 4 grupos etarios de 10 piezas cada uno: Niños [Ni] (<13 años); Adolescentes [Ad] (14/19 años); Adulto Joven [AJ] (30/40 años); Adulto Mayor [AM] (50/60 años). De cada RM se obtuvieron 4 cortes transversales; el primero a 2mm del ápice (Nivel proximidad foramen [PF]) y los demás (Niveles apical [NA], medio [NM], y coronario [NC]) ubicados equidistantemente hasta el cuello. Sobre imágenes de cada corte se determinó el número de conductos, expresando los resultados en porcentajes. **Resultados:** En los grupos Ni, AJ y AM, hubo una cierta similitud en cuanto al número de doble conductos dentro de cada nivel. A NC su frecuencia fue del 45%; disminuyó al 25% en el NM y aumentó al 50% en el NA, valor similar al del NC. En PF se redujo al 22%, valor éste cercano al del NM. El grupo Ad, por el contrario, mostró una distribución distinta y un tanto regular, ya que la elevada frecuencia (67%) de doble conductos detectado en el NC, decrecía paulatinamente hacia el ápice, donde su frecuencia fue del 36%. La presencia de un único conducto acintado y la persistencias de istmos, signos ambos de inmadurez de los conductos, como la calcificación de uno de ellos en cualquier nivel y grupo etario, como signo de madurez y envejecimiento, producen una distribución numérica inconstante, ya que con leves variantes se alterna entre niveles. Esta disposición de los doble conductos se debería a núcleos de calcificación que modifican la cavidad pulpar durante los procesos de maduración envejecimiento. **Conclusión:** La inmadurez, madurez y envejecimiento endodóntico en el 1°MSP, hace que en la RM el número de doble conductos sea inconstante, y a su vez, guarde cierto orden, ya que con leves variantes sus valores, que oscilan entre 50% y 22%, se alternan en sus cuatro niveles. La disposición ordenada y decreciente en adolescente se debe a la coincidencia de este grupo etario con la transición de la inmadurez a la madurez del conducto.

71

EVALUACIÓN HISTOLÓGICA CUALITATIVA DE LA RESPUESTA PULPAR AL DIAMINO FLUORURO DE PLATA EN ANIMALES EXPERIMENTALES: ESTUDIO PRELIMINAR

Rossi G*, Mandalunis PM, Squassi A

Cátedra de Odontología Preventiva y Comunitaria - Cátedra de Histología - Facultad de Odontología -

La utilización de solución de diamino fluoruro de plata ($F(NH_3)_2Ag$) como alternativa terapéutica orientada a la inhibición del proceso de caries ha adquirido mayor relevancia clínica. Sin embargo existe insuficiente evidencia respecto a la reacción de este tratamiento sobre el complejo dentino pulpar. **OBJETIVO:** Evaluar la respuesta pulpar a la exposición de una solución al 38% de $F(NH_3)_2Ag$ en cavidades dentinarias no expuestas. **MATERIALES Y METODOS:** Se realizó un estudio experimental in vivo sobre 12 ratas wistar macho (entre 290 a 350 g / 2 meses de vida). Los animales seleccionados fueron sometidos a anestesia profunda. La técnica fue estandarizada, en la fosa distal de la cara oclusal del primer molar inferior, realizando una cavidad amelodentinaria aproximadamente 0.5 mm de profundidad, con fresa de carburo $\frac{1}{4}$, a mediana velocidad en ambas hemiarquadas. Se aplicó la solución de $F(NH_3)_2Ag$ con cono de papel sobre el molar izquierdo, y como grupo control (sólo cavidad) el contralateral. Los animales se sacrificaron a los 7 días, se extrajeron los maxilares inferiores los cuales se fijaron en formol, se descalcificaron en EDTA y se procesaron histológicamente para la realización de cortes histológicos del primer molar inferior en sentido mesio distal. Los cortes fueron coloreados con hematoxilina-eosina y se realizó una evaluación histológica cualitativa de la pulpa dental en ambos grupos bajo microscopia óptica de campo claro. **RESULTADOS:** En el estudio histológico de los molares se observó: a) En el interior de los túbulos dentinarios de los molares tratados un precipitado de diamino fluoruro de plata. b) No se observaron cambios histológicos relevantes entre los molares tratados vs los molares no tratados. En ambos grupos la pulpa dental se observó bien organizada, con una importante vascularización y un leve infiltrado inflamatorio. En algunos molares tratados con diamino fluoruro de plata se observó un mayor espesor de predentina. **CONCLUSIÓN:** Este diseño experimental permite concluir que la aplicación de solución al 38% de $F(NH_3)_2Ag$ sobre cavidades no expuestas no altera en forma relevante la histología pulpar.

72

VALORACIÓN DE LAS FUERZAS GENERADAS POR LA INSTRUMENTACIÓN ENDODONTICA

Gioino G., Gani O.

Facultad de Odontología-U.N.C.-Argentina

La fricción y presión que producen los instrumentos durante la preparación quirúrgica de los conductos radiculares, generan fuerzas que son soportadas por la pared dentinaria y por el mismo instrumento.

Objetivo: Determinar la magnitud de las fuerzas producidas por distintos instrumentos de uso endodóntico sobre la superficie dentinaria, como así también, la influencia que en ello tienen la anatomía del conducto y la experiencia del operador.

Método: Se empleó un mecanismo de sensores específicos que conectaba la pieza dentaria extraída a un sistema computarizado que receptaba las fuerzas que el instrumento producía cuando era accionado. En la experiencia se utilizaron raíces vestibulares de primeros molares superiores y mesiales de primeros molares inferiores, distribuidos en los siguientes grupos según la edad de las piezas: Grupo I de 20/30 años, Grupo II de 40/50 años y Grupo III: > de 60 años. Los instrumentos utilizados fueron limas convencionales de acero inoxidable, limas flexibles y un sistema mecanizado. Se aplicaron movimientos de limado y rotación (compresión y rotación positiva y negativa). Los operadores actuantes fueron profesionales con y sin experiencia clínica. El análisis de los gráficos registrados, permitió comprobar que la presión producida por los instrumentos manuales mostraba un evidente incremento con la edad, tanto en las positivas como negativas, mientras que las generadas por el sistema mecanizado fueron constantes y muy similares en los tres grupos etarios, aunque hubo un marcado aumento en la presión cuando el movimiento era el de rotación.

Conclusión: Las fuerzas generadas por la instrumentación manual son muy irregulares y se incrementan con la edad, no sólo por la dureza dentinaria, sino también por causas anatómicas. Las de origen mecanizado, por el contrario, son más regulares y muy superiores a las que generan las técnica manuales, sobre todo las positivas provocadas por el movimiento rotativo. La inseguridad y la falta de práctica evidenciada en el profesional inexperto, destaca la necesidad de las prácticas pre-clínicas.

Gioino G., Gani O.
Facultad de Odontología -U.N.C.-Argentina.

Si bien se conocen aspectos generales de la dureza dentinaria, falta aún conocer aspectos que la vinculen con el trabajo de los instrumentos endodónticos.

Objetivo: Analizar la influencia que la edad tiene sobre la microdureza dentinaria en los sectores apical y medio de raíces dentales.

Métodos: Se utilizaron raíces distales (RD) de primeros molares inferiores y palatinas (RP) de primeros molares superiores, distribuidas en dos grupos etarios: Adultos Jóvenes [GAJ] (40/50 años) y Adultos Mayores [GAM] (>de 60 años). La dureza se midió sobre secciones transversales realizadas en dos niveles de las raíces: a 2mm del ápice [N1] y a 6mm [N2]. Sobre la dentina extendida entre el conducto y el cemento, se determinaron tres zonas: A: Interna; B: Intermedia y C: Externa. Se utilizó un microdurómetro con una carga de 100g.

Resultados: Mediante análisis comparativo (Test t student-ANOVA), en primer lugar se confrontaron entre sí los valores obtenidos en las tres zonas, comprobando que tanto en RD como en RP de ambos grupos etarios, la dureza aumentaba significativamente desde el conducto al cemento, tanto en N1 ($p < 0,0001$) como en N2 ($p < 0,00001$). Comparados en RD ambos niveles entre sí, se comprobó que en los dos grupos etarios la dureza era significativamente mayor ($p < 0,05$) en N2 que en N1. Por el contrario, en RP las diferencias sólo fueron significativas ($p < 0,05$) en el GAJ. Comparados los valores correspondientes al N1 entre ambas raíces, se comprobó que la dureza era significativamente mayor en RP ($p < 0,00001$). Por el contrario, las diferencias carecieron de significación ($p > 0,05$) cuando se compararon entre sí ambos N2.

Conclusión: a. El incremento que la edad produce en la dureza dentinaria en el sector apical y medio de las raíces estudiadas, no es constante ni uniforme. b. La dentina interna es siempre más blanda que la de las capas media y externa, y la del sector apical que la del sector medio de la raíz. c. La microdureza en raíces palatinas es mayor que en la raíz distal, pero sólo en el nivel apical.

Sarmento V; Barros IMOM, Prado LZX, Borges JCR, Lima AA, Pereira, LCG.
Centro Universtiário de Anápolis - UniEvangélica

OBJETIVO: Evaluar la influencia de diferentes operadores en la radiopacidad de cementos de ionómero de vidrio. **MÉTODO:** Con ayuda de una matriz de teflón, cilindros (5mm x 2mm) de los cementos de ionómero de vidrio Vidrion R (SSWhite), Maxxion R (FGM), Vitro Molar (DFL), Vitro Fill (DFL), Ketac Molar (3M/ESPE), Bioglass R (Biodinâmica), Magic Glass ART (Vigodent), RIVA (SDI), Vitro Fill LC (DFL) y Vitremer (3M/ESPE) fueron confeccionados por diferentes operadores (experto, clínico y estudiante) de acuerdo a las instrucciones de los fabricantes. Para insertar el material dentro de la matriz fue utilizada la técnica convencional, utilizando espátula de nylon y un instrumento manual para obturar, aplicándose enseguida presión digital. Los cilindros fueron colocados sobre una película radiográfica oclusal (Kodak) junto con un disco de diente y un penetrómetro de aluminio. Las radiografías fueron obtenidas a través de un equipo de rayos-X (Dabi Atlante) con 70kVp y 8mA. La distancia utilizada desde punto focal hasta la película radiográfica fue de 40cm y el tiempo de exposición fue de 0,4 segundos. Las radiografías fueron procesadas mecánicamente y analizadas en un densitómetro digital. Los datos fueron expresados en unidad de densidad óptica (UDO) y posteriormente fueron convertidos en milímetros de aluminio (mmAl). Posteriormente fueron sometidos a análisis de variancia (ANOVA) y teste de Tukey con nivel de significancia de 1%. **RESULTADOS:** Las medias de radiopacidad en (mmAl) fueron respectivamente para cada operador (experto, clínico y estudiante) Bioglass R (8,57; 7,79; 7,44), RIVA (8,53; 2,80; 3,36), Maxxion R (7,69; 8,09; 7,66), Vidrion R (5,80; 6,64; 6,90), Vitro Molar (5,04; 5,52; 5,73), Vitro Fill LC (4,88; 3,95; 4,17), Vitro Fill (3,59; 3,43; 3,60), Magic Glass ART (2,93; 4,13; 3,78), Ketac Molar (2,82; 6,14; 4,81), Vitremer (2,77; 3,94; 4,17). Solamente Ketac Molar y Riva fueron más sensibles a la manipulación de diferentes operadores ($p < 0,01$). Hubo diferencias entre los materiales y estructuras dentales ($p < 0,01$). **CONCLUSIONES:** Pueden ocurrir diferencias de radiopacidad en algunos cementos de ionómeros de vidrio cuando este es manipulado por diferentes operadores. Apoyo: FAPEG nº 200710267000181 y FUNADESP /PBIC-UniEvangélica 2010/11.

EVALUACIÓN DE LA SOLUBILIDAD Y ABSORCIÓN DE CEMENTOS DE IONÓMERO DE VIDRIO FRENTE A DIFERENTES TÉCNICAS DE INSERCIÓN

Alves LD*, Mendes FCM, Mendonça CBF, Santos PS, Lima AA, Pereira LCG.
Centro Universtiário de Anápolis - UniEvangélica

OBJETIVO: El objetivo de este estudio fue evaluar la solubilidad y absorción de diez cementos de ionómero de vidrio Vidrion R (SSWhite), Maxxion R (FGM), Vitro Molar (DFL), Vitro Fill (DFL), Ketac Molar (3M/ESPE), Bioglass R (Biodinâmica), Magic Glass ART (Vigodent), RIVA (SDI), Vitro Fill LC (DFL) y Vitremer (3M/ESPE), utilizando tres técnicas de inserción y almacenando los en agua destilada durante una semana.

MÉTODOS: Fueron confeccionadas veinte muestras de cemento de ionómero de vidrio (5 mm x 2 mm), utilizando la técnica de inserción con espátula (convencional), con seringa centrix y seringa de insulina. Después del período de cura inicial del material, las muestras fueron deshidratadas y pesadas en una balanza de precisión hasta alcanzar un peso estable (m1). En seguida fueron sumergidas en agua destilada durante una semana, a 37°C. Después de este período, las muestras fueron pesadas (m2) y sometidas al proceso de deshidratación para obtener así la masa final (m3). Para obtener los datos de absorción de cada muestra fueron utilizadas las masas después de sumergida en agua (m2), sustraída de la masa final (m3) y el resultado dividido por el volumen de la muestra. Los datos de solubilidad se obtuvieron por la diferencia de la masa inicial (m1) con la masa final (m3) dividido por el volumen. Todos los datos fueron sometidos a ANOVA y teste de Tukey, con nivel de significancia de 5%.

RESULTADOS: No hubo diferencias estadísticas entre las técnicas de inserción en lo teste de solubilidad ($p > 0,05$) salvo entre la técnica convencional del Vidrion R y la técnica con seringa de insulina del Vitro Fill LC ($p < 0,05$). En el teste de absorción no se observaron diferencias entre los materiales ($p > 0,05$).

CONCLUSIÓN: El modo de inserción puede influenciar la solubilidad de algunos de los ionómeros de vidrio, pero no esto no tiene influencia en la absorción.

Apoio: FAPEG 200710267000181 y FUNADESP/PBIC-UniEVANGÉLICA 2010.

ANÁLISIS DE DIFERENTES SISTEMAS ADHESIVOS SOBRE ESTRUCTURAS CERÁMICAS BASADAS EN DISILICATO DE LITIO Y CIRCONIO

Arias S*, Jordan S, Paz A, Abel V, Españañ C.
Facultad de Odontología UNLP

Objetivos: Visualizar el comportamiento de dos medios cementantes de diferente estructura en la fijación de cerámicas de disilicato de litio y circonio con la variable de un acondicionador.

Métodos: Cuatro grupos con diez especímenes cada uno fueron confeccionados.

Grupo 1: Sistema adhesivo Variolink II Ivoclar Vivadent (V2) sobre corona con casquete de disilicato de litio IPS e Max Press Ivoclar Vivadent (SL). Grupo 2: V2 sobre corona SL con silano Monobond S Ivoclar Vivadent. Grupo 3: V2 sobre corona de óxido de circonio Inceram Circonio Vita (C). Grupo 4: V2 con C con acondicionador para circonio Metal Circonia Primer Ivoclar Vivadent. Cada muñon fue tallado de acuerdo a los principios protéticos, luego impresionados con una silicona por adición. Realizadas las coronas por el laboratorio se cementaron de acuerdo a cada grupo. Las muestras fueron sumergidas en azul de metileno al 2% durante una semana y visualizadas con un scanner de alta resolución y microscopía electrónica de barrido a 200 aumentos de magnificación SEM marca Philips 505. Conjuntamente se visualizó mediante SEM la unión cemento dentina.

Resultados: Los sistemas acondicionadores mejoraron significativamente la unión del medio cementante a la cerámica infiltrada e inyectada. Con el agregado del un silano o un acondicionador para circonio no se formaron interfases a un aumento de 200X.

Conclusiones: Durante el cementado de coronas cuyas estructuras se basan en disilicato de litio u óxido de circonio es aconsejable tratar las superficies cerámicas con un acondicionador específico para cada cerámica en particular.

77

ESTUDIO DE LAS INTERFASES PRODUCIDAS ENTRE LOS POSTES DE FIBRA DE VIDRIO Y LA ESTRUCTURA DENTARIA MEDIANTE DIFERENTES MEDIOS DE CEMENTACIÓN

Arias S- Azzarri MJ- Jordán S
Escuela de Odontología Universidad Argentina J F Kennedy

La cementación de pernos de fibra de vidrio puede realizarse con diferentes materiales adhesivos, por lo tanto es necesario analizar el comportamiento de las posibles interfases y microfiltraciones producidas entre los materiales de fijación para postes de fibra de vidrio y la estructura dentinaria, una variable puede ser el uso o no de silanos.

Objetivo: Estudiar las posibles interfases producidas entre los postes de fibra de vidrio y la estructura dentaria en base a diferentes medios cementantes.

Metodos: En este trabajo recurrimos a dos experimentos: Visualización microscópica de las posibles interfases y la penetración de un colorante en la interfase del complejo dentina- medio de cementación – poste de fibra de vidrio.

Se conformaron seis grupos de diez y cinco muestras para cada experimento respectivamente. En todos los grupos se utilizaron piezas dentarias uniradiculares endodóticamente tratadas y desobturadas dejando un sellado apical de 5 mm. Luego del ensanchamiento se cementaron los postes según cada uno de los grupos siguiendo las indicaciones del fabricante.

Los materiales con los que trabajamos presentan algún tipo de adhesión a la estructura dentaria. Ellos fueron Cemento de Ionómero vítreo con resina (GC Fuji plus.GC) Cemento de resina (Variolink II.Ivoclar) con adhesivo dentinario (Syntac.Ivoclar) y Cemento autoacondicionante. (G-Cem.GC)

Los valores se obtuvieron con microscopia electrónica de barrido y penetración de un colorante en la interfase poste de fibra de vidrio- medio cementante. Resultados: Encontramos diferencias significativas entre los grupos analizados.

Conclusiones: El medio cementante que posibilita la menor interfase y microfiltración es la del cemento resinoso con adhesivo dentinario

78

TRABAJO PRELIMINAR SOBRE COMPARACIÓN ENTRE LA RELACIÓN QUE GUARDA EL PLANO DE OCLUSIÓN Y EL PLANO DE CAMPER EN PACIENTES DENTADOS Y DESDENTADOS TOTALES

Atala J^{1*}, Ocampo M¹, Rico R¹, Gimenez E²
FACULTAD DE ODONTOLOGIA DE LA UNC.

La determinación del plano de Camper tegumental es esencial para lograr el registro de la Dimensión Vertical en el desdentado total, siendo esta la única referencia anatómica existente, a diferencia del dentado que además posee el plano oclusal, generalmente paralelo al plano de Camper. Se verificó si el plano de Camper en los dentados se corresponde con la parte superior, media o inferior del Tragus. Es significativo observar este plano en el desdentado total y su correspondencia, según la altura del hueso basal, con una orientación paralela al plano de oclusión protésico lo cual nos da una respuesta sumamente favorable en lo que respecta a retención activa de las prótesis completas como así también a la distribución de cargas transmitidas al terreno. Al momento todavía se discute que parte del Tragus debe ser considerada más adecuada para su registro referencial.

Método: Se trabajó con veinte pacientes, de ambos sexos, dentados totales, clase I de Angle, entre 20 y 25 años, sanos, sin enfermedad periodontal, la boca estabilizada con restauraciones por caries y sin rehabilitación protésica. El método empleado para el estudio fue observacional y analítico. A cada sujeto se le tomaron radiografías laterales (telerradiografías) de cráneo, con referencias testigos en el tragus, localizadas en el sector superior, medio e inferior, las cuales fueron digitalizadas y mediante el programa morfométrico Image Pro Plus se determinó el paralelismo con el plano de oclusión: considerado desde punto incisivo a cúspide distovestibular de primer molar inferior, en base al trazado de líneas que unen la espina nasal anterior a los testigos, a estas se le trazó una perpendicular desde el plano de oclusión, que formó un ángulo, lo que indica cual de los tres trazados determinó el paralelismo. A los resultados se evaluarán estadísticamente a través de varianza ANOVA.

Resultados: Las mediciones de los ángulos arrojaron un 60 % de paralelismo del plano de oclusión con el trazado a la referencia inferior localizada en el Tragus. **Conclusión:** De acuerdo a lo establecido en el presente estudio se pudo determinar cual de los tres puntos mencionados en el tragus se debe registrar el plano de Camper en el desdentado total y así orientar el plano de oclusión protésico.

REMINERALIZACIÓN DEL ESMALTE DENTAL DESMINERALIZADO ARTIFICIALMENTE

Cano V*, Edelberg M, Gianna V
Facultad de Odontología. Universidad Nacional de Cuyo.

Durante años se creyó que la caries era sinónimo de cavidad. Actualmente, se considera que la “enfermedad caries dental” representa un desequilibrio constante en la cavidad bucal generado por la acción conjunta de múltiples factores etiológicos. Este desequilibrio puede ser detenido o revertido biológica o terapéuticamente.

OBJETIVO: El objetivo de este estudio fue evaluar de forma cuantitativa, a través de la ganancia en peso, el grado y capacidad remineralizante de cuatro productos diferentes: barniz fluorado, leche con alto contenido de caseína y calcio, fosfopéptidos de caseína (PPC) / fosfato de calcio amorfo (ACP) y la combinación de una solución de fluoruro de sodio de pH ácido y la aplicación posterior de PPC / ACP en lesiones de manchas blancas producidas artificialmente.

MÉTODOS: Se seleccionaron 55 dientes humanos extraídos sanos, se seccionaron en bloques y se obtuvieron las muestras (n=140) las cuales fueron sometidas a un proceso de desmineralización en una superficie estandarizada. Se distribuyeron en 5 grupos, 4 de ellos sometidos a los distintos tratamientos y un grupo control mantenido en saliva artificial. Se determinó el peso de las mismas antes y después de la desmineralización y una vez finalizados los tratamientos remineralizantes.

RESULTADOS: Los resultados fueron evaluados estadísticamente mediante ANOVA lo que determinó que los valores promedio son diferentes ($F = 2,925E+01$).

Todos los tratamientos aplicados producen incremento de peso, siendo el barniz fluorado el que lo hace en mayor magnitud, seguido por el tratamiento con PPC/ACP. En tercer lugar el tratamiento combinado de solución tópica de fluoruro de sodio y fosfato acidulado y PPC/ACP. El tratamiento con leche de alto contenido en caseína y calcio fue el que produjo menor incremento.

CONCLUSIONES: Si bien en las condiciones experimentales de este estudio in vitro todos los tratamientos aplicados han generado una respuesta positiva, la leche de alto contenido en caseína y calcio produjo el menor incremento de peso, siendo este aumento superior al grupo control.

REHABILITACIÓN DE DIENTES TRATADOS ENDODONTICAMENTE CON PERNOS COLADOS Y CORONAS METALO CERÁMICAS

Isla C., *Correa D., Goubat A., Bustos S., Lopez Sivilat F., Di Baja F., Panero M., Simonian M., Fil
Facultad de Odontología. UNC.

El éxito de las rehabilitaciones coronarias esta asociado a una buena adaptación marginal de las coronas y la longitud del perno colado intra-radicular. Una correcta adaptación evitaría problemas de caries secundarias y daños de los tejidos periodontales. Además una longitud adecuada del perno intraradicular determina la retención del mismo, evitando la posibilidad de que se produzcan fracturas. **Objetivo:** Evaluación radiográfica de la adaptación de coronas metalo- cerámicas y longitud del perno en diferentes grupos de dientes tratados endodónticamente. **Métodos:** Se evaluaron 203 radiografías peri-apicales de diferentes grupos dentarios superiores e inferiores con perno y coronas, seleccionados aleatoria mente, realizados por odontólogos de diferentes consultorios odontológicos, en el año 2009. La observación se hizo con negatoscopio y lupa. Se aplicaron criterios de inclusión tales como radiografías de elementos dentarios endodonciados rehabilitados con perno y corona metalo-cerámica y como criterios de exclusión rehabilitaciones coronarias fija sin pernos. Se construyeron dos variables binarias: *adaptación* (buena/mala) y *longitud de los pernos* (aceptable/no aceptable). **Resultados:** De las 203 radiografías dentales, 63 eran incisivos centrales, 39 incisivos laterales, 3 caninos, 15 primeros premolares, 24 segundos premolares, 37 primeros molares y 22 segundo molares. Del total de la muestra el 56,7 % presentó una buena adaptación y el 43,3 % mala adaptación de la corona. El 51,7% tenía pernos aceptables y los 48,3% no aceptables. Solamente se observaron relacionadas las variantes de adaptación buena y longitud aceptable en un 29% denominando a este grupo con el nombre de éxito. Se observaron asociaciones significativas entre las variables longitud y adaptación con el éxito de la rehabilitación (Chi-Cuadrado, $p < 0,0001$) estratificado por sexo (Cochran-Mantel-Haenszel, $p < 0,0001$). Además se observó que existe un 41,06 % de chance de éxito cuando la adaptación era buena. **Conclusión:** La muestra estudiada presenta un alto porcentaje de desadaptación corona-diente y pernos de longitud no aceptables, siendo estas dos cualidades de gran relevancia para el éxito de la rehabilitación.

81

LIBERACIÓN DE CLORHEXIDINA DESDE SUSTRATOS DE TI-POLIACRILATO EN CULTIVOS DE OSTEOBLASTOS: INFLUENCIA DE LA CONCENTRACIÓN DE CLORHEXIDINA SOBRE LA ACTIVIDAD CELULAR

Cortizo MC*, Oberti TG, Cortizo MS, Fernández Lorenzo M, Cortizo AM. INIFTA, Facultad de Odontología, Facultad de Ciencias Exactas, Facultad de Ingeniería, Cátedra de Bioquímica Patológica

Los implantes dentales de Titanio (Ti) son susceptibles a la contaminación por biopelículas bacterianas. Las películas de poliacrilatos de bencilo (PAB) conteniendo clorhexidina (CLH) han demostrado ser eficaces para reducir la adherencia microbiana, aunque se desconoce su biocompatibilidad. **OBJETIVO:** Evaluar el efecto de la presencia de Ti, Ti-PAB y Ti-PAB-CLH con distintas concentraciones de CLH sobre la actividad celular de un cultivo de osteoblastos. **MATERIALES Y MÉTODOS:** Se usaron muestras de Ti grado 1 y muestras Ti-PAB y Ti-PAB-CLH preparadas por *casting* de cloroformo. Se emplearon sustratos de Ti-PAB-CLH con concentraciones de CLH de 0,35, 0,7 y 1,4 % p/p como agente antimicrobiano. Los sustratos estériles se depositaron dentro de pocillos de cultivo de 5 cm² (*wells*). Se plaquearon células osteoblásticas de la línea UMR 106 que se cultivaron por 24h. Las células adheridas a los sustratos se evaluaron por fluorescencia directa (tinción naranja de acridina). Las células remanentes adheridas al *well* de cultivo se tiñeron con Giemsa y se evaluó su número, morfología celular y actividad de fosfatasa alcalina, un marcador de diferenciación osteoblástica. **RESULTADOS:** Las células sobre el *well* cultivadas en presencia de 0,7 y 1,4 % de Ti-PAB-CLH mostraron alteración de la morfología celular normal (encogidas, picnóticas, con pérdida de extensiones citoplasmáticas) compatible con efectos citotóxicos. Se detectó un importante número de células muertas por apoptosis/necrosis en los cultivos crecidos sobre los sustratos con altas concentraciones de CLH, así como una marcada disminución de la actividad de la fosfatasa alcalina en los extractos de las células crecidas sobre los wells. No se encontraron diferencias significativas entre los cultivos realizados con Ti, Ti-PAB y Ti-PAB-CLH en sus concentraciones más bajas. En cambio, se observaron diferencias significativas entre el control y el Ti-PAB-CLH con la mayor concentración (1,4%). **CONCLUSIONES:** La utilización de la línea Celular UMR 106 demostró ser un método conveniente, por su sensibilidad y reproducibilidad para evaluar la biocompatibilidad/citotoxicidad de los biomateriales utilizados. En presencia de los sustratos Ti-PAB-CLH con la mayor concentración de CLH, (1,4%), se observó una importante disminución de la actividad celular.

82

EVALUACIÓN IN VITRO DE LA FILTRACIÓN CORONARIA EMPLEANDO DOS MATERIALES DE OBTURACIÓN PROVISORIA

*CHEEIN E, ERIMBAUE M, GALVÁN L, HERO F, BULACIO MA
Facultad de Odontología. Universidad Nacional de Tucumán

La filtración coronaria es un factor crítico en el éxito o fracaso de la terapia endodóntica. La obturación de la cavidad de acceso previene la contaminación del conducto radicular y la disolución de la medicación tópica colocada en su interior. **Objetivo:** el objetivo de este trabajo fue comparar la filtración coronaria en cavidades de acceso irrigadas con soluciones empleadas solas y combinadas, obturadas con ionómero vítreo con y sin acondicionamiento de la dentina y con guta plástica secando o lavando y secando las cavidades. **Método:** Se emplearon 138 molares, se realizaron las cavidades de acceso y se estandarizó la profundidad en 4 mm. Se irrigaron con NaOCl 2%, EDTA 17% y CHX 2% y sus combinaciones durante 10 minutos. Luego se obturaron con ionómero vítreo (Riva, SDI, Australia) procediendo de dos maneras: en la mitad de las piezas se secaron las cavidades y en la otra mitad, se acondicionaron con ácido poliacrílico. Otro grupo fue obturado con guta plástica (Provis. Favodent, Germany), la mitad de las piezas se secaron y el resto se lavaron y secaron. Las superficies se cubrieron con esmalte de uñas, dejando libre las cavidades. Posteriormente se realizó el termociclado (300 ciclos) a 5°C y 55°C, sumergiendo las piezas dentarias en baños de Fucsina básica (Britania, Argentina). Se cortaron las coronas con dirección vestíbulo palatina en el centro de las cavidades de acceso con discos de diamante N° 7028 (Sorensen. KG, Brasil). Se observaron en lupa binocular Olympus SZ 400 (Japón) y se midió la penetración del colorante a 1,5X de aumento. Los datos fueron analizados estadísticamente. **Resultados:** La filtración coronaria fue significativamente menor al emplear guta plástica test t ($p < 0.0001$). Al comparar la filtración del ionómero con y sin acondicionamiento de superficie, hubo menor filtración cuando se trató la dentina Test Mann-Whitney ($p < 0.0001$). Al comparar la filtración cuando se empleó guta plástica en cavidades secadas, y lavadas y secadas no se observó diferencias significativas Test Mann-Whitney ($p = 0.075$). **Conclusión:** La menor filtración se observó al emplear guta plástica. Dentro del grupo obturado con ionómero vítreo, la filtración fue menor al acondicionar la dentina. *Parcialmente subsidiado por el CIUNT.*

TERAPIA PULPAR VITAL CON MTA (PROROOT) EN DIENTES PERMANENTES JÓVENES

Ferreira S, Doliani M, *Díaz S
FUNDECO

Preservar y mantener la vitalidad pulpar es el principal objetivo en dientes jóvenes que no han completado su desarrollo radicular. Las lesiones cariosas desafían la integridad del diente en desarrollo. Cuando la pulpa es expuesta, procedimientos terapéuticos tales como protección pulpar directa (PPD), pulpotomía parcial (PP) o pulpotomía (P) pueden ser realizados con el objetivo de preservar la vitalidad del tejido pulpar permitiendo que ocurra la apexogénesis y la erupción completa de los elementos dentarios. El material de elección para estos tratamientos ha sido el Ca (OH)₂, pero recientemente un material llamado MTA ha demostrado la habilidad de inducir y conducir a la formación de tejido duro en el tejido pulpar.

OBJETIVO: Evaluar los resultados clínicos y radiográficos de tratamientos de terapia pulpar vital en función del tiempo, utilizando MTA y tecnología adhesiva.

MÉTODOS: 63 1° molares permanentes Sup e Inf de 50 pacientes, de 6 a 16 años, de ambos sexos. Anamnesis, exámen clínico y Rx, lesiones de caries profundas y exposición pulpar por caries, con diagnóstico de pulpa aparentemente sana, hipersensitiva o pulpitis reversible. Se anestesió, eliminó caries y al exponer la pulpa se irrigó con hipoclorito de Na al 6%. Según diagnóstico se realizó P/P/D, o P/P o P con MTA, oburación posterior con Ionómero Vítreo y Composite. Controles clínicos y Rx se realizaron a 1,3,6 y 12 meses.

RESULTADOS: Los datos registrados de las evaluaciones clínicas y Rx fueron sometidos al análisis estadístico Prueba Exacta de Fisher. Nosotros tuvimos 54 casos curados, 6 casos curando y 3 casos con enfermedad persistente. Porcentaje de éxito del 73 al 93 %, con un intervalo de confianza del 95%.

CONCLUSIÓN: Pro-root MTA es una alternativa viable para la terapia de pulpa vital. Más estudios clínicos se requirieron para comparar con nuestros resultados.

INFLUENCIA DE DIFERENTES TÉCNICAS DE INSERCIÓN EN LA RADIOPACIDAD DE CEMENTOS DE IONÓMERO DE VIDRIO

*Prado LZX, Barros IMOM, Borges JCR, Sarmiento V, Lima AA, Pereira, LCG.
Centro Universtiário de Anápolis - UniEvangélica

OBJETIVO: El objetivo de este trabajo fue evaluar la radiopacidad de diez cementos de ionómero de vidrio en tres diferentes técnicas de inserción. **MÉTODO:** Fueron confeccionados cinco cilindros (5mm x 2mm) de cada cemento de ionómero de vidrio Vidrion R (SSWhite), Maxxion R (FGM), Vitro Molar (DFL), Vitro Fill (DFL), Ketac Molar (3M/ESPE), Bioglass R (Biodinâmica), Magic Glass ART (Vigodent), RIVA (SDI), Vitro Fill LC (DFL) y Vitremer (3M/ESPE) confeccionadas por medio de una matriz de teflón con la técnica convencional, jeringa Centrix (3M/ESPE) y jeringa de insulina. Los cilindros fueron colocados sobre una película radiográfica oclusal (Kodak) junto con un disco de diente y un penetrómetro de aluminio. Las radiografías fueron obtenidas através de un equipo de rayos-X (Dabi Atlante) con 70kVp y 8 mA. La distancia utilizada desde punto focal hasta la película radiografica fue de 40 cm y el tiempo de exposición fue de 0,4 segundos según la ISO 4049. Las radiografías fueron procesadas mecánicamente (Perio Pro III X-ray processor). El análisis de las imágenes obtenidas fue realizado através de un densitómetro digital (MRA-Brasil) y los valores fueron expresados en unidad de densidad óptica (UDO) y posteriormente fueron convertidos en milímetros de aluminio (mmAl). Los datos fueron sometidos a análisis de variancia (ANOVA) y teste de Tukey con nivel de significancia de 1%. **RESULTADOS:** Las medias de radiopacidad en mmAl fueron respectivamente para las técnicas (convencional, centrix y insulina) Bioglass R (8,57; 8,15; 2,99), RIVA (8,53; 2,74; 2,76), Maxxion R (7,69; 7,55; 7,52), Vidrion R (5,80; 5,69; 5,94), Vitro Molar (5,04; 5,33; 4,8), Vitro Fill LC (4,88; 4,82; 4,21), Vitro Fill (3,59; 3,54; 3,34), Magic Glass ART (2,93; 2,88; 3,40), Ketac Molar (2,82; 3,23; 3,79), Vitremer (2,77; 2,89; 2,73), esmalte (6,09; 6,13; 6,03) y dentina (4,33; 4,14; 4,38). Solamente Bioglass y Riva fueron más sensibles a las distintas formas de inserción del material en la matriz de teflon ($p < 0,01$). Hubo diferencias entre los materiales y estructuras dentales ($p < 0,01$). **CONCLUSIONES:** Hay diferencias de radiopacidad entre los cementos de ionómero de vidrio testados y entre estos y las estructuras dentales. Diferentes técnicas de inserción pueden influenciar en la radiopacidad del ionómero de vidrio Apoyo: FAPEG n° 200710267000181 y FUNADESP /PBIC-UniEvangélica 2010/11.

85**CEMENTADO DE POSTES DE FIBRA DE VIDRIO
CON SISTEMAS AUTOACONDICIONANTES**Españon C*, Arias S, Jordán S, Paz A, Abel V.
Facultad de Odontología UNLP

El advenimiento de los sistemas autoacondicionantes simplificaron las técnicas operatorias. Los cementos resinosos pueden presentar en su interior un sistema adhesivos basado en ácidos débiles o bien utilizar un adhesivo dentinario como complemento para el cementado.

Objetivos. Determinar el grado de filtración de un colorante en el cementado de postes de fibra de vidrio utilizando dos sistemas de fijación autoacondicionantes.

Materiales y métodos. Se confeccionaron dos grupos con 14 muestras para cada uno. Grupo 1. Adhesivo autoacondicionantes (Adhese) + cemento resinoso (Variolink 2) + poste de fibra de vidrio. Grupo 2. Cemento resinoso autoacondicionante (Gcem)+ poste de fibra de vidrio.

Cementados los pernos en piezas uniradiculares se sumergieron en azul de metileno al 2% durante una semana. Se realizaron dos cortes, a nivel cervical y medio de la raíz y se valoró la penetración del colorante. Las muestras fueron visualizadas microscópicamente para determinar una relación con las interfases producidas.

Conclusiones: En el cementado de postes de fibra de vidrio se observó menor presentación del colorante si el sistema autoacondicionantes estaba en el adhesivo (Adhese) y no en el cemento (Gcem). Si lo que se analiza es solo el sistema adhesivo es aconsejable el usos de adhesivos dentinario autoacondicionantes junto a un cemento resinoso convencional que utilizar los denominados cementos resinosos autoacondicionantes.

86**MODELO EXPERIMENTAL EN RATAS DE DOS SUSTITUTOS ÓSEOS:
SINTÉTICO Y LIOFILIZADO HUMANO. PRUEBA PILOTO**Aguirre L, *Finten S, Vallejos A., Fernández V.
Facultad de Odontología

OBJETIVOS: Comparar la respuesta tisular local de sustitutos óseos, sintético y hueso liofilizado humano y determinar sus efectos para la regeneración ósea. **MÉTODOS:** Se utilizaron 12 Ratas Wistar, machos (200 g) (Bioterio F.V.UNNE) según normas ANMAT 5330/97 y GLP. Fueron anestesiadas por inyección intraperitoneal de solución de Ketamina y xylazina según relación volumen/peso. Se rasuro y desinfecto el sitio quirúrgico, se incidió hasta el hueso exponiéndolo mediante disección roma. Se perforo en la superficie anteromedial central de tibias derecha e izquierda, con fresa quirúrgica redonda de 2 mm de diámetro en contraángulo reductor 20/1 Anthogyr Implant 30. El HDPb e Ostium (hueso liofilizado humano) fueron manipulados según instrucciones del fabricante y colocados uno en cada cavidad. Los animales se rotularon: grupo a (control); grupo b (injerto - HDPb) y grupo c (injerto - Ostium) Se suturó con agujas atraumáticas e hilos reabsorbibles. Fueron sacrificados mediante inhalación de éter a los 30 y 60 días de la cirugía. Las tibias fueron aisladas y fijadas en una solución de formalina amortiguada al 19 % durante una semana. Las muestras procesadas (Laboratorio de Anatomía Patológica "Dr. Walter A. Alsina" - Cátedra de Anatomía Patológica F.O U.N.N.E.), se colorearon con H / E se evaluaron con MO a 40X, 100X y 400X. **RESULTADOS:** De las 12 tibias de 30 días de evolución post quirúrgica, se descartaron 5 por defectos de técnica quirúrgica. Se consideraron 7 preparados histológicos: 2 con Ostium (hueso liofilizado humano), 3 con HDPb (Hidroxiapatita Bovina) y 2 del grupo Control. El Índice Proliferación Osteoblástico se evaluó por el grado de crecimiento. Grado I: 33%: ausencia o leve proliferación de células osteoblásticas en pequeñas trabéculas. Proliferación fibroblástica y osteoide. Grado II: 33 a 66 % mayor incremento de proliferación osteoblástica, con trabéculas óseas. Disminución del osteoide y menor proliferación fibroblástica. Grado III: > al 66% proliferación de trabéculas óseas y hueso compacto. Escasa proliferación fibroblástica y ausencia de material osteoide. **CONCLUSIÓN:** Hasta el momento se observo una pequeña preponderancia de la HDPb sobre el Ostium (hueso liofilizado) y el grupo control con respecto a la neoformación de tejido óseo a los 30 días.

87**EFFECTO DE LA CONCENTRACIÓN DEL PERÓXIDO DE HIDROGENO Y LA FUENTE DE ACTIVACIÓN EN EL CLAREAMIENTO DENTAL**

Neves RG*, Vieira ACG, Neves RG, Ribeiro LCS, Teixeira GM, Pereira, LCG
Centro Universtiário de Anápolis - UniEvangélica

OBJETIVO: Evaluar la influencia de la concentración del agente clareador y de la fuente de activación en el clareamiento dental.

MÉTODOS: cuarenta y ocho fragmentos dentales fueron manchados con té negro y divididos aleatoriamente en grupos de doce. Para obtener la lectura del color inicial (L0), los fragmentos fueron fotografiados de forma estandarizada después de la tinción. Las imágenes digitalizadas fueron analizadas por el método digital indirecto con el programa Adobe Photoshop CS2. Veinticuatro fragmentos fueron sometidos a clareamiento con Lase Peroxide Senzy II (DMC), a base de peróxido de hidrogeno a 25%, y los demás, con Whiteness HP Blue (FGM), a base de peróxido de hidrogeno a 20%. Doce fragmentos de cada grupo tuvieron el material clareador activado por LED. Después de cada sesión de clareamiento, los fragmentos fueron sometidos a análisis, como fue mencionado anteriormente, para obtener la medida del color (L1, L2 e L3) en 256 grados de grises (GC), donde cuanto mayor el valor numérico, más clara es la muestra. Las diferencias presentadas en el color de los fragmentos, durante tres sesiones, frente a la presencia o no de la fuente de activación fueron analizadas estadísticamente por el método de análisis de variancia (ANOVA) y teste de Tukey con nivel de significancia de 5%.

RESULTADOS: Fueron observadas diferencias estadísticamente significantes en GC entre las lecturas de las tres sesiones y este varía de acuerdo con el producto ($p < 0,05$). Todos los productos testados clarearon los fragmentos ($p > 0,05$).

CONCLUSIÓN: La utilización de la fuente de luz para activar el agente clareador y las diferentes concentraciones de peróxido de hidrogeno no influyeron en el grado de clareamiento.

Apoio: PIBIC CNPq 117014/2009-5.

88**CALIBRACIÓN DE DOS OBSERVADORES PARA EVALUAR RESTAURACIONES EN UNA INVESTIGACIÓN CLÍNICA. APLICACIÓN DEL ÍNDICE DE CONCORDANCIA DE KAPPA**

Ruiz Díaz de Centeno, E; *Hidalgo, JC; Quiroz, M; Juarez, R
FOUNNE

OBJETIVO: El propósito del presente trabajo fue establecer el grado de concordancia entre dos observadores, utilizando el Índice de Concordancia de Kappa. Los observadores evaluarán restauraciones en un estudio prospectivo de cohortes, de tipo clínico, teniendo en cuenta los lineamientos de la odontología basada en evidencias.

MÉTODOS: La calibración se realizó mediante la observación individual de dos examinadores. Se utilizaron 18 troqueles con restauraciones de resinas compuestas. Los parámetros evaluados en las restauraciones fueron el color, la adaptación marginal, la forma anatómica y la textura superficial. Se calificaron como Alfa, Bravo y Charlie respectivamente, de acuerdo a los criterios clínicos generales Ryge/USPHS, para las restauraciones que se encontraron en estado óptimo, aceptables y para las que requirieron reemplazo.

RESULTADOS: Los resultados se cruzaron y se obtuvieron los pares de frecuencia para cada categoría. Del análisis resultó los distintos grados de acuerdo.

CONCLUSIÓN: Muy utilizado en medicina, poco difundido en odontología, la utilización del Índice de Concordancia de Kappa es un buen recurso para obtener confiabilidad, consistencia y validez en los resultados de una investigación clínica.

89**INTERFACE DE UNIÓN A LAS PAREDES DE PREPARACIONES POR FISUROTOMÍA DE RESINAS FLÚIDAS Y DE UN CEMENTO DE IONÓMERO DE VIDRIO FOTOPOLIMERIZABLE**

Spadillero de Lutri M, Lutri P*, Rozas C, Sezin M, Priotto E, Uribe Echevarría J. Cátedras de Operación y de Operatoria I y II. Departamento de Rehabilitación Bucal. UNC

OBJETIVO: Determinar la existencia de la interfase de unión en la pared pulpar y paredes laterales de fisurotomías oclusales. **MÉTODO:** Se tallaron 12 fisurotomías oclusales con piedras diamantadas puntiformes con alta velocidad (Grupo A) y 12 fisurotomías oclusales con aire abrasivo (Grupo B). Los dientes con las preparaciones fueron subdivididos en 8 grupos de 3 elementos dentarios c/u según el material de obturación a emplear: Grupo A1 Vertise Flow; Grupo A2 GC Fuji Lining LC Paste-Pak; Grupo A3 Grandio Flow + Futurabond NR; Grupo A4 Filtek Z350 Flowable + Futurabond NR; Grupo B1 Vertise Flow; Grupo B2 GC Fuji Lining LC Paste-Pak; Grupo B3 Grandio Flow + Futurabond NR; Grupo B4 Filtek Z350 Flowable + Futurabond NR. Para la aplicación del agente adhesivo se siguieron las indicaciones del fabricante. Las resinas fluidas fueron aplicadas por técnica incremental, en 2 capas horizontales de 1mm y fotopolimerizadas por 20 segundos con una unidad de fotocurado LED y conservadas en atmósfera de 100% de humedad. Los dientes fueron cortados en sentido buco-lingual con Isomet 1000 a 500rpm con una presión de 50g y refrigeración hidroalcohólica. Los cortes fueron pulidos con discos de granulometría decreciente hasta obtener espesores de 200µm. Luego se sumergieron en Rhodamina B al 1.00% y fueron procesados con Confocal Laser Scanning Microscope (Zeiss 5 Olympus). Los valores obtenidos fueron sometidos a análisis de varianza (ANOVA) y a test de Bonferroni con programa estadístico SPSS 11.5 de Windows. **RESULTADOS:** a) La adaptación fue Fuji Lining LC > Vertise Flow > Futurabond+Grandio Flow > Futurabond+Filtek Flow, no siendo los resultados estadísticamente significativos, b) Las tendencias marcaron una mayor adaptación de los materiales a las fisurotomías efectuadas con aire abrasivo que con ultra alta velocidad, pero los guarismos no registraron diferencias significativas. c) Los cementos de ionómeros y las resinas fluidas autoacondicionantes fueron los materiales que registraron mayor adaptación a las paredes cavitarias de las fisurotomías. **CONCLUSION:** Bajo las condiciones del presente trabajo, no se observaron diferencias entre los materiales empleados ni con aire abrasivo ni con alta velocidad

90**INTERFASE DE UNIÓN A LAS PAREDES CAVITARIAS DE PREPARACIONES OCLUSALES DE CEMENTOS DE IONÓMEROS VÍTREOS FOTOPOLIMERIZABLES CON DIFERENTE ACTIVACIÓN DEL SUSTRATO**

Sezin M, Piconi C, Lutri P*, Monserrat N, Spadillero de Lutri M, Uribe Echevarría J. Operatoria I y II. Departamento de Rehabilitación Bucal. UNC

OBJETIVO: Analizar la unión de cementos de ionómeros vítreos para obturación fotopolimerizables a la dentina profunda en preparaciones cavitarias oclusales. **MÉTODO:** Se tallaron 27 preparaciones cavitarias oclusales simples con piedras cilíndricas a ultra-alta velocidad. Las cavidades se dividieron en 3 grupos de 9 cavidades c/u, según el cemento de ionómero vítreo a emplear y se subdividieron en subgrupos de 3 elementos según el tratamiento del sustrato dentinario: Grupo A1 Kavitan LC, con smear layer; Grupo A2 Kavitan LC+hipoclorito de sodio al Grupo A3 Kavitan LC+ácido poliacrílico; Grupo B1 Densell MP foto con smear layer; Grupo B2 Densell MP foto+hipoclorito de sodio; Grupo B3 Densell MP foto+ácido poliacrílico; Grupo C1 Fuji II LC, con smear layer; Grupo C2 Fuji II LC+hipoclorito de sodio; Grupo C3 Fuji II LC+ácido poliacrílico. Los dientes fueron obturados siguiendo las indicaciones de los fabricantes, fotopolimerizados 20 segundos con una unidad de fotocurado LED y conservados en atmósfera de 100% de humedad por 72 horas. Luego fueron cortados en sentido buco-lingual con Isomet 1000 a 500rpm y pulidos con discos de granulometría decreciente. Los cortes fueron sumergidos en Rhodamina B al 1.00% y procesados con Confocal Laser Scanning Microscope (Zeiss 5 Olympus). Los resultados fueron sometidos a análisis estadístico de varianza (ANOVA) y a test de Bonferroni. **RESULTADOS:** a) las uniones interfásicas material-pared cavitaria fueron mayores con hipoclorito de sodio, intermedia con ácido poliacrílico y menor cuando la superficie presentaba smear layer, con diferencias significativas. b) En la variable materiales la adaptación fue: Fuji II LC > Kavitan LC > Densell MP foto, sin significación estadística. c) En la variable pared cavitaria, la mayor unión se registró en paredes laterales respecto de las pulpares, con diferencias estadísticas. d) Todos los sistemas mostraron la presencia de poros con capa inhibida en ellos y en la superficie. **CONCLUSIONES:** Cuando se emplean CIVs fotopolimerizables el tratamiento del sustrato mejora la unión de los materiales, siendo las paredes pulpares las más críticas para lograr una adecuada interface de unión

INTERFACE DE UNIÓN A LAS PAREDES DE PREPARACIONES OCLUSALES DE CEMENTOS DE IONÓMEROS DE VIDRIO CONVENCIONALES PARA OBTURACIÓN

Sezin M, Mirotti G*, Rozas C, Kraemer E, Spadilero de Lutri M, Uribe Echevarría J. Operatoria I y II. Departamento de Rehabilitación Bucal. UNC

OBJETIVO: Determinar las características de unión entre dentina profunda y cementos de ionómeros de vidrio convencionales para obturación, con diferentes tratamientos del sustrato. **MÉTODO:** Se emplearon 36 terceros molares inferiores donde se tallaron preparaciones cavitarias oclusales simples con piedras diamantadas cilíndricas a ultra-alta velocidad. Las cavidades se dividieron en 4 grupos, según el material de obturación y subdividieron en 3 subgrupos según el tratamiento efectuado en el sustrato dentinario, determinando: Grupo A1 Ketac Molar Easy Mix con smear layer; Grupo A2 Ketac Molar Easy Mix+hipoclorito de sodio; Grupo A3 Ketac Molar Easy Mix+ácido poliacrílico; Grupo B1 GC GOLD LABEL 9 con smear layer; Grupo B2 GC GOLD LABEL 9+hipoclorito de sodio; Grupo B3 GC GOLD LABEL 9+ácido poliacrílico; Grupo C1 GC GOLD LABEL 2 con smear layer; Grupo C2 GC GOLD LABEL 2 +hipoclorito de sodio; Grupo C3 GC GOLD LABEL 2+ácido poliacrílico; Grupo D1 Ionofil Molar con smear layer; Grupo D2 Ionofil Molar+hipoclorito de sodio; Grupo D3 Ionofil Molar+ácido poliacrílico. Los cementos fueron preparados según las indicaciones de los fabricantes y mantenidos en atmósfera al 100% de humedad por 72 horas. Los dientes fueron cortados en sentido buco-lingual con Isomet 1000, pulidos con discos de granulometría decreciente, sumergidos en Rhodamina B al 1.00% y procesados con Confocal Laser Scanning Microscope (Zeiss 5 Olympus). Se realizó análisis estadístico de varianza (ANOVA) y a test de Bonferroni. **RESULTADOS:** a) La interface de unión fue mayor cuando se utilizó hipoclorito, intermedia con ác. poliacrílico y menor en las superficies con smear layer sin tratar siendo los resultados estadísticamente significativos. b) La adaptación de los materiales fue GC GOLD LABEL 2 > GC GOLD LABEL 9 > Ketac Molar Easy Mix > Ionofil Molar sin diferencias significativas. c) La presencia de smear layer interfiere la unión interfásica de los cementos a las paredes cavitarias siendo los resultados estadísticamente significativos, respecto de hipoclorito y de ácido poliacrílico. **CONCLUSIÓN:** Según las condiciones del presente trabajo, el comportamiento de los materiales mejoró cuando se procesó el smear layer con hipoclorito de sodio al 5.25% y con ac. poliacrílico al 20%.

ANÁLISIS DE LAS DESCALCIFICACIONES Y REMINERALIZACIONES ADAMANTINAS DURANTE LOS TRATAMIENTOS ORTODONCÍCOS

Paz A*, Arias S, Raguso M, Brewer V
Escuela de Odontología Universidad Argentina J F Kennedy

Las técnicas ortodoncicas se basan, comúnmente, en sistemas de anclajes como son las bandas y los Bracket. Los medios cementantes requieren de tratamientos adamantinos para lograr las fuerzas adhesivas correspondientes.

Objetivos: Determinar las descalcificaciones adamantinas producidas por diversos medios cementantes durante el tratamiento ortodoncico y analizar la posibilidad de remineralizaciones sobre dicha estructura dentaria.

Métodos: Se confeccionaron tres grupos con seis muestras para cada uno. Grupo 1: adhesivo dentario mono-componente con técnica de grabado ácido convencional + composite de fotoactivación. Grupo 2: adhesivo dentinario autoacondicionante + composite de fotoactivación. Grupo 3. Cemento de Ionómero vítreo para cementado de Bracket + ácido poliacrílico como acondicionador. Las piezas utilizadas fueron premolares sobre las cuales se acondicionaron de acuerdo al grupo. Las muestras fueron analizadas para obtener la descalcificación adamantinas luego del acondicionamiento mediante el sistema EDAX. Sobre una superficie se aplicó el sistema adhesivo, sobre la otra no. En ambas superficies, vestibular y lingual, se aplicó una sustancia remineralizante y se analizó nuevamente el calcio presente.

Conclusiones. Los cementos de ionómeros vítreos producen las menores descalcificaciones, seguido por los adhesivos autoacondicionante y por último el ácido fosfórico al 37%. El sistema remineralizante Mi Paste reposo iones calcio en todos los casos en zonas donde no se aplicó el medio cementante.

Muchos trabajos científicos hacen hincapié en el estudio de la unión poste de fibra de vidrio medio cementante pero creemos que se debe analizar de la misma manera la fijación del material restructor de muñones sobre dichos postes

Objetivos. Visualizar las interfases y penetración de un colorante en la unión poste de fibra de vidrio – restructor de muñones con y sin la aplicación de un silano.

Métodos. Se confeccionaron dos grupos con 10 muestras para cada uno. Grupo 1. Adhesivo dentinario (All Bond 3. Bisco) + poste de fibra de vidrio. Grupo 2. Adhesivo dentinario (All Bond 3. Bisco) + poste de fibra de vidrio + Silano (Monobond S. Ivoclar Vivadent)

Se cementaron los postes en forma convencional, sobre la parte coronaria se reconstruyó el muñon aplicando para un grupo un silano. Sobre el muñon se confeccionó un elemento provisional con acrílico y fue cementado con hidróxido de calcio. Se realizaron los termociclajes correspondientes y se sumergió en un colorante durante una semana. Se midió la penetración del colorante y las interfases producidas.

Conclusiones: Para ambos grupos el cierre marginal fue efectivo ante la penetración de un colorante. Mediante microscopía electrónica de barrido no se observaron interfases en ambos grupos. Cuando se utiliza el sistema adhesivo All Bond 3 no se hace imperioso el uso de silanos para la fijación de un restructor de muñones a poses de fibras de vidrio

OBJETIVO: Es objetivo-propósito de este trabajo fue poner de manifiesto los trabajos más relevantes publicados/encontrados hasta la fecha y evaluar la longevidad de las resinas compuestas, como así también poder rescatar los aspectos más significativos que este tema conlleva.

MÉTODOS: De los 167 pacientes de la cohorte 2009, atendidos por los alumnos en la cátedra de Clínica de Operatoria Dental, de la Facultad de Odontología UNNE, que recibieron el alta integral, se seleccionó a 35 que poseían piezas dentarias con más de una preparación de clase II, III y IV y que cumplieran con los criterios de inclusión y exclusión fijados. Ello permitió poder realizar 112 restauraciones con dos marcas comerciales de resinas compuestas, en la misma boca y de esta manera llevar a cabo el trabajo comparativo; se observó tamaño de la restauración, material, habilidad del operador, edad e higiene del paciente y fueron analizadas según los criterios de Ryge que propone registrar como variables: color, decoloración del margen cavo superficial, forma anatómica, adaptación marginal y caries.

RESULTADOS: Para cada categoría se utiliza los valores de Alfa (A) para las restauraciones que presentan excelente condición, Bravo (B) para las que son aceptables pero muestran uno o más parámetros dificultosos, pudiendo ser necesario su reemplazo en el futuro, Charlie (Ch) para las inaceptables, y requieren reemplazo. Hasta el momento concurren a los controles 25 pacientes 16 del sexo femenino en las que se registraron 38 restauraciones y 9 del masculino en las que se evaluaron 18 restauraciones es decir un total de 56 restauraciones observadas. 23 de la marca 3M- Z100 y 33 de Ivoclar Vivadent- Te- Econom.

CONCLUSIÓN: De acuerdo a la revisión de lo publicado, se puede concluir que las resinas compuestas tienen un periodo de supervivencia promedio de entre 5- 8 años.

*Robert A Ramirez Molina, Andrea E Kaplan
Cátedra de Materiales Dentales. Facultad de Odontología, Universidad de Buenos Aires

El **objetivo** de esta investigación fue determinar la relación y el valor predictivo de las clasificaciones por morfología (M) y tamaño/distribución (T/D) del relleno con las propiedades flexurales de composites. **Materiales y métodos:** Se realizaron 20 probetas de composite para cada grupo: **G1** Helimolar®, **G2** Filtek™ Z350, **G3** Tetric® N Ceram, **G5** Premisa™, **G6** Esthet.X® HD, **G7** ice, **G8** Vit-L-escence®, **G9** Grandio®, **G10** TPH®3, **G11** Amelogen® Plus, **G12** Brilliant Enamel, **G13** Filtek™ Z100. Para la obtención de los valores de resistencia flexural (RF) y el módulo elástico (ME) se realizó la prueba de flexión de tres puntos, aplicado a muestras de composites foto polimerizados y estandarizados en 25x2x2 mm². Se almacenaron en agua destilada x 24 horas y se sometieron al test en una máquina de pruebas universales a una velocidad de 1 mm/min. Se utilizaron las especificaciones del fabricante y la MEB/SEM para clasificar los composites en relación M (Esféricas M/Es, aglomerados-esféricos M/Aes, irregulares M/I, irregulares+pre-polimeros M/I+P y pre-polimeros M/P) y T/D (Micro-relleno T/Dm-r, nano-relleno T/Dn-r, micro-híbrido T/Dm-h, híbrido T/Dh y nano-híbrido T/Dn-h). Los datos fueron analizados con un coeficiente de regresión lineal para análisis multivariado, el valor de alfa $\geq 0,05$. **Resultados:** Se observó una correlación positiva entre las clasificaciones por M y T/D y las propiedades flexurales, con un peso del 36% para RF y del 69% para MF. En el modelo RF dependiente $p=0,000$ con diferencias significativas; coeficiente de determinación $R_2 = 0,355$; $a=120,143$ y $b=(17,25 \text{ M/Es}; -16,45 \text{ M/I+P}; -32,38 \text{ T/Dm-r}; -23,38 \text{ T/Dn-r})$. En el modelo MF dependiente $p=0,000$ con diferencias estadísticas significativas; coeficiente de determinación $R_2=0,689$; $a=8,841$ y $b=(5,28 \text{ M/Es}; -3,40 \text{ M/I+P}; -4,21 \text{ T/Dm-r}; 0,89 \text{ T/Dn-r}; 2,94 \text{ T/Dh}; 2,94 \text{ T/Dn-h})$. **Conclusión:** En las condiciones que se realizó esta investigación se observó una correlación positiva entre las clasificaciones por M y T/D y las propiedades flexurales, con cuatro predictores comunes (M/Es, M/I+P, T/Dm-r, T/Dn-r) y dos adicionales para MF (T/Dh, T/Dn-h). *Este trabajo fue financiado con el Subsidio 0011 de la Universidad de Buenos Aires.*

*Rosino V, Olguín A, Hernández JL
Cátedra de Clínica de Operatoria Dental. Facultad de Odontología Universidad Nacional de Tucumán

La adecuada polimerización de los composites es un factor importante para el éxito clínico de las restauraciones.

OBJETIVO: El objetivo de este trabajo fue determinar la influencia de los medios de polimerización y el color de las Resinas, en su dureza superficial.

MÉTODO: Se emplearon 60 probetas de resina de nanotecnología Filtek Z350 (3M ESPE) logradas con un molde de acero inoxidable de 2 mm de espesor. Se dividieron en doce grupos ($n=5$) de acuerdo al medio de polimerización (QTH, LED y QTH + horno lumínico de Polimerización) y al color (Esmalte Translúcido, A2 y B2 y Dentina A3) empleados. El protocolo de aplicación para QTH y LED contempló una equivalencia en la densidad de energía entregada (20-24 J/cm²). Las muestras se conservaron durante 7 días en agua destilada a 37°C. Posteriormente se midió la microdureza Vickers aplicando una fuerza de 300 g. durante 15 segundos en tres puntos de las superficies superior e inferior.

RESULTADOS: Mediante análisis de Varianza y el test de Kruskal Wallis no se encontraron diferencias significativas al comparar los colores Esmalte y Dentina en las caras superiores. Mientras que en las caras inferiores, la dureza de resinas Esmalte fue significativamente mayor que resina Dentina (test $t p < 0,0001$).

Al comparar los medios de polimerización mediante análisis de Varianza y el test de Kruskal Wallis, hubo diferencias significativas obteniéndose con Halógena + Horno la mayor dureza ($p=0,006$).

Nuestros resultados permiten concluir que la polimerización fue efectiva en todo el espesor para resinas Esmalte y que todos los medios de polimerización fueron efectivos, obteniéndose mayores valores de dureza al emplear polimerización adicional, de luz Halógena y Horno termo-lumínico.

Realizado en el Laboratorio de Materiales Dentales de la Facultad de Odontología. Universidad Nacional de Tucumán. *Parcialmente subsidiado por el CIUNT*

97

EFFECTO DEL pH SOBRE LA LIBERACIÓN CONTROLADA DE CALCIO Y YODO DE UN BIOMATERIAL DE OBTURACIÓN ENDODÓNTICA DE TERCERA GENERACIÓN. ESTUDIO PRELIMINAR

Sabaté RE*, Sánchez GA, Fernández Monjes J, Maresca BM
Facultad de Odontología. Universidad de Buenos Aires.

La liberación controlada y sostenida de calcio y yodo y el comportamiento reológico de un material de obturación endodóntico son características deseables que contribuyen al uso clínico de un biomaterial de tercera generación.

Objetivo: determinar el efecto del pH sobre la liberación de calcio y yodo de un biomaterial de 3° generación para obturación endodóntica.

Materiales y Métodos: Se empleó un diseño caso-control. Se utilizaron piezas dentales humanas ex vivo preparadas endodónticamente con sus paredes radiculares externas selladas (excepto el ápice): Grupo I (n = 20): obturadas con un biomaterial de 3° generación (Licon D), Grupo II (n = 20): obturadas con un biomaterial de 2° generación (pasta lentamente reabsorbible de Maisto, PLRM). Se colocaron en envases sellados conteniendo solución buffer (pH: 7.4 y 5.5) a temperatura constante de los medios de difusión (37 °C). Se realizaron mediciones de la concentración de calcio en el medio de difusión a 0, 1, 2, 7, y 10 días. El calcio se determinó por método colorimétrico y para el yodo se utilizó un electrodo ión selectivo. La diferencia entre medias se estudió por el test t de Student ($p < 0,05$).

Resultados: A pH 7.4 la liberación de calcio (mg) del biomaterial de 3° generación alcanzó su valor máximo a los 10 días (0.32 ± 0.05) y resultó significativamente mayor ($t = 2.06$, $p = 0.046$) que la observada a pH 5.5 (0.21 ± 0.03), al igual que la liberación de yodo al mismo tiempo experimental (0.22 ± 0.03 vs. 0.14 ± 0.04 , $t = 2.1$ $p = 0.043$). La liberación de yodo de la PLRM no resultó significativamente diferente de la del material de tercera generación dentro del tiempo experimental estudiado y a los valores de pH mencionados.

Conclusión: la liberación de calcio y yodo del biomaterial para obturación endodóntica de tercera generación es una función del pH y requiere de tiempos experimentales mayores a efectos comparativos con la PLRM.

98

ESTUDIO EXPERIMENTAL COMPARATIVO “IN VITRO” ENTRE TERMINACIONES PERIFÉRICAS RECTO Y CHANFER PROFUNDO PARA CORONAS CERÁMICAS PURAS MECANIZADAS

Peralta, G.; *Spaccesi, J.
Fundación Creo

Resumen: La adaptación marginal es un factor fundamental para que una restauración fija logre una óptima integración biológica.

El **objetivo** del presente estudio “in vitro” fue determinar y comparar el ajuste marginal de coronas cerámicas mecanizadas en dos tipos de hombros luego de ser cementadas.

Materiales y métodos: Se utilizaron 10 premolares superiores para confeccionar 10 muñones dentarios, a los cuales se les realizó hombro recto en la mitad mesial y hombro chanfer en la mitad distal. Estos fueron escañeados con Sirona InLab inEOS de CEREC 3 para obtener luego 10 coronas fresadas de cerámica feldespática, mediante CEREC 3D Software V3.6x. Todas las coronas fueron cementadas con cemento resinoso dual a presión constante. A continuación, los elementos fueron desgastados para realizar las mediciones de la interfase diente-corona en cuatro puntos por elemento dentario, dos del hombro chanfer y dos del hombro recto. Para ello, se utilizó un analizador de imágenes Image Pro-Plus 6. Los resultados fueron evaluados mediante test de student.

Resultados: La adaptación marginal para el grupo hombro recto fue de $47,95 \mu\text{m}$ ($\pm 17,23$), y para el grupo chanfer fue de $75,3 \mu\text{m}$ ($\pm 37,96$). Las diferencias fueron estadísticamente significativas ($p \leq 0,05$).

Conclusiones: Los resultados han demostrado que las coronas cerámicas puras fresadas con CEREC 3 tienen mejor adaptación en pilares tallados con hombro recto.

Con el objetivo de estudiar la adopción de implantes como nueva tecnología aplicada en el ámbito de la salud bucal se aplicó la Teoría de la Difusión de la Innovación de Everett Rogers, (sociólogo, 1962 - 2004); que propone una categorización y distribución para quienes adoptan una innovación: innovadores, usuarios tempranos, primera mayoría, mayoría tardía y rezagados. El estudio está basado en la curva de distribución normal. Su comprensión, a través del conocimiento de las teorías que tratan de explicar estos fenómenos, como su aplicación a situaciones que son de interés disciplinar, es de utilidad para conocer, explicar y promover procesos de cambio tecnológico. La investigación poblacional en prostodoncia contribuye a la construcción del campo disciplinar, en el marco del vínculo epistémico y metodológico que existe entre la clínica y la epidemiología. El modelo de análisis fue probado en 2008 en el ámbito de la comunidad odontológica de la Ciudad de Rosario, se establecieron categorías teóricas para caracterizar a esta comunidad como adoptante de cambio tecnológico relacionado a la prostodoncia. Con el objetivo de ampliar la cobertura de este estudio, en 2010 en la ciudad de Santa Fe, se encuestó a 35 profesionales odontólogos, cursantes de un posgrado de primer en Implantología, graduados entre los años 1977 y 2009. El 8% de los encuestados se desempeña como docente. El 63% se dedica a la implantología. El 80% de los profesionales, informan a sus pacientes sobre esta opción terapéutica. Esta base de datos fue incorporada para la construcción de la curva de Rogers (Rosario 2008) y coinciden con el modelo teórico tanto en su conformación como grupo, como formando parte del conjunto de los datos del estudio de referencia. Se comportan como adoptantes de esta tecnología de manera que se distribuyen en una curva divisible en 4 categorías. Caracterizar a la población de profesionales en su disponibilidad a incorporar tecnologías es de suma utilidad para la planificación de la formación de posgrado y la educación continua de los profesionales.

Se realiza un estudio epidemiológico longitudinal para la caracterización de los motivos de consulta. El relevamiento anual de información posibilita realizar un seguimiento temporal de las variables en estudio y posibles modificaciones en las tendencias.

Se realizaron 58 encuestas epidemiológicas en el año 2010. La población asistida es el 83% de sexo femenino. El 24% de los pacientes corresponden al intervalo etario de 31 a 40 años. La distribución porcentual de los motivos de consulta que manifestaron los pacientes fueron: Disconformidad con la apariencia de los dientes, 77%; dificultad o dolor al masticar o morder, 20%; dificultad para pronunciar algunas palabras 1,7%; sugerencia de otra persona 25%; le faltan dientes y necesita un puente; dientes muy separados 1,7%; se le ven mucho los dientes 6,8%. De los pacientes atendidos durante el año 2007, el 32% estaba rehabilitado con prostodoncia; de los pacientes atendidos en el 2008 se encontraban rehabilitados el 55% y se encuentran en esta condición el 70% de los atendidos en el 2009. En el 2010 constituyen el 43%. Estas variables son objeto de análisis retrospectivo con bases de datos anteriores.

En la edición 2009 de este trabajo de epidemiología descriptiva, se han introducido modificaciones en el instrumento de recolección de información, se reagruparon las preguntas, se modificó la enunciación de la información solicitada a los pacientes y conservando las variables históricamente relevadas. Se ha incluido una nueva variable relacionada a la percepción de los pacientes respecto del aspecto de sus dientes, que es indicador indirecto del contacto con sustancias ácidas. Estas modificaciones han sido validadas considerando las evidencias de las implementaciones anteriores del instrumento, analizando la validez de constructo, de criterio y de contenido (Hernández Sampieri 2006) Este estudio integra un programa de investigación de "Epidemiología aplicada a la prostodoncia" y concluimos que el mismo constituye un insumo relevante para vincular la percepción de los demandantes de estas prácticas, la repuesta odontológica y la formación profesional en el grado y el posgrado.

101

ANÁLISIS EPIDEMIOLÓGICO DE EFECTORES ODONTOLÓGICOS COMO FUENTES DE INFORMACIÓN SECUNDARIA

Steeman, F.; Lapalma, M.A.; Sánchez, H.; Reviglionio, M. Reynoso, A.C.
Universidad Nacional de Rosario

Con el objetivo de estudiar la adopción de implantes como nueva tecnología aplicada en el ámbito de la salud bucal se aplicó la Teoría de la Difusión de la Innovación de Everett Rogers, (sociólogo, 1962 - 2004); que propone una categorización y distribución para quienes adoptan una innovación: innovadores, usuarios tempranos, primera mayoría, mayoría tardía y rezagados. El estudio está basado en la curva de distribución normal. Su comprensión, a través del conocimiento de las teorías que tratan de explicar estos fenómenos, como su aplicación a situaciones que son de interés disciplinar, es de utilidad para conocer, explicar y promover procesos de cambio tecnológico. La investigación poblacional en prostodoncia contribuye a la construcción del campo disciplinar, en el marco del vínculo epistémico y metodológico que existe entre la clínica y la epidemiología. El modelo de análisis fue probado en 2008 en el ámbito de la comunidad odontológica de la Ciudad de Rosario, se establecieron categorías teóricas para caracterizar a esta comunidad como adoptante de cambio tecnológico relacionado a la prostodoncia. Con el objetivo de ampliar la cobertura de este estudio, en 2010 en la ciudad de Santa Fe, se encuestó a 35 profesionales odontólogos, cursantes de un posgrado de primer en Implantología, graduados entre los años 1977 y 2009. El 8% de los encuestados se desempeña como docente. El 63% se dedica a la implantología. El 80% de los profesionales, informan a sus pacientes sobre esta opción terapéutica. Esta base de datos fue incorporada para la construcción de la curva de Rogers (Rosario 2008) y coinciden con el modelo teórico tanto en su conformación como grupo, como formando parte del conjunto de los datos del estudio de referencia. Se comportan como adoptantes de esta tecnología de manera que se distribuyen en una curva divisible en 4 categorías. Caracterizar a la población de profesionales en su disponibilidad a incorporar tecnologías es de suma utilidad para la planificación de la formación de posgrado y la educación continua de los profesionales.

102

ALTERACIONES SUPERFICIALES EN CERÁMICAS DENTALES DE ESTRATIFICACIÓN

Españon C.; *Abel V.; Jordán S.; Arias S.; Paz A.
Universidad Nacional de La Plata

Las técnicas de Blanqueamiento o las topicaciones con fluoruros requieren de cubetas específicas para su aplicación. Ante la presencia de estructuras protéticas de cerámicas dentales es posible el contacto sobre dichas estructuras de sustancias blanqueadoras o fluoruros preventivos.

Objetivos: Visualizar microscópicamente la superficie de dos cerámicas dentales antes y después de la aplicación de sustancias blanqueadoras y fluoruros dentales. **Métodos:** se confeccionaron seis grupos con cinco especímenes para cada uno. Grupo 1) cerámica EPS e Max Ceram (Ivoclar/Vivadent) IPS con blanqueador Peróxido de Carbamida al 10 % Opalescence (Ultradent). Grupo 2) IPS con blanqueador basado en peróxido de carbamida al 45% Opalescence (Ultradent). Grupo 3) IPS con fluor gel acidulado. Grupo 4) cerámica Vita VM7 (Vita) con blanqueador al 10% 5) VM7 con blanqueador al 45% 6) VM7 con fluor gel acidulado. En cada grupo se prepararon muestras con la aplicación previa de un barniz. La aplicación de las sustancias analizadas se realizó teniendo en cuenta las indicaciones del fabricante. Los especímenes se visualizaron microscópicamente con un microscopio electrónico de barrido marca Philips 505 a una magnificación de 500X. Se analizaron cantidades y tamaño máximo de los poros en una superficie determinada.

Los **resultados** mostraron que en todos los casos las sustancias aplicadas modificaron la superficie de la cerámica dental. Cuando se cubrió previamente con un barniz la superficie de la porcelana no fue alterada por los blanqueadores o los fluoruros.

Conclusiones: Cuando se realiza un blanqueamiento dental o una técnica preventiva con fluoruros es aconsejable proteger una estructura protética de cerámica con un barniz con el fin de impedir la alteración de su superficie.

ASOCIACIÓN ENTRE TIPO DE HÁBITO DE SUCCIÓN NO NUTRITIVA PRACTICADO Y RELACIÓN OCLUSAL

Iriquin MS*, Iriquin SM, Milat E, Rancich L, Rimoldi M, Mendes C, Oviedo Arévalo J.
Asignatura Odontología Integral Niños. Facultad de Odontología. UNLP.

El **objetivo** de éste trabajo es saber si existe una asociación entre el tipo de hábito practicado y las relaciones oclusales en la dentición temporaria. **Material y métodos:** Se estudió una muestra de 100 niños de ambos sexos que concurren a atenderse a la clínica de la Asignatura Odontología Integral Niños, con dentición temporaria y que practiquen o hayan practicado un hábito de succión no nutritiva. La muestra fue dividida en 4 grupos. Se analizaron las variables tipo de hábito y relaciones oclusales. Los datos fueron almacenados en el programa Excel, y su tratamiento estadístico se realizó con el programa SPSS versión 17.0. Se realizó la descripción de las variables cuantitativas con las frecuencias expresadas en porcentajes y se aplicó la prueba de Chi cuadrado y la medida de asociación V de Cramer. **Resultados:** Grupo1: Antero-posterior: Chupete: 25% Clase1a; 62.5% Clase1b; 12.5% Clase2. Succión Digital: 66.7% Clase1a; 16.7% Clase1b; 16.7% Clase2(p>0.05) Verticales y transversales: Chupete: 6.3% MAA; 12.5% MCP; 81.3% N. Succión Digital: 66.7% MAA; 33.3% N(p<0.05) Grupo2: Antero-posterior: Chupete: 50% Clase1a; 16.7% Clase1b; 33.3% Clase2. Succión Digital: 25% Clase1a; 75% Clase2(p>0.05) Verticales y transversales: Chupete: 5.6% MAA; 44.4% MCP; 11.1% MAA+MCP; 38.9% N. Succión Digital: 75% MAA; 25% N(p<0.05) Grupo3: Antero-posterior: Chupete: 33.3% Clase1a; 66.7% Clase2. Succión Digital: 30.8% Clase1a; 69.2% Clase2(p>0.05) Verticales y transversales: Chupete: 20% MAA; 26.7% MCP; 6.7% MAA+MCP; 46.7% N. Succión Digital: 53.8% MAA; 23.1% MCP; 23.1% MAA+MCP(p<0.05) Grupo4: Antero-posteriores: Chupete: 46.7% Clase1a; 53.3% Clase2. Succión Digital: 7.78% Clase1a; 92.3% Clase2(p<0.05) Verticales y transversales: Chupete: 33.3% MAA; 26.7% MCP; 20% MAA+MCP; 20% N. Succión Digital: 15.4% MAA; 76.9% MAA+MCP; 7.7% N(p<0.05) **Conclusión:** Podemos concluir que no existe una asociación estadísticamente significativa entre el hábito de succión no nutritiva practicado y las relaciones oclusales en sentido antero – posterior. La asociación entre el tipo de hábito practicado y las relaciones oclusales en sentido vertical o transversal tiene un alto grado de significación estadística, por lo que decimos que dependen del hábito practicado.

RESPIRACIÓN BUCAL Y DEGLUCIÓN ATÍPICA: RELACIÓN CON LA OCLUSIÓN

Iriquin SM*, Milat E, Rancich L, Rimoldi M, Mendes C, Oviedo Arévalo J, Iriquin MS.
Asignatura Odontología Integral Niños. Facultad de Odontología UNLP

Objetivo: analizar la prevalencia en las relaciones oclusales de las alteraciones producidas por la respiración bucal y la deglución atípica provocadas por el uso de chupete o biberón y/o succión digital.

Materiales y Métodos: la población estudiada corresponde a niños hasta 5 años de edad que concurren a atenderse a la clínica de la Asignatura Odontología Integral Niños. Se establecieron 4 grupos: g 1: dejaron el hábito antes de los 24 meses, g 2: siguieron practicando el hábito hasta los 24 meses, g 3: continuaron el hábito hasta los 36 meses y g 4: siguen practicando el hábito. Las relaciones oclusales : clase 1 a y 1 b neutroclusión, clase II distoclusión y clase III mesioclusión.

Resultados: La muestra fue dividida por el tipo de función alterada y por el tiempo de práctica del hábito de succión no nutritiva. Se realizaron las pruebas estadísticas del chi cuadrado y la medida V de Cramer para las variables politómicas. Los valores encontrados para la respiración bucal, g 1:N:22 el 85.7% presentan clase 1ª, el 14.3% clase II; g 2:N:22 el 61.5% de los casos presentan clase II, el 38.5% clase 1ª; g 3:N:28 el 71.4% presentan clase II, el 28.6% clase 1a y g 4: N:28 con el 75% con clase II, y el 25% clase 1ª, señalándose alta asociación de las variables en los g:1 y 2, X2:12,013 , V:0.739 y X2 7.981 y V 0.602. Para la deglución atípica, los g 1 y 2 con N: 22 el 50% presentó clase1a y el 50% clase II, en los g 3 y 4, N:28 el 100% presentó clase II. Encontrándose asociaciones altas en los g 3 y 4 , X2: 5.305, V: 0.435 .Los valores de significación menores a p 0.005 con dependencia de las variables estudiadas se da para los respiradores bucales en los grupos 1 y 2, mientras que en la deglución atípica en los grupos 3 y 4.

Conclusión: La clase II es la prevalente en la muestra estudiada por el uso del chupete y/o biberón en los respiradores bucales y niños con deglución atípica.

Introducción: El análisis e interpretación de las características oclusales y dentarias del niño, son consideradas elementos fundamentales en el diagnóstico y tratamiento preventivo. **Objetivo:** El propósito de este trabajo fue determinar la disposición de los espacios interdentarios en dentición temporaria y su influencia en la discrepancia dentoalveolar incisiva en dentición mixta temprana. **Material y Método:** Se realizó un trabajo descriptivo longitudinal en una población de 70 niños, de ambos sexos, en dentición temporaria completa con oclusiones normales. Se consideró las variaciones en cuanto a localización, distribución y tamaño de las separaciones interdentarios (SI), y la influencia de estos patrones en las discrepancias dentoalveolares del grupo incisivo inferior al inicio de la dentición mixta. Las mediciones fueron efectuadas sobre modelos de yeso obtenidos de impresiones bucales en los dos momentos denticionales mencionados. **Resultados:** En relación a las SI, se consideraron aspectos referidos a: A- Distribución: Predominó la versión generalizada en un 71% para el maxilar superior y un 64% para el inferior. Le sigue en prevalencia, la forma cerrada en un 12% y un 20%, y luego la localizada en el sector precanino superior en un 3%. No hubo ningún caso de espacio primate postcanino inferior. Los arcos con apiñamiento se presentaron en un 10% y un 13% para los mismos maxilares. B- Localización: se encontraron los mayores porcentajes y tamaños entre el incisivo lateral y el canino tanto en el maxilar superior como en el inferior. C- Tamaño: Las separaciones mas amplias se observaron en la zona precanina superior y postcanina inferior. Los espacios primates totales fueron mayores en sus tamaños en el maxilar superior que en la mandíbula. Al analizar la influencia de las SI en el ordenamiento incisal futuro se determinó que separaciones inferiores totales mayores de 5mm favorecieron la alineación futura. **Conclusión:** Los patrones de SI observados en nuestra población responden a la forma generalizada y sus tamaños permiten predecir la discrepancia incisal futura.

El **objetivo** del trabajo es determinar si la edad de inicio de la práctica de un hábito de succión no nutritiva tiene influencia en el tipo de relación oclusal.

Materiales y métodos: Se estudió una población de 100 niños de ambos sexos que concurren a atenderse a la clínica de la Asignatura Odontología Integral Niños, con dentición temporaria, y de cuyo diagnóstico surgió el haber practicado un hábito de succión no nutritiva. Se tomaron las variables edad de inicio del hábito, la que se dividió en dos grupos: Antes de los 12 meses y Después de los 12 meses, y las relaciones oclusales, las que se clasificaron como antero-posteriores: Clase 1a: Neutroclusión, Clase 1b: Neutroclusión, Clase II: distoclusión Clase III: Mesioclusión; y verticales y transversales: Mordida Cruzada Posterior (MCP), Mordida Abierta Anterior (MAA), y MCP+MAA. Los datos fueron almacenados en el programa Excel, y su tratamiento estadístico se realizó con el programa SPSS versión 17.0. Se realizó la descripción de las variables cuantitativas con las frecuencias expresadas en porcentajes y se aplicó la prueba de Chi cuadrado.

Resultados: Al analizar la prevalencia de las relaciones oclusales antero-posteriores, se obtienen los siguientes resultados: Antes de los 12 meses: 37% Clase 1a; 15.2% Clase 1b; 47.8% Clase 2. Después de los 12 meses: 12.5% Clase 1a; 87.5% Clase 2 ($p > 0.05$). Y para las relaciones oclusales verticales y transversales: Antes de los 12 meses: 26.1% MAA; 21.7% MCP; 15.2% MAA+MCP; 37% Relación Normal. Después de los 12 meses: 25% MAA; 12.5% MCP; 62.5% MAA+MCP ($p < 0.05$).

Conclusiones: Con estos datos podemos decir con un 95% de confianza, que no existe una asociación estadísticamente significativa entre la edad de inicio del hábito y las relaciones oclusales en sentido antero posterior, y que sí se ve una asociación estadísticamente significativa entre la edad de inicio del hábito y las relaciones oclusales en sentido vertical o transversal. Por lo que concluimos en que las relaciones oclusales en sentido vertical y transversal están asociadas a la edad de inicio de un hábito de succión no nutritiva.

ASOCIACIÓN ENTRE TIPO DE HÁBITO DE SUCCIÓN NO NUTRITIVA PRACTICADO Y PRESENCIA DE DISFUNCIONES

Rancich L*, Iriquin SM, Rimoldi M, Mendes C, Oviedo Arévalo J, Iriquin MS.
Asignatura Odontología Integral Niños. Facultad de Odontología. UNLP.

El **objetivo** del trabajo es determinar si existe una asociación entre el tipo de hábito de succión no nutritiva practicado y la presencia de disfunciones en el sistema estomatognático. **Materiales y métodos:** Se estudió una población de 100 niños de ambos sexos que concurrieron a atenderse a la clínica de la Asignatura Odontología Integral Niños, con dentición temporaria, de cuyo diagnóstico surgió el haber practicado un hábito de succión no nutritiva. Se tomaron como variables las disfunciones y el tipo de hábito practicado. La muestra fue dividida en 4 grupos según el tiempo de duración del hábito. Los datos fueron almacenados en el programa Excel, y su tratamiento estadístico se realizó con el programa SPSS versión 17.0. Se realizó la descripción de las variables cuantitativas con las frecuencias expresadas en porcentajes y se aplicó la prueba de Chi cuadrado. **Resultados:** Respiración: Grupo 1: Chupete: 12.5% Bucal; 87.5% Normal. Succión Digital: 83.3% Bucal; 16.7% Normal ($p < 0.05$). Grupo 2: Chupete: 50% Bucal; 50% Normal. Succión Digital: 100% Bucal ($p > 0.05$). Grupo 3: Chupete: 46.7% Bucal; 53.3% Normal. Succión Digital: 100% Bucal ($p < 0.05$). Grupo 4: Chupete: 73.3% Bucal; 26.7% Normal. Succión Digital: 100% Bucal ($p < 0.05$). Deglución: Grupo 1: Chupete: 100% Normal. Succión Digital: 33.3% Atípica; 66.7% Normal ($p < 0.05$). Grupo 2: Chupete: 100% Normal. Succión Digital: 50% Atípica; 50% Normal ($p < 0.05$). Grupo 3: Chupete: 26.7% Atípica; 73.3% Normal. Succión Digital: 30.8% Atípica; 69.2% Normal ($p > 0.05$). Grupo 4: Chupete: 6.7% Atípica; 93.3% Normal. Succión Digital: 61.5% Atípica; 38.5% Normal ($p < 0.05$). Fonación: Grupo 1: Este grupo no presenta casos con la función de la Fonación alterada. Grupo 2: Chupete: 11.1% Alterada; 88.9% Normal. Succión Digital: 0% Alterada; 100% Normal ($p > 0.05$). Grupo 3: Chupete: 6.7% Alterada; 93.3% Normal. Succión Digital: 15.4% Alterada; 84.6% Normal ($p > 0.05$). Grupo 4: Chupete: 6.7% Alterada; 93.3% Normal. Succión Digital: 76.9% Alterada; 23.1% Normal ($p < 0.05$). **Conclusiones:** Podemos llegar a la conclusión que el tipo de hábito practicado está asociado a la presencia de disfunciones en el sistema estomatognático.

RELACIÓN ENTRE EL TIEMPO DE LACTANCIA NATURAL Y LOS HÁBITOS DE SUCCIÓN NO NUTRITIVA

*Rimoldi, M.; Iriquin, S.M; Milat, E.; Mendes, C.; Rancich, L.; Oviedo Arévalo, J.; Iriquin, MS.
F.O.L.P

El amamantamiento natural desempeña importante papel en la salud del ser humano, además de actuar directamente en la nutrición, refuerza el sistema inmunológico, y psicológico del niño, favorece la salud de la mujer, fortalece el vínculo madre e hijo y además, durante el amamantamiento (succión nutritiva) se produce la excitación de la musculatura bucal y se movilizan las estructuras del aparato estomatognático del recién nacido, lo cual influye en su crecimiento y desarrollo. El **objetivo** de este trabajo consistió en evaluar la percepción de las madres sobre la importancia del amamantamiento, y comprobar la relación causal de este último con la presencia de hábitos bucales deletéreos. **Material y Método:** Se evaluaron 100 niños; 59 mujeres y 41 varones entre 3 y 5 años con dentición temporaria, que concurrieron a la clínica de la Asignatura Odontología Integral Niños, durante el primer semestre del año 2010. Se procedió a confeccionar la historia clínica, y las mamás fueron entrevistadas por medio de un cuestionario semiestructurado con preguntas claves. Se consideraron para la evaluación 4 grupos: Grupo 1: recibieron sólo amamantamiento natural; grupo 2: amamantamiento natural y mamadera mas de 6 meses de edad; Grupo 3: amamantamiento natural de 3 a 6 meses. Grupo 4: alimentación materna de cero a tres meses de edad; o nunca. **Resultados:** El 61 % de las entrevistadas, reconoció la importancia de la lactancia materna en la nutrición del bebé y como elemento que aporta defensas, el 36% le reconoció importancia psicológica, y sólo un 3 % lo relacionó con el desarrollo del aparato estomatognático. Grupo 1: presentaron hábitos de succión no nutritiva el 14%; Grupo 2: presentaron hábitos de succión no nutritiva el 31%; Grupo 3: presentaron hábitos de succión no nutritiva el 47%; Grupo 4: presentaron hábitos de succión no nutritiva el 87% de los niños. **Conclusión:** si bien las mamás están enteradas de los beneficios del amamantamiento, todavía es necesario reforzar esta postura. Cuanto mayor sea el tiempo de lactancia materna, menor el riesgo de presentar hábitos de succión no nutritiva y por lo tanto de sufrir alteraciones en la oclusión

109

PRÁCTICAS HABITUALES DE SUCCIÓN NO NUTRITIVA Y SU RELACIÓN SOCIO CULTURAL

Oviedo Arévalo J*, Iriquin SM, Milat E, Rancich L, Rimoldi M; Mendes C, Iriquin MS. Asignatura Odontología Integral Niños. Facultad de Odontología UNLP

El presente trabajo estudió la asociación entre el hábito de la succión no nutritiva y su relación socio cultural, en niños con dentición temporaria hasta 5 años, atendidos en las clínicas de la Asignatura Odontología Integral Niños de la Facultad de Odontología de La Plata. El uso del chupete y la succión como prácticas no nutritivas son al principio funcionales, su persistencia es nociva. La prevalencia de los hábitos y su relación socio - cultural está cambiando, notándose un incremento por la falta de información.

Objetivos: Estudiar las prácticas de succión no nutritiva y la influencia de las actividades socio – culturales en una población de niños de ambos sexos con dentición temporaria.

Materiales y Métodos: se redactaron 100 historias clínicas de niños hasta 5 años de edad. Se los clasificó en 4 grupos: grupo 1 dejaron el hábito antes de los 24 meses; grupo 2 siguieron con el hábito hasta los 24 meses; grupo 3 continuó hasta los 36 meses y grupo 4 el hábito es continuado; relacionándolos con los antecedentes socio – culturales.

Resultados: el 64% usa chupete y el 36% succiona. De su vida social, el promedio de los 4 grupos es: asisten a cumpleaños el 88%; juegan el 97%; dibujan el 95%; cantan el 84%; miran televisión el 99%; leen el 19%; bailan el 84% y practican deportes el 21%. De los progenitores, el 75,54% de los papás trabajan, el 24,46% están desocupados, las mamás en un 62,09% trabajan y el 37,91% son amas de casa.

Conclusión: el uso frecuente del chupete se incrementa ante la ausencia de la mamá en el hogar; centrando su vida social en mirar televisión, jugar y asistir a cumpleaños, en relación a las otras variables.

110

EFFECTO INTRUSIVO DE LA BARRA TRANSPALATINA SOBRE LOS PRIMEROS MOLARES SUPERIORES EN PACIENTES EN CRECIMIENTO. ESTUDIO PRELIMINAR

Verdú S*, Alessandrello H, Sales P, Lerman A, Behr G, Caramelo P, Mateu ME. Cátedra de Ortodoncia. Facultad de Odontología. UBA.

Objetivo: determinar el valor de intrusión a nivel de los primeros molares superiores de la barra transpalatina, luego de un año de su instalación en boca.

Materiales y Métodos: Participaron del estudio 50 pacientes de ambos géneros seleccionados aleatoriamente. Se utilizó un diseño caso-control apareado por género y edad. Los pacientes se clasificaron según biotipo en meso, dolico y braquifacial. Se realizaron mediciones (mm) cefalométricas sobre radiografías panorámicas y telerradiografías laterales (Plano palatino-cúspide mesial, plano palatino-piso de cámara, SN-cúspide mesial, SN-piso de cámara). Se calculó la media y el error estándar para cada variable. Las diferencias entre los valores antes y después del tratamiento se analizaron haciendo uso de la prueba t de Student para datos apareados. La distribución de los pacientes por biotipo y género dentro de cada grupo se evaluó a través de la prueba de chi². El nivel de significación fue $p < 0.05$.

Resultados: La edad (años) de los pacientes no resultó significativamente diferente entre los grupos caso y control (15.9 ± 0.6 vs. 15.1 ± 0.4 , $p = 0.29$). No resultaron diferentes las distribuciones de los pacientes por género ($p = 0.054$) y biotipo ($p = 0.75$). Las mediciones antes y después de todas las variables en estudio incrementaron significativamente en el grupo control, mientras que en el grupo caso solo incrementaron las mediciones SN-cúspide mesial ($t = 4.37$, $p < 0.0001$) y SN-cámara ($t = 2.87$, $p = 0.003$) en 2.2 y 1.7 mm en promedio respectivamente.

Conclusión: la barra transpalatina es un dispositivo eficiente para el control de anclaje vertical e inhibe el crecimiento a nivel de la apófisis dentoalveolar y no el crecimiento sutural.

Agüero Romero G*, Canzobre M, Kaplan AE, Mandalunis PM.
Facultad de Odontología Universidad de Buenos Aires

Introducción. El método convencional de obturación de los conductos radiculares se obtiene mediante la combinación de un cemento sellador endodóntico y conos de gutta-percha. Dentro del espectro de materiales de obturación endodóntica se encuentran los selladores a base de resina epóxica, que son de elección para piezas que serán restauradas con resinas. También para este fin hay selladores a base de resinas cuyo componente es el metacrilato (BisGMA), que se utilizan con conos de resina termoplástica basada en polímeros de poliéster con metacrilato, vidrio reactivo y relleno radio-opaco - Resilon®.

Objetivo. Evaluar la reacción periapical de dos selladores endodónticos en un diseño experimental de endodoncia en ratas Wistar.

Materiales y Métodos: Se utilizaron ratas Wistar macho entre 370 y 450 gramos de peso que fueron anestesiadas y sometidas a endodoncia. A todos los animales se les practicó la apertura y la instrumentación y luego se los dividió en tres grupos: Grupo I sin obturar, Grupo II obturación con conos de gutta-percha y AH26® (Dentsply), y grupo III obturación con Resilon® y RealSeal® (SybronEndo). A los 9 días los animales fueron sacrificados y sus maxilares extraídos, fijados, descalcificados y procesados histológicamente. Se realizaron cortes histológicos en sentido vestibulo-lingual y se colorearon con H&E. Mediante microfotografías digitales y el software Image Pro Plus se evaluó la reacción a nivel periapical (mm²).

Resultados: Los resultados han mostrado una mayor reacción periapical en el grupo sin obturar, mientras que fue menor en los grupos sellados y sin diferencias entre ambos selladores. Grupo I: 0.484 ± 0.10 , Grupo II 0.394 ± 0.099 , Grupo III 0.363 ± 0.087 .

Conclusiones: En el presente estudio preliminar los dos selladores evaluados no presentan diferencias en cuanto a la reacción periapical.

*Ledesma PA, Lewicki M, Cabirta L, Escudero ND, Mandalunis PM.
universidad de buenos aires

El rol de la médula ósea amarilla (MOA) en el hueso sigue siendo tema de estudio y aún poco descripto. Sin embargo, la interacción local dentro de la MOA parece desempeñar un rol importante en la patogénesis de la osteoporosis. Aunque varios experimentos *in vivo* han demostrado un efecto inhibitorio provocado por bisfosfonato en la diferenciación de adipocitos. Dado que no hay estudios *in vivo* relacionados con este aspecto, el **objetivo** del presente trabajo ha sido evaluar el predominio de la médula ósea amarilla/adiposa en animales con osteopenia establecida y en animales ovariectomizados (OVX) y tratados con un bisfosfonato, el olpadronato monosódico (OPD).

Materiales y Métodos: Treinta y dos ratas Wistar fueron divididas en cuatro grupos: Sham, OVX, Sham+OPD y OVX+OPD. Los grupos OVX fueron ovariectomizados bilateralmente el día 1 de experiencia. Los grupos tratados con OPD recibieron una dosis de OPD de 0.47 mg/kg//sem desde el inicio del experimento y durante seis semanas. A los tres meses los animales de todos los grupos se sacrificaron, se extrajeron las tibias, las cuales fueron fijadas, descalcificadas y procesadas histológicamente para la realización de cortes longitudinales que se colorearon con H&E. Sobre microfotografías digitales se evaluaron los siguientes parámetros: Volumen óseo subcondral (BV/TV)(%) y Porcentaje (%) de MOA en relación al volumen total del área de médula ósea estudiada.

Resultados: BV/TV (%): Sham 36 ± 10.9 , OVX: 10.8 ± 4.2 , Sham+OPD: 41.9 ± 6.6 , OVX+OPD: 36.6 ± 11.2 . La pérdida ósea del grupo OVX es estadísticamente significativa en relación a los grupos restantes. En cuanto a la MOA (%): Sham 16 ± 4 , OVX: 26 ± 7 , Sham+OPD: 18 ± 4 , OVX+OPD: 15 ± 4 . El aumento del % de MOA es estadísticamente significativa en el grupo OVX en relación a los grupos restantes.

Conclusión: Los resultados del presente estudio muestran que el OPD no sólo inhibe la reabsorción ósea inducida por la ovariectomía sino que también previene la diferenciación de células de la médula ósea en adipocitos.
UBACyT 0406

*Bernasconi A, Garat J
Cat. de Histología. Facultad de Odontología. UNT

Objetivo: Se presenta un trabajo experimental en el que se analiza los efectos de la restricción de proteínas en la amelogenesis del incisivo de crecimiento continuo en ratas en crecimiento. **Métodos:** Se usaron ratas Sprague Dawley destetadas a los 21 días y asignadas a uno de los siguientes grupos, control: alimentadas con dieta dura semisintética (21% de proteínas) y desnutrido alimentadas con dieta dura semisintética (3,5 % de proteínas) durante 15 días. El peso corporal fue registrado en forma periódica. Los animales fueron sacrificados, se diseccionaron las mandíbulas y se procesan para inclusión en metacrilato sin descalcificar. De los tacos obtenidos se realizaron cortes transversales por desgaste de segmentos del órgano del esmalte y del esmalte de las zonas de secreción y maduración usando líneas de referencia molar para su localización (SMITH AND NANCI 1989). En los cortes histológicos de los animales de ambos grupos se determinaron en las zonas de secreción y en la zona de maduración temprana y tardía: (a) Área de matriz adamantina (AMA), b) Área del órgano del esmalte (AOE).

Los datos obtenidos fueron analizados estadísticamente con el test t de Student y corroborado con el test no paramétrico de Mann- Withney.

Resultados: el peso corporal fue significativamente menor en el grupo desnutrido. El análisis histométrico mostró que el AMA en la zona de secreción fue: control $130895 \pm 102683 \mu^2$ vs. Desnutrido $137840 \pm 36752 \mu^2$, $p > 0,05$; en la zona de maduración temprana control $280788 \pm 89261 \mu^2$ vs. Desnutrido $186765 \pm 64338 \mu^2$, $p > 0,05$; en la zona de maduración tardía control $212097 \pm 28482 \mu^2$ vs. Desnutrido $142178 \pm 40320 \mu^2$, $p < 0,05$. El AOE resultó en la zona de secreción : control $572573 \pm 102782 \mu^2$ vs. Desnutrido $524454 \pm 200236 \mu^2$, $p > 0,05$; en la zona de maduración temprana control $361121 \pm 125388 \mu^2$ vs. Desnutrido $307710 \pm 94806 \mu^2$, $p > 0,05$ y en la zona de maduración tardía control $328863 \pm 79261 \mu^2$ vs. Desnutrido $190966 \pm 19274 \mu^2$, $p < 0,05$.

Conclusiones: Estos resultados sugieren que las dietas con bajos niveles de proteínas alteran la amelogenesis en su etapa de maduración. *Subsidiado por CIUNT.*

Cabrita ML*, Ledesma PA, Goya JA, Mandalunis PM.
Cátedra de Histología y Embriología, Facultad de Odontología, Universidad de Buenos Aires.

La periodontitis es un proceso inflamatorio de origen multifactorial que afecta a los tejidos periodontales y lleva a la pérdida ósea. Por otra parte, el déficit de estrógenos conlleva a pérdida de volumen óseo. Los bisfosfonatos son drogas antirresortivas eficaces en el tratamiento de patologías donde se encuentra aumentada la reabsorción ósea. En un trabajo previo (Goya et al, 2006) hemos descripto que el olpadronato monosódico (OPD) topicado localmente sobre la lesión previene la pérdida ósea inducida por la periodontitis experimental. El objetivo del presente trabajo ha sido evaluar el efecto de los bisfosfonatos administrados en forma sistémica en animales con enfermedad periodontal y osteopenia establecida. **Objetivo:** Evaluar el efecto de olpadronato (OPD) administrado en forma sistémica en animales ovariectomizados (OVX) y con periodontitis experimental (PE). **Materiales y Métodos:** se utilizaron 34 ratas Wistar hembras entre 230 y 260 grs de peso. Se las dividió en 4 grupos: SHAM+PE, SHAM+OPD+PE; OVX+PE, OVX+OPD+PE. La ovariectomía se realizó bilateralmente el día 1 de la experiencia. A la semana se administró OPD en una dosis semanal de 0,47 mg/kg durante 8 semanas. El día 56 de la experiencia se indujo PE mediante una ligadura de hilo alrededor del 1er molar inferior izquierdo. Los contralaterales fueron utilizados como control. A los 60 días se sacrificaron los animales, se extrajeron los maxilares inferiores y se procesaron histológicamente. Se realizaron cortes histológicos en sentido mesio-distal, los cuales fueron coloreados con H&E. Sobre microfotografías digitalizadas se evaluó el volumen óseo interradicular BV/TV (%). **Resultados:** La pérdida ósea fue mayor y estadísticamente significativa en el grupo OVX+PE, sin encontrarse diferencias entre los restantes grupos. BV/TV (%): SHAM+PE: $38 \pm 6,5$; SHAM+OPD+PE: $40,3 \pm 4,5$; OVX+PE: $29,8 \pm 5,1$; OVX+OPD+PE: $44,6 \pm 10,7$. El menor volumen óseo en el grupo OVX+PE se debe a la pérdida ósea inducida por la ovariectomía sin tratamiento con OPD. **Conclusiones:** El OPD aplicado en forma sistémica previene la pérdida ósea del déficit de estrógenos, y levemente y sin significancia estadística la pérdida inducida por el proceso inflamatorio de la periodontitis experimental. *UBACyT O 0406, Gador S.A.*

OBJETIVOS: Los tumores odontogénicos son lesiones poco comunes, que se forman a partir de los tejidos que dan origen a los dientes. Así, este trabajo tuvo por objetivo determinar la prevalencia de los tumores odontogénicos diagnosticados en los Servicios de Anatomía Patológica de las Facultades de Odontología de Bauru (USP) y de Araçatuba (UNESP) en Brasil, compararlas y definir un perfil de la ocurrencia de esos tumores en esas instituciones siguiendo la OMS 2005.

MÉTODOS: Todos los casos diagnosticados como tumores y quistes odontogénicos (803 casos), plausibles de re análisis diagnóstica fueron seleccionados de los archivos de esas instituciones. Los datos demográficos y los aspectos clínicos de cada lesión fueron obtenidos a partir de los laudos y de las fichas de requisición del examen anatomopatológico, y las láminas analizadas por un examinador.

RESULTADOS: Los resultados demostraron que la inclusión del queratoquiste en el grupo de tumores provocó una alteración significativa en la prevalencia de esas lesiones. El tumor odontogénico queratoquístico fue la lesión más prevalente, seguida por el odontoma, ameloblastoma y mixoma, en las instituciones estudiadas. En relación a los datos demográficos y localización, nuestros encuentros corroboran a aquellos descritos en la mayoría de los trabajos realizados en todo el mundo, con diferencias puntuales en países como China.

CONCLUSIÓN: El patrón de presentación de los tumores odontogénicos verificado en las instituciones evaluadas se asemejó mucho al patrón descrito por la OMS y por la mayor parte de los estudios sobre prevalencia de esos tumores descritos en la literatura. La inclusión del queratoquiste como tumor, causó una modificación cuantitativa relevante en la prevalencia de los tumores odontogénicos. Entretanto, la controversia al respecto de la naturaleza neoplásica de esa lesión nos hace creer que esa modificación puede no ser permanente. La falta de conocimientos más profundos con relación a la existencia de posibles alteraciones genéticas y moleculares en los tumores odontogénicos dificulta comprender diferencias encontradas en relación a la prevalencia de algunas de estas lesiones en países como China.

La etiopatogenia de la periodontitis presenta una reacción inflamatoria crónica en los tejidos de protección y sostén de las piezas dentarias. En el hueso alveolar, las citoquinas inflamatorias promueven la reabsorción ósea, a través de un mayor reclutamiento de osteoclastos. La fosfatasa ácida tartrato resistente (TRAP) es un marcador de la estirpe osteoclástica. El olpadronato (OPD) es un potente bisfosfonato que inhibe la actividad osteoclástica evitando la pérdida ósea. **Objetivo:** Evaluar la cantidad de células TRAP + por unidad de superficie en el hueso interradicular de ratas wistar con periodontitis experimental (PE) tratados localmente con OPD. **Materiales y Métodos:** Para este estudio se utilizaron 16 ratas wistar de 55 días de edad y 265 grs. de peso, divididas en dos grupos: grupo periodontitis experimental (PE), la periodontitis se indujo colocando una ligadura de hilo de algodón a nivel cervical del primer molar inferior izquierdo durante 96 horas y se administró localmente 100 µl de solución fisiológica dos veces al día; y grupo periodontitis experimental más olpadronato (PE+OPD) se indujo periodontitis con la misma metodología y se administró localmente 100µl de OPD (150mM) dos veces al día. Los hemimaxilares contralaterales (derechos) fueron utilizados como controles. A las 96 horas se sacrificaron los animales, se extrajeron las mandíbulas que se fijaron y descalcificaron para su procesamiento histológico. Se realizaron cortes histológicos orientados en sentido mesio-distal y se realizó la detección histoquímica de TRAP. **Resultados:** Sobre fotos digitalizadas de los cortes se evaluó el volumen óseo (VO/TV %) (PE= 25.07% ± 4.36 vs. PE+OPD= 34.89% ± 6.01); n° de células TRAP+/mm (PE= 7.48 ± 4.84 vs. PE+OPD= 5.1 ± 0.93); n° de células TRAP+/mm² (PE= 48.23 ± 31.67 vs. PE+OPD= 37.84 ± 9.59). **Conclusiones:** Los resultados de este trabajo indican que la aplicación local de olpadronato previene la pérdida ósea sin modificar en forma significativa la expresión y síntesis de la enzima TRAP en animales con periodontitis experimental. De los resultados se pueden evidenciar claramente que el marcador TRAP es marcador de fenotipo osteoclástico y no de la actividad del mismo. *UBA CYT O 0406*

117

DIFERENTES RESPUESTAS DEL CÓNDILO MANDIBULAR Y DE LA TIBIA FRENTE A LA RESTRICCIÓN DIETARIA.

Martín A*, Meheris H, Pani M, Ruiz Holgado N, Lopez Miranda L, Rodriguez G, Aybar Odstrcil A, Garat J. Catedra de Histología. Fac. de Odontología. UNT

La mandíbula y los huesos largos crecen en largo por osificación endocondral.. Sin embargo, hay controversias acerca de los efectos de los trastornos nutricionales en el crecimiento del maxilar dados los altos requerimientos mecánicos a los que se encuentra sometido. **Objetivo:** estudiar como el condilo mandibular en crecimiento, que se encuentra expuesto a altas, abruptas e intermitentes fuerzas durante la masticación, responde a grados leves de restricción dietaria y comparar esas respuestas a la de la metafisis proximal de la tibia en ratas en crecimiento. **Métodos:** Ratas Sprague Dawley fueron adaptadas durante 2 días a una dieta balanceada (DB) en pellets después del destete. A posterior los animales fueron pesados y divididos en 4 grupos: Grupo I (GI) Control: alimentados ad limitum con DB (La cantidad de alimento consumido se registró diariamente). Grupos Experimentales (GII, GIII, GIV). El GII consumió el 90 %, el GIII el 80 % y el GIV el 75% de la cantidad de (DB) en relación al consumo alimentario que tuvo el GI el día previo durante el tiempo experimental. Todos los animales fueron sacrificados a los 25 días experiencia. Se extrajeron las tibias y las cabezas se fijaron en formol al 10%, se descalcificaron en EDTA al 10% y se procesaron según técnica habitual para inclusión en parafina. De los tacos obtenidos se realizaron cortes de la metafisis proximal de las tibias y de la articulación temporomaxilar y se colorearon con H&E. En los cortes obtenidos se determinaron los siguientes parámetros histomorfométricos: (a) Espesor del cartílago condilar (ECC) y (b) Volumen óseo del hueso subcondral del condilo mandibular. (VOC). (c) Espesor del cartílago de crecimiento de la tibia (ECT). (d) Volumen óseo del hueso subcondral de la tibia. (VOT) **Resultados:** El análisis histométrico no mostró diferencias significativas en los valores de ECC, VOC y VOT. Mientras que ECT en micras fue de GI 420±6, GII 375±16, GIII 320±39 y GIV 291±15 (p<0,05 GI vs. GIII y IV y GII vs. GIII y G IV). **Conclusiones:** la restricción dietaria impacta a la osificación endocondral del cóndilo mandibular y de la tibia en forma diferente.

Subsidiado por CIUNT

118

RESPUESTA ÓSEA ALVEOLAR EN UN MODELO DE INTOXICACIÓN CON PLOMO

Mitre P*, Soria N, Meheris H, Garat J.
Facultad de Odontología Facultad de Medicina . UNT

Los efectos de las intoxicaciones con metales pesados sobre el hueso maxilar y otros huesos del esqueleto suelen ser similares. Sin embargo, dado los altos requerimientos mecánicos a los que se encuentran sometidos los maxilares, su respuesta puede diferir en algunos aspectos. El **objetivo** de este trabajo fue determinar la respuesta ósea alveolar a la intoxicación con plomo en ratas adultas. Se utilizaron ratas Wistar de 150±10 gr de peso alimentadas con dieta dura convencional distribuidas en dos grupos denominados control y experimental. El grupo control tuvo ingesta de agua de bebida libre de plomo. El grupo experimental con ingesta de agua de bebida con acetato de plomo en dosis de 1000 ppm durante un período de tiempo de 2 meses. El peso corporal fue registrado en forma periódica, al término del período experimental los animales fueron sacrificados. Se extrajo sangre intracardiaca en tubos de vidrio heparinizados para las determinaciones de plumbemia y se diseccionaron los maxilares inferiores. El **material** fue procesado según técnica habitual para inclusión en parafina previa descalcificación en EDTA al 10% a pH 7,2. Se realizaron cortes mediodistales del primer molar inferior y se colorearon con H&E. Se determinó plumbemia en sangre. En los cortes histológicos, se determinaron en el tercio cervical del hueso interradicular de los animales de ambos grupos: (a) Volumen óseo (Vt/Vot. Donde Vt= volumen trabecular y Vot= volumen óseo total). (b) Porcentaje del espacio interradicular ocupado por hueso alveolar (Vot/VEIx100. Donde Vot= volumen óseo total y VEI= volumen del espacio interradicular). El análisis estadístico se realizo con el test t de Student. **Resultados:** El peso corporal y la plumbemia al final de la experiencia fueron significativamente mayores en el grupo experimental (control 2,8 gr/dl vs. experimental 11,6 gr/dl). El análisis histométrico indicó que el volumen óseo fue significativamente mayor en los animales intoxicados con plomo (control: 0,5±0,1 vs experimentales: 0,8±0,1. p<0,05). No hubo diferencia significativa en el porcentaje del espacio interradicular ocupado por hueso alveolar (control: 79±8% vs. experimental 63±19%).

Subsidiado por CIUNT

EVALUACIÓN DEL VEGF EN LA MEDULA ÓSEA DE HUESO INTERRADICULAR EN ANIMALES TRATADOS CON BISFOSFONATOS

M.M. Pujadas Bigi *, N. D. Escudero, Ubios A.M. y P.M. Mandalunis.
FOUBA

El factor de crecimiento vascular (VEGF) es una proteína con actividad angiogénica. Incrementa la permeabilidad vascular, induce la proliferación y migración de las células endoteliales y es un factor de supervivencia. Los bifosfonatos (BFs) son drogas antirresortivas que se usan en casos de osteopenias y otras enfermedades óseas. A partir de 2003 se han descrito casos de osteonecrosis (ON) de los maxilares asociados al uso de BFs. Algunos autores atribuyeron la aparición de la ON al efecto de los BFs sobre el metabolismo óseo, las células de la medula ósea y a un efecto antiangiogénico; sin embargo son escasos los estudios experimentales que lo demuestran.

El **objetivo** de este trabajo es evaluar la expresión de VEGF en células de la medula ósea del hueso interradicular de animales tratados con el BF olpadronato (OPD). Se utilizaron 8 ratas Wistar de 60 días divididas en dos grupos: experimental (OPD) y sham (sh). El grupo OPD, recibió 0,3 mg/kg/sem de OPD via IP, por 5 semanas. Al grupo sh, recibió un volumen equivalente de vehículo. En la 6^o semana se sacrificaron los animales, se resecaron las hemimandíbulas y se procesaron para obtener cortes histológicos mesio-distales del primer molar inferior, a los cuales se les realizó la detección inmunohistoquímica de VEGF(sc-7269). Sobre microfotografías digitales se realizaron mediciones histomorfométricas en un área standarizada de la médula ósea interradicular y se evaluaron los siguientes parámetros: número de células medulares y de megacariocitos por mm² que expresan VEGF (VEGF+/mm²). Los datos fueron analizados estadísticamente mediante el test "t" de student.

Resultados: el n° de células VEGF+/mm² en el grupo OPD fue menor que en el grupo sh con diferencias estadísticamente significativas (OPD:7804,8±597; sh:13187,6±894; p<0,001) y con respecto al n° de megacariocitos las diferencias también fueron estadísticamente significativas (OPD:183,3±33,3; sh:222,2±83,3; p<0,05).

Conclusión: este trabajo muestra que la administración IP de OPD en la dosis utilizada, disminuye el n° de células VEGF+ y el n° de megacariocitos de la médula ósea. Este hallazgo se podría relacionar con la alteración de la capacidad reparativa del hueso en los casos de ON maxilar inducida por BFs.

UBACyT 00406, GADOR SA.

ESTUDIO COMPARATIVO DE LA RESPUESTA ÓSEA EN TIBIAS Y MAXILARES A LA DIABETES EXPERIMENTAL EN RATAS

Pulitano Manisagian GE*, Villarino ME, De Lucca RC, Ubios AM.
Cátedra de Histología y Embriología. Facultad de Odontología, Universidad de Buenos Aires.

Entre las complicaciones a largo plazo encontradas en pacientes diabéticos es común observar alterado el metabolismo óseo. En estudios previos, hemos mostrado cómo la osteopenia se evidencia en el hueso subcondral de las tibias de ratas diabéticas a 1 y 6 semanas de inducción. **OBJETIVO:** realizar un estudio histomorfométrico comparativo de la respuesta ósea del hueso subcondral de la tibia y del hueso alveolar de ratas a 1 y 6 semanas de inducción de diabetes experimental, y ante el tratamiento insulínico. **MÉTODOS:** Se utilizaron 35 ratas Wistar macho que fueron divididas en 5 grupos: I) control, II) diabetes experimental aguda (DBT Ag), III) diabetes experimental aguda tratada con insulina (DBT Ag+INS), IV) diabetes experimental crónica (DBT Cr), y V) diabetes experimental crónica tratada con insulina (DBT Cr+INS). La diabetes se indujo con una única inyección i.p. de 60 mg/kg de estreptozotocina en los grupos II, III, IV y V. Los animales del grupo I recibieron un volumen equivalente del vehículo. A las 24 hs de la inyección se constató la glucemia en forma cuantitativa. En los grupos III y V se administró insulina NPH diariamente de acuerdo a los requisitos de cada animal. Al sacrificio se obtuvieron las tibias y los maxilares superiores, que fueron procesados para su estudio histológico. De las tibias, se obtuvieron cortes longitudinales frontales y de los maxilares, cortes buccopalatinos a nivel de la raíz mesial y a nivel de las raíces distales; todos ellos fueron coloreados con hematoxilina y eosina, fotografiados y evaluados por métodos histomorfométricos. **RESULTADOS:** El volumen óseo en la tibia de ratas DBT Ag y DBT Cr disminuyó significativamente con respecto a los controles; el tratamiento con insulina revirtió los valores casi a la normalidad. El volumen óseo en el hueso interradicular no mostró diferencias estadísticamente significativas entre ninguno de los grupos estudiados. **CONCLUSIÓN:** Los resultados de este trabajo muestran que al mismo tiempo de inducida, la osteopenia diabética, que se hace evidente en el hueso subcondral de la tibia, no se observa en el hueso maxilar.

Subsidio: UBACyT 0018 y CONICET PIP 6010.

121

EVALUACIÓN “IN VITRO” DE LA BIOCOMPATIBILIDAD DE UN AGREGADO TRIÓXIDO MINERAL EN UN MODELO DE CÉLULAS DE LA PULPA DENTAL

*Rodríguez IA1, Ximenes Oliveira C2, Uribe Echevarria J3, Campos A2, Ferraris ME1
Cát. Histología B1, Operatoria Dental I3, Facultad de Odontología U.N.C. Argentina. Grupo Ingeniería Tisular. Univ. Granada, España2.

El agregado trióxido mineral (MTA) es un biomaterial indicado en las técnicas de protección pulpar directa. El **objetivo** de este trabajo fue realizar un estudio “*in vitro*” de biocompatibilidad de MTA en células de la pulpa dental, estableciendo los índices de viabilidad celular mediante los métodos de cuantificación de LDH y ADN libre y de actividad metabólica celular.

Se utilizaron células de la pulpa dental cultivadas en placas de 24 pocillos a una concentración de 20000 células/400 µl de medio de cultivo DMEM con 10% de SBF y antibióticos. Las células fueron expuestas durante 24 horas a discos de 2 mm de diámetro por 1 mm de espesor de MTA (Pro Root, Denstplay), los cuales asentaban sobre insertos con membranas porosas de 4 µm. Para evaluar permeabilidad de las membranas plasmáticas y nucleares se realizó la cuantificación de la enzima LDH y de fragmentos de ADN respectivamente. La actividad metabólica celular fue realizada a través del ensayo de MTT y la cuantificación fue evaluada usando un lector Reader ELx800. Los controles fueron células cultivadas exclusivamente con medio de cultivo DMEM (CM) y células con solución de TritónX-100 (2% en medio de cultivo DMEM) (CT).

Los **resultados** para la cuantificación de LDH fueron: CM= $0,816 \pm 0,038$; MTA= $0,755 \pm 0,04$; CT= $2,026 \pm 0,04$. Para la cuantificación de ADN (µgr/ml) fueron: CM= $172,44 \pm 7,42$; MTA= $217,17 \pm 22,32$; CT= $589,22 \pm 21,34$. Con MTT la actividad metabólica celular en el grupo MTA fue del 83%.

Conclusión: Los distintos métodos “*in vitro*” de evaluación de viabilidad celular utilizados permitieron demostrar que MTA es un material biocompatible para las células de la pulpa dental.

122

ESTUDIO HISTOQUÍMICO DE LA MADURACIÓN EPITELIAL EN UN MODELO DE MUCOSA ARTIFICIAL HUMANA DE ESPESOR COMPLETO

Rodríguez IA1*, Garzón I2, Oliveira, ACX2, Campos-Sanchez F2, Rodríguez MA1, Jimenez JM2, Martínez C2, Sanchez MC2 Grupo de Ingeniería Tisular. Dep. Histología, Facultad de Odontología y Medicina, Universidad de Granada, España. Cát. Histología B1, Operatoria Dental2, U.N.C., Argentina.

Introducción y Objetivo: Hasta el presente se han descrito distintos modelos de mucosa humana artificial de espesor completo construídas por ingeniería tisular para uso clínico. En general pocos biomateriales contribuyen a inducir una eficiente maduración del epitelio suprayacente en dichos modelos artificiales. En el presente trabajo se ha generado un modelo de mucosa humana de espesor completo utilizando fibrina y agarosa con epitelio estratificado cuya maduración se evalúa utilizando diferentes marcadores histoquímicos.

Material y métodos: Se obtuvieron cultivos primarios de queratinocitos y fibroblastos procedentes de biopsias cutáneas. Se elaboró un corion artificial con fibrina y agarosa y fibroblastos inmersos en el mismo sobre el que se dispuso una capa de queratinocitos. Durante tres semanas se sometió a la técnica Aire-líquido para estimular la estratificación. Se realizó inmunofluorescencia para la pancitoqueratina, filagrina e involucrina, marcadores vinculados a la maduración epitelial.

Resultados y Discusión: El análisis histoquímico del modelo artificial elaborado muestra un corion con un elevado número de fibroblastos y un epitelio con 7-8 capas de células *ex vivo*, Aunque las típicas capas de células del epitelio diferenciado no pueden identificarse *ex vivo* todas las capas epiteliales expresan pancitoqueratina, filagrina e involucrina sugiriendo que dichas células pueden ser funcionales en dicho estadio.

Conclusión: Nuestros resultados sugieren que el modelo artificial de fibrina agarosa muestra bajo nivel de diferenciación *ex vivo* aunque las células pueden expresar algunos marcadores de epitelio maduro desde las primeras semanas de desarrollo.

Financiado por FIS PI 080615

123**CRIOPRESERVACIÓN DE SUSTITUTOS DE CORION DE MUCOSA BUCAL GENERADOS POR INGENIERÍA TISULAR. ESTUDIO DE PROLIFERACIÓN CELULAR MEDIANTE PCNA**

Rodríguez MA1*, Rodríguez IA1, Alaminos M2, Garzon I2, Sanchez Quevedo MC2, Campos A2, Ferraris ME1 Catedra Histología "B", Facultad Odontología UNC (Argentina)1, Departamento Histología, Facultad Odontología - Granada, España

La literatura sobre protocolos de criopreservación de mucosa oral generada mediante técnicas de ingeniería tisular es escasa, por ello, el **objetivo** del presente trabajo fue evaluar el comportamiento de distintas soluciones utilizadas para criopreservar sustitutos de corion de mucosa bucal mediante el ensayo de proliferación celular PCNA.

Se prepararon distintas soluciones crioprotectoras siguiendo el protocolo del Banco de Tejidos de Granada: **A** (Medio TC199, DMSO y Albúmina 20%), **B** (Medio DMEM, SBF, DMSO), **C** (Medio QC y Glicerol). Los sustitutos de corion, de agarosa/fibrina con fibroblastos gingivales humanos, de 7 días de elaboración fueron cubiertos en su totalidad por las distintas soluciones crioprotectoras y sometidos a un proceso de congelación lenta que siguió un perfil de temperaturas que fue el siguiente: 30 minutos a 4°C, 24 horas a -20°C, 48 horas a -80°C, y por último fueron trasladados a un tanque con nitrógeno líquido (inicialmente en fase vapor y después en fase líquida), donde se almacenaron por término de 14 días. La descongelación se realizó de forma lenta a temperatura ambiente. Los controles fueron sustitutos de corion sin solución criopreservante (**CN**) y sustitutos que no fueron sometidos a criopreservación (**CP**). Para evaluar el índice de proliferación celular las muestras fueron analizadas utilizando el anticuerpo PCNA (Vectastain Universal Quick Kit) diluido en Suero de Bloqueo 1:1000. El porcentaje de células PCNA positivas, es decir, células con sus núcleos inmunoteñidos, fue valorado a través de un microscopio óptico, Nikon Eclipse con un programa informático NIS-Elements (Nikon, Japan) y una cámara digital DXM 1200C (Melville, NY), realizándose un recuento de células en distintos campos con una magnificación de 200X. Los **resultados** obtenidos de la lectura de células PCNA (+) fueron: **A**) 53%; **B**) 62,6%; **C**) 0%; **CP**: 78%; **B**: 0%. **Conclusión**: la solución B (Medio DMEM, SBF, DMSO) fue la que mejor se comportó para criopreservar sustitutos de corion de mucosa bucal. Estos hallazgos corroboran los resultados obtenidos mediante distintas metodologías en estudios anteriores.

Financiado por FIS PI 080615

124**EVALUACIÓN HISTOLÓGICA CUALITATIVA DE LA RESPUESTA PULPAR AL DIAMINO FLUORURO DE PLATA EN ANIMALES EXPERIMENTALES: ESTUDIO PRELIMINAR**

Rossi G*, Mandalunis PM, Squassi A

Cátedra de Odontología Preventiva y Comunitaria y Comunitaria - Cátedra de Histología - Facultad de Odontología -

La utilización de solución de diamino fluoruro de plata ($F(NH_3)_2Ag$) como alternativa terapéutica orientada a la inhibición del proceso de caries ha adquirido mayor relevancia clínica. Sin embargo existe insuficiente evidencia respecto a la reacción de este tratamiento sobre el complejo dentino pulpar. **OBJETIVO**: Evaluar la respuesta pulpar a la exposición de una solución al 38% de $F(NH_3)_2Ag$ en cavidades dentinarias no expuestas. **MATERIALES Y METODOS**: Se realizó un estudio experimental in vivo sobre 12 ratas wistar macho (entre 290 a 350 g / 2 meses de vida). Los animales seleccionados fueron sometidos a anestesia profunda. La técnica fue estandarizada, en la fosa distal de la cara oclusal del primer molar inferior, realizando una cavidad amelodentinaria aproximadamente 0.5 mm de profundidad, con fresa de carburo $\frac{1}{4}$, a mediana velocidad en ambas hemiarquadas. Se aplicó la solución de $F(NH_3)_2Ag$ con cono de papel sobre el molar izquierdo, y como grupo control (sólo cavidad) el contralateral. Los animales se sacrificaron a los 7 días, se extrajeron los maxilares inferiores los cuales se fijaron en formol, se descalcificaron en EDTA y se procesaron histológicamente para la realización de cortes histológicos del primer molar inferior en sentido mesio distal. Los cortes fueron coloreados con hematoxilina-eosina y se realizó una evaluación histológica cualitativa de la pulpa dental en ambos grupos bajo microscopía óptica de campo claro. **RESULTADOS**: En el estudio histológico de los molares se observó: a) En el interior de los túbulos dentinarios de los molares tratados un precipitado de diamino fluoruro de plata. b) No se observaron cambios histológicos relevantes entre los molares tratados vs los molares no tratados. En ambos grupos la pulpa dental se observó bien organizada, con una importante vascularización y un leve infiltrado inflamatorio. En algunos molares tratados con diamino fluoruro de plata se observó un mayor espesor de preentina. **CONCLUSIÓN**: Este diseño experimental permite concluir que la aplicación de solución al 38% de $F(NH_3)_2Ag$ sobre cavidades no expuestas no altera en forma relevante la histología pulpar.

ESTUDIO HISTOLOGICO COMPARATIVO DE LOS MÚSCULOS MASTICADORES Y EL HUESO MANDIBULAR PRENATAL EN DISTINTOS MAMIFEROS

*VÁZQUEZ C1, CARRANZA V1, POLOP D1, RUGANI M3, FERRARIS ME2, CARRANZA M1,2
1Cátedra de Morfología Animal. Fac. Cs. Exac., Fís. y Naturales. 2Cátedra B de Histología y Embriología

OBJETIVO: En la etapa prenatal de mamíferos se establece un patrón morfológico para la biomecánica mandibular postnatal. Se estudió comparativamente el desarrollo del masetero y la mandíbula en fetos humanos, bovinos y porcinos con el propósito de establecer un patrón de maduración entre el tejido óseo y músculos asociados. **METODO:** Muestras de músculo masetero y mandíbulas de fetos bovinos, porcinos y humanos entre las 8 y 18 semanas de gestación, fueron fijadas en formol al 10% y procesadas para el análisis histológico, morfométrico e inmunohistoquímico. Los músculos fueron marcados con MyOD1 (dilución 1/50) y actina sarcomérica, dilución 1/25 (DAKO). En imágenes digitalizadas se midió: área superficial, transversal y diámetro de los músculos y de sus fascículos. **RESULTADOS:** El masetero de fetos humanos no varió en sus dimensiones, mientras que en bovino aumentó su tamaño en asociación directa con distintos sectores de la mandíbula, en especial el gonion. Este sector presentó el mayor grado de radiopacidad, y en los porcinos mostró osteoclastos y osteoblastos activos indicando evidentes signos de remodelación ósea. A los dos meses, la reactividad a la actina sarcomérica en las células musculares bovinas fue leve e incrementó con la edad de los ejemplares, siendo superior que en los fetos humanos de igual gestación. En humanos, las células inmunoreactivas a la actina sarcomérica presentaron tamaños diferentes, predominando las más pequeñas en los fetos de 18 semanas. El crecimiento mandibular mostró mayor asociación con el músculo temporal que con el masetero. El masetero expresó la MyOD, a igual que otros músculos masticadores inmunoreactivos. Las células del masetero reactivas a la actina exhibieron un crecimiento y maduración acorde con la edad gestacional y con la estructura mandibular a nivel de sus puntos de inserción. **CONCLUSION:** Se sugiere que el patrón de crecimiento y desarrollo prenatal del masetero en relación con sus sitios de inserción mandibular, es similar entre distintas especies de mamíferos con diferentes hábitos y mecanismos de alimentación.

Financiado por SECyT, UNC 159/09.

INCIDENCIA DE CARIES EN PACIENTES IRRADIADOS POR CÁNCER DE CABEZA Y CUELLO EN UN SERVICIO DE CÓRDOBA, ARGENTINA

* Blanc Federico, Morelato R, Bolesina N, Belardinelli P, Mentasana G, Herrera G, Fernández E, López SA
Cát. de Clínica Estomatológica B FOUNC-Servicio de Oncohematología, Hospital Nacional de Clínicas

Introducción: Los tratamientos empleados para controlar el cáncer de Cabeza y Cuello (C y C) en particular radioterapia y quimioterapia, impactan negativamente dando origen a complicaciones bucales. Entre las más frecuentes se encuentran la mucositis oral y la hiposalivación, que conlleva un número importante de síntomas tales como disfagia, dificultad para hablar, xerostomía cambios en la microflora, provocando así caries y enfermedad periodontal. El **objetivo** del presente trabajo fue estudiar la incidencia de caries en una serie de casos de cáncer de C y C, en los cuales la cavidad bucal fue incluida en el campo de irradiación. Se relacionó con sexo, edad, localización, dosis de radiación, consumo de tabaco, alcohol, nivel de higiene bucal. **Material y Métodos:** El presente es un estudio descriptivo retrospectivo de historias clínicas de pacientes con carcinoma a células escamosas de C y C, concurrentes al comité de tumores del Hospital Nacional de Clínicas en el período 2003-2010. Se consideró: incidencia de caries (índices CPOD y de diente sano), localización y estadio del tumor, nivel de higiene bucal, dosis de radiación. Se calculó OR para nivel de higiene, dosis de radiación, tabaco y alcohol. **Resultados:** Se analizaron 25 pacientes de los cuales siete fueron excluidos del estudio (4 desdentados y tres sin seguimiento). De los 18 pacientes: 12 (67%) fueron de sexo masculino, relación M:F 2:1, la edad media fue 55 y el rango 34-77 años. El 72% de los pacientes se presentó en estadio IV. El 75% de los hombres y el 33% de las mujeres desarrollaron caries en menos de dos años de finalizada la Radioterapia. El 88% de los que desarrollaron caries, recibieron más de 8000cGy (OR 12) y todos tuvieron mal control de placa. No se encontró relación con el consumo de tabaco y se obtuvo un OR de 2,6 para el consumo de alcohol. **Conclusiones:** Se evidencia la necesidad de implementar protocolos preventivos a fin de minimizar los efectos deletéreos del consumo de alcohol y la mala higiene dental para reducir la frecuencia de las complicaciones dentarias a causa de tratamientos oncológicos.

SECYT 2010

127

GEL DE DIGLUCONATO DE CLORHEXIDINA AL 0,12% PARA LA PREVENCIÓN DE ALVEOLITIS.

*Alcazar V, Gilligan J M, Ulfhon A.
Facultad de Odontología de Córdoba

La alveolitis es un riesgo mediato post-extracción, producida por el desprendimiento, fragilidad y lisis del coágulo. Debido a que su etiopatogenia es desconocida y su origen multifactorial, la principal arma terapéutica es la prevención, en este sentido la clorhexidina en colutorio ha sido ampliamente estudiada. Su presentación en gel posibilita nuevas líneas de investigación debido a que permite una acción más directa y prolongada de la droga en la zona donde es aplicada.

Objetivo General: Evaluar la eficacia del gel de clorhexidina al 0,12% en la prevención de la alveolitis. **Objetivos Específicos:** A) Establecer la acción profiláctica del gel de digluconato de clorhexidina al 0,12% en la prevención de la alveolitis post-extracción del tercer molar inferior erupcionado, comparando los datos entre el grupo control y el experimental. B) Establecer si el género incide en el resultado de la aplicación del gel de digluconato de clorhexidina al 0,12%.

Métodos: Presentamos un estudio clínico, con una muestra de 45 pacientes, que concurren espontáneamente a los consultorios de la Cátedra de Cirugía II"B" requiriendo la extracción de un tercer molar inferior erupcionado. Quedaron conformados así un grupo de estudio con 24 pacientes (11 mujeres y 13 hombres) a los que se les aplicó post-extracción el gel de clorhexidina al 0,12% , de una sola vez, y un grupo control de 21 (10 mujeres y 11 hombres).

Resultados: En el grupo de control la tasa de incidencia de alveolitis fue del 4,7% frente al grupo experimental donde ningún paciente desarrolló el cuadro. No obtuvimos ninguna diferencia entre géneros en el grupo experimental.

Conclusión: Como logro fundamental podemos mencionar la búsqueda de una nueva medida profiláctica sencilla y simple de la alveolitis con un producto de nuestro medio al alcance del odontólogo para ser aplicado en extracciones realizadas en pacientes con algún factor de riesgo que predisponga a la instalación del cuadro.

128

EFECTO DE LA HIPOSIALIA POR SUBMANDIBULECTOMÍA EN UN MODELO DE REPARACIÓN ÓSEA EN RATAS

Amer MAR*1, Sivak MG2, Elverdín JC4, Guglielmotti MB2, Vacas MI3
Facultad de Odontología, Universidad de Buenos Aires.

La saliva preserva a los tejidos duros y blandos de la cavidad bucal a partir de sus componentes inmunológicos, antiinflamatorios, antioxidantes, remineralizantes, amortiguadores del pH, entre otros. La saliva también contiene componentes endócrinos tales como hormonas y factores de crecimiento que participan en el mantenimiento de las funciones del estómago, de la mucosa bucal y esofágica. **OBJETIVO:** Evaluar el efecto de la hiposialia por ablación bilateral del complejo glandular submandibular-sublingual (GSMx) en la reparación alveolar post exodoncia en ratas. **MATERIALES Y MÉTODOS:** Se utilizaron 20 ratas Wistar macho de 60±10 g a las que bajo anestesia general se les realizó la exodoncia del primer molar inferior siguiendo una técnica previamente descrita (Guglielmotti et al. J. Oral Maxillofac. Surg. 43:359, 1985). Los animales fueron divididos en dos grupos: Grupo experimental (GE, n=10) se realizó la exodoncia y la GSMx. El grupo control (GC n=10) luego de la extracción dentaria se le practicó la exposición quirúrgica de las glándulas sin extirpación. Los animales fueron sacrificados a los 14 días post-exodoncia. Se siguieron las directivas del National Institutes of Health (NIH Publication No 85-23, Rev. 1985). Los maxilares fueron resecados, radiografiados y procesados para su inclusión en parafina. Se realizaron cortes histológicos del alveólo mesial orientados en sentido vestibulo-lingual los que fueron coloreados con hematoxilina y eosina para su estudio histológico. **RESULTADOS:** Se observó en ambos grupos la presencia de hueso reticular ocupando la totalidad de los alvéolos. En el GE se evidenció que las características del tejido óseo neoformado se asemejaban en su volumen a un control con 21 días post-extracción, basado en nuestra experiencia con este modelo experimental. Además se observó un marcado remodelado óseo y mayor proporción de osteoclastos inactivos. **CONCLUSION:** A los 14 días postexodoncia se evidenció un aumento del volumen óseo y cambios en la histoarquitectura del hueso reticular en los animales con hiposialia, posiblemente relacionados a la alteración de la prostaglandina E descrita en estudios previos.

Subsidios: UBACYT 0007 y UBACYT 0009

EXACTITUD DEL METODO DE DEMIRJIAN'S Y WILLEMS EN LA ESTIMACION DE LA EDAD CRONOLOGICA

Aragón HN, Wuscovi LF, Gordillo ME, López ME. Facultad de Odontología. Universidad Nacional de Tucumán. Av. Benjamín Aráoz 800. CP.4000. S. M. Tucumán

El desarrollo dental es ampliamente usado para estimar la edad cronológica, para lo cual existen varios métodos. Uno de ellos el de Demirjian, aplicado en niños franco-canadienses, y el de Willems, adaptado a partir del primero a niños belgas. **Objetivo:** El objetivo de este estudio fue de determinar la exactitud del método de Demirjian, y el de Willems en la determinación de la edad cronológica a través del grado de calcificación dental, en una población de San Miguel de Tucumán. **Método:** Se seleccionaron al azar 33 niños que acuden para estudios radiológicos previos al tratamiento odontológico integral, de los cuales 16 fueron femeninos y 17 masculinos, en un rango de edades entre 4 a 12 años. A cada uno le fueron realizadas radiografías panorámicas y las imágenes fueron digitalizadas. El método de Demirjian utiliza puntuaciones según el grado de calcificación de los siete dientes permanentes mandibulares del lado izquierdo. A partir de dichas imágenes se calculó luego, a partir de tablas, la edad dental. El método de Willems adapta la escala de puntuaciones del método de Demirjian directamente en años. Ambos métodos lo hacen tanto para niños como para niñas. La edad cronológica fue obtenida entre la fecha de nacimiento y la fecha del estudio. El análisis de la edad cronológica con relación a la edad dental obtenida con Demirjian, y la obtenida con Willems, fue realizado con el test T pareado con el paquete estadístico SPSS. **Resultados:** para niños: no hubo diferencias significativas ($p > 0,05$) entre la edad cronológica y la edad estimada con ambos métodos. Con Demirjian se sobrestima la edad cronológica ($x = 0,14 \pm 1,66$); con Willems se la subestima ($x = -0,02 \pm 1,60$). Resultados para niñas: No hubo diferencias significativas ($p > 0,05$) entre la edad cronológica y la edad estimada con ambos métodos, los cuales sobrestiman la edad cronológica; Demirjian ($x = 0,30 \pm 1,11$), Willems ($x = 0,04 \pm 1,59$). **Conclusión:** de acuerdo a los resultados obtenidos en la muestra seleccionada, ambos métodos para estimar la edad cronológica a través de la calcificación dental observada en imágenes radiográficas pueden ser empleados. Sin embargo, entre ellos, se alcanzaría mayor exactitud con el método de Willems tanto en niños como en niñas.

EDAD ÓSEA Y EDAD DENTARIA EN PACIENTES TRATADOS CON HORMONA DE CRECIMIENTO

Auad, MD1, Avellaneda RR1, *Aragón, HN1, Bazán, MC2, Gordillo M.E1, López, ME1. 1 Facultad de Odontología-UNT

La hormona de crecimiento estimula la síntesis de proteínas, multiplicación, diferenciación celular, ejerciendo parte de sus efectos con sustancias intermedias, las somatomedinas. Se ha estudiado la relación entre maduración ósea, dental y erupción antes de la administración de hormona de crecimiento, pero no está claro si el déficit influye sobre esos parámetros dentarios. **Objetivo:** Determinar la relación entre edad ósea y dentaria a través del grado de calcificación de gérmenes dentarios permanentes y grado de mineralización de huesos de mano y muñeca en niños tratados con hormona de crecimiento. **Método:** Se seleccionaron pacientes del Hospital del Niño Jesús, ambos sexos, entre 7 y 13 años, tratados con hormona de crecimiento. Las radiografías dentales fueron tomadas con equipo radiográfico Panoramic X-Ray System (Vatech) y se digitalizaron las imágenes. Edad ósea: se compararon las imágenes radiográficas con Atlas de Grewlich y Pyle. Edad dental: se estudió la calcificación de los elementos permanentes presentes en la hemiarcada inferior izquierda, (Demirjian). Edad cronológica se obtuvo entre la fecha de nacimiento y estudio. Grupo control: niños sin retardo de crecimiento y buen estado de salud. Los valores se analizaron estadísticamente con prueba T pareada mediante el programa SPSS. **Resultados:** El análisis de la edad ósea con relación a la edad cronológica en niños tratados con hormona de crecimiento mostró diferencias significativas ($p < 0,001$). Hubo discrepancia negativa de 2,1 años de edad ósea respecto a edad cronológica. El análisis de edad dental con relación a la edad cronológica de los niños tratados mostró diferencias significativas ($p < 0,05$). La discrepancia visualizada entre ambas edades fue de 1,1 años de la edad dental con relación a la edad cronológica. **Conclusiones:** La radiografía carpal evidenció mejor el retraso madurativo óseo de los niños tratados con hormona de crecimiento que aquél encontrado a partir de la calcificación de elementos permanentes, para determinación de la edad dentaria. Palabras clave: hormona de crecimiento, edad dental, edad ósea

VALOR PREDICTIVO DE LA EDAD CRONOLÓGICA A PARTIR DE MEDICIONES EN MOLARES TEMPORARIOS

Aragón, HN1, Avellaneda RR1, Singh F1, Ibáñez R, Fernández P1, Gordillo, ME1
1Facultad de Odontología, Universidad Nacional de Tucumán

Estudios anteriores han utilizado etapas fraccionarias de la formación del diente para construir estándares de crecimiento convenientes de envejecimiento esquelético. Una alternativa simple para determinar la edad dental es medir la longitud del diente a través del desarrollo. El **objetivo** de este trabajo fue evaluar la predicción de la edad cronológica en niños a través de variables numéricas medidas en molares temporarios inferiores. **Método:** La muestra seleccionada consistió en niños de ambos sexos 19 varones y 22 mujeres, elegida al azar a partir de 150 fichas de la Cátedra de Odontopediatría FOUNT (2005/07/09). A cada uno de los niños le fueron tomadas radiografías retroalveolares estandarizadas de primeros y segundos molares temporarios inferiores. Se seleccionaron 18 primeros molares y 20 segundos molares de niños, y 37 primeros molares y 45 segundos molares de niñas. Posteriormente las imágenes se escanearon y utilizando un software para imágenes (Imagen Tool versión 3 para Windows) se midió la distancia desde la cúspide mesial del primero y segundo molar hasta la punta del ápice radicular. La edad cronológica fue calculada entre la fecha de nacimiento y la fecha de realizada la radiografía. Los datos de las variables se volcaron en un paquete estadístico, donde la edad cronológica fue tomada como variable dependiente, y las mediciones realizadas en ambos molares como variable independiente. Se aplicó el test de regresión lineal. **Resultados:** En el primer molar temporario de niños, el coeficiente de determinación de las mediciones con relación a la edad cronológica fue $R=0,017$, obteniéndose resultados similares para el segundo molar ($R=0,050$). En el primer molar de niñas el coeficiente de determinación fue $R=0,12$, con resultados similares para el segundo molar temporario inferior ($R=0,18$). **Conclusión:** Las mediciones efectuadas en primeros y segundos molares temporarios inferiores, seleccionados en este estudio, tanto para niños como para niñas, revelaron muy bajo nivel de predicción de la edad cronológica. Sin embargo, en estudios posteriores, se podría analizar el comportamiento de estas mediciones en otros elementos dentarios temporarios.

EOSINOFILOS PUEDEN PREDECIR METÁSTASIS LINFONODALES OCULTAS EN CÁNCER ORAL INICIAL

*Biassi TP, Oliveira DT, Faustino SES, Wang L, Carvalho, AL, Landman G, Kowalski LP
Dept .de Estomatología, Facultad de Odontología de Bauru – USP, Brasil; Fundación Pio XII,
Hospital de Cáncer

OBJETIVO: El propósito de este estudio fue determinar si la eosinofilia tisular asociada al tumor (TATE) puede ser un factor predictivo para determinar metástasis linfonodales ocultas en pacientes clínicamente cuello negativo (cN0) con carcinoma epinocelular inicial.

MÉTODOS: Fueron seleccionados setenta y un pacientes bajo disección selectiva de cuello para carcinoma epinocelular oral (CEC) en estadios T1 y T2 en el Departamento de Cirugía de Cabeza, Cuello y Otorrinolaringología, Hospital de Cáncer A.C. Camargo, Brasil, desde 1977 a 2005, para análisis de las características clínicas, pronóstico y la TATE. Dos grados de eosinofilia tisular fueron establecidos en CEC: ausente/moderada e intensa. La TATE fue evaluada en relación a las características clínico-patológicas y al valor pronóstico usando el test chi cuadrado y el método de Kaplan-Meier.

RESULTADOS: No fue detectada asociación estadísticamente significativa entre TATE y los parámetros clínico-patológicos (incluyendo género, grupo étnico, edad, localización del tumor, estadio T, embolización sanguínea o linfática e infiltración perineural, muscular y de glándulas salivares). La mayoría de pacientes con CEC y metástasis linfonodales ocultas presentaron significativamente intensa eosinofilia tisular ($p=0.004$). La TATE no mostró valor pronóstico para índices de supervivencia global libre de enfermedad de 5 y 10 años de pacientes con CEC. El test log-rank para supervivencia libre de enfermedad regional demostró que la TATE fue fuertemente correlacionada con recurrencia local. Pacientes con CEC e intensa TATE tuvieron un riesgo significativamente mayor ($p=0.009$) para desarrollar recurrencia en el cuello que aquellos con ausente/moderada TATE.

CONCLUSIÓN: Los resultados sugieren que la intensa TATE puede ser clínicamente usada como un factor predictivo de metástasis linfonodales ocultas y un marcador histopatológico auxiliar para reforzar la indicación de disección selectiva de cuello de pacientes con CEC inicial.

Este estudio fue patrocinado por la FAPESP (Fundação de Amparo à Pesquisa do Estado de São Paulo, #2009/10770-2 y #2007/04907-0)

133

CARACTERIZACIÓN FENOTÍPICA Y ALTERACIONES DEL EXON 2 MSX1 DE FAMILIAS CON PACIENTES CON FISURA ORAL

Bolesina M1, Sorokin S1, Moncunill I1, Barra JL2, *Brunotto M1

1Facultad de Odontología, 2Facultad Ciencias Químicas-CONICET, Universidad Nacional de Córdoba

Las fisuras orales presentan una frecuencia de 1:600 nacimientos en América del Sur. Esta patología es el resultado de interacciones entre un número variable de genes y el medio ambiente. Uno de los genes, que está implicado en la formación del plano corporal en el embrión, es el MSX1, que también participa en patologías como las agenesias dentarias.

El **objetivo** de este trabajo fue caracterizar las condiciones medio ambientales, fenotípicas y alteraciones del exón 2 del gen homeótico MSX-1 de familias con niños con fisura oral.

Métodos. Se estudiaron 9 familias con niños con fisura de labio/palatina (FLP) y palatina (FP). Se extrajo ADN desde células de mucosa oral de los niños con FLP/FP y de uno de sus padres. Se amplificó y secuenció el exón 2 del gen MSX1 (E2-MSX1). Además se completó una ficha clínica (edad, antecedentes hereditarios, genograma, lugar de trabajo, residencia de los últimos 5 años). Se aplicó un análisis exploratorio de correspondencias.

Resultados. La edad media de los padres fue de 31 a 38 años. Un 33% tenían trabajos con exposición a sustancias nocivas-tóxicas. Del total de niños y padres, un 35 % y un 57%, respectivamente, presentaron mutaciones en E2-MSX1. Los cambios de bases fueron A>G, C>G, T>C, A>C, G>A, siendo el más frecuente-26,6%-el cambio de base T>C en padres con niños con FLP. En el análisis de correspondencia se observaron agrupaciones entre la presencia de FLP, con niños de sexo masculino, medicación de la madre en el primer trimestre del embarazo y alteraciones en el niño con fisura en el E2-MSX1.

Conclusión. A pesar de ser una patología compleja es notorio que en una muestra pequeña un porcentaje considerable de niños y padres presentaron mutaciones en el gen homeótico MSX1, por lo cual podemos concluir que este gen influye en el embrión en la formación de la fisura oral (*Premio Cotta Ramusino-SAIO 2008*).

134

CARACTERÍSTICAS GENO-FENOTÍPICAS COMO PREDICTORES DE RIESGO DE MALIGNIDADEN CITOLOGÍAS BUCALES

Zarate AM, Brezzo M, Secchi D, Dericia J, Lazos J, Barra JL, Brunotto M *

Facultad de Odontología

Objetivo: Evaluar cambios genotípicos y fenotípicos en células epiteliales de mucosa oral y fenotipos clínicos de pacientes con lesiones potencialmente malignas (LOP) y malignas (LM), para construir un modelo con factores de riesgo que permitan una predicción temprana de transformaciones malignas.

Métodos: Se estudió una población (n=20) de ambos sexos, entre 23-84 años. Se extrajeron muestras de mucosa oral por citología exfoliativa con cepillo cytobrush (Medisul, Argentina). Se realizó morfometría (utilizando programa Image Proplus 2000 y Autocad 2000) y análisis de mutaciones del gen TP53 (por PCR) en dichas muestras. Se completó Historia Clínica y se realizó examen clínico del paciente. 10 pacientes presentaron DOPM: leucoplasia oral n=4, liquen plano n=6; los 10 pacientes restantes presentaron carcinoma espinocelular, diagnosticados según criterio anatomopatológico. Considerando el concepto multifactorial del cáncer se aplicaron métodos multivariados para el análisis de los datos. Reglas de clasificación fueron obtenidas por aplicación de árbol de regresión/clasificación. A partir de estas reglas de clasificación y de todas las variables se construyeron modelos logísticos (A, B y C). La precisión de los modelos fue evaluada por el área bajo la curva ROC, calculada con las probabilidades obtenidas para cada modelo.

Resultados: Las reglas de clasificación obtenidas con el árbol de regresión/clasificación mostraron que el hábito de fumar y la presencia de mutaciones fueron los factores más relevantes. La precisión de los modelos A y B fue del 53-56% respectivamente, para clasificar a los pacientes. En tanto, el modelo C, que incluía a todas las variables, presentó una precisión del 85%.

Conclusión: la baja precisión de los modelos con variables seleccionadas por ARC nos permite concluir que no es recomendable seleccionar variables cuando se trabaja con patologías complejas en donde genotipo y fenotipo están altamente ligados.

Objetivo: Síndrome de Sjögren (SS) es una enfermedad autoinmune que produce xerofthalmía y xerostomía además de alteraciones a nivel sistémico. La hiposalivación obedece a múltiples factores, por lo que el diagnóstico definitivo es controvertido. El objetivo del presente trabajo fue evaluar cambios en la mucosa bucal a través de citologías exfoliativas(CE) y por impresión(CI), que permitan un diagnóstico presuntivo y no invasivo del SS.

Métodos: 50 pacientes apareados por sexo y edad. fueron distribuidos en los siguientes grupos experimentales: Controles sanos (C), Boca seca y Ojo seco sin síndrome de Sjögren (BO), Síndrome de Sjögren primario (SSp) y SS secundario (SSs). La toma de las muestras para (CI) se realizó con papel de acetato de celulosa (Milipore Hawp 304). Para (CE) la toma de células del surco vestibular superior se realizó con cepillo recolector citológico y se tiñó con la técnica PAP El análisis para el diagnóstico incluyó una valoración morfológica e histomorfometría: área del citoplasma (AC), área del núcleo (AN), relación núcleo-citoplasma (N/C) y cantidad de células por campo.

Resultados: Ambas técnicas nos permitieron observar en C células epiteliales pavimentosas aisladas, 20 a 30/mm², regulares en tamaño y basófilas, núcleos centrales pignóticos y con una (N/C): 1/8. En BO, células aisladas, agrupadas y plegadas, con citoplasma eosinófilo y cianófilo, sin alteraciones nucleares, con una N/C 1/4. En pacientes con SS, se observó un aumento estadísticamente significativo ($p < 0.001$) del número celular (400 células/mm²) y el AN mientras el AC disminuye con una NC= 1/2

Conclusión: se corroboraron las virtudes en la técnica por impresión en comparación con la citología exfoliativa, por ser no invasiva, permite diseñar el tamaño del frotis, mantiene la morfología de las células, y observamos otros componentes celulares como los inflamatorios. Se registraron diferencias cualitativas y cuantitativas en SS, que podrían ser utilizadas como un marcador de aproximación diagnóstica ante un paciente con xerostomía.

El objetivo de este estudio fue determinar la práctica de los odontólogos del servicio público de salud de Anápolis, GO, para orientar al paciente fumante a dejar el tabaquismo. Fueron entrevistados los odontólogos del servicio público de salud del municipio de Anápolis, GO. Respondieron un cuestionario sobre: el registro de las informaciones del consumo de tabaco de sus pacientes en la historia clínica odontológica; procedimientos realizados para controlar y dejar el tabaquismo; cual es su posición frente a la perspectiva de actuar junto al equipo de salud en el combate al tabaquismo en sus pacientes; y su perfil de tabaquismo. De los 36 odontólogos que respondieron el cuestionario, 88,88% le preguntaron a sus pacientes sobre los hábitos de tabaquismo, 86,12% anotaron esas informaciones en la historia clínica odontológica y 94,45% trabajaron en locales donde no es permitido fumar en la sala de espera. Sobre las orientaciones a los pacientes fumadores, 97,22% de los odontólogos orientan a sus pacientes sobre los efectos adversos del cigarro a la salud bucal y 58,33% les recomiendan que dejen de fumar. Sin embargo, apenas 10,56% de los odontólogos proporcionan material de autoayuda a los pacientes fumadores que quieren dejar el tabaquismo, 19,44% los estimulan a marcar el día cuando van a dejar de fumar y los acompañan en esta lucha, 22,22% los direccionan al servicio especializado, y 27,78% no los orientan sobre el tabaquismo. A pesar de que los entrevistados tienen plena conciencia de que es un papel importante del odontólogo orientar a sus pacientes sobre el tabaquismo y los daños que causa a la salud; y una mayoría significativa realiza actividades con esta finalidad, no se consideran altamente preparados para actuar en esta área.

137**ESTUDIO IMAGENOLÓGICO DE: “LESIONES ÓSEAS EXPERIMENTALES DEL SECTOR POSTERIOR EN MANDÍBULAS HUMANAS CADAVERÍCAS CON RADIOVISIOGRAFÍA (RVG) Y ORTOPANTOMOGRAFÍA”**Duarte*, S. Martínez, J. Olmedo, L. Poletto, A. Giménez, E.
UNC Facultad de Odontología

El área periapical del hueso es la zona donde se observa la mayor parte de las patologías que encontramos en la práctica odontológica. El objetivo de este trabajo fue provocar lesiones experimentales en la cortical alveolar y en el hueso esponjoso mediante fresas de diámetro conocido, para valorar su expresión radiológica en el sector posterior de la mandíbula, empleando RVG y ortopantomografía. Se seleccionaron 30 mandíbulas con características anatómicas normales. Se extrajeron con movimientos digitales los elementos dentarios de sus alvéolos. Se practicaron lesiones óseas experimentales con fresas de 1, 2 y 3mm de diámetro en la cortical alveolar y medular ósea mandibular a la altura del ápice y se reimplantaron las piezas en sus alvéolos. A cada mandíbula se la ubicó sobre un dispositivo ad-hoc para la obtención de imágenes reales, que permitieran realizar dos estudios radiográficos, a saber: a) Radiovisiografía (RVG) a 30cm y b) Ortopantomografía. Para el análisis estadístico de los resultados, se emplearon el test “U” de Mann Whitney. Se pudo determinar que en la radiovisiografía las perforaciones de la cortical alveolar y esponjosa con fresa de 1mm considerando todas las herramientas disponibles del sistema software los resultados fueron significativos $P < 0,002$, $P < 0,001$. en el 100 %. La ortopantomografía no fue favorable cuando la perforación de la cortical alveolar y las lesiones en esponjosa tuvieron menos de 2 mm de diámetro 0% y fue evidenciable en un 100% con fresa de 3mm.

De los dos métodos radiográficos utilizados, la radiovisiografía a 30 cm. fue exitosa para visualizar las perforaciones de 1, 2 y 3 mm de diámetro tanto en cortical alveolar como las lesiones en esponjosa. En tanto la ortopantomografía solo evidenció perforaciones y lesiones mayores de 2mm en ambas estructuras ósea como imagen definida.

138**ANTÍGENO PROSTÁTICO ESPECÍFICO (APE) EN SUERO DE PACIENTES PORTADORES DE TUMORES DE GLÁNDULAS SALIVARES**

*Escandriolo Nackauzi J, Colla R, Ruggieri M, Gaido I, Bertolotto P, Actis A. Hospital Privado-Centro Médico de Córdoba. Facultad de Odontología y CONICET-Instituto de Biología Celular

Las glándulas salivales y la próstata son órganos hormono-dependientes que estarían asociados en tumorigénesis. En este sentido, pacientes portadores de neoplasias prostáticas tendrían mayor riesgo de desarrollar tumores salivales y viceversa. **OBJETIVO:** El propósito de este estudio preliminar fue analizar los valores de APE sérico en pacientes portadores de tumores de glándulas salivales para el diagnóstico precoz de segundos tumores primarios en próstata. **MÉTODOS:** Participaron 71 sujetos de sexo masculino y 29-79 años de edad, distribuidos en: 9 con diagnóstico reciente de tumores benignos y malignos de glándulas salivales (TGS), 19 con tumores benignos y malignos de próstata (TP) y 43 sin diagnóstico de tumores, a modo de control (C). Se obtuvieron muestras de suero para analizar APE mediante técnicas de electroquimioluminiscencia. Los valores, expresados en ng/ml, fueron comparados mediante el test no paramétrico de Kruskal Wallis. Se consideraron, además, variables tales como volumen prostático (en TP: <40 g, 40-80 g, >80 g), edad (en TGS: <40 y >40 años), presencia o ausencia de enfermedades sistémicas, administración de medicamentos y consumo de tabaco y alcohol. **RESULTADOS:** Se hallaron los siguientes valores medios de APE sérico: 1.27 (TGS), 4.77 (TP) y 1.94 (C). Se observaron diferencias estadísticamente significativas al comparar APE entre TGS y TP ($p=0.03$) y entre TP y C ($p=0.03$). No se hallaron diferencias significativas ($p>0.05$) al comparar APE entre TGS y C, entre TGS benignos y malignos y entre TP benignos y malignos. Tampoco se hallaron diferencias significativas ($p>0.05$) al analizar APE sérico según volumen prostático (TP), edad (TGS), enfermedades sistémicas, administración de medicamentos, consumo de alcohol y tabaco tanto en TGS como en TP. **CONCLUSION:** Los valores de APE hallados en este estudio preliminar sugerirían la ausencia de patología prostática en pacientes con TGS. No obstante, es necesario continuar investigando en un mayor número de sujetos.

Subsidiado por Secretaría de Ciencia y Tecnología. Universidad Nacional de Córdoba. Res. N° 123/04, 197/05, 162/06, 069/08 y Ministerio de Ciencia y Tecnología-Provincia de Córdoba Res. N°121/08. Córdoba, Argentina.

139**IMPLICANCIA DEL PROCESAMIENTO EN LA MEDICIÓN DE LA DISTANCIA EUCLIDEA ENTRE PUNTOS EN IMÁGENES DIGITALES INDIRECTAS DE USO ODONTOLÓGICO**Flesia.G*, Gimenez.E, Flesia.AG
Catedra Tecnica Radiologica "A" Facultad De Odontologia UNC.

El **objetivo** de este trabajo fue comparar mediciones obtenidas sobre digitalizaciones indirectas de imágenes radiográficas, resolución espacial de 600 DPI y procesadas por tres métodos: A) Filtro de la mediana, B) Inversión matemática y C) Ecuilibración del histograma.

Los procesamientos fueron elegidos por su capacidad para mejorar el reconocimiento visual de los puntos entre los cuales se calcula la distancia Euclidea. Dichos procedimientos producen una distorsión no apreciable visualmente, pero que es de esperar se refleje luego en las mediciones realizadas.

Para cuantificar esta distorsión, se seleccionaron 20 imágenes aleatoriamente de un grupo de 100 imágenes obtenidas con procedimientos estándares, generando una database de 80 imágenes total, dado que por cada imagen control se tienen tres imágenes procesadas. En dichas imágenes se midió la distancia interconexión amelodentinaria proximal, usando la técnica de búsqueda del píxel representativo con las herramientas del toolbox de imágenes del software MATLAB.

La comparación de los cuatro grupos de mediciones se realizó con el test ANOVA no paramétrico de Friedman, obteniéndose diferencias significativas entre las mediciones en las imágenes de la database. Sin embargo, las comparaciones simultáneas derivadas del test de Friedman (rango medio, dos a dos) evidenciaron la modificación de las características estadísticas de las mediciones en las imágenes ecualizadas, con respecto a los otros procesamientos y el control. No hay diferencias significativas entre las mediciones provenientes de las imágenes filtrada e invertida, con el control.

Como **conclusión** preliminar puntualizamos que el filtro de mediana produce una mejoría visual sustancial de la imagen a medir, sin producir distorsiones estadísticamente significativas, mientras que la ecualización por histograma produce distorsiones más severas.

140**ESTUDIO COMPARATIVO DE IMÁGENES EN SOPORTE DIGITAL Y CONVENCIONAL EN LESIONES ÓSEAS EXPERIMENTALES DEL SECTOR POSTERIOR EN MANDÍBULAS HUMANAS CADAVERICAS**Flesia. G*, Calvimonte.C, Olmedo.A, Poletto.A, Giménez.E.
UNC Facultad de Odontología

El objetivo de este trabajo fue provocar lesiones experimentales en la cortical alveolar y en el hueso esponjoso mediante fresas de diámetro conocido, para valorar su expresión radiológica en el sector posterior de la mandíbula, empleando técnica paralela con películas radiográficas convencionales y sensor digital RVG. Se seleccionaron 30 mandíbulas con características anatómicas normales a las que se les extrajeron, con movimientos digitales de lateralidad, los elementos dentarios de sus respectivos alvéolos. Se practicaron lesiones óseas experimentales con fresas de 1, 2 y 3mm de diámetro en la cortical alveolar y medular ósea mandibular, a la altura del ápice para luego reimplantar las piezas en sus alvéolos. A cada mandíbula se la ubicó sobre un dispositivo ad-hoc para la obtención de imágenes reales, que permitieran realizar dos estudios radiográficos, a saber: a) Técnica paralela a 30cm con película y b) Técnica paralela a 30cm con sensor RVG. Para el análisis estadístico de los resultados, se empleó el test "U" de Mann Whitney. Se pudo determinar que en la técnica con película las perforaciones de la cortical alveolar con fresa de 1mm fueron observables en el 30,76 %, con fresa de 2 y 3mm en el 100 %. Las cavidades en esponjosa con fresa de 1mm fueron observables en un 38,46%, con fresa de 2mm en el 92,30% y con fresa de 3mm en el 100% de los casos. La técnica con sensor digital aplicando software permitió observar las lesiones iniciales de 1mm, 2mm y 3mm tanto en esponjosa y cortical, siendo su herramienta inversa la más significativa.

De los dos métodos radiográficos utilizados, la técnica con película fue exitosa para visualizar las perforaciones de 2 y 3 mm de diámetro tanto en cortical alveolar como las lesiones en esponjosa. En tanto la técnica con sensor digital evidenció perforaciones y lesiones de 1, 2 y 3 mm en ambas estructuras óseas como imagen definida.

141

EFFECTO DEL HIDRÓXIDO DE CALCIO EN LA NEOFORMACIÓN ÓSEA EN ALVEOLOS POST EXTRACCIÓN. ESTUDIO EXPERIMENTAL

*Gait MT (1), Díaz A (2), Fontana S (3), Plavnik LM (3), Malberti A(3)

1- Cát. de Ortodoncia B, 2- Cát de Cirugía III, 3-Cát de Histología A., Facultad de Odontología UNC,

En SAIO 2009 demostramos que el hidróxido de calcio en cavidades previamente talladas en tibia de ratas aceleraba y promovía la regeneración ósea, mejorando la densidad del hueso neoformado cuando se comparaba con los controles. Estos cambios fueron corroborados mediante mediciones en radiografías de los maxilares densidades ópticas por diferencia de colores.

Objetivos: Estudiar el efecto del hidróxido de calcio en la reparación ósea en alveolos de ratas post extracciones.

Materiales y Métodos: Se utilizaron ratas Wistar de ± 100 g de peso corporal. Los animales fueron anestesiados y se les realizó la extracción de ambos primeros molares inferiores. En todos los casos en los alveolos del lado derecho (Grupo experimental) se colocó hidróxido de calcio purísimo en polvo y los del lado izquierdo se utilizaron como controles (Grupo control). A los 30 días post extracciones los animales fueron sacrificados y cada hemimaxilar se radiografió. Las placas obtenidas se escanearon y se analizaron con un programa Image Pro Plus versión 4.2. Se midió densidad óptica y densidad de grises. Los resultados se analizaron estadísticamente con el método no paramétrico de Mann Whitney.

Resultados: los datos obtenidos nos indicaron que no existían diferencias estadísticamente significativas entre los grupos experimentales y controles en los dos tipos de mediciones realizadas.

Conclusiones: El hidróxido de Calcio en estas condiciones experimentales no demostró mejorar ni la cantidad ni la calidad del hueso maxilar neoformado en comparación con sus controles.

142

PREDICCIÓN DE LESIONES POTENCIALMENTE MALIGNAS Y MALIGNAS A TRAVÉS DE VARIABLES CLÍNICAS Y MICOLÓGICAS EN PACIENTES ADULTOS*

*Gilligan G, Secchi D, Panico R, Calamari S, Barembaum S, Scatena G, Castillo G, Sotomayor C; Azcurra A.

Cátedras de Química Biológica "B", Biología Celular "A" y Clínica Estomatológica "A" Facultad de Od

La displasia celular puede ser indicativa de un paso temprano hacia la transformación a una neoplasia. En este sentido, la presencia de *Candida* en lesiones estomatológicas ha sido asociada como factor de riesgo.

Objetivo: Evaluar la predicción del diagnóstico en lesiones potencialmente malignas y malignas en relación a variables clínicas y micológicas en pacientes adultos.

Métodos: Estudio transversal en pacientes adultos (n=29; 23 a 82 años). Los datos se recolectaron mediante historia clínica, examen clínico, diagnóstico presuntivo confirmado por anatomía patológica, clasificando las lesiones como cáncer CA y lesiones potencialmente malignas con y sin displasia PMCD y PMSD. Se analizó examen directo de la lesión y se aislaron e identificaron las especies *Candida*. Se construyó un modelo de regresión ordinal (cumulative probability) con función de enlace log-log complementaria, considerando como variable dependiente "diagnóstico" y como predictoras categóricas: género (masculino/femenino), examen directo (levadura/levadura & hifas), edad ($</>45$ años), lipasa (positiva/negativa), tiempo de evolución de la lesión ($</>1$ año), $p \leq 0,05$.

Resultados: Del total de pacientes estudiados, un 48% presentó PMSD, 28% PMCD y 24% CA. En CA fue notorio el alto porcentaje de varones (85%). La especie *C. albicans* se observó en un mayor porcentaje en los pacientes con CA y PMCD (60%) en relación a *C. tropicalis*. La lengua fue la ubicación del mayor porcentaje de lesiones CA (55%) y PMCD (40%). Además, se observó que existe una relación entre el diagnóstico y las variables predictoras presencia de levaduras en el examen directo ($p=0,016$), género masculino ($p=0,011$) y una edad < 45 años ($p=0,016$). La probabilidad acumulada para cada categoría de la variable "diagnóstico" fue: CA: 0,0119; PMCD: 0,057 y PMSD: 0,93.

Conclusión: Las variables predictoras de mayor asociación a un diagnóstico de displasia/no displasia/malignidad fueron la presencia de levadura, el sexo y edad del paciente y la localización de la lesión.

El hueso es un tejido mineralizado con capacidad de remodelación y regeneración. Sin embargo, cuando la pérdida ósea es extensa y su arquitectura tisular está dañada, es incapaz de regenerar por sí mismo, siendo necesaria la aplicación de estrategias terapéuticas para su resolución. Entre ellas, existen los materiales de relleno óseo, que pueden actuar como osteoconductores, osteoinductores o osteogenéticos. **Objetivo:** evaluar partículas óseas humanas liofilizadas en forma de membrana (Laboratorio de Hemoderivados UNC), en defectos óseos críticos (DOC) en calota de ratas. **Método:** en 18 ratas *Wistar* hembras (150 ± 50 g) se realizaron DOC de 5mm de diámetro en hueso parietal. Se dividieron en dos grupos: el grupo control (GC) sin tratamiento; y grupo experimental (GE) donde se implantó la membrana ósea (MO). Las muestras obtenidas se evaluaron a la 1°, 3° y 6° semana (s) post quirúrgica, utilizando rayos X blandos, estudios histológicos e histométricos. **Resultados Radiográficos:** en ambos grupos se observaron áreas radiolúcidas circulares correspondientes al DOC, en su interior áreas radiopacas internas e irregulares que fueron de mayor tamaño en el GE. **Resultados histológicos e histométricos:** GC: a la 1° y 3° s la neoformación ósea fue incipiente en extremos del DOC (0,21 y 0,65 %). A la 6° s los resultados fueron semejantes, aunque la formación ósea fue mayor, tanto en extremos como en el área central (1,06%). GE: A la 1° s, la neoformación ósea fue mayor que en el GC (7,2%). Además se detectó la membrana de hueso de tipo laminar, correspondiente a la MO implantada. A la 3° s en el área del DOC se observó tejido fibroblástico y persistencia de la MO. Sobre ella, se distinguió neoformación ósea con presencia de osteoblastos activos (35,8 %). A la 6° s el área del defecto, persistió la MO cubierta por formación ósea así también como islotes aislados (47,2%). **Conclusión:** La membrana ósea humana presentó biocompatibilidad, actuó como osteoconductor al aplicarlo sobre DOC de calota de ratas y favoreció la reparación/regeneración del DOC.

OBJETIVO: Analizar en escolares la relación entre la salud dental, hábitos nutricionales y actividad de microorganismos acidógenos en saliva. **MÉTODOS:** Se realizó un estudio en alumnos de nivel primario ($n= 61$, de 8 a 13 años de edad) y secundario ($n= 30$, de 12 a 17 años de edad) de ambos sexos de escuelas públicas de un barrio periférico de Córdoba. Se evaluó la salud dental de cada participante mediante exploración clínica, se registró el número de dientes cariados, perdidos y obturados en ambas denticiones y se calcularon los índices ceo-d y CPO-D. Se tomaron muestras de saliva total estimulada de cada alumno para determinar la actividad de la microbiota acidógena con el test de Snyder. Se consideraron cuatro categorías de susceptibilidad a caries, desde "sin riesgo" hasta "alto riesgo", de acuerdo al tiempo de viraje de color del cultivo. En los estudiantes de secundaria se realizó una prueba de recuperación de la capacidad buffer de la saliva (curva de Stephan). Los alumnos fueron encuestados sobre el consumo de alimentos ricos en carbohidratos. Los datos se analizaron estadísticamente con $p \leq 0.05$. **RESULTADOS:** En los niños de primaria los valores de ceo-d y CPO-D fueron de 2.42 ± 2.28 y 2.98 ± 1.97 respectivamente. El 76% tuvo algún grado de susceptibilidad a caries y un 46,21% mostró alto riesgo. En los alumnos de secundario el CPO-D fue más elevado (5.93 ± 4.36) con diferencias de susceptibilidad a caries entre ambos sexos. En la primaria se observó correlación entre la alta susceptibilidad a caries con los valores de ceo-d/CPO-D y el consumo de gaseosas y golosinas. En la secundaria hubo alta correlación entre susceptibilidad a caries y número de dientes cariados ($R=0,83$, $p < 0,01$), siendo esta asociación superior en las mujeres del primer ciclo. Todos mostraron una capacidad de recuperación del pH salival normal. **CONCLUSION:** Los altos valores del CPO-D en el secundario comparados con los de la primaria, revelaron un progresivo deterioro de la salud bucal. Sumado a ello, la susceptibilidad a caries y su relación con el consumo de alimentos cariogénicos indica que estos alumnos están en una franja de riesgo que amerita urgentes refuerzos en la atención primaria de salud bucodental.

OBJETIVO: Determinar si los egresados de la FOLP realizan prácticas preventivas y si participan en programas comunitarios. **MÉTODOS:** El presente estudio descriptivo estuvo constituido por los egresados de la FOLP entre los años 1996 – 1999 (grupo I) y 2001 – 2005 (grupo II). La información fue recopilada a través de una encuesta estructurada elaborada ad hoc y registros documentales de la FOLP y del CeSPI. La administración de la encuesta se realizó vía telefónica, e-mail y en forma personal, para su procesamiento se utilizó el paquete estadístico SPSS versión 15.0. Sobre un total de 1271 egresados entre 1996 y 1999 se recibieron 740 encuestas (grupo I), que representa el 58,22% del total, correspondiendo 234 a los egresados 1996, 191 a los egresados 1997, 199 a los egresados 1998 y 116 a los egresados 1999. De los 1984 egresados entre los años 2001 al 2005, se recibieron 437 encuestas (grupo II), que representa el 22,03% del total, correspondiendo 51 a los egresados del año 2001, 151 a los egresados del año 2002, 96 a los egresados del año 2003, 91 a los egresados del año 2004 y 48 a los egresados del año 2005. **RESULTADOS:** Las variables consideradas fueron: a) Realización de Prácticas Preventivas, b) Participación en Programas Comunitarios. Grupo I: a) responde afirmativamente el 93.16% de los encuestados del año 1996, 62.83% del año 1997, 100% del año 1998 y 87.07% del año 1999. b) responde afirmativamente el 43.16% de los encuestados del año 1996, 35.60% del año 1997, 73.87% del año 1998 y 100% del año 1999. Grupo II: a) responde afirmativamente el 84.31% de los encuestados del año 2001, 73.51% del año 2002, 82.30% del año 2003, 89.01% del año 2004 y 79.17% del año 2005. b) responde afirmativamente el 13.95% de los encuestados del año 2001, 7.21% del año 2002, 17.75% del año 2003, 22.22% del año 2004 y 7.89% del año 2005. **CONCLUSIÓN:** A partir de los datos obtenidos de las encuestas, se puede observar una tendencia muy marcada del segundo grupo de estudio respecto al primero en cuanto a la realización de prácticas preventivas en su vida profesional, no así en la participación de Programas Comunitarios tendientes a mejorar la salud oral de la población.

La necesidad de sustituir o restaurar tejido óseo perdido o dañado en distintas partes del cuerpo constituye un verdadero desafío, habiéndose utilizado con este propósito una gran variedad de biomateriales tales como injertos óseos, metales, polímeros y cerámicas, en especial hidroxiapatita.

Objetivo: Estudiar las propiedades biológicas locales de una nueva hidroxiapatita biogénica (HAb) sintetizada en nuestro laboratorio utilizando el test de implantación (ISO 10993-6) en médula ósea de tibia de ratas.

Método: Se utilizaron 32 ratas *Wistar* machos (200g +/- 20 g) a las que se les realizó un defecto cortical en tibia para acceder a la médula ósea. Los animales fueron divididos en 2 grupos: Grupo control (GC) y Grupo Experimental (GE). En el GC se implantó un cemento a base de Óxido de Zinc y Eugenol (IRM); en el GE se aplicó la HAb. Los resultados fueron evaluados histológicamente a los 7 y 21 días post implante.

Resultados: En el GC se observó exudado fibrino-hemorrágico, infiltrado mononuclear y tejido de granulación en los dos períodos evaluados. No se observó neoformación ósea en la interfase material-tejido en ninguno de los períodos de tiempo estudiados. Alrededor de las partículas de IRM se depositó un material eosinófilo de naturaleza proteica a los 7 y 21 días post-implante. En el GE se observó exudado e infiltrado inflamatorio moderado a los 7 y 21 días post-implante. En la interfase material-tejido se distingue neoformación ósea moderada a los 7 días y abundante a los 21 días.

Conclusiones: La HAb no presentó toxicidad local, es biocompatible y bioactiva. Los resultados obtenidos sugieren continuar con los test de uso recomendadas por las normas internacionales ISO, a fin de evaluar su empleo como material de relleno o sustituto óseo.

REABSORCIÓN ÓSEA DEL REBORDE RESIDUAL MANDIBULAR EN DESDENTADOS TOTALES

Vera M., Serabián R., Montañéz D., Pajón A., *Pescio J.
Cátedra de Prostodoncia III "B". Facultad de Odontología. U.N.C. Córdoba

Al perder los elementos dentarios la remodelación ósea y mucosa produce una nueva estructura anatómica, el reborde residual. La reducción del reborde residual (RRR) edéntulo es considerada una enfermedad crónica, progresiva, irreversible, acumulativa en el tiempo, de etiología multifactorial.

Objetivo: Evaluar la pérdida del hueso alveolar y su reabsorción en pacientes edéntulos usuarios y no usuarios de prótesis.

Métodos: Estudio transversal de 115 pacientes, 41 a 88 años, ambos sexos, edéntulos. Se realizó radiografía panorámica de rutina junto a la historia clínica. Se cuantificó la altura ósea vertical pérdida, lado izquierdo y derecho de la mandíbula, tomando desde el borde inferior de la mandíbula al foramen mentoniano y desde el borde inferior de la mandíbula al superior de la cresta residual. Se recabaron datos sobre edad, sexo, uso de prótesis dental, tiempo de desdentamiento y enfermedades sistémicas.

Resultados: edad promedio 64-65 años. El 71 % del total usaban prótesis (77,11% mujeres y 58,82% varones). Se observaron diferencias significativas, en ambos sexos, entre uso y no uso de prótesis y la RRR en cada sector estudiado, derecho $p=0,0173$ e izquierdo $p=0,0153$.

El promedio de RRR en usuarios y no usuarios de prótesis fue entre 10 y 14 mm en varones y de 12 a 18 mm en mujeres. La pérdida ósea fue mayor en mujeres posmenopáusicas y en hombres >70 años. No se observaron asociaciones significativas de RRR con edad y con enfermedades sistémicas.

Conclusión: Con la edad aumenta la pérdida ósea por un factor fisiológico y pérdida de función por ausencia dentaria, el hueso no recibe fuerzas estimulantes, solo presión por acción de la prótesis. En pacientes con prótesis completas se produce un mayor grado de reabsorción mandibular, atribuido a menor superficie de soporte y, por tanto, la presión ejercida es mayor. Las mujeres pierden más hueso que los hombres, por factores hormonales propios, u otros. Las enfermedades no influenciarían la pérdida ósea, en portadores o no de prótesis.

COMPORTAMIENTO DE LA PRESIÓN ARTERIAL EN EL SILLÓN ODONTOLÓGICO

*RUBIO M, LEWIN P, MARTINEZ D, WINTER G, CARABALLO J, MEDINA F, NICOLSI L.
Cátedra de Patología y Clínica Bucodental, Facultad de Odontología, UBA.

La presión arterial se encuentra influenciada por incrementos agudos del gasto cardíaco y la resistencia periférica mediados por el sistema simpático. La estimulación de éste, luego de la anestesia infiltrativa, pone en marcha una cascada de eventos, cuya resultante podría verse reflejada en el aumento de la presión arterial (PA) y la frecuencia cardíaca (FC). **OBJETIVO:** Determinar si el tratamiento odontológico estandarizado efectuado bajo anestesia infiltrativa provoca modificaciones en la PA y la FC en pacientes con hipertensión controlada vs. sujetos normales. **MÉTODOS:** Se efectuó un estudio prospectivo, comparativo, longitudinal y de mediciones repetitivas de la PA y FC. Los pacientes se dividieron en dos grupos: 1) hipertensos controlados y 2) no hipertensos. Se incluyeron pacientes con enfermedad periodontal leve a moderada con valores basales de PA normales (sistólica < 140 o diastólica < 90 mmHg). A todos se les efectuó anestesia infiltrativa local (AIL) (carticaína al 4% con adrenalina 1/100000), tartrectomía superficial con material ultrasónico permitiendo el acceso de curetas para el raspaje y alisado. Se registró la PA y FC en la admisión, previo al procedimiento, posterior a la anestesia, al finalizar el procedimiento y al egreso. **RESULTADOS:** Se incluyeron 60 pacientes con una edad promedio de 53 ± 15 años, siendo el 52% mujeres. El grupo de hipertensos constituyó el 59% del total. Los valores máximos de PA sistólica se registraron post administración de AIL siendo estadísticamente significativo en ambos grupos ($p < 0,01$). No se encontraron diferencias significativas en la PA sistólica de admisión y egreso. No hubo diferencias en la PA diastólica y la FC en las distintas etapas, así como tampoco entre los distintos grupos. **CONCLUSIONES:** Los valores máximos de PA se observaron post administración de anestesia infiltrativa local. El comportamiento de la PA entre hipertensos controlados y no hipertensos fue similar. No hubo diferencias significativas de la frecuencia cardíaca en las distintas etapas del tratamiento.

PRESENTACIÓN PRELIMINAR DE UNA METODOLOGÍA PARA CUANTIFICAR POR ANÁLISIS DE IMAGEN QUERATOHIALINA EN LESIONES QUERATÓSICAS BUCALES

*Scola MJ, Brandizzi D, Keszler A, Lanfranchi HE, Cabrini RL1 Div. Patología, Dpto de Radiobiología de la CNEA; LANAIS-MEF (CONICET-CNEA)

La mucosa normal, las lesiones cancerizables e inclusive los carcinomas de la cavidad bucal presentan una gran variabilidad en su capacidad de generar queratina. Actualmente se conoce que la filagrina tiene un papel fundamental en la diferenciación del queratinocito y la formación de queratina. Estos resultados han aumentado la comprensión de la patogénesis de algunas enfermedades de la piel. La filagrina es sintetizada a partir de una proteína precursora, profilagrina, principal constituyente de los gránulos de queratohialina. En SAIO 2009 se presentó una metodología de medida morfológica y citométrica por análisis de imagen, para obtener una determinación cuantificable, normalizada y fácilmente reproducible de lesiones displasias orales. **Objetivo:** El objetivo de este trabajo fue ajustar nuestra metodología desarrollada para la cuantificación de la queratohialina en lesiones queratósicas y carcinomas bucales. **Materiales y métodos:** Se seleccionaron 13 casos de lesiones cancerizables y 2 de carcinoma de la cavidad bucal. Se desarrolló un programa de cuantificación por análisis de imágenes. Se utilizó un microscopio MPM800 Zeiss y cámara Sony modelo SSC-DC50A. Las medidas se realizaron a partir de preparados histológicos coloreados con hematoxilina y eosina. Los parámetros utilizados fueron: queratina (Q), queratohialina total (QhT), queratohialina concentrada (QhC) y queratohialina en formación (QhF). De los carcinomas medidos se tomó el área total por campo y la relación de Q con Queratohialina. **Resultados:** De los parámetros estudiados se encontró correlación entre: QhC (filagrina) vs QhT (filagrina) con un $R=0.738$ y $p=0.009$; QhC vs QhT el $R=0.86$ y $p=0.0006$; y QhC vs Q con un $R=0.54$ y $p=0.07$. **Conclusiones:** Se presenta una metodología de medida por análisis de imagen que permite cuantificar lesiones queratósicas y carcinomas bucales. Los datos preliminares de los casos estudiados nos mostraron diferentes niveles de queratina, queratohialina total, queratohialina concentrada y queratohialina en formación en las lesiones cancerizables bucales; en tanto los 2 carcinomas estudiados no evidenciaron presencia de queratohialina.

Subsidios: UBACyT 0006

UNA HERRAMIENTA COMPUTACIONAL PARA EL ANÁLISIS DE IMÁGENES ODONTOLÓGICAS DE RAYOS X

Mauro Valente, *German Tirao, Carolina Virga, Alejandra Aguzzi.
CONICET & FaMAF-UNC - Facultad de Odontología UNC

En este trabajo se presenta el software XRIA ApOdo, el cual ha sido completamente desarrollado por el grupo de Física Médica en FaMAF - Universidad Nacional de Córdoba.

Objetivo: Esta herramienta de cálculo constituye un programa integrado dedicado al análisis detallado de imágenes odontológicas de rayos X y a la cuantificación de los principales parámetros físicos y anatómicos.

Materiales y Métodos: El programa se basa en subrutinas matemática y numérica (MatLab® compatible) específicamente desarrolladas para el procesamiento rápido y óptimo de las imágenes. La interfaz gráfica interactiva del programa permite al usuario cargar la imagen digitalizada de interés; corregirla debido a posibles errores de digitalización, como así también errores en el proceso de revelado y adquisición; observar ciertas regiones de interés (ROI) en detalle; calcular el valor medio y su desviación estándar de la señal correspondiente a la ROI; evaluar los perfiles de la señal entre dos puntos arbitrariamente elegidos dentro de la imagen.

Conclusión: el programa también incorpora subrutinas dedicada para realizar procesamientos matemáticos de filtrado de ruido, detección de borde y el reconocimiento de patrones.

TRASTORNOS DE ANSIEDAD RELACIONADOS CON DOLOR OROFACIAL Y BRUXISMO

Echarte JM, *Tomasetti V, Palacios SB
Facultad de Odontología UBA

OBJETIVO El propósito de este trabajo fue analizar la prevalencia de variables clínicas relacionadas al dolor orofacial, bruxismo y trastornos de ansiedad

METODOS Se tomaron 82 pacientes adultos de ambos sexos que concurren a la Unidad de Dolor y Disfunción Craneomandibular, refiriendo dolor preauricular, región maseterina, apretamiento dentario. Se confeccionó historia clínica y la medición del dolor se realizó con la escala visual análoga (VAS) cuyo valor es de 0-10. Se dividió a la población en dos grupos tomando el primero VAS (0-5 dolor leve –moderado) Grupo 1 (G1) con n=35 pacientes y el segundo fue el VAS (6-10 dolor grave) Grupo 2 (G2) con n=47 pacientes. En todos los pacientes se relacionó el bruxismo con dolor orofacial. Además en todos los pacientes se tomó el STAI a fin de evaluar el estado de ansiedad en sus cuatro fases. Se consideraron (5) variables: Dolor: preauricular, referido al oído, región maseterina, temporal y bruxismo.

RESULTADOS Se aplicaron la prueba estadística test-t en las variables clínicas el resultado fue $t = -2.946$ con $p=0,026$ y Chi-cuadrado para STAI entre ansiedad estado y rasgo fue 44.609 con $p=0,000$; Chi-cuadrado para las fases I, II, III, IV fue 18151 con $p=0,000$.

CONCLUSION: Se han encontrado diferencia estadísticamente significativa de las variables clínicas entre los grupos VAS (0-5) y VAS 6-10) y en el STAI entre ansiedad estado, ansiedad rasgo y en las distintas fases, relacionados con dolor orofacial, bruxismo.

ENFERMEDAD GINGIVAL EN GESTANTES ADOLESCENTES DEL PRIMER Y TERCER TRIMESTRE

*TOSTI, S. BAUDO, J. DOMINGUEZ, G. DI SALVI, N. ALLEGRETI, P
FOLP

Los cambios hormonales que se producen en la gestación se acompañan de manifestaciones gingivales que van desde el simple cambio de coloración y ligera hipertrofia, a gran edematización y profuso sangrado, dependiendo del momento gestacional. Los cambios en la encía se presentan a partir del segundo mes de embarazo y se agudizan en el octavo. Esto resulta coincidente con el incremento de los niveles séricos de estrógenos y progesterona durante el periodo gestacional. Luego del parto estos niveles disminuyen considerablemente y con ello las manifestaciones gingivales se atenúan y desaparecen. La placa bacteriana es la causa local más importante en la aparición de enfermedad gingival. Para determinar enfermedad gingival se pueden aplicar diferentes índices, como el de placa bacteriana o el de hemorragia gingival. **OBJETIVO.** Comparar la gravedad de las manifestaciones gingivales en el primer y tercer trimestre de gestación. **MATERIAL Y METODO.** Se trabajó con una muestra de 60 embarazadas adolescentes, entre 14 y 19 años de edad, 30 cursando el primer trimestre y 30 del tercer trimestre de gestación, a las cuales se instruyó acerca de correctas técnicas de cepillado para disminuir la incidencia de placa bacteriana. Se utilizó el índice de Muhlem que determina la hemorragia en el surco gingival durante el sondaje y analiza el aspecto clínico de la encía marginal. Este índice reconoce 5 grados de Hemorragia gingival; Grado 0, sin sangrado. 1 sangrado al sondaje, sin cambios de color ni de contorno. 2. Hemorragia al sondaje. 3 hemorragias al sondaje, eritema y edema moderado. Grado 4 hemorragias al sondaje, eritema y edema severo y 5 hemorragia espontánea y edema severo. **RESULTADO.** En el primer trimestre el 55% de las gestantes presentó grado 0, el 32 % grado 1 y el 13% grado 2. En el tercer trimestre el 48% de las gestantes presentó grado 3. Y el 52% grado 4 **CONCLUSIONES.** Estos resultados demuestran que en el tercer trimestre de gestación es donde las manifestaciones de la enfermedad gingival son más graves, coincidente con los mayores niveles séricos de estrógenos y progesterona.

NIVELES SÉRICOS DE ESTROGENOS Y PROGESTERONA EN RELACIÓN A ENFERMEDAD GINGIVAL EN GESTANTES ADOLESCENTES

TOSTI,S. BAUDO,J. DOMINGUEZ,G. DI SALVI,N. ALLEGRETI,P
FOLP

En el embarazo, el incremento de los niveles séricos de estrógenos y progesterona incide en la aparición de manifestaciones gingivales de distinta gravedad. La progesterona estimula los procesos fibrinolíticos y ello sería determinante de hemorragias gingivales. Coincidente con el incremento de los niveles plasmáticos de hormonas, se agudizan los cuadros gingivales, pasando de simple edema, con cambio o no de coloración y ausencia de sangrado a hipertrofia marcada con sangrado profuso. Existen distintos índices para medir enfermedad gingival, como el índice de placa bacteriana (Factor local de importancia causante de enfermedad gingival) o el índice de hemorragia gingival. **OBJETIVO.** Establecer la incidencia de los niveles séricos de estrógenos y progesterona en la enfermedad gingival. **MATERIAL Y MÉTODO.** Se trabajó con 60 gestantes adolescentes entre 14 y 19 años, 30 cursando el primer trimestre y 30 el tercer trimestre de embarazo. Previamente se indicaron medidas preventivas acerca de hábitos y técnicas correctas de higiene oral, para desestimar factores locales de incidencia. Para determinar niveles séricos de hormonas se empleó la técnica de espectrofotometría de masa y para enfermedad gingival el índice de hemorragia de Mullheman que reconoce cinco grados de enfermedad en orden creciente de gravedad. **RESULTADOS.** Niveles hormonales en el primer trimestre Estradiol 7 a 16 pg/ml, progesterona 14 a 46 ng/ml. El 55% de gestantes presentó índice de hemorragia grado 0, (ausencia de sangrado). el 31% grado 1 (sangrado al sondaje) y el 16% grado 2. (hemorragia al sondaje y eritema.) En el tercer trimestre los niveles hormonales fueron de 60 a 280 pg/ml para estradiol y de 70 a 240 ng/ml para progesterona. En tanto el índice de hemorragia fue grado 3 (hemorragia al sondaje y edema severo) en el 38% de las gestantes y grado 4 (hemorragia espontánea con eritema y edema severo) en el 62% de las gestantes. **CONCLUSIONES.** Los resultados indican que a mayores niveles séricos de hormonas, las manifestaciones gingivales se agravan.

POTENCIAL DE PROLIFERACIÓN CELULAR Y APOPTOSIS EN EL EPITELIO DE FOLÍCULOS DENTALES ASOCIADOS A PIEZAS RETENIDAS ASINTOMÁTICAS

Villalba L(*), Stolbizer F, Piloni MJ, Blasco F, Molina G, Keszler A Cátedras de Anatomía Patológica y de Cirugía y Traumatología Bucomaxilofacial III. Facultad de Odontología, UBA

El folículo dental (FD) asociado a dientes retenidos frecuentemente contiene restos epiteliales. A partir de ellos pueden originarse lesiones quísticas y tumorales. Radiográficamente se considera no patológico cuando su imagen radiolúcida pericoronaria no supera los 2.5 mm de espesor. Actualmente no existe consenso general sobre la necesidad de extracción de piezas dentarias retenidas asintomáticas. En una presentación previa (SAIO 2008) comunicamos la evidencia histológica de quistes dentígeros en el 26% de los FD estudiados, radiográficamente normales. **OBJETIVO:** Evaluar la proliferación celular y la apoptosis en el epitelio de FD de piezas retenidas sin evidencia clínico radiográfica de lesión, a fin de detectar cambios que sugieran el potencial desarrollo de patología odontogénica a partir de ellos. **MÉTODO:** Se estudiaron 14 FD, 10 quistes dentígeros (QD) y 5 mucosas gingivales normales (MG) como control. Cortes histológicos de 5 µm de espesor fueron coloreados con HE para evaluación histomorfológica de rutina. Técnicas inmunohistoquímicas, Ki67 y bcl2, se utilizaron para determinar proliferación celular y apoptosis. Con una magnificación de x40, utilizando una grilla de 10x10, en 3 campos al azar, el número total de células y el número de células positivas, fueron contadas por 2 observadores; obteniéndose luego el porcentaje de positividad expresado como índice de marcación para cada caso. **RESULTADOS:** El índice de proliferación celular (IPC) en el epitelio de FD fue de $1.69\% \pm 1.61$, en QD de $7.97\% \pm 2.05$ y de $6.88 \pm 0.49\%$ en MG. Discriminado según tipo de epitelio observado en FD, el IPC fue de $1.31\% \pm 1.51$ para el epitelio reducido y $2.37\% \pm 1.74$ para epitelio con metaplasia escamosa. Coloración positiva para bcl2 se halló en el 61.42% de FD y 70% de QD. **CONCLUSIONES:** El IPC fue significativamente menor en FD que en QD, mientras que la expresión positiva de bcl2 no mostró diferencias entre ambos.

Subsidio:0012. SECyT. UBA

El crecimiento y la maduración en el ser humano es el resultado de una interrelación genético-ambiental. La hormona de crecimiento estimula la síntesis de los factores de crecimiento o somatomedinas. **Objetivos:** Establecer asociaciones de ángulo y distancias radiográficas del germen de caninos superiores permanentes de niños bajo tratamiento con hormona de crecimiento y compararlas con las de niños con deficiencias nutricionales. **Método:** La muestra seleccionada correspondió a niños de ambos sexos, concurrentes al Hospital del Niño Jesús, edad $10,8 \pm 2,2$ años, con retardo hormonal y tratados con hormona de crecimiento. Los niños control, no presentaban retardo de crecimiento. Para el estudio radiográfico se aplicó la técnica sistematizada con equipo de Rayos X de 70 kw con 8 mA; y películas intraorales N° 2 (Insight, Kodak). Las radiografías fueron tomadas de los gérmenes de los caninos superiores derecho e izquierdo. Se digitalizaron las imágenes y con el programa Imagen Tool para Windows se midieron, para cada pieza dentaria, el ángulo externo formado entre el eje del canino y el plano que corta la sutura intermaxilar en forma perpendicular, y la distancia de cúspide del canino a la sutura intermaxilar. Los valores de estas variables se analizaron estadísticamente con la prueba T para muestras independientes mediante el programa SPSS. **Resultados:** Las variables ángulo y distancia del canino superior permanente, en niños con hormona de crecimiento deficiente y bajo tratamiento hormonal de sustitución, no mostró diferencias significativas ($p > 0,05$) respecto a idénticas mediciones en el grupo control. Comparativamente, los pacientes con deficiencias nutricionales (Acta Odontol. Latinoam., 22(1), 33-39, 2009) presentaron diferencias significativas ($p > 0,05$) en la cuantificación de ángulo y distancia del canino permanente respecto al grupo control. **Conclusión:** El germen del canino superior permanente de niños de ambos sexos bajo tratamiento con hormona de crecimiento no presentaría características estructurales alteradas, demostrado a través de mediciones radiográficas, como sucedería ante una deficiencia nutricional, posiblemente debido al suministro hormonal adecuado y oportuno a estos pacientes.

Es conocido que el potencial de reparación ósea está influenciado por una variedad de mecanismos bioquímicos, biomecánicos, hormonales, patológicos y factores como la dieta y sus componentes; todos rigen comportamiento y función de las células encargadas de formar el nuevo hueso. Varios autores sugieren que una dieta rica en sacarosa, podría cambiar el balance del calcio y la composición ósea en animales, alterando la mineralización de tejidos duros. El mecanismo por el cual esto se produce, aún no es claro. La cicatrización alveolar post extracción reúne características particulares que la convierten en una herida única, en animales y en humanos.

OBJETIVO: Evaluar y cuantificar la respuesta biológica durante la cicatrización alveolar post extracción en ratas con dieta rica en sacarosa.

MATERIALES Y METODOS: Se utilizaron 42 ratas Wistar, de ambos sexos, que fueron divididas en dos grupos: Experimental, alimentadas con dieta modificada de Stephan Harris (43% de sacarosa) y Control con balanceado estándar. Se anestesiaron y se extrajeron primeros molares inferiores, derecho e izquierdo, luego fueron sacrificadas a las 0hs., 14, 28, 60 y 120 días. Las muestras fueron fijadas, descalcificadas con EDTA e incluidas en parafina y se obtuvieron cortes para Microscopia Óptica (histomorfometría).

RESULTADOS: El análisis histomorfométrico muestra diferencias significativas de tamaño entre las lagunas osteocíticas de ambos grupos a los 28 y 60 días siendo de mayor tamaño en los experimentales. Además se encontró una mayor cantidad de lagunas vacías en el grupo experimental, en el tiempo de 14 días ($p < 0,05$).

CONCLUSION: Una dieta rica en sacarosa produce modificaciones en la mineralización, morfología y calidad del tejido óseo, que se forma en el alveolo post extracción dentaria.

157

PRESENCIA DE HERPES VIRUS EN BOLSAS PERIODONTALES DE PACIENTES ASISTIDOS EN LA CÁTEDRA DE PERIODONCIA DE LA F.O.U.N.N.E.

Monzón, Javier; *Acuña, Miguel; Britos, Maria; Canga, Ernesto.
Facultad de Odontología-U.N.N.E.

Objetivo

El objetivo de este trabajo fue determinar la presencia de herpes virus en bolsas periodontales de adultos con periodontitis crónica tratados en la Cátedra de Periodoncia de la F.O.U.N.N.E.

Método

El estudio se realizó con una población de 14 individuos de ambos sexos con edades entre 25 y 60 años que concurren como pacientes al servicio de la Cátedra de Periodoncia y presentaron, al menos, un sitio con diagnóstico de periodontitis. También se tomaron muestras de un número equivalente de pacientes periodontalmente sanos como grupo control. Se consignaron como referencias de cada caso las siguientes variables: Profundidad de bolsa-Extensión de la lesión-Ubicación de la lesión-Patrón de destrucción óseo. En el sitio de mayor profundidad de bolsa se introdujeron tres conos de papel absorbente estériles para recoger el contenido de la misma. Estos conos luego de permanecer en el lugar al menos 15 seg. fueron retirados y depositados en medios de transportes específicos y derivados al Laboratorio Central de la Provincia de Corrientes para someterlos al método de PCR y detectar la posible presencia de virus herpéticos.

Resultados

De los sitios examinados con enfermedad periodontal se detectó alguna variedad de Herpes Virus en 10 de 14 muestras de bolsas periodontales: VHS en 6; VEB1 en 9; VEB2 en 5; CMVH en 8. En los pacientes sanos se encontró VHS en 1; CMVH en 1.

Conclusión

Estos hallazgos podrían indicar la presencia de HV y marcada asociación con enfermedad periodontal.

158

EFFECTO DE LA SUBMANDIBULECTOMÍA SOBRE LA PÉRDIDA ÓSEA DE LAS CORTICALES ALVEOLARES EN RATAS CON PERIODONTITIS CRÓNICA

Amer M1*, Elverdin JC2, Chiarenza AP3, Mandalunis P4, Vacas MI3
Cát. Fisiología2, Cát. Bioquímica General y Bucal3, Cát. Histología y Embriología4. Fac. Odontología

En trabajos previos observamos que la submandibulectomía (Sx) incrementa la pérdida de la cortical lingual inducida por 1 semana de periodontitis experimental (PE) sin afectar el hueso interradicular (HI).

Objetivo: Evaluar los efectos de Sx en ratas con PE crónica.

Metodología: Se utilizaron ratas Wistar (300-330g, n=32) sometidas o no a Sx y 2 semanas después se indujo PE bilateral, ligando con hilo de algodón el cuello de los primeros molares inferiores, que fueron renovadas cada 14 días durante 6 semanas. Luego de 8 semanas, se determinó la pérdida ósea (PO) a nivel de estos molares mediante: a) medición de las distancias entre el límite amelo-cementario y la cresta alveolar sobre las superficies mandibulares vestibular y lingual (mm) y b) histomorfometría del HI (altura del ligamento periodontal (aLP, mm) y volumen óseo (VO) (%) sobre cortes histológicos con orientación mesio-distal.

Resultados (expresados como media \pm ES): a) Sx y PE indujeron PO ($p < 0.01$ y $p < 0.001$ respectivamente) en ambas corticales, y Sx incrementó el efecto de PE ($p < 0.05$) (lingual: Control (C): 0.84 ± 0.04 , PE 1.83 ± 0.08 , Sx: 1.22 ± 0.08 , PE+Sx: 2.10 ± 0.07 ; vestibular: C: 0.49 ± 0.02 , PE: 1.69 ± 0.07 , Sx: 0.82 ± 0.03 , PE+Sx: 2.02 ± 0.12); b) una mayor aLP fue observada en los animales con Sx ($p < 0.05$), PE ($p < 0.001$) y PE+Sx ($p < 0.001$) sin diferencias entre los grupos con PE (C: 60.2 ± 4.0 , Sx: 140.6 ± 8.0 , PE: 532.7 ± 44.9 , PE+Sx: 462.4 ± 20.4). Sin embargo, cuando se analizó el % de VO inter-radicular de la mitad coronal, la reducción del volumen debido a PE fue menor en las ratas con Sx ($p < 0.01$) (C: 27.7 ± 1.0 , Sx: 24.3 ± 1.1 , PE: 4.4 ± 1.3 , Sx+PE: 8.9 ± 0.4).

Conclusión: Los resultados sugieren que en la rata adulta la Sx 1) incrementa la PO-edad dependiente de las corticales alveolares así como la debida a PE crónica y 2) induce cambios en el HI compatible con una posible respuesta a un trauma oclusal por masticación y fricción de los molares con PE en condiciones de hiposalia.

UBACyT 0007.

Objetivo. Evaluación del tratamiento con amoxicilina y / o metronidazol en comparación con el raspado y alisado radicular de la terapéutica de la periodontitis crónica. **Métodos.** Revisión sistemática-metaanálisis. Ensayos clínicos aleatorios obtenidos de las bases MEDLINE, EMBASE, Scielo, Cochrane, y Scopus de 1989 a septiembre 2009. El estudio se realizó de acuerdo a los delineamientos de PRISMA. La búsqueda se inició con 2895 artículos. A partir de este número inicial de los artículos, 10 publicaciones fueron seleccionados e incluidos en el estudio de acuerdo a criterios fijados. Aquellos autores que no establecieron claramente los criterios de inclusión para los pacientes, o en el que las formas farmacéuticas eran diferentes de otros estudios, fueron descartados. Al analizar los principales requisitos para la selección de los artículos, se observaron diferencias en las respuestas relacionadas con el diseño y la forma de presentación de resultados. Se incluyeron estudios de pacientes adultos de ambos sexos con edades entre 21-80 años, con diagnóstico de periodontitis crónica y tratados con amoxicilina y/o metronidazol o raspado y alisado radicular. **Resultados.** En profundidad de bolsa se observó un valor $I_2=95\%$, con un SMD de mayor efecto, es el obtenido con el estudio Mointaghavi (-4.2160). Para nivel de inserción clínica la heterogeneidad fue alta, $I_2=81,6\%$, presentando un valor de efecto total de 0,45. En índice de sangrado la heterogeneidad de los estudios fue elevada, $I_2 = 97\%$, presentando un SMD total de -1,053. En relación a índice de placa el valor de I_2 fue de 0%, mostrando un efecto casi nulo del tratamiento; el efecto mayor fue el obtenido en el ensayo de Feres, 2001 (SMD=0,5). **Conclusión.** Este meta-análisis demostró que el uso de antimicrobianos tiene efectos similares a los obtenidos con SRP y siendo que la salud depende de muchos determinantes, es que debe optarse por el uso de antimicrobianos luego de evaluar el contexto de cada paciente a fin de mejorar los resultados clínicos del tratamiento tradicional, considerándose sobre todo esta medicación como complemento de la terapia de raspaje y alisado como una estrategia terapéutica de la resolución de la periodontitis crónica. (*Beca-doctoral SECYT-UNC- Res HCS 2276/09*).

OBJETIVO: El objetivo de este estudio es presentar un método predecible para evaluar los cambios dimensionales en alvéolos post-extracción a través de tomografía computada.

METODO: 11 pacientes que concurren a la Cátedra de Periodoncia FOUBA con indicación de extracción en piezas dentarias uniradiculares y posterior colocación de implantes, fueron seleccionados para este estudio. Pacientes que presentaban problemas sistémicos severos, diabetes no controlada, enfermedades inmunológicas y pacientes fumadores. Todos los pacientes aceptaron participar del estudio, firmaron el consentimiento informado y se les realizó el fichado y tratamiento periodontal correspondiente. Las causas de las exodoncias fueron: caries no tratables, fractura radicular e infección periapical. Una vez realizada la exodoncia atraumática de la pieza involucrada en el estudio se realizaron dos tomografías computadas; la primera dentro de las 24hs. post extracción (TC1) y la segunda a los 6 meses de la misma (TC2). Para realizar la evaluación se confeccionó una guía radiográfica con un elemento radiopaco siguiendo el eje mayor del diente. A través del programa de procesamiento de imágenes Planmeca Romexis Viewer 2.3.0.R, utilizando el plano sagital y el elemento radiopaco de la guía se obtuvo un plano de referencia para obtener puntos y mediciones reproducibles en el tiempo.

RESULTADO: En las mediciones inicial y final de cada paciente incluido en el estudio se pudieron encontrar los mismos puntos de referencia y realizar las mediciones de manera predecible observando los cambios dimensionales que se producen en alveolos post extracción en un periodo de 6 meses.

CONCLUSION: El método de medición presentado demuestra ser confiable para encontrar el mismo punto en el espacio en un intervalo de tiempo permitiéndonos observar los cambios dimensionales que se producen en el reborde alveolar luego de una extracción.

Este estudio ha sido aprobado por el Comité de Etica FOUBA.

161

ESTUDIO DEL EFECTO DEL TRATAMIENTO DE PERIODONTITIS CRÓNICA REALIZADO CON RASPADO MANUAL ASOCIADO CON DIGLUCONATO DE CLORHEXIDINA AL 0.2% EN PACIENTES

*Ferreira M, Silva V, Roriz V
Unievangélica-Brasil

El control de placa bacteriana supra y subgingival, así como la remoción completa de los factores irritantes como el cálculo, son extremadamente importantes para resolver el proceso inflamatorio periodontal.

OBJETIVO: El presente trabajo comparó los efectos del raspado manual aisladamente y asociado a la irrigación subgingival con digluconato de clorexidina a 0,2% en el tratamiento de las alteraciones periodontales.

METODOLOGÍA: El estudio fue realizado en 6 pacientes portadores de por lo menos 4 bolsas periodontales de 4 ó más milímetros de profundidad. Los pacientes fueron divididos en 2 grupos aleatoriamente: grupo Control: solamente raspado manual, grupo experimental: raspado manual asociada a la irrigación con digluconato de clorexidina a 0,2%. Los parámetros clínicos evaluados fueron: medida de la profundidad de sondaje, presencia de sangrado y recesión gingival, antes y 30 días después de las terapias.

RESULTADOS: Los resultados mostraron que el grupo Control obtuvo una media de $1,3 \pm 1,1$ mm y el grupo de Teste de $1,0 \pm 1,0$ mm de profundidad de sondaje, sin diferencia estadísticamente significativa, en relación a la recesión gingival el grupo Control obtuvo media de $0,31 \pm 0,5$ mm y el grupo experimental de $0,39 \pm 0,6$ mm, presentándose una diferencia estadísticamente significativa ($P < 0,0001$), en relación a la presencia del sangrado al sondaje, obteniéndose porcentaje final de 64,7% para el grupo Control y de 52,3% en el grupo experimental, detectándose una diferencia estadística significativa ($P = 0,008$).

CONCLUSIÓN: se concluyó que las terapias utilizadas en este estudio, fueron semejantes con relación a la profundidad de sondaje, sin embargo hubo mayor sangrado al sondaje en el grupo Control y mayor recesión en el grupo experimental.

162

EVALUACIÓN DE LA CONDICIÓN PERIODONTAL DE PACIENTES INTERNADOS EN UCI Y SU RELACIÓN CON LA NEUMONÍA

Guerra D, *Ferreira P, Roriz V
Unievangélica-Brasil

Existen fuertes indicios que hay una relación entre la enfermedad periodontal y la neumonía nosocomial, la cual se produce por la aspiración de los patógenos de la orofaringe para los pulmones, principalmente en pacientes internados en la UCI.

OBJETIVO: El objetivo de este estudio fue evaluar la condición periodontal de los pacientes internados en la UCI del Hospital Regional de Gurupi, investigar la posible relación de la enfermedad periodontal con la neumonía nosocomial y conocer el método de higienización utilizado en esta UCI.

METODOLOGÍA: fueron seleccionados 42 pacientes y fue realizado un diagnóstico clínico de neumonía nosocomial y un examen periodontal. Se determinó el Índice de Sangramiento Gingival (ISG) y el nivel de inserción periodontal, habiendo sido realizados estos exámenes en 11 pacientes.

RESULTADOS: Los resultados mostraron que 20% de los pacientes internados desarrollaron neumonía nosocomial, 8 (73%) presentaron periodontitis crónica y de los 8 pacientes con periodontitis, 2 (25%) desarrollaron neumonía nosocomial. La higienización oral era realizada utilizando bicarbonato de sodio o Cepacol®.

CONCLUSIÓN: Se puede concluir que la mayoría de los pacientes internados presentaban gingivitis, sin embargo no fue posible establecer una relación positiva entre la enfermedad periodontal y la neumonía nosocomial sugiriendo la necesidad de más estudios clínicos y longitudinales con un número más significativo de pacientes.

FLUJO SALIVAL Y NIVELES DE PROTEÍNAS, AMILASA Y MUCINA EN SALIVA COMPLETA DE PACIENTES SANOS Y CON PERIODONTITIS LEVE, MODERADA Y SEVERA

Sánchez G*, Miozza V, Delgado A, Busch L.
Cátedra de Farmacología, Facultad de Odontología, Universidad de Buenos Aires. Argentina.

Los pacientes con periodontitis presentan un perfil proteico diferente de la saliva completa. Dicho perfil refleja la naturaleza y amplitud de la respuesta del hospedador a la microbiota periodontopática.

Objetivo: evaluar la respuesta del hospedador en referencia al flujo salival y los niveles de proteínas, amilasa y mucina en saliva completa de pacientes con diferentes grados de periodontitis.

Materiales y Métodos: 60 pacientes adultos no fumadores y sin enfermedades sistémicas participaron del estudio. Se determinó la profundidad al sondaje y el nivel de inserción clínica de cada paciente y se los clasificó en cuatro grupos: sanos, periodontitis leve, moderada y grave. De cada paciente se recolectaron muestras de saliva completa con y sin estimulación mecánica y se determinó el flujo salival. El nivel de proteínas, amilasa y mucina de la saliva recolectada se determinó por métodos colorimétricos. Las diferencias entre las medias de los grupos se analizaron haciendo uso del análisis de la variancia ($p < 0.05$).

Resultados: el nivel salival de proteínas, amilasa y mucina en saliva completa recolectada con y sin estimulación mecánica resultó mayor en pacientes con periodontitis moderada y grave mientras que el flujo salival disminuyó en dichos grupos. En los grupos estudiados se observó una correlación directa entre los niveles salivales de proteínas y amilasa o mucina. El nivel salival de mucina resultó menor en los pacientes con periodontitis leve.

Conclusiones: (a) las glándulas salivales responden al progreso de la periodontitis aumentando el potencial protector de la saliva a través del incremento de las proteínas salivales incluyendo a la mucina y a la amilasa. (b) La disminución del flujo salival se asocia a la pérdida de inserción clínica (c) La evolución de la periodontitis no afecta a la funcionalidad de las glándulas salivales.

Subsidio UBACyT O 401.

RELACIÓN ENTRE EL CONSUMO DE CALCIO EN LA DIETA Y LA CONCENTRACIÓN DE CALCIO EN LA SALIVA Y EL FLUIDO GINGIVAL EN PACIENTES CON PATOLOGÍA PERIODONTAL

Grenón M(1), Fuks D (1), Verde ME* (1), Bonetto L(3), Sánchez HJ(2)
Fac de Odontología - UNC

OBJETIVO: Determinar la concentración de calcio(Ca) en saliva total y fluido gingival(FG) utilizando la técnica de Fluorescencia de Rayos X por Reflexión Total(FRX). Relacionar la concentración de Ca en la ingesta diaria (ID) con la concentración de Ca presente en saliva y FG. Valorar el estado periodontal de los pacientes y estudiar posibles correlaciones con la ID y las concentraciones de Ca en los fluidos. **MÉTODOS:** Selección aleatoria de 54 personas entre 25 a 60 años de edad, sistémicamente sanos, que asistieron espontáneamente al consultorio externo de la Cátedra de Periodoncia. Se confeccionó la historia clínica, se realizó la ficha periodontal con registro de profundidad de sondaje (PS) y nivel de inserción clínica (NIC) en 6 elementos, se clasificó en patología leve a aquellos pacientes con PS < 5 mm y/o NIC < 6 mm y severa PS \geq 5 mm y/o NIC \geq 6 mm. Se realizó una encuesta sociodemográfica y de tendencia de consumo de índole observacional y se tomaron las muestras de FG y de saliva total mediante la utilización de microcapilares calibrados. El FG fue obtenido de los elementos antero-inferiores. La saliva total fue tomada de piso de boca. Las muestras fueron colocadas en un reflector de acrílico (wafers) para ser transportados. Se midieron 24 de las muestras de saliva y FG con la técnica de FRX en el laboratorio LTFNC de la FaMAF-UNC. Los datos fueron analizados con el paquete de programas AXIL para análisis de espectros y cuantificación. Los resultados fueron analizados estadísticamente, se establecieron correlaciones lineales mediante cuadrados mínimos y se determinaron las probabilidades de correlación. Los tres grupos interdisciplinarios actuaron en todo momento "mutuamente ciegos". **RESULTADOS:** De los 24 pacientes que se midieron las muestras de FG y de saliva al azar, el 50% correspondía a consumo suficiente de calcio en la ingesta diaria. La distribución de los pacientes teniendo en cuenta la patología fue de 33,3% leves y 66,6% severos. El análisis cuantitativo de Ca en los fluidos muestra estadísticamente una correlación directa entre las concentraciones de Ca en fluido y saliva y la ID de dicho elemento.

CONCLUSION: fue demostrada por este grupo de investigación una correlación estadísticamente significativa entre el consumo de Ca en la dieta y la concentración del ión en FG y saliva con el registro del Índice Periodontal Comunitario. Se estudia la relación entre la ID de Ca y la patología periodontal teniendo en cuenta PS y NIC.

165

MICROANÁLISIS MINERAL DE TEJIDO ÓSEO EN CONTACTO CON MINI-IMPLANTES DE USO ORTODÓNCICO. ESTUDIO PRELIMINAR

Piacenza A, Rocamundi M*, Peralta G, Bass Puer A.
Cátedra Ortodoncia B y Anatomía Patológica A – Facultad de Odontología – UNC. Fundación Creo

La utilización de materiales metálicos para la fabricación de miniimplantes para uso ortodóncico hace necesario evaluar las posibles respuestas tisulares ante la colocación de los mismos.

Objetivo: Realizar un microanálisis mineral del tejido óseo en contacto con mini-implantes de uso ortodóncico, a fin de evaluar la presencia de Titanio en el mismo.

Materiales y métodos: Dentro de un estudio de mayor envergadura en el cual se utilizaron miniimplantes se seleccionó una muestra de 12 conejos mestizos para realizar este estudio, controles y experimentales. Se colocaron 4 miniimplantes de titanio de 10 mm de longitud y 1,4 mm de diámetro en las tibias, permaneciendo los mismos durante un periodo de 6 a 12 semanas. Todos los animales de experimentación fueron sacrificados seis semanas después. Se retiraron los microimplantes de las tibias y se prepararon las muestras para su estudio al microscopio electrónico de barrido (MEB) y microanálisis mineral con un Espectrómetro disperso de Energía (EDAX).

Resultados: Se realizó microanálisis en tibias de conejos controles y experimentales, en el lecho de los mini-implantes (zona cortical y medular) y en zona alejada por 1 mm. En ninguna de las muestras analizadas se encontró presencia de Titanio.

Conclusiones: No se detectó con este método de estudio presencia de Titanio en hueso en contacto con mini-implantes. Es necesario continuar este estudio con detectores de mayor sensibilidad, a fin de descartar la difusión de este mineral hacia los tejidos circundantes.

166

COMPARACIÓN DE DOS CONCENTRACIONES DIFERENTES DE UN AGENTES ESCLEROSANTE PARA EL TRATAMIENTO DE LESIONES VASCULARES ORALES Y PERIORALES

Peláez, Anabel*; Ferrería José Luis; Mauriño, Néstor Raúl; Giannunzio, Graciela; Stolbizer, Federico U.B.A. - Facultad de Odontología - Cátedra de Cirugía y Traumatología BMF III

La escleroterapia es una técnica utilizada para el tratamiento de patologías vasculares bucales y peribucales, siendo una técnica sencilla, económica y conservadora que da como resultado la remisión de la lesión o la disminución de tamaño favoreciendo su abordaje quirúrgico. Algunos esclerosantes que encontramos en la bibliografía son el polidocanol y el oletado de etanolamina, ninguno de ellos se aplica bajo un protocolo estandarizado como tampoco hay estudios que confirmen su eficacia; por este motivo se confeccionó un protocolo de tratamiento de lesiones vasculares con polidocanol, utilizando dos concentraciones diferentes.

Materiales y métodos: Se utilizó el agente esclerosante polidocanol en concentraciones de 0,5 % y 1 % en dosis de 0,1 ml, con una frecuencia de aplicación semanal. Las lesiones tratadas se dividieron en dos grupos según tamaño, Grupo G1 hasta 0,5 cm y Grupo G2 mayores a 0,5 cm. los datos registrados fueron tamaño inicial y final, coloración, consistencia y número de infiltraciones necesarias hasta su remisión.

Resultados: Los resultados preliminares obtenidos muestran que lesiones pequeñas remiten en menor cantidad de sesiones cuando se utiliza el agente esclerosante al 1 %. las lesiones del Grupo G2 no evidencian variación según cantidad de sesiones en relación a la concentración utilizada del polidocanol.

RELACION ENTRE LA COMPOSICIÓN LIPÍDICA DE MEMBRANA Y LA ACTIVIDAD DE ATPASA DE CEPAS DE *STREPTOCOCCU MUTANS*

*Bojanich M.A.; Calderón R O.

Cátedras de Química Biológica, Facultad de Odontología, UNC y I Cátedra de Biología Celular, Histolog

En la composición de la membrana plasmática del *Streptococcus mutans* (*Sm*), uno de los principales agentes etiológicos de la caries dental, predominan los ácidos grasos saturados (C_{14:00}-C_{16:00}) y en menor proporción los insaturados (C_{18:1}-C_{20:1}). La ATPasa protónica, inserta en este medio lipídico establece un gradiente electroquímico favorable a la supervivencia bacteriana. **Objetivo:** Estudiar los cambios de la composición lipídica de la membrana del *Sm* en diferentes superficies del elemento dentario y correlacionar dichos cambios con la actividad de la ATPasa. **Materiales y métodos:** Las cepas colectadas de placa bacteriana (n=12) de superficies lisa (SL) y oclusal (SO) de elementos dentarios sanos (DS) y cariados (DC) se sembraron en agar Mitis Salivarius. La identificación de especies se realizó por pruebas bioquímicas convencionales disponibles en el mercado. Los lípidos de membrana del *Sm* extraídos con cloroformo:metanol, fueron metilados con tolueno-metóxido de sodio y cuantificados por cromatografía gaseosa. La actividad de la ATPasa fue evaluada por la cantidad de fosfato inorgánico liberado después de la adición de ATP. Los datos fueron tratados por *test t* (p £ 0,05). **Resultados:** Al comparar la composición lipídica de la membrana plasmática del *Sm* colectado de elementos dentarios sanos con cariados se observó una relación de cambio de 7 en la SL, mientras que en la SO fue de 2. Considerando los parámetros que afectan estos cambios (largo e insaturación de las cadenas de los ácidos grasos), se observó un incremento 2 veces mayor en cadenas largas en la SL con relación a la SO. Los ácidos grasos insaturados de bacterias de la SL incrementaron un 2,15 % (p < 0,0001), mientras que los ácidos grasos saturados incrementaron un 1,14 % (p < 0,0001). En la SO los incrementos fueron del 1.66% y del 1% de los ácidos grasos insaturados y saturados, respectivamente. Al evaluar la actividad de la ATPasa se observó un incremento del 50 y 15% en la DCSL y DCSO respectivamente. **Conclusión:** Los cambios fueron mas intensos en la SL que en la SO y la actividad de la enzima ATPasa se correlacionaría con los cambios de organización de la membrana del *Sm*, determinada por la composición de ácidos grasos.

INFLUENCIA DE LAS DROGAS PARA TRATAMIENTO PROSTÁTICO EN PACIENTES PERIODONTALES. ESTUDIO PRELIMINAR

Brusca MI* , Albaina Olatz ** ,Ponton J**

*Cátedra de Microbiología. Facultad de Odontología .Universidad de Buenos Aires. Argentina

Los factores de riesgo más importantes para el desarrollo de la hiperplasia benigna de próstata (HBP) son el envejecimiento y la presencia de andrógenos. Las manifestaciones bucales de las variaciones hormonales se expresan también en el periodonto, que es uno de los sitios "blanco" para la acción de las hormonas esteroideas.

Objetivo: evaluar el estado periodontal y la incidencia de *Candida spp* (*C.spp*), *Porphyromonas gingivalis* (*Pg*), y *Prevotella intermedia* (*Pi*), en pacientes que consumen medicación para la HBP.

Métodos: se realizó un estudio transversal en el que se incluyeron pacientes adultos (edad 65 ± 5) con HBP medicados con Terazosino y Tansulosina, el grupo control fueron pacientes adultos sin problemas de próstata. Los pacientes no presentaban otra patología sistémica y no eran fumadores y fueron agrupados de acuerdo al estado periodontal al momento del examen (el mismo incluyó profundidad al sondaje, pérdida de inserción, hemorragia al sondaje, índice de placa, índice gingival y evaluación radiográfica). En cada paciente se tomó una muestra de placa subgingival de la pieza dentaria que presentaba mayor profundidad al sondaje y pérdida de inserción. Las muestras se sembraron y se realizaron pruebas convencionales para identificar *C. spp*, *Pg*, y *Pi*. Se realizó análisis estadístico utilizando ANOVA y el coeficiente de asociación *d* de Sommers.

Resultados: los pacientes que consumen medicamentos para su tratamiento mostraron una mayor incidencia de periodontitis crónica con respecto al grupo control. (Coeficiente de Asociación *d* de Sommers =0.19). Sólo en los pacientes que ingerían estas drogas se aislaron especies de *Candida no albicans*: *C. tropicalis*, *C. krusei*.

Conclusión: Los pacientes medicados con Terazosino y Tansulosina presentaron una mayor incidencia de periodontitis crónica en relación a sus respectivos controles.

Gliosca L, *Brusca MI, Maccarone G, Turcot LG, Molgatini SL
Cátedra de Microbiología y Parasitología. Facultad de Odontología. UBA

La susceptibilidad de los diferentes microorganismos periodontopáticos *in vitro* varía en las poblaciones mundiales y al respecto se tiene poca información sobre el comportamiento de estos microorganismos en Argentina. Es relevante contar con datos confiables acerca de un patrón de susceptibilidad antibiótica que permitan sustentar una terapéutica ajustada a las necesidades clínicas de nuestro medio. **Objetivo:** Establecer, en forma preliminar, el perfil de susceptibilidad *in vitro* frente a Ampicilina (AMP), Amoxicilina - Acido clavulánico (AMC) y Azitromicina (AZT) de cepas locales de *P. intermedia* (*Pi*) *Fusobacterium nucleatum* (*Fn*) y *Aggregatibacter actinomycetemcomitans* (*Aa*) obtenidos de pacientes con periodontitis crónica y agresiva. **Métodos:** La técnica de susceptibilidad a AMP, AMC y AZT utilizada fue la de dilución en agar E-test®, siguiendo las recomendaciones del CLSI (M11 A7 y M7-A7)) y las del fabricante (AB BIODISK- E-test®) para establecer la concentración inhibitoria mínima (CIM) de estos antimicrobianos en cepas de *Pi* (n=5); *Fn* (n=7) y *Aa* (n=5) obtenidos a partir de biofilm de placa subgingival de pacientes con periodontitis crónica y agresiva (n=25). **Resultados:** Las CIM para AMP, AMC y AZT que se obtuvieron para *Pi* comprendieron un rango entre 0,016 - 8; 0,016 - 0,047 y 0,5 - >=256 µg/ml respectivamente; 0,016 - >=256; 0,016 - 0,094 y 0,064 - 3 µg/ml para *Fn* y 0,0125-0,25; 0,25 y 0,25-0,50 para los aislamientos de *Aa* respectivamente. **Conclusiones:** Los aislamientos de *Pi* analizados fueron todos sensibles a la asociación AMC, mientras que un 25% de estos aislamientos resultaron productores de beta-lactamasa, disminuyendo la sensibilidad a AMP a un 75%. Las cepas de *Fn* describieron un perfil de susceptibilidad que alcanzó el 100% para la AMC y un 85,7% a AMP. Ninguna cepa de *Fn* presentó producción de betalactamasas. Ambas especies, presentaron disminución de la susceptibilidad a la AZT. Los *Aa* estudiados, resultaron sensibles a todas las drogas ensayadas.

Financiado con UBACYT O 404

*Ciancia Mansur AA, Gil Deza M, Saez MM, de la Casa ML, Cecilia M
Cátedra de Endodoncia - FOUNT

INTRODUCCIÓN. El objetivo de este trabajo fue evaluar la acción antibacteriana de pastas de hidróxido de calcio y MTA usando clorhexidina como vehículo.

MATERIALES Y METODO: Se analizó la acción antibacteriana sobre *Enterococcus faecalis* de las siguientes pastas 1)- Ca (OH)₂ + Gluconato de Clorhexidina 0,1%, 2)- Ca (OH)₂ + Gluconato de Clorhexidina 0,01%, 3) Ca (OH)₂ + Agua destilada (control), 4) MTA + Gluconato de Clorhexidina 0,01%, 5) MTA + Gluconato de Clorhexidina 0,1%, 6) MTA + Agua destilada (control). Se estudió con el método de difusión en agar. Las cepas fueron activadas en caldo infusión de cerebro-corazón. El inóculo bacteriano se preparó a partir de un cultivo de 18 horas realizando una suspensión en caldo Müeller Hilton (Britania) ajustando la turbidez a 0,5 del standard de nefelómetro de Mc Farland. Y se colocó en cuatro placas de Petri con agar, con una altura de 4mm. El MTA se preparó según indicaciones del fabricante en una relación polvo-liquido 3:1,mezclándolo con agua destilada o solución de clorhexidina 0,1% y 0,01% respectivamente. El material así preparado fue colocado en celdas de 5mm de diámetro en las placas de petri; colocándose también discos estériles de papel embebidos en agua y Clorhexidina como control. Las placas fueron incubadas invertidas a 37°C durante 24 horas y se realizaron entonces las mediciones del diámetro del halo de inhibición con regla milimetrada. Todos los especímenes fueron realizados por triplicado. Los datos obtenidos se analizaron estadísticamente.

RESULTADO. No se evidenció diferencias estadísticamente significativas entre las sustancias y concentraciones estudiadas (p ≥0,05)

CONCLUSIONES. La acción antimicrobiana sobre *E. faecalis* resultó igualmente efectiva tanto para MTA como para pastas de hidróxido de calcio con G. de clorhexidina.

171**FORMAS ATÍPICAS DE MICROORGANISMOS DE PLACA SUBGINGIVAL EN PACIENTES CON PERIODONTITIS CRÓNICA**

Somaglia L1, *Turcot L1, Bernat MI1, Vilotta SM1, Bermolen M2, Lavandeira P2, Zamberlin J, 2 Lavandei. Cátedra de Microbiología y Parasitología. Facultad de Odontología. UBA-1 Cátedra de Periodoncia.

El diagnóstico convencional de placa subgingival basado en el método de campo oscuro identifica los morfotipos clásicos (cocos, bacilos y espiroquetas) excluyendo cuali-cuantitativamente las formas bacterianas no convencionales, por ejemplo: las variables formas L (protoplastos, esferoplastos, grandes cuerpos L), quistes de treponemas, nanopartículas calcificantes, ultramicrobacterias, formas consuntivas (starvation forms) y las formas persistentes (persister cells). Estas variables morfológicas podrían ser las responsables de los ciclos de recidivas – recaídas de las enfermedades periodontales, de su estudio podría caracterizarse si estas patologías inmunoinfecciosas son de curso crónico y/o latente.

Objetivo: El objetivo primario de este trabajo preliminar fue ampliar el estudio de formas atípicas de microorganismos en placa subgingival de pacientes con periodontitis crónica.

Métodos: se estudiaron 30 muestras de placa subgingival de pacientes con periodontitis crónica las que fueron procesadas para ser visualizadas por microscopía electrónica de barrido (MEB).

Resultados: El MEB permitió detectar en todas las muestras algunas de las variantes de formas atípicas: quistes de treponemas, vesículas endotóxicas, formas compatibles con nanobacterias, formas consuntivas, formas compatibles con micoplasmas, cuerpos L de 5 a 30 μm ., sincicios de 5 a 15 μm y formas filtrables de 50 a 100 nm.

Conclusión: El estudio de las formas atípicas de microorganismos periodontales es un nuevo campo de investigaciones en Periodoncia. Se requieren nuevos estudios longitudinales para evaluar su relevancia en la ecología periodontal así como en el diagnóstico, pronóstico, nuevas modalidades terapéuticas y/o etiopatogenia de las enfermedades periodontales.

172**ADHESIÓN DEL GÉNERO MYCOPLASMA A SUPERFICIES BIOCOMPATIBLES DE NITINOL**

*Vilotta SM, Somaglia L, Bernat MI, Rosmino F, Palacios N, Rosa A, Molgatini S, Turcot, L. Cátedra de Microbiología y Parasitología. Facultad de Odontología. Universidad de Buenos Aires

Durante el desarrollo de los procedimientos odontológicos se producen bacteriemias que permiten la diseminación de los microorganismos de la placa dental, con la consiguiente posibilidad de adhesión y colonización a prótesis cardio-vasculares ocasionando su infección y posterior necesidad de recambio, el nitinol es un material utilizado en la confección de la mayoría de estos dispositivos. Dentro de la diversidad de microorganismos que conforman las placas dentales el género *Mycoplasma* se ha aislado de placas periodontales.

Objetivo: En el presente trabajo se estudió la capacidad de adhesión del género *Mycoplasma* a superficies de nitinol usando microscopía electrónica de barrido (MEB).

Métodos: La cepa de *Mycoplasma sp* utilizada fue aislada de placa subgingival de un paciente con periodontitis crónica. Cada una de las 30 muestras de nitinol fue suspendida en caldo PPLO estéril suplementado con suero y extracto de levadura, inoculada con una suspensión de *Mycoplasma sp*. e incubadas en una atmósfera de 90% de H₂ y 10% de CO₂ a 37°C durante 5 días. Al cabo de ese lapso las muestras fueron lavadas repetidas veces con agua destilada estéril y procesadas para su visualización por MEB.

Resultados: las observaciones por MEB demostraron que en todas las muestras estudiadas el *Mycoplasma sp*. se adhirió a las superficies de nitinol a modo de una biopelícula de formas cocoideas de 250-300 nm unidas por un material fibrilar que las une entre sí y a la superficie en estudio.

Conclusión: Debido a lo expuesto se concluye que el género *Mycoplasma* es capaz de adherirse a superficies de nitinol.

SALUD ORAL DE ESCOLARES DE POBLACIONES EXCLUIDAS. ESTUDIO SOCIOEPIDEMOLÓGICO

Alavar M1*, Cruz S1, Martínez C2, Delgado A M1, Santana M2
Hospital Dr. Jorge Uro, La Quiaca1, Jujuy. Cátedra de Bioestadística. Facultad de Medicina UNT2

Numerosas investigaciones han mostrado que la prevalencia de caries dental se encuentra asociada a determinantes socioeconómicos y educativos

Objetivo: Relevar el estado dentario y la necesidad de tratamiento de caries de escolares de Cangrejillos, Departamento de Yavi, Provincia de Jujuy y asociar con factores culturales y socioeconómicos.

Material y Método: El diseño fue de corte transversal. La población estuvo constituida por los 70 niños matriculados en la Escuela “Vicente López y Planes” en 2009, todos eran descendientes de pueblos originarios. El diagnóstico clínico se realizó de acuerdo a los criterios de OPS/OMS. Se registró CPOD/ceod (Palmer, Knutson, 1938) y el índice de Necesidad de Tratamiento de Caries (INTC) (Bordoni, 1994). Los datos correspondientes a las variables intrínsecas (edad, sexo) y las dependientes de factores externos (escolaridad de la madre, condiciones laborales, acceso a servicios de salud, otros) se obtuvieron usando encuestas estructuradas. Se realizó un análisis descriptivo de las variables observadas. La relación entre el CPO y los factores considerados se analizaron por ANOVA, test T y Test Exacto de asociación según corresponda.

Resultados: la edad promedio fue de $x=8,57\pm 2,40$. El 29% (4) de los escolares tenían dentición permanente. El CPOD/ ceod fue de $12,8 \pm 3,85$; 36 % (25) de los niños necesitaban medidas y programas preventivos y el resto requería rehabilitación. El 67% pertenecían a familias indigentes. La proporción de caries (C+c) y la proporción de cada uno de los componentes del CPO/ceo no varía significativamente según el sexo ($p=0,71$; $p=0,648$), nivel de escolaridad de la madre ($p=0,431$; $p=0,391$) y los Servicios de Provisión de Agua ($p=0,429$; $p=0,357$). El lugar de consulta no varía significativamente según el motivo de la misma. ($p=0,61$)

Conclusión: En esta investigación los valores promedio de caries se encuentran por encima de la media nacional y regional. Los resultados muestran gran homogeneidad de la población estudiada respecto de las variables probablemente se deba a pautas culturales.

Subsidiado por SACyT

REDELIMITACIÓN DEL CAMPO SALUD/ ENFERMEDAD ATENCIÓN EN LOS GRUPOS (QOM) TOBAS ASENTADOS EN LOS “PUMI”

Azcona; M.S*; Carames R; Carbó;L; Carracedo ; E
Cátedra de Odontología Social y Farmacología FOUNR

A partir de un enfoque interdisciplinario, que incluye perspectivas biológicas/ sociales. Se prosigue con una línea de investigación que considera, en ámbitos de pobreza urbana, aspectos estructurales institucionales de la práctica odontológica, incluyendo las lógicas internas de los procesos salud/ enfermedad /atención de los conjuntos sociales. Este estudio tiene como:

Objetivo conocer los patrones de comportamiento de la población en estudio, en torno a los movimientos de reivindicación en salud /salud bucal/ condiciones epidemiológicas del barrio y en respuesta de las políticas sanitarias emanadas de jurisdicciones locales /regionales.

Metodos. a) Observación en el campo. b) Entrevistas semiestructuradas (17) a miembros Del Centro Comunitario QADHUOQTE”(9) y de la Comisión de Salud “NA”MQ”OM”(8). Las entrevistas fueron analizadas cualitativamente por ejes temáticos.

Resultados: Los datos obtenidos fueron: persisten en la población estudiada características de vulnerabilidad socioepidemiológica. Los grupos aborígenes son sectores sociales que presentan las tasas más altas de mortalidad, frente a esta situación las repuestas sanitarias no consideran la consulta y participación efectiva de la comunidad. Las propuestas (Centros de salud) son; prevención en salud bucal, evaluando las prácticas de cepillado, y la asistencia y percepción de la calidad de los servicios odontológicos.

“Las demandas en salud se realizan desde perspectivas etnopolíticas (derechos jurídicos /salud /educación de los pueblos originarios) articuladas a la realidad del plano local Acuerdos entre: los Servicios de salud /y el (Centro Comunitario QADUOHQTE). En el contexto de políticas sociales/sanitarias emanadas de jurisdicciones locales/provinciales.”

175

PRESENCIA DE CANDIDA SPP. Y GRUPO STREPTOCOCCUS MUTANS EN DIFERENTES SUPERFICIES DENTARIAS EN NIÑOS. ESTUDIO PRELIMINAR

*Bojanich MA, Martínez MC, Castillo G, Scatena G, Ochonga G, Tolcachir B, Vera Cucciaro V, Calamari S, Azcurra A, Barembaum S, Evjanian G, Lescano de Ferrer A. Cátedras Química Biológica B e Integral Niños, Área Odontopediatría B. Facultad de Odontología. UNC

El biofilm constituye uno de los agentes etiológicos principales de la caries dental. Estudios microbiológicos recientes sobre la flora cariogénica de pacientes niños confirman la asociación entre *Candida* spp. (CA) y *Streptococcus mutans* (SM) en dicho ecosistema.

Objetivo: Estudiar la presencia de CA y SM en saliva y diferentes sectores de las superficies dentarias (superficie lisa SL y fosas y fisuras FF).

Materiales y Métodos: La muestra (n= 36) estuvo conformada por niños de ambos sexos (5 a 8 años). Las cepas de los microorganismos se aislaron de saliva sin estimular y placa bacteriana de SL (cara lingual) y FF y se determinaron las UFC en medios selectivos para SM y CA. Los datos fueron analizados estadísticamente mediante análisis de correspondencia y OR, $p \leq 0,05$.

Resultados: Se aisló SM en el 35% de los niños, tanto en SL como en FF. El 13% de la población estudiada presentó SM en saliva. CA se aisló en el 11% de los niños tanto en SL como en FF, siendo *C. albicans* la única especie encontrada. No se aisló CA de saliva. Se observó asociación entre la presencia de CA en ambas superficies y sexo masculino (inerencia 71,4%), pero no se encontró asociación entre las diferentes superficies dentarias estudiadas y la presencia de SM y CA (OR=1).

Conclusiones: Los estudios microbianos en niños confirman la presencia de CA en la placa bacteriana asociada a superficies dentarias. Sin embargo, este hongo no fue aislado de las muestras de saliva. Estos hallazgos preliminares requieren profundizar el estudio para la contribución del conocimiento epidemiológico del biofilm y la salud bucal de los niños.

176

LA RUGOSIDAD Y COMPOSICIÓN DE LAS SALIVADERAS Y LA FORMACIÓN DEL BIOFILM

Butler T*, Fernández de Mele M.
Facultad de Odontología de la Universidad Nacional de La Plata

Objetivo: Relacionar la incidencia que tiene la rugosidad y composición superficial de las caras internas de las salivaderas dentales en la formación del biofilm.

Materiales y métodos: Se realizaron 10 cortes de las paredes internas cercanas al desagüe de tres salivaderas dentales en desuso de opalina, cerámica y acero inoxidable. Se analizó la rugosidad superficial de cada uno de los cortes con un rugosímetro Hommel Tester 1000. Posteriormente cada sustrato fue colocado en salivaderas de materiales afines durante 24 y 64 horas. Seguidamente se evaluó el número de microorganismos adheridos en cada uno de los cortes. Para ello se raspó con un ansa cada una de las superficies expuestas y al material obtenido se lo suspendió en Agar Mitis salivarius, Agar Mac Conkey y Agar Melitado de Saboreaud para determinar el número de unidades formadoras de colonias (UFC/cm²). También se efectuaron conteos a través de microscopía de epifluorescencia luego de teñir con naranja de acridina. Finalmente se realizó el análisis estadístico de los datos empleándose la prueba de varianza de factores múltiples.

Resultados: Las medidas de rugosidad mostraron el siguiente orden creciente: acero inoxidable < opalina < cerámica. Los cortes provenientes de los bordes presentaron menor rugosidad que aquellos provenientes de zonas próximas al desagüe. Se constató un mayor número de microorganismos a mayor tiempo de exposición y una diferencia estadísticamente significativa ($P < 0,05$) entre el número de bacterias adheridas a cada uno de los tres materiales siguiendo el siguiente orden: acero inoxidable < opalina < cerámica.

Conclusión: Por lo expuesto se infiere que tanto la rugosidad como la composición superficial de los materiales de elaboración de las salivaderas dentales son factores muy importantes a tener en cuenta en relación a la formación biofilms sobre dichas superficies, siendo la cerámica el material que más predispone la formación del mismo.

ANÁLISIS DE LA ABSORCIÓN DE FLUOR A TRAVÉS DE ESPECTOGRAFÍA INFRARROJA (FTIR)

Butler T*, Lazo S, Lazo G, Basal R, Vizcovic C, Friso E, Merlo D, Alfaro G, Pazos F.
Cariología, Epidemiología y Salud Pública

Objetivos:

El objetivo de este trabajo fue analizar la absorción del Fluor y las modificaciones del esmalte mediante el sistema de Espectografía con luz infrarroja.

Materiales y Método:

Se seleccionaron 10 piezas dentarias tratadas con Fluor neutro en forma de tópico. Se realizaron cortes de las mismas por fractura y posteriormente se analizó la absorción del Fluor utilizando el sistema de Espectografía con luz infrarroja (FTIR). Para dicho estudio se utilizó un Espectofotómetro con punta registradora de frecuencias; que se grafican en un sistema de coordenadas. Los resultados fueron analizados estadísticamente mediante la prueba t de Student.

Resultados:

Los resultados indicaron que la absorción de Fluor en el esmalte se realizó con una frecuencia media, no existiendo mayores modificaciones del esmalte después del tratamiento. La prueba t de Student relacionada con los valores medios de frecuencia arrojó un rango no significativo siendo $p > 0,05$.

Conclusiones:

El análisis realizado mediante el sistema de espectografía de luz infrarroja indicó la cantidad de Fluor absorbido, sin embargo para observar las modificaciones en el esmalte, debería completarse el estudio con el sistema Difracción de Rayos X (EDAX) con Microscopía Electrónica de Barrido (MEB).

ESTRATEGIAS PARA LA DETECCIÓN BACTERIOLÓGICA DE S. MUTANS EN SALIVA DE NIÑOS PARTICIPANTES DE UN PROGRAMA PREVENTIVO COMUNITARIO

Zimmermann E, Cachia A*, Díaz A, Maino A, Spoleti MJ§, Pisterna G, Spoleti P.
Cat. Social III, Fac. Odontología, UNR; § Servicio Bacteriología HNZN.

La caries dental es de etiología multifactorial; *Streptococcus mutans* han sido implicados como agentes causales de caries, por lo que los agentes antimicrobianos constituyen un enfoque preventivo razonable; distintas sustancias han sido propuestas para lograr una disminución de *S. mutans* en la dentición humana; desarrollar una estrategia de cuantificación de este microorganismo en saliva, reproducible en diferentes poblaciones, es fundamental para evaluar el efecto preventivo de estas sustancias. En estudios previos pusimos a prueba una técnica de recolección y procesamiento de saliva estimulada en niños, que necesita ser duplicada en una población de diferentes características socioeconómica para poder utilizarla en experiencias futuras. **OBJETIVOS** Replicar una técnica de recolección y cuantificación de *S. mutans* en saliva de niños de 6 a 8 años de edad; calibrar al equipo de trabajo y poner a prueba la técnica en otro grupo experimental para valorar su utilización en la comparación del efecto supresor de diferentes sustancias en la cantidad de *S. mutans* presente en el biofilm de niños. **MÉTODOS** Se seleccionaron al azar diez niños participantes de un programa preventivo comunitario. Se tomó una muestra salival estimulada total por masticación de un trozo de tubo de látex (2 cm) durante 1 minuto. Se aspiró saliva con pipeta estéril de 5 ml, que fue colocada en un tubo de ensayo estéril con tapa bacteriológica, conservado en hielo a 4°C para su transporte al laboratorio y procesamiento. Se realizaron los cultivos bacteriológicos identificando *S. mutans* por pruebas bioquímicas y cuantificando las unidades formadoras de colonias (ufc). **RESULTADOS** Con la metodología propuesta fue posible el recuento de *S. mutans* en el 90% de la muestra (n=9), el número de ufc en los individuos analizados fue entre $2,3 \times 10^3$ y $9,8 \times 10^5$. **CONCLUSIONES** La técnica propuesta y la logística implementada permitieron la recolección de saliva para su procesamiento bacteriológico y cuantificación de *S. mutans* presente en las mismas. La obtención de resultados similares a nuestra experiencia previa avalarían la utilización de esta técnica para evaluar la acción de la aplicación de diferentes sustancias como medidas preventivas del papel que *S. mutans* tiene en el proceso de caries.

CARACTERIZACIÓN DE CEPAS DE STREPTOCOCCUS MUTANS EN ESCOLARES POR PCR MULTIPLEX

CARLETTO-KÖRBER FPM*, GONZÁLEZ-ITTIG RE, JIMÉNEZ MG, CORNEJO LS. Facultad de Odontología. Facultad de Ciencias Exactas Físicas y Naturales. Facultad de Ciencias Médicas

Streptococcus mutans es una de las especies bacteriana de mayor prevalencia en la cavidad bucal, los productos de su actividad metabólica están fuertemente asociados al proceso de desmineralización del esmalte dentario característico de la caries dental. En su pared celular se destacan proteínas que participan de la adhesión, agregación-co-agregación y polisacáridos que muestran distintas especificidades antigénicas, lo que permite distinguir cuatro serotipos: *c*, *e*, *f* y *k*. El **objetivo** de este estudio fue caracterizar las cepas circulantes, a través de su serotipado, en 56 niños de las escuelas Zevallos (Valle Hermoso), Yrigoyen (Alta Gracia), Luciani y Cabanilla (Córdoba Capital). Los directivos de las escuelas y los padres de los alumnos dieron su consentimiento para la participación en la presente investigación según la Declaración de Helsinki. Muestras de saliva y placa dental fueron sembradas en un medio selectivo para el desarrollo de las bacterias. La extracción de ADN se realizó según el método de Bollet. Para determinar los serotipos se realizaron amplificaciones por PCR de tipo multiplex. En las muestra de saliva y biopelícula analizadas se detectaron en mayor proporción el serotipo *c* (58%), luego el *e* (20%) y el *f* (12%). En cinco niños se encontró la presencia simultánea de los serotipos *e/f* (4%), *c/e* (2%) y *c/f* (4%). La frecuencia de los serotipos resultó diferente en las distintas escuelas, siendo: *c* =71%, *e* =14%, *f* =5%, *e/f* =5%, *c/e* =5% en la escuela Zevallos (n=21); *c* =56%, *e* =33%, *f* =11% en la Yrigoyen (n=9); *c* =29%, *e* =22%, *f* =29%, *e/f* =7%, *c/f* =15% en la Luciani (n=14) y *c* =75%, *e* =17% y *f* =8% en la Cabanillas (n=12). Se destaca el patrón diferente de distribución de frecuencias observado en la escuela Luciani. La diversidad observada tanto respecto a la distribución de los serotipos como así también a la coinfección demanda la necesidad de profundizar el estudio en relación a la situación clínica y de los factores determinantes de caries en los niños portadores de los distintos serotipos.

RELACIÓN DE SIGNOS Y SÍNTOMAS DE TRASTORNOS TEMPOROMANDIBULARES EN NIÑOS Y ADOLESCENTES

Cortese S., Farah C*, De la Cal C., Hecht, P; Biondi A.
Cátedra Odontología Integral Niños, Facultad de Odontología, Universidad de Buenos Aires

La importancia de signos y síntomas de Trastornos Temporomandibulares (TTM) en niños es considerada por la Academia Americana de Odontología Pediátrica, como controvertida. Su prevalencia, baja a edades precoces, aumenta con la edad, con mayor necesidad de tratamiento en las niñas asociada con el inicio de la pubertad. **Objetivos:** Comparar las poblaciones que demandan atención integral y por TTM, en la Cátedra de Odontología Integral Niños de FOUBA, analizar signos y síntomas de TTM, y relacionarlos con sexo, disfunciones miofuncionales y hábitos parafuncionales. **Sujetos y Métodos:** Se diseñó un estudio retrospectivo, descriptivo observacional. La información obtenida de las historias clínicas del periodo 2004-2009 fue ingresada a una base de datos, para registro de edad, sexo, signos y síntomas de TTM disfunciones miofuncionales y parafunciones. Se utilizaron porcentajes con intervalos de confianza del 95%, Test de Student, y Test Exacto de Fisher. Los datos de TTM se sometieron a un análisis estadístico multivariado de correlación no paramétrica de Kendall (Tau) en Statistica 8.0, ($p < 0,05$). **Resultados:** Demandaron atención integral (A) 7120 pacientes, edad 9.4 ± 3.7 , 51,22% de sexo femenino. El 3.64% (3.21-4.1) de los pacientes requirieron atención en el Área de TTM (B). Este subgrupo quedó constituido por 258 pacientes de $12.5 \pm 2,7$ años (11.75-12,24), moda 14, perteneciendo el 58,3% al sexo femenino. Entre A y B se encontraron diferencias significativas en relación a edad ($p < 0.0001$) y sexo ($p = 0.04$). En B el 86.82% (82.06-90.7) presentaron al menos un signo o un síntoma de TTM, el 76.83% (71.2-81.84) disfunciones miofuncionales y el 83.78% (78.7-88.06) hábitos parafuncionales. Se encontró correlación entre: sexo masculino vs. dolor (0.110) y vs. disfunciones (0.106); sexo femenino vs limitación (-0.12) y ruido (-0.19); dolor vs. limitación (0,160), vs. ruido (0,248), y vs. parafunciones (0,194); limitación vs. ruido (0.236) y ruido vs. parafunciones (0.087). **Conclusiones:** En esta muestra pediátrica, los que demandaron atención por TTM fueron púberes femeninas. Se encontró correlación entre sexo masculino con dolor y disfunciones; sexo femenino con limitación y ruido; dolor con limitación, ruido y parafunciones; limitación con ruido y ruido con parafuncione

ESTADO GINGIVO-PERIODONTAL EN PACIENTES ADULTOS HOSPITALIZADOS.

ESTUDIO PRELIMINAR.

González N, Lewin P, Rubio M, Cruz M, Módena J, Nicolosi L. Cátedra Patología Clínica Bucodental, Facultad de Odontología, UBA. División Cardiología Hospital

INTRODUCCION: Se ha establecido que la enfermedad periodontal (EP) genera un proceso inflamatorio con repercusión sistémica objetivado por la presencia de reactantes de fase aguda en suero. La EP está relacionada con la higiene y condiciona la salud bucal y sistémica. En numerosos trabajos, la periodontitis ha sido relacionada con la patología cardiovascular por su probable rol en la génesis aterosclerótica, también se la ha relacionado con otras enfermedades sistémicas. Conociendo la elevada prevalencia de la EP en la población y el riesgo potencial que conlleva, sería conveniente efectuar un relevamiento de la EP en pacientes internados.

OBJETIVOS: Estimar el estado de salud gingivo-periodontal en pacientes adultos hospitalizados por causas no cardiovasculares. **MÉTODOS:** Se inspeccionaron 51 pacientes internados en sala general. Edad promedio 57,59 años \pm 18,95 (rango 21-93). Siendo mujeres el 40,4%. Se realizó un examen bucodental analizando las variables gingivo-periodontales: Hemorragia al sondaje (HS), Profundidad de Sondaje (PS) y Nivel de Inserción Clínica (NIC). Todas las piezas presentes fueron sondeadas en 4 sitios por diente. Se realizaron índices epidemiológicos como CPOD, Índice de placa (IPL) e índice gingival (IG). **RESULTADOS:** El 94,1 % de los pacientes realizaba higiene bucal diaria, el 88,2 % cepillaba sus dientes. La media del IPL fue 2,49. El IG fue 2,35. El 21,3 % de los sitios sondeados presentaban HS positiva. La media de PS fue 2,79 mm y del NIC 1,5 mm. La media de piezas perdidas fue 7,33. Los hombres tuvieron mayor porcentaje de sitios con HS positiva ($p=0,019$). Los pacientes de mayor edad presentaron IPL e IG más altos ($p=0,027$ y $0,048$) y perdieron más piezas ($p=0,000$). No se observaron diferencias en las variables de estudio con respecto a la cantidad de días de internación de los enfermos.

CONCLUSIONES: Se observan elevados indicadores de inflamación gingival como consecuencia de la mayor acumulación de biofilm sobre las superficies dentarias. Los pacientes de mayor edad constituyeron el grupo más afectado en los cuales sería conveniente aplicar un plan preventivo más exhaustivo. La cantidad de días de internación no modificó las variables periodontales.

SALUD BUCAL EN PRE-ESCOLARES Y LA PERCEPCIÓN DE SU IMPACTO EN LA CALIDAD DE VIDA

Klemonsks G*; Capuano C; Masoli C; Fernandez C; Piovano S.
Catedra Odontología Preventiva y Comunitaria, FOUBA

El **objetivo** de este estudio fue: (a) describir el perfil epidemiológico bucodental de una muestra de preescolares residentes en un área de riesgo social del AMBA y (b) explorar las percepciones de sus cuidadores primarios, las que podrían actuar como variables intervinientes en el proceso de salud-enfermedad-atención. **MÉTODOS:** Participaron en este estudio 43 niños (edad media 5,1 \pm 0,3 meses). Tres examinadores entrenados y calibrados llevaron a cabo el examen clínico bucal que incluyó: Índice de placa (Silness y Loe, 1963), ceod, ceos, CPOD, CPOS (Klein y col, 1938), ICDAS II (Pitts y col, 2004). Los cuidadores primarios de los niños completaron la versión del cuestionario ECOHIS (Pahel y col, 2007) validado en español. Se calculó la distribución de frecuencia, la media aritmética y su dispersión para las variables analizadas. Se analizó la asociación y correlación (prueba de Chi cuadrado (χ^2), y coeficiente de correlación de Pearson o Spearman). **RESULTADOS:** 93 % niños presentaron caries dental. El cs fue de 13,02 \pm 1,64. Con ICDAS la media de superficies dentarias códigos 1 y 2 fue: 1,28 \pm 0,32, códigos 3 y 4: 3,58 \pm 0,57 y códigos 5 y 6: 12,79 \pm 1,95. La distribución porcentual de 3781 superficies analizadas con ICDAS II fue de 79,6 % para el código 0; 1,5% para los códigos 1 y 2; 2% y 2% para los códigos 3 y 4 respectivamente y 7,9 y 6,9 % para los códigos 5 y 6. Los impactos citados con mayor frecuencia fueron: el dolor (42%) en la sección referida al niño; y la culpa y el tiempo que han debido ocupar (41,8%) en la sección referida a impactos familiares. Se observó asociación y correlación significativa entre la frecuencia percibida de dolor por los cuidadores primarios y ceos del niño ($\chi^2 = 10,07$ $p < 0,002$; $\rho = 0,49$ $p < 0,001$). La media de las respuestas al cuestionario de impacto mostró correlación negativa con las superficies dentarias que presentaron código 0 de ICDAS II ($\chi^2 = 6,82$ $p < 0,01$; $\rho = -0,40$ $p < 0,01$).

CONCLUSIÓN: La caries dental puede tener un impacto negativo en la calidad de vida de niños pequeños y sus familias.

183**ESTUDIO MULTIDIMENSIONAL DE LA EPIDEMIOLOGÍA
APLICADA A LA PROSTODONCIA**Lapalma, M.A.; Reynoso, A.C.; Steeman, R.(h)
Facultad de Odontología UNR

Con el **objetivo** de abordar de manera integrada las dimensiones terapéuticas, tecnológicas y metodológicas, se realiza el estudio interdisciplinario en la ejecución de un programa de investigación. Del conjunto coordinado de proyectos de investigación que comparten el objeto de estudio, se han generado conocimientos que resultan de su vinculación. Los proyectos que integran este programa son: "Adopción de procedimientos conservadores de las estructuras del sistema estomatognático"; "Estudios epidemiológicos en prostodoncia" y "Estudio epidemiológico descriptivo sobre motivo de consulta en clínica de prostodoncia y satisfacción del paciente". En esta etapa de la ejecución del programa se ha utilizado la epidemiología descriptiva, con recolección de información de fuentes primarias y secundarias. Las producciones de los tres proyectos son analizadas, comparadas e integradas contrastándolos con modelos teóricos y estudios de referencia. De la vinculación de las investigaciones se han encontrado dimensiones de análisis comunes en tres aspectos: la recolección de información primaria; la utilización y análisis de información secundaria; la accesibilidad y evaluación de opciones tecnológicas. La recolección de información, etapa decisiva en los estudios epidemiológicos, supone el estudio detallado de los instrumentos de recolección de información tanto de fuente primaria como secundaria. La evaluación de las opciones tecnológicas posibles para la resolución de problemas odontológicos se evalúa tanto desde la demanda, como requerimiento del paciente en el motivo de consulta, como en el profesional, en las opciones terapéuticas que ofrece, relacionado con su posición respecto de la adopción de tecnologías disponibles. Los **resultados** de este programa son utilizados en la docencia de grado y posgrado; para la formación de recursos humanos en investigación; para la realización de diagnósticos de situación y permite contar con herramientas para la evaluación de servicios de salud. La vinculación de estos proyectos en un programa de investigación permite obtener conocimientos cualitativamente diferentes que los que podrían esperarse de su ejecución individual.

184**REPRESENTACIONES DE SALUD-ENFERMEDAD ATENCIÓN
EN ADOLESCENTES DE CORDOBA. ESTUDIO PRELIMINAR**LUCERO MF, HILAS E, MONCUNILL I, BELLA M, HERRERA A, GIGENA P, AGÜERO N, CORNEJO LS.
Facultad de Odontología. Universidad Nacional de Córdoba

En relación al proceso de salud-enfermedad-atención(SEA) existe una variedad de ideas, valores y normas generadas, aprendidas socialmente, que condicionadas por el contexto socio histórico cultural en el que se desarrollan, posibilitan o dificultan la adopción de conductas saludables por parte de diferentes grupos poblacionales.

OBJETIVO: indagar sobre las representaciones que adolescentes escolarizados de nivel medio de la Ciudad de Córdoba construyen acerca del proceso salud-enfermedad-atención.

MÉTODO: participaron del estudio adolescentes de ambos sexos de 16 a 18 años, que asisten a escuelas ubicadas en el centro de la ciudad y en la periferia, próxima a la zona rural, ambas pertenecientes al ámbito público de la ciudad de Córdoba. Se aplicó la técnica de entrevistas individuales semiestructuradas con guión temático. Las mismas fueron grabadas, previo consentimiento informado de los entrevistados. Luego se desgrabaron y el registro escrito fue procesado por ATLAS-ti. Para el análisis se utilizó el método comparativo constante, elaborándose los códigos descriptivos y explicativos.

RESULTADOS. Los adolescentes participantes del estudio, reciben de diferentes formas información preventiva sobre drogas, alcohol, tabaco y sexualidad que no se ve reflejada en sus prácticas de salud, siendo las relaciones grupales un fuerte condicionante de dichas conductas. Evidencian dificultad de significar la enfermedad cuando esta no es invalidante. A nivel del componente bucal las construcciones de los adolescentes son heterogéneas y estarían más relacionadas al contexto socio histórico cultural de procedencia que al contexto escolar.

CONCLUSIONES Nuestras observaciones ponen en evidencia la necesidad de profundizar el análisis de los comportamientos relativos al PSEA de los adolescentes a los fines de generar estrategias de promoción de salud contextualizadas.

VALORACION DEL GRADO DE SASTIFACCION DE LOS PACIENTES ASISTIDOS EN LOS SERVICIOS ODONTOLOGICOS DE ATENCION EXTERNA. FACULTAD DE ODONTOLOGIA. UNIVERSIDAD NACIONAL DE CORDOBA

*Mandozzi M, Gomez de Ferraris M, Sánchez Dagúm M, Sánchez Dagum E. Cátedra de Odontología Preventiva y Social I - II. Facultad de Odontología. U.N.C

La meta insuperable de todo servicio de Salud no es otra cosa que la satisfacción del usuario.

El **objetivo** del trabajo de investigación fue: "Valorar el grado de satisfacción de los usuarios (pacientes) asistidos en los Servicios Odontológicos de Atención Externa de la Facultad de Odontología de la U.N.C".

Metodología: El diseño fue de tipo cuali-cuantitativo, observacional, descriptivo, transversal y correlacional. Se incluyeron los Servicios de la Clínica Odontológica, y a los Consultorios Externos de las Cátedras Clínicas de Cirugía II e Integral Niños y Adolescentes (Área Odontopediatría). La muestra (n= 169), se obtuvo a partir de la cantidad total de usuarios que asistieron a los Servicios, tomando los meses de concurrencia más altos y más bajos. Las edades se establecieron por intervalos de clase, según grupos etarios. Los datos fueron recolectados por medio de un instrumento ad-hoc. Las dimensiones en Estudio fueron: "Tipo de Demanda", "Estructura", "Procesos" y "Resultados". Los resultados fueron descriptos en frecuencia absoluta y relativa.

Resultados: El 99,9% de los encuestados la primera vez que concurrieron a los Servicios lo hicieron sin turnos, recibiendo prestaciones Odontológicas el 54,43% de ellos. La media para los tiempos de espera según la percepción de los encuestados fue de 19,23 minutos, a lo que el 75,51% de ellos lo consideró como razonable. El 98,81% de los encuestados consideraron al trato recibido por parte del equipo de Salud como bueno. Las expectativas de los encuestados en relación a la atención recibida, se circunscribió a la necesidad de recuperar la Salud Bucal en el casi 50%.

Conclusión: Las propicias relaciones inter-personales de los usuarios con los proveedores de Salud y la percepción del tiempo de espera como "razonable", represento para los usuarios "satisfacción en la atención recibida".

IMPACTO DE ACCIONES PREVENTIVAS SOBRE LA SALUD BUCAL DE NIÑOS CON ENFERMEDAD CELÍACA: UN ESTUDIO LONGITUDINAL

*Mina S1, M. Brunotto2 .1 Departamento de Preventiva y Social y 2 Departamento de Biología Bucal, Facultad de Odontología.

En estudios previos de nuestro grupo de trabajo reportamos que los niños con Enfermedad Celíaca (EC) muestran alteraciones en el esmalte dental, en la morfología de la mucosa oral y modificaciones de algunos componentes salivales. El **objetivo** de este trabajo fue evaluar la influencia de acciones de salud bucal preventivas-curativas en niños con EC concurrentes al Hospital de Niños de la "Santísima Trinidad" de la ciudad de Córdoba. **Métodos.** Se realizó un estudio longitudinal de 18 meses, en un grupo de niños con diagnóstico confirmado por biopsia de EC (n=20), de ambos sexos y edad entre 4-12 años. Se realizó el examen clínico odontológico de tejidos dentarios y blandos de la cavidad oral. Se obtuvieron los índices CPOD, ceod, alteraciones del esmalte dental e índice de higiene oral. Se obtuvieron citologías exfoliativas de las células de la mucosa oral mediante cepillado que fueron teñidas con H/E y se contaron leucocitos. En saliva se midieron flujo salival, niveles de actividad de *Streptococcus mutans* y *Lactobacillus spp*. Las acciones preventivas-curativas acompañaron a las prácticas alimentarias y consistieron en: educación en higiene oral, rehabilitación, aplicación de fluoruros y masticación de gomas de mascar 2 veces/día, 30 min/3 meses. **Resultados.** Si bien no se observaron lesiones de aftas, algunos pacientes relataron haberlas presentado en algún momento. En tejidos dentarios se observó una disminución de caries a los 18 meses. El índice de higiene oral disminuyó, al igual que la actividad de *Streptococcus mutans* y *Lactobacillus spp*, el flujo salival aumento. La composición celular de los extendidos de mucosa bucal presentó cambios notorios, ya que no se observaron leucocitos a los 18 meses. **Conclusiones.** El paciente celíaco presenta modificaciones en su ecosistema bucal principalmente a nivel de tejidos blandos, por ser esta una enfermedad inmunológica. Las acciones preventivas-curativas, con un seguimiento estricto en conjunto con el equipo de salud, mejoraron sustancialmente el estado de la mucosa bucal, el flujo salival y la higiene oral, impactando positivamente sobre la protección de dicha mucosa bucal, favoreciendo una conformación estructural similar al epitelio normal (SECYT-UNC 05/J094-MINCYT1210/07).

CONOCIMIENTO DE LA POBLACIÓN DE ANÁPOLIS, SOBRE LOS MÉTODOS ALTERNATIVOS DE HIGIENE BUCAL

Barros IMOM, Borges JCR, Sarmiento V, Prado LZX, Pereira, LCG.
Centro Universitario de Anápolis - UniEvangélica

OBJETIVOS: El objetivo de este estudio fue analizar el conocimiento, la opinión sobre la importancia y la eficiencia de los métodos alternativos de higiene bucal durante talleres ofrecidos a la población de pocos recursos de Anápolis/GO.

MÉTODOS: Durante cinco eventos públicos fueron ofrecidos talleres sobre métodos alternativos de higiene bucal. En los talleres fueron presentados el cepillo y el hilo dental alternativo y accesorios, como porta cepillo e hilo dental. Después de la demostración el público fue invitado a confeccionar y experimentar estos diferentes métodos. Al final de cada taller el público respondió un cuestionario de cinco preguntas sobre el tema. Las respuestas fueron tabuladas en el programa Excel.

RESULTADOS: en los cinco eventos, 305 cuestionarios fueron contestados. Los resultados revelaron que 7,9% de las personas ya habían oído hablar de estos métodos, 7,5% ya los conocían y 84,6% no los conocían. Cuanto al grado de confección 92% lo consideraron de ejecución fácil, 5,9% lo consideraron de dificultad media y apenas 2,1% lo consideran muy difícil. Cuando se les preguntó con relación a la efectividad de estos métodos, 53,4% creían que funcionan de la misma manera que los métodos convencionales, 32,4% creían que son más efectivos, 14,2% creían que no funcionan tan bien. Con relación al uso, 95,7% relataron que los usarían en casa si fuese necesario y 4,3% no los usarían. Al total de 68,2% les gustó más el cepillo alternativo, 5,6% el hilo dental de saco de naranja y 23,3% prefirieron el hilo dental de saco plástico.

CONCLUSIÓN: A pesar de su poca difusión, los métodos alternativos fueron aceptados por el público. La mayoría de las personas consideró importante conocer alternativas para la higiene bucal, creyendo que sea tan efectivos como el método convencional. Apoyo: Coordenadoria de Extensão da UniEvangélica.

ESTUDIO DE LESIONES CICATRIZALES EN NIÑOS CON ABUSO FÍSICO Y SEXUAL EN LA PROVINCIA DE CÓRDOBA

Navarro Guitart M*, Ferreyra de Prato R S.
Cátedra Anatomía Patológica "A". Fac.de Odontología-U.N.C.

El abuso infantil, es definido por el Centro Internacional de la Infancia de Paris, como "cualquier acto por acción u omisión realizado por individuos, por instituciones o por la sociedad en su conjunto y todos los estados derivados de estos actos o de su ausencia que priven a los niños de su libertad o de sus derechos correspondientes y/o que dificulten su desarrollo".

Objetivo: Valorar lesiones bucales cicatrizales presentes, en niños con historia de situaciones de abuso físico y/o sexual.

Métodos: Se estudiaron un total de 91 niños entre 3 y 14 años. Grupo A: 47 niños alojados en instituciones públicas (REMAR, Hogares Evangélicos y Fac. de Odo.) que habían estado expuestos ante situaciones de abuso activo, divididos en 2 subgrupos, grupo I: 33 niños que padecieron abuso físico, un grupo II: 14 niños que padecieron abuso sexual y el Grupo B (control): 44 niños que no habían sufrido ningún tipo de maltrato infantil. Se realizó un examen odonto-estomatológico de los tejidos bucales, peribucales y faciales, registrado en la historia clínica, consentimiento informado y/o asentimiento informado a partir de los 7 años.

Resultados: En el grupo de estudio A se encontró en un 55,7% de los casos lesiones cicatrizales, de las cuales 24 cicatrices en mucosa labial inferior, 6 son peribucales y 5 en mucosa labial superior; mientras que en los controles solo en el 22,7% de los casos se encontraron lesiones cicatrizales. Se realizó análisis estadístico a través de Chi² de Pearson y Correlación de Spearman.

Conclusiones: En el presente estudio se detectó una alta prevalencia de lesiones cicatrizales en niños que fueron abusados física y/o sexualmente; predominando las cicatrices en mucosa labial inferior. Las mismas pueden ser un indicador más del abuso físico y/o sexual, en conjunto con una historia del niño dudosa y otras lesiones físico-psíquicas.

PROGRAMA PREVENTIVO – EDUCATIVO EN NIÑOS ESCOLARES RURALES DE QUILINO, CÓRDOBA

Manzano Fernandez M, Brasca N, Susmann T, Herrera A, Passera C, Pastrana Sanchez S, Palma G, Alvarez Facultad de Odontología. U.N.C.

La salud, entendida como un bien social para el cual participan el Estado y la sociedad, comprende acciones de carácter preventivo – curativo y de atención. Dentro de las acciones preventivas en el área de la salud bucal, las acciones preventivas – educativas tienen mayor impacto desde temprana edad, conjuntamente con su entorno socio – familiar, para la incorporación de las mismas. **Objetivo:** evaluar la implementación de un programa educativo - preventivo destinado a padres y docentes, para que ejerzan un rol activo en el cuidado buco dental de los niños y el monitoreo de la higiene bucal de éstos ; y a los alumnos, para el aprendizaje de conductas de autocuidado de salud bucal, en una comunidad rural. **Métodos:** Se llevó a cabo enseñanza de técnica de cepillado, aplicación de flúor profesional (autocepillado), talleres educativos-preventivos (primer molar permanente, traumatismos dentarios, caries, síndrome del biberón, alimentación, lactancia materna) destinados a padres y docentes. Se realizaron dos controles anuales a los niños del Centro Educativo Manuel Belgrano de la localidad de Quilino, departamento Ischilín provincia Córdoba. Se evaluó el estado de la salud bucal, índice ceod y CPOD, IHOS (Green y Vermillon), mediante la confección de ficha odontológica. Relevando hábitos dietéticos, conocimientos previos y actitudes hacia la salud bucal. **Resultados:** Luego de tres años de trabajo, con visitas cada seis meses, se observó la estabilización del componente caries, con un 46% ceod 0 y 59% CPOD 0; una mejora en el IHOS; tanto docentes, padres y niños, demostraron un mayor conocimiento y apropiación de las medidas preventivas, mediante jornadas de actividades grupales, manuales y creativas plasmando el aprendizaje realizado. Esto se corroboró a través de encuestas en donde en un 95% se obtuvo una disminución de las caries, aumento en la concientización e incorporación de hábito de higiene oral y conductas de autocuidado. **Conclusión:** la educación es un instrumento de transformación social, toda acción educativa puede propiciar la reformulación de hábitos, la aceptación de nuevos valores, estimula la creatividad y el impacto en el mejoramiento de la salud en el componente bucal.

SABERES ACERCA DEL PROCESO SALUD ENFERMEDAD ATENCIÓN BUCAL. DIVERGENCIAS Y ENCUENTROS

Salas, A.*; Copello, M N.; Gaiteri, M.; Beltramone, L; Condis, G.
Facultad de Odontología de Rosario. UNR

OBJETIVO el propósito de este trabajo es comparar los saberes acerca del cuidado y el conocimiento del componente bucal de la salud en dos grupos de padres residentes en el distrito centro de la ciudad de Rosario, Santa Fe.

METODOLOGÍA estudio epidemiológico observacional de corte transversal. La información se obtuvo a través de cuestionarios autoadministrados que fueron enviados a padres de escolares, antes de comenzar a implementar un programa de EPS en dos escuelas A y B (EA y EB). El cuestionario presentaba preguntas abiertas que se referían a sus saberes acerca del componente bucal de la salud.

Las comparaciones se realizaron teniendo en cuenta Nivel Educativo (NE) y ocupaciones. En cada pregunta se eligió la respuesta más frecuente y se compararon las proporciones en relación con las variables.

RESULTADOS al comparar los grupos con NE secundario no se halló diferencia estadística (DE) en relación a la proporción de padres que manifestaron que la forma de cuidarse es a través del “cepillado”, que el conocimiento fue transferido por el “odontólogo”, las enfermedades que conocen son las de mayor prevalencia y adjudicando la etiología a “falta de cuidado y mal cepillado” ($p > 0,005$). La DE se presentó con relación a las dificultades en mantener la salud bucal ($p < 0,005$) EB. La variable ocupación presentó mayor frecuencia de amas de casa (AC) y empleados. Las AC mostraron DE en las dificultades para sostener la salud, expresadas como “por falta de tiempo, dinero, obra social” y en las enfermedades que conocen “caries” EB ($p < 0,005$). En el grupo de empleados las DE se mostraron en la diversidad de respuesta de la etiología de las enfermedades bucales ($p < 0,005$) EA.

CONCLUSIÓN el análisis de los grupos posibilitaría la emergencia de saberes para el mantenimiento y cuidado de la salud, comprendidos estos como construcciones sociales a partir de interacciones que tienen como escenario la vida cotidiana, que permitirían la implementación del sistema de atención real. PID-UNR

USO DE PIERCING Y CONDUCTAS DE RIESGO EN ADOLESCENTES ESCOLARIZADOS

*SEBELLI P. ; FERRARI L.
FACULTAD DE ODONTOLOGIA UNIVERSIDAD DE BS AS

Entre los adolescentes existen en la actualidad conductas de riesgo como consumo de alcohol, tabaco y drogas a las que se le suman la práctica del piercing.

Objetivos: 1) Estimar la prevalencia del uso de piercings y la localización de las perforaciones en alumnos pertenecientes a escuelas públicas secundarias 2) Relacionar el uso de piercing con otras conductas de riesgo.

Sujetos y Método: Se utilizaron como instrumento de recolección de datos, 785 encuestas anónimas de carácter voluntario realizadas por dos docentes de la Cátedra Odontología Integral Niños de FOUBA a alumnos de 12 a 19 años de edad pertenecientes a una escuela de la Ciudad Autónoma de Buenos Aires (CABA) y otra a una localidad del Gran Buenos Aires (GBA), durante los meses de mayo y junio de los años 2009 y 2010. La información se ingresó a una base de datos para el análisis de las siguientes variables: edad, sexo, uso y localización de piercing, consumo de: alcohol, tabaco, drogas y experiencias de intoxicación por alcohol. Se formaron dos grupos: portadores de piercing GI (n=127) y no portadores de piercing GII (n=658). Para el análisis de los datos se utilizaron porcentajes con IC, odds ratio (OR) y Test Exacto de Fisher.

Resultados: Inicialmente se controló el efecto centro (CABA vs GBA) no hallándose diferencias significativas en el uso de piercing ($p=0,18$). La edad media fue 15 ± 1 años, 53% pertenecían al sexo femenino. La prevalencia del uso de piercing fue de 16.7% (13.6-18.9). Las localizaciones más frecuentes fueron: oral 37.7% (28.4-47.6) y labial 35.8% (26.7-45.7). Un 67.7% en GI vs un 67.2% en GII revelaron consumo de alcohol, (OR=1.02 0.6-1.5); un 44.9% de GI y 31.38% de GII: intoxicación etílica (OR=1.78 1.2-2.6); un 30.7% de GI y 14.1% de GII: consumo habitual de droga (OR=2.6 1.7-4.1).

Conclusiones: En esta población se espera que 2 de cada 10 adolescentes usen piercing, siendo sus localizaciones más frecuentes la oral y labial. Los portadores de piercing revelaron mayores porcentajes de intoxicación etílica y consumo habitual de drogas.

ANÁLISIS EPIDEMIOLÓGICO DE EFECTORES ODONTOLÓGICOS COMO FUENTES DE INFORMACIÓN SECUNDARIA

Steeman, F*.; Lapalma, M.A.; Sánchez, H.; Reviglione, M.; Reynoso A. C.
FOR - UNR

Objetivo: Estudiar las estadísticas de prestaciones odontológicas en diferentes instituciones para conocer, predecir su comportamiento y proporcionar diagnósticos de situación epidemiológico que sustenten la planificación de servicios de salud. Investigar población en prostodoncia contribuye a la construcción del campo disciplinar. Se dio continuidad al relevamiento, análisis de información iniciado en el año 2007 en el Liceo Aeronáutico Militar (LAM) donde se atiende una población cerrada: su personal que desempeña sus funciones y cadetes. Se realizó un trabajo descriptivo observacional recolectando datos de prestaciones realizadas en el periodo comprendido entre julio 2009 - junio 2010, sobre una población de 500 individuos y un total de 452 prácticas odontológicas que incluyeron: obturaciones (34%); exodoncia (9%); endodoncia (9%); prótesis (13%); paradentosis (16%); exámenes de reconocimiento (37%); intervenciones menores como curaciones (32%); radiografías (38%). Los mismos indicadores para la totalidad del período en estudio son los siguientes: sobre un total de 1216 prácticas, se realizaron 18% de obturaciones; exodoncia (5%); endodoncia (5%); prótesis (6%); paradentosis (9%); exámenes de reconocimiento (19%); intervenciones menores (16%); radiografías (20%). Analizando la información estadística de la Obra Social del Calzado; sobre una base de datos de 680 prestaciones odontológicas, por el período julio2009-julio2010, una distribución porcentual de las misma en: consultas (10%); operatoria (35%); endodoncia (11%) prostodoncia (23%); periodoncia (12%); cirugía (7%) y varios (2%).

Estas poblaciones han sido evaluadas adecuadas para implementar la metodología de investigación de la epidemiología analítica, ya que es posible su seguimiento a largo plazo, tanto de manera prospectiva como retrospectiva. Los **resultados** son utilizados en la docencia de grado y posgrado; permitiendo contar con herramientas para la evaluación de servicios de salud.

COMPARACIÓN DE TRES MÉTODOS DE DIAGNÓSTICO PARA LESIONES DE CARIES OCLUSALES

Verduci P, Cornejo LS
UNC- Facultad de Odontología

INTRODUCCIÓN: La caries dental afecta a más del 90% de la población mundial. Las superficies dentarias más vulnerables son las caras oclusales de los primeros molares permanentes inferiores (1° MPI). En esta localización, las lesiones de fosas y fisuras se inician en defectos subsuperficiales del esmalte, que resultan difíciles de detectar. La búsqueda de métodos de diagnóstico sensibles y específicos para este tipo de lesiones, no ha concluido.

OBJETIVO: Comparar el resultado del diagnóstico aplicando los métodos clínico visual, presuntivo con sustancias colorantes (doble tono) y de certeza con láser (DIAGNOdent).

MÉTODOS: La muestra de estudio se conformó con 48 niños de 6 a 9 años, con ambos 1° MPI erupcionados, diagnosticados clínicamente sanos por el método visual. En todos los casos se realizó el diagnóstico presuntivo mediante la técnica de identificación de seudoplaqueta bacteriana con colorante doble tono, y se aplicó el método de diagnóstico de certeza con tecnología láser mediante el equipo DIAGNOdent de KaVo.

RESULTADOS: El diagnóstico presuntivo mediante la técnica de identificación de seudoplaqueta bacteriana con colorante doble tono reveló placa nueva en el 64% de los casos clínicamente sanos, mixta en el 6% y vieja o madura en el 30% de los mismos. El diagnóstico de certeza con tecnología láser mediante el equipo DIAGNOdent reveló valores de 0 a 10 en el 53% de los casos clínicamente sanos, de 11 a 25 en el 31%, de 26 a 35 en el 7% y mayores a 36 en el 9%.

CONCLUSIÓN: los resultados del método presuntivo con colorante doble tono se corresponden con el diagnóstico clínico en lesiones de caries oclusales en un 64%, y el método de certeza con tecnología láser, lo hace en un 53%. Se recomienda aplicar métodos complementarios al diagnóstico clínico que permitan un diagnóstico temprano de las lesiones oclusales, lo que favorecería la indicación de técnicas preventivas oportunas.

MANIFESTACIONES BUCALES EN ADOLESCENTES ADICTOS CON DIAGNOSTICO F 19.

*Vila, V. Barrios, C. Martínez, S. Bogado, Z. Gómez, J. FOUNNE

Objetivo: Establecer la relación entre el consumo de sustancias psicoactivas en adolescentes y su repercusión en salud bucal. **Métodos.** Se examinaron 30 pacientes adictos internos y ambulatorios atendidos en la unidad 7 del Hospital que concurren para su rehabilitación durante el año 2009. El criterio de inclusión para integrar la muestra comprendió adolescentes adictos de entre 12 y 26 años con diagnóstico F19 (trastornos mentales y del comportamiento por múltiples sustancias) determinados por profesionales especializados en toxicomanía que realizan tratamientos de rehabilitación en estos pacientes. Para salvaguardar los derechos de privacidad de los pacientes involucrados, previa información donde los objetivos y métodos a utilizar, se obtuvo el consentimiento informado, firmado por parte del tutor o médico responsable. En cada uno de ellos, se realizó un examen clínico buco dental e Índice de Loe, O'leary CPOS para determinar prevalencias de caries u otras lesiones existentes. **Resultados.** Hasta el momento se examinaron 30 pacientes adictos internos y ambulatorios atendidos en la unidad 7 del Hospital de Salud Mental San Francisco de Asís. La edad promedio de inicio en el consumo de múltiples sustancias es entre 12 y 13 años habiendo una mayor predisposición por el sexo masculino. Así también se observa que la mayor cantidad de superficies careadas, perdidas y obturadas se establece en adictos de entre 13 y 15 años. En el total de esta población se halló un 15% de alteraciones en mucosa, 20% manchas y 65% de gingivitis lo cual manifiesta una repercusión en la salud bucal de los sujetos incluidos en este estudio. El grado de inflamación gingival es más severo en el grupo de adolescentes entre 16 y 17 años. Las alteraciones en mucosa se presentan leves en la mayor cantidad de los sujetos y en menor proporción se hallaron alteraciones en mucosa moderada o severa.

Conclusiones: La drogadicción se manifiesta en la adolescencia, con mayor predisposición en los varones con un promedio de edad de 15 años. El consumo de sustancias adictivas no interviene como factor desencadenante de enfermedades de la cavidad bucal pero sí como determinante de riesgo para la salud buco dental.

Este trabajo presenta los resultados de la aplicación del Cuestionario de Opinión del Estudiante sobre la Docencia en materias del área básica y del área profesional impartidas durante el ciclo 2007-2008, en la Facultad de Odontología de la UNLP. **Objetivo:** Mostrar la utilidad del empleo de cuestionarios para evaluar el desempeño docente mediante la opinión de los estudiantes en diversos aspectos de la evaluación institucional. **Método:** Se realizó un estudio, observacional, transversal y comparativo. En total se evaluaron 1100 unidades docente/grupo y 10155 cuestionarios en los que los estudiantes emitieron su opinión sobre el desempeño docente de sus profesores. El instrumento, compuesto por 36 reactivos para los cursos de teoría y de 41 para los cursos de prácticas, requiere que los estudiantes emitan su opinión sobre el desempeño de sus profesores en ocho dimensiones básicas propias del quehacer docente frente a un grupo y en una más para la evaluación específica de los cursos de prácticas o laboratorios: 1) Puntualidad y asistencia; 2) Cumplimiento con el programa académico; 3) Metodología docente; 4) Empleo de materiales de apoyo; 5) Actitud hacia los estudiantes; 6) Evaluación de los aprendizajes; 7) Aplicaciones; 8) Satisfacción y 9) Actividades prácticas (ya sea de laboratorio o las realizadas en escenarios comunitarios). Los alumnos opinan sobre el desempeño de sus docentes eligiendo una de cinco opciones: nunca; casi nunca; a veces; casi siempre y siempre. Las calificaciones que se aplican son de 4.5 a 5 (MB), entre 4 y 4.5 (B), e inferiores a 4 (I). **Resultados:** Las actividades docentes son mejor evaluadas en las materias del área profesional. En general, las dimensiones Metodología docente, Actitud hacia los estudiantes y Satisfacción General son las mejor valoradas, mientras que las de Evaluaciones de los aprendizajes y Aplicaciones recibieron menor puntuación. **Conclusiones:** Los resultados muestran que este tipo de cuestionario, además de ofrecer retroalimentación a la actuación docente individual, permite la comparación del desempeño docente por materias y niveles, así como fundamentar propuestas para su investigación y mejoramiento. En este sentido, debe formar parte de los instrumentos de todo programa de evaluación institucional.

Introducción: La importancia de conocer las actitudes y saberes relacionados con la salud bucal de las personas deriva del hecho que ellas influyen sobre conductas que pueden adoptar para su cuidado.

Objetivo. El propósito de esta investigación fue determinar el nivel de conocimientos y actitudes que poseen alumnos de diferentes carreras universitarias (UNC), referidos a su salud bucal.

Materiales y Métodos: Como actividad planteada en nuestra materia, los alumnos cursantes elaboraron un cuestionario en base al objetivo y realizaron folletos educativos para distribuir a los estudiantes encuestados. Se realizó un estudio observacional descriptivo sobre una muestra representativa de alumnos universitarios (n=850), utilizando dicho cuestionario.

Resultados: del total de los encuestados, el 51% correspondió a las edades de 17 -20 años, un 30% entre 21 -24 años y un 19% a más de 25 años. El 85% estaban cursando entre el primer y tercer año de su carrera y un 15% eran alumnos de cuarto año en adelante. Un 75% tenían obra social, mientras que el resto no poseía. Sólo un 19% conocía PASOS (Programa Asistencial Solidario de UNC). El 40% de los estudiantes utilizaba enjuague bucal y el 85% empleaba hilo dental. Un 54% reconoció el efecto perjudicial del consumo de azúcares y un 44% atribuyó al tabaco un factor deletéreo para la salud. Un 63% señaló a la caries como enfermedad más frecuente y un 43% a la gingivitis. En cuanto a la actitud asumida ante un dolor, el 51% manifestó concurrir a la consulta odontológica, y un 24% dijo que en primer lugar se automedica. El 50% consideró que el estado de su salud bucal es bueno y la otra mitad lo reconoció como regular.

Conclusión: los resultados de esta investigación, muestran que es necesario realizar acciones de promoción y educación en salud bucal, reforzando actitudes positivas en los estudiantes que estimularán el cuidado de su salud.

Lissera RG, *Aramburu G, Scherma ME, Kruse IS, Berta MJ, Lorenzo CM, Osilio M. Cátedra de Introducción a la Odontología, Facultad de Odontología, UNC.

Introducción: La metodología de investigación acción puede ser usada como herramienta teórica metodológica en la docencia con el fin de enseñar a aprender con los alumnos, descubriendo y actuando de manera transformadora. La estrategia consiste en proponer clases activas, para despertar la conciencia crítica del alumno hacia los problemas de salud.

Objetivos: Proporcionar elementos teóricos metodológicos para iniciar al alumno en actividades de investigación. Provocar situaciones que transformarán la enseñanza. Desarrollar conductas que permitan un acercamiento a las necesidades de la comunidad.

Materiales y Métodos: Los alumnos participaron en el análisis de una preocupación temática elegida, en la selección y determinación de métodos de abordaje, técnicas de recolección de información y de intervención específica, para lo cual elaboraron una encuesta que fue aplicada a una muestra representativa de estudiantes universitarios. Además interpretaron de los resultados y confeccionaron folletos educativos de promoción de la salud para distribuir. Finalizado el trabajo de campo, cada alumno respondió un cuestionario autoadministrado con el propósito de valorar el impacto de la actividad realizada y el aporte a su formación integral.

Resultados: Un 83% de los alumnos manifestó su interés en la actividad, en tanto el 78% expresó la factibilidad de su aplicación a otros temas de la asignatura. El 89% reconoció la importancia del inicio en la actividad científica para su formación académica integral.

Conclusiones: Este trabajo está basado en testimonios de alumnos al reconstruir el objeto de estudio, que permitiría sistematizar el conocimiento. Permitió valorar nuestra labor docente, y contribuir al desarrollo de una actitud científica de transformación en el alumnado, orientada a mejorar la salud de la población.

*Coscarelli N.; Medina M.; Mosconi E.; Rueda L.; Albarracín S.; Irigoyen S.; Papel G.; Seara S.; Toma Facultad de Odontología - Universidad Nacional de La Plata

En el marco de un proyecto institucional sobre evaluación y seguimiento de egresados de la FOLP y ante los cambios socio-económicos de los últimos tiempos, este trabajo presenta los resultados parciales sobre la inserción laboral de los odontólogos, analizando la actividad profesional de egresados de diferentes cohortes, dado que las instituciones formadoras deben responder al carácter cambiante de los entornos laborales mediante procesos de investigación-acción. **Objetivo:** analizar y comparar la situación laboral de los egresados de la FOLP de los años 1996 y 2005. **Método:** es un estudio transversal descriptivo. El universo a estudiar son los egresados de la FOLP de los años 1996 y 2005. Se utilizó como fuente de documentación los datos sobre los egresados proporcionados por el CESPI. La información se obtuvo a través de una encuesta estructurada aplicada por vía telefónica, por correo electrónico y en forma personal. Las variables analizadas son ejercicio profesional, formas de ejercicio profesional, grado de satisfacción con el volumen de trabajo y tiempo en insertarse laboralmente. Se estableció la "f" y la "f% ". La presentación de los datos se realizó utilizando gráficos y tablas mediante el sistema computacional Excel. **Resultados:** con respecto a los egresados 1996 sobre un total de 320 egresados se obtuvo información de 234 (73,12%) que respondieron el 89% realiza ejercicio de la profesión, de ellos el 65,38% lo hace en forma independiente, el 23,70% en relación de dependencia, el 51% considera que su volumen de trabajo es bueno y el 49% lo considera regular, el 39% tardó más de 6 meses en insertarse laboralmente. De los egresados del año 2005 sobre un total de 323 se obtuvo información de 139 (43,03%) de los cuales el 92,09% realiza ejercicio de la profesión, en forma independiente el 54,69%, en relación de dependencia el 29,69%, el 35,94% considera su volumen de trabajo bueno, el 21,09% regular y el 32,81% malo, el 56,25% tardó más de 6 meses en insertarse laboralmente. **Conclusión:** del análisis de las encuestas se observó que el volumen de trabajo es menor y es mayor el tiempo en insertarse laboralmente para los egresados del año 2005.

ANTICIPO DE TESIS SOBRE ESTRATEGIAS DE APRENDIZAJES DE LOS ALUMNOS DE 2º AÑO DE LA CÁTEDRA FISIOLÓGÍA

Erimbaue M.* Naigeboren M.
Cátedra de Fisiología, Facultad de Odontología de la Universidad Nacional de Tucumán (UNT)

Objetivo: el objetivo del presente estudio fue analizar las estrategias de aprendizajes de los alumnos de 2o año de la Cátedra Fisiología de la Facultad de Odontología de la Universidad Nacional de Tucumán (F.O.U.N.T.) y caracterizar la influencia de algunos aspectos psicosociales.

Métodos: el estudio fue observacional, descriptivo y transversal. Los datos se obtuvieron a partir de un cuestionario anónimo con preguntas cerradas y abiertas en una muestra de 136 estudiantes 108 (79%) sexo femenino, 28 (21%) sexo masculino. 28 (21%) poseen 18-19 años

Resultados: 43% no cursan por primera vez, 67% egresó de instituciones privadas, 45% modalidad biológica, 15% trabaja, 85% Fuente de información clases teóricas, 48% distribuye las horas para organizar el tiempo. 61%, estudian solos, 47% realizan resúmenes 52% planifica lo que va a expresar en la recuperación de la información. 13% dificultades en conocimientos previos y estudio memorístico. 28% Vocabulario. Correlación de variables estudio memorístico con institución pública y privada test de Fisher ($p=0,39$) no significativo. Conocimientos previos con modalidad Biológica test de Fisher ($p=0,64$) no significativo. Edad con estudio memorístico test de Mann Whitney ($p=0,38$) no significativo

Conclusión: El mayor porcentaje de alumnos estudian solos, realizan resúmenes en mayor proporción que otras estrategias, tienen dificultades en su forma de estudio, vocabulario, tiempo que dedican; no siendo significativo ni la procedencia o modalidad de las instituciones que egresaron o la edad de los mismos.

IMPLEMENTACIÓN DEL AULA VIRTUAL EN CLÍNICA DE PRÓTESIS

Gallego, MC; Pira, DA; Encina, M; Battilana, E.
Universidad Nacional del Nordeste

Objetivo: Mejorar la calidad del proceso educativo proponiendo otros canales de comunicación. **Métodos:** Los alumnos participaron de actividades integradoras no presenciales, resolución de casos, autoevaluaciones. Se utilizaron las distintas formas de interacción que propone la plataforma (foros, mensajería interna, etc) para evacuar dudas administrativas y académicas en forma permanente. Se utilizaron las herramientas que proporciona el aula para realizar el seguimiento, desarrollo y evaluación del proyecto. Se implementaron encuestas para evaluar, la calidad de los materiales didácticos producidos, los instrumentos de evaluación implementados (autoevaluaciones) y las herramientas de interacción aplicadas (foros, correo electrónico, chat). La información suministrada por la plataforma referida al desempeño académico en la modalidad no presencial, se cruzó con la información suministrada por las evaluaciones de procesos y evaluaciones finales correspondientes a la instancia presencial. **Resultados:** Del análisis de las encuestas surge que el 98% de los alumnos encuestados manifiestan haber utilizado el aula virtual en otras asignaturas. 65% de los alumnos considera que el aula promueve la autonomía, el 50% contesta que permite mayor interacción con el docente, el 92% de los alumnos contesta que a través del aula se sienten acompañados por los docentes. Respecto del aprendizaje, el 57% manifiesta que incide positivamente en el ritmo de trabajo y en el aprendizaje y el 86% coinciden que la utilización del aula permite adquirir conocimientos y competencias informáticas. **Conclusión:** El proceso de enseñanza combinado o mixto: propicia la interacción de los actores involucrados en la oferta; promueve el aprendizaje autónomo del alumno, que aprende a través de un proceso de autogestión del saber; genera nuevos canales de comunicación con el grupo docente; otorga oportunidades de formación sin limitaciones de tiempo o espacio; generar procesos flexibles en los que aumenta el protagonismo del educando; incide positivamente en el aprendizaje y en el ritmo de trabajo; promueve la generación de conocimientos y competencias informáticas.

201

INSERCIÓN DE LA BIOÉTICA COMO EJE TRANSVERSAL AL MÓDULO DE PERIODONTOLOGÍA PARA PROMOCIÓN DE ACTITUD

Giaquinta MA*, Pascucci J, Fracapani M, Fazio M, Gabrielidis A, Pesce E, Conill J
Facultad de Odontología Universidad nacional de Cuyo

La formación integral de los alumnos de odontología incluye aspectos científicos, técnicos y humanísticos. La Bioética contribuye con este fin. **Objetivos** promover el aprendizaje de actitudes en alumnos de 3º Odontología UNCuyo; identificar algunas competencias genéricas desarrolladas durante el Seminario de Bioética como eje transversal del Módulo; comparar contenidos actitudinales en alumnos de 2º, 3º, 4º año y comparar el perfil profesional del diseño curricular de la Institución con el documento de Unión Europea sobre competencias del odontólogo. **Metodología** enfoque cualitativo y cuantitativo. Se desarrolló el Seminario de Bioética durante el ciclo 2009 con alumnos de 3º año (n=42). Se realizó investigación-acción, trabajos grupales, plenarias, registros con listas de cotejo. Se aplicaron encuestas diagnóstica y final. Se realizó análisis y comparación entre perfil profesional del diseño curricular y documento de la UE. Se registraron por medio de guías de observación competencias bioéticas en prácticas clínicas de alumnos de 3º (experimental), y de 2º y 4º (controles) (n=30). **Resultados** los alumnos expresaron altas expectativas en encuesta diagnóstica. Mostraron disposición al aprendizaje durante el Seminario. Se encontraron algunas semejanzas entre el perfil profesional y el documento de la UE con aspectos no incluidos en diseño curricular: competencias en desarrollo profesional continuo, referidas a la Bioética, comunicación y respeto por la diversidad. Se realizó prueba no paramétrica de Friedman para ítems correspondientes a guías de observación clínica. Se encontraron diferencias estadísticamente significativas en todos los ítems para las categorías siempre (p=0,000), casi siempre (p=0,002) y a veces (p=0,000), no así para la categoría nunca (p>0,05). Los alumnos de 3º destacaron influencia favorable de la Bioética en aspectos personales y de los pacientes o sus familias y de los docentes. Valoraron al Seminario en excelente 12%, muy bueno 57%, bueno 31%. **Conclusión** alumnos de 3º año incorporaron algunas competencias planteadas desde la Bioética y destacaron respeto consideración del paciente, su integridad y participación más activa. La inserción de la Bioética contribuye a alcanzar el perfil propuesto en el diseño curricular.

202

ANÁLISIS DE LA DIMENSIÓN MÉTODO CIENTÍFICO EN LA VISIÓN DE LA CIENCIA EN ALUMNOS DE LA FACULTAD DE ODONTOLOGÍA, UNC.

*Hernando L, Gomez Borus C, Carletto Körber F, Gosso C, Rubinstein J.
Facultad de Odontología, UNC.

Objetivo: Analizar los cambios en la dimensión método científico de la visión de la ciencia en alumnos de la Facultad de Odontología, UNC.

Método: Se realizó un estudio transversal descriptivo mediante encuesta basada en el Inventario de Creencias Didácticas y Epistemológicas desarrollado por Porlan y adaptado por Peme, Aranega y otros, formada por 18 ítems, valorados con escala de Lickert con 5 opciones, que luego para el análisis final se resumieron en 3. Se administró el cuestionario a 120 alumnos elegidos al azar, de la Facultad de Odontología UNC, conformados en grupos de 40 alumnos de 1º, 3º y 5º año.

Resultados: Se agruparon según la visión clásica (C), ecléctica (E) ó actualizada (A) de la ciencia. La concepción (C) sobre el método científico, predominó en el 47,32%, en tanto la (A) se manifestó en el 30% y (E) en un 14% de los alumnos.

Conclusión: Del análisis de la variable "Método Científico", evaluada en la muestra bajo estudio, se concluye que la concepción epistemológica de la ciencia está marcada por un empirismo con una imagen deformada de ésta, caracterizada por un fuerte inductivismo.

El **objetivo** de este estudio es analizar el impacto que tiene la incorporación del régimen de tutorías en el Rendimiento Académico de los alumnos de la Asignatura Odontología Integral Niños.

Material y métodos: Se tomó una muestra de 100 alumnos que cursaron la Asignatura Odontología Integral Niños durante el ciclo lectivo 2009, con un promedio general menor a 6 puntos y una calificación en el Curso I también menor a 6. Durante el Curso III se aplicó un programa de tutorías sobre los alumnos seleccionados en la muestra. Se comparó la calificación obtenida en el Curso I con la del Curso III. También se comparó la calificación obtenida en el Curso III por lo alumnos que recibieron tutoría con la que obtuvieron el resto de los alumnos. Se aplicó el Coeficiente de Correlación lineal de Pearson y la Prueba T para medias relacionadas. Los datos obtenidos fueron almacenados en planillas de cálculo Microsoft Office Excel 2007, e interpretados estadísticamente con el programa SPSS Startistics 17.0.

Resultados: Al analizar si la inclusión del Programa de Tutorías tuvo incidencia significativa en el Rendimiento Académico de los alumnos, se aplicó a los datos el Coeficiente de Correlación de Pearson, y se obtuvo como resultado una correlación significativa ($p < 0.05$). Cuando comparamos el promedio de los alumnos que estuvieron incluidos en el programa de tutorías, con el de los que no, vemos que el promedio de los alumnos que recibieron tutoría es un 6 % mayor al del resto de los alumnos, aunque la diferencia estadística no fue significativa ($p > 0.05$).

Se llega a la **conclusión** que con la inclusión de un programa de tutorías en la Asignatura Odontología Integral Niños se obtuvo un fortalecimiento académico en los alumnos que estuvieron con los tutores de la Asignatura.

Objetivo: el propósito de este trabajo es evaluar la incorporación de dos talleres integradores, antes de cada evaluación parcial utilizando una situación problemática de carácter clínico-odontológica como estrategia de enseñanza, considerando que la misma contribuiría al desarrollo de las siguientes competencias:

* Comprender la participación del componente biológico en el proceso salud y enfermedad a nivel del componente bucal para saber actuar apropiadamente ante situaciones de diferente complejidad, con sólida base científica.

* Desarrollar actitud de trabajo colaborativo para que como estudiante se integre activamente en equipos de trabajo y que en su futura actividad profesional pueda integrarse a equipos de salud interdisciplinarios.

Metodo: Se trabajó como situación integradora, la enfermedad fibrosis quística y el carcinoma espinocelular para integrar, niveles de organización, material genético, límites celulares y compartimentos intracelulares en el primer taller y conversiones energéticas, ciclo celular y humano, genética y relación con el entorno en el segundo taller respectivamente. Durante la clase los alumnos en pequeños grupos de discusión partiendo de preguntas orientadores, elaboran esquemas conceptuales integradores de los contenidos trabajados hasta el momento.

Resultados: en el desarrollo de la propuesta, los estudiantes participaron activamente demostrando capacidad para interrelacionar los contenidos de la asignatura, y para fundamentar adecuadamente la participación de los componentes biológicos en el proceso de salud y enfermedad a nivel molecular y celular, lo que quedó plasmado en los esquemas conceptuales elaborados sobre los temas abordados.

Conclusiones: La estrategia de enseñanza aplicada para la integración de contenidos de Biología Celular resultó efectiva para integrar los contenidos trabajados en las instancias teóricas, teórico-prácticas y prácticas y contribuir al desarrollo de competencias planteadas para la asignatura.

Del análisis global, sobre educación, hoy es consenso que la misma es un proceso continuo en la vida del hombre. La rápida obsolescencia de los conocimientos técnicos y la evolución de las actividades económicas llevan a la necesidad de asegurar la competitividad por medio de programas educativos de formación de post-gradado.

Objetivo: Analizar la capacitación y actualización de egresados.

Material y método: Esta investigación, es un estudio de tipo descriptivo, la población la constituyeron los egresados de la Facultad de Odontología de la UNLP entre los años 1996-2000 y 2001-2005. La información se obtuvo mediante una encuesta estructurada aplicada por Internet, entrevistas personales y telefónicas.

Resultados: Tomando en cuenta los egresados entre los años en estudio se obtuvo información de los años 1996-2000, 231 (45,85%) y entre 2001-2005, 386 (40,11%). Las cifras de tendencia por año de graduación en la formación continua fue de +0,3%, -24%, -0,62%, +24,42%, primeros cinco años y +5,77%, -15,07%, -8,16%, +1,191% para los segundos cinco años. Las áreas de mayor interés fueron carreras de especialización y otros (cursos).

Conclusión: Los resultados brindaron elementos para determinar conclusiones sobre la relevancia de la formación de post-gradado, de los egresados de la F.O.L.P., determinándose que un alto porcentaje desea realizar capacitación pos-título, y así ingresar al mercado laboral en las mejores condiciones posibles.

En la asignatura Fisiología que se dicta en la Facultad de Odontología de la UNLP ante los reiterados fracasos de los alumnos en las evaluaciones tomadas durante el año 2007 se decidió utilizar una prueba llamada cloze que midiera la comprensión del lenguaje. El cloze es una tarea que consiste en suprimir sistemáticamente palabras de un texto y evaluar el éxito que tiene el lector en reemplazarlas. El **objetivo** fue comparar el nivel de comprensión lingüística de los alumnos de segundo año de Fisiología que cursaron en 2007 2008 y 2009.

Métodos una primera muestra se integró con setenta y cinco alumnos quienes cursaron en el 2007, una segunda muestra con setenta y cinco estudiantes quienes lo hicieron en el 2008 y la tercera muestra con setenta y cinco alumnos que cursaron en el 2009. Las pruebas consistieron en completar un párrafo donde cada tres palabras se colocó un espacio que los alumnos debían completar con el término correspondiente. Se estableció una norma de corrección donde a las palabras significativas desde el punto de vista de la asignatura se les otorgó puntaje. Se consideraron los sinónimos. El puntaje otorgado fue el siguiente entre 10 y 20 sustantivos, adjetivos y verbos significativos ubicados correctamente se les otorgó 4 puntos; entre 21 y 30, 6 puntos; entre 31 y 33, 8 puntos y entre 34 y 36, 10 puntos. **Resultados** en la primera prueba (año 2007) aprobó el 35,20 % y desaprobó el 64,78 %. En la segunda (año 2008) aprobó el 53,33 %, y desaprobó el 46,66 % En la tercera (año 2009) aprobó el 73,33 % de los estudiantes y desaprobó el 26,66 %. En cuanto a los puntajes en la primera prueba obtuvieron 6 puntos el 1,20 %; 4 puntos el 34 % y 2 puntos el 64,78 %. En la segunda prueba obtuvieron 8 puntos el 1 %; 6 puntos, el 2 %, 4 puntos 50,33%, y con 2 puntos, 46,66 %. En la tercera prueba obtuvieron 6 puntos el 1,33 %, 4 puntos, el 72 % y 2 puntos, el 26,66 %. **Conclusión** para las muestras analizadas, los resultados mostraron bajo nivel de comprensión pero la misma fue aumentando progresivamente.

Objetivo: conocer como entienden la docencia y representan a los Profesores Ideales los Jefes de Trabajos Prácticos y Ayudantes Diplomados Rentados de la Facultad de Odontología de la UNLP.

Métodos: se efectuó un análisis utilizando como instrumento un cuestionario escrito a 31 Jefes de Trabajos Prácticos y 100 Ayudantes Diplomados Rentados. Se preguntó ¿Qué significa para usted ser docente? , ¿Qué imagen tiene de un Profesor Ideal? Algunos de ellos dieron más de una respuesta.

Resultados: la conceptualización más frecuente de ser docente fue transmitir dada por 12 JTP y 49 ADR En orden de frecuencia continúa formar, guiar, orientar, respuestas dadas por 12 JTP y 32 ADR Enseñar fue otra concepción del ser docente aportada por 3 JTP y 18 ADR. La actualización permanente como característica de ser docente fue aportada por 12 ADR. La interacción docente – alumno fue una respuesta dada por 4 JTP y 7 ADR Las representaciones sobre la imagen de profesor ideal son las siguientes: la que predominó fue ser didáctico cualidad del Profesor Ideal aportada por 10 JTP y 42 ADR. En orden decreciente, otra cualidad deseable manifestada fue que sea comprensivo para con los alumnos, respuestas dadas por 8 JTP y 28 ADR. Fueron 6 Jefes de Trabajos Prácticos y 21 Ayudantes Diplomados Rentados los que consideraron fundamental el dominio de contenidos .La imagen de respeto fue vertida por 5 JTP y 11 ADR. Otra representación fue la de ser maestro, formador, orientador: 2 Jefes de Trabajos Prácticos, y 7 Ayudantes Diplomados Rentados.

Conclusión: como significado de Ser docente predomina transmitir; aquí hay una visión instrumental de la enseñanza, también se pone de relieve la idea de ser un formador – orientador en varios sentidos uno es la construcción de conocimientos, otro es intentar ser una guía para distintas situaciones de la vida. Las representaciones de los Profesores Ideales marcarían un rumbo en las acciones de Jefes y Ayudantes siempre que existiera una buena articulación entre “lo ideal” y “lo real”, entre pensamiento y acción.

OBJETIVO

Determinar la relación que existe entre las variaciones del flujo salival, el pH y el comportamiento de la capacidad buffer, en saliva estimulada y no estimulada de cada uno de ellos.

MATERIAL Y MÉTODOS

La muestra esta compuesta por individuos comprendidos entre 8 y 13 años, de ambos sexos. La investigación es de tipo experimental, transversal y aleatorio. El método de Ericsson se utilizó para determinar la capacidad buffer de la saliva. Para hacerlo se recolecta saliva, puede ser no estimulada por 15 minutos o estimulada por 5 minutos (como fue descrito en el test para flujo salival). El pH de la saliva se mide electrométricamente. Análisis de las variables por ANOVA con una significación estadística del 0.05%

RESULTADOS

Del total de hombres el 64.3% tuvo regular capacidad buffer y el 35,7% buena capacidad buffer. Del total de mujeres el 71.4% tuvo regular capacidad buffer y el 28,6% buena capacidad buffer. De los que tuvieron caries el 73,3% tuvo regular capacidad buffer y el 26,7% buena capacidad buffer. De los que tienen regular capacidad buffer el 57.1% tiene un volumen de saliva estimulada entre 6 y 10 ml/min, y los que tienen buena capacidad buffer el 71.4% produjo un volumen de saliva estimulada entre 6 y 10 ml/min.

CONCLUSIÓN

La determinación de la Capacidad Buffer salival por medio del método de titulación con ácido clorhídrico (Ericsson) es una técnica práctica para ser utilizada de rutina en la clínica odontológica. Este trabajo permitió conocer que un alto porcentaje de individuos (73.3%), tiene regular capacidad buffer y que un 66% de ellos tuvo caries en el último año.

209

MONITOREO BACTERIOLÓGICO DEL INSTRUMENTAL UTILIZADO EN LA PRÁCTICA CLÍNICA DE ORTODONCIA

Graciela Castillo, Sonia Barbero, Viviana Lucero, Liliana Bregains, Pablo Marqués (Alumno), Mariana Recio* Facultad de Odontología. UNC

Objetivo: verificar la efectividad de los procedimientos de esterilización de elementos utilizados en ortodoncia. **Métodos:** Se utilizaron 10 juegos de instrumentos compuestos por Alicates How Recto, Alicates Weingart, Alicates de Corte, Retractores Acrílicos, Bastones de Ligaduras Elastoméricas y Rollos de Cadenas Elastoméricas. Se utilizó un juego en cada paciente. Esterilización: previo al trabajo en autoclave los alicates y en óxido de etileno los elementos plásticos y elastoméricos; post esterilización in situ, los alicates se limpiaron con alcohol etílico 95% y se colocaron en esterilizador a bolitas de cuarzo 2', elementos elastoméricos y plásticos se pulverizaron con glutaraldehído al 2% 5'. Se tomaron muestras en tres tiempos **1)** previo atención al paciente **2)** después de atender al paciente **3)** después de esterilización in situ. Las muestras se cultivaron en caldo de tioglicolato a 37°C 24hs. A los tubos con turbidez macroscópica se les realizó coloración de Gram y se los cultivó en medios de MAC CONKEY y CLDE a 37°C 24hs para identificar microorganismos. Para cuantificar carga microbiana, UFC/ml, se realizaron tres siembras por estrías con ansa calibrada. La comparación entre tiempos fue evaluada por test de Wilcoxon para muestras apareadas ($p \leq 0,05$). El trabajo se realizó en Cátedra Integral Niños y Adolescentes "B" Ortodoncia, Facultad Odontología, UNC. **Resultados:** **Tiempo 1** contaminación con *Corynebacterium* en 10% de alicates Weingart y con *Staphylococcus coagulasa negativa* en 10% de rollos de cadena elastomérica. **Tiempo 2** desarrollo microbiano en todas las muestras, aunque no se tipificaron. **Tiempo 3:** contaminación con *Corynebacterium* en 10% de los Alicates Weingart y en 10% de Retractores; con *Staphylococcus coagulasa negativo* en 30% de los Alicates de Corte, en 10% de los Retractores Acrílicos, en 10% de los Bastones de ligadura y en 10% de Rollos de Cadenas; con *Micrococcus* en 20% de Alicates How Rectos. **Conclusiones:** El proceso de esterilización de rutina en ortodoncia no fue absoluto, se encontraron cargas bacterianas no satisfactorias. Este resultado obedece a características de multicausalidad. Permitirá mejorar las medidas preventivas para evitar infecciones cruzadas.

210

LA LECTURA, INSTRUMENTO PARA GENERAR CRECIMIENTO EN LO CIENTÍFICO Y TECNOLÓGICO

Rueda, L.; Papel, G.; Mosconi, E.; Medina, M.; Irigoyen, S.; Albarracín, S.; Coscarelli, N.; Tomas, L.; Sear Facultad de Odontología – Universidad Nacional de La Plata

OBJETIVO: comparar el rendimiento académico en el Curso de Introducción a la Odontología y su rendimiento académico (RA) en 1er. y 2do. año de la carrera, en relación al hábito de lectura y calidad de la misma. **MÉTODOS:** estudio transversal y descriptivo, en alumnos que aprobaron el curso de Intr. a la Odont. y que cursaron 1er. y 2do. año de la cohorte 2003 en la FOLP. Se usó registro de calificaciones, encuesta, entrevistas, se determinaron hábitos de lectura de los estudiantes, se dividió en: (1) tienen hábito de leer (2) no leen, para determinar la calidad de lectura, se dividió la misma en revistas y textos científicos (a), revistas de pasatiempos y chistes (b), novelas policiales y manuales de ingenio (c). **RESULTADOS:** De 474 alumnos regulares en el curso de introducción, 27,21% (2) y 72,79% (1), media de notas 4,95 y 5 resp., 3,17% NS/NC, media de notas de 4,82; respecto al RA y la calidad de lectura, 50,14% leen (a), siendo su media de notas 5,01; 20,58% leen (b) con una media de notas de 4,82 y 29,28% leen (c), con una media de notas de 4,90. 474 alumnos regulares en el curso de introducción cursaron 1er año 334 alumnos 70,46%, (2) 23,95%; 74,84% (1) y 1,20% NS/NC, media de notas de 4,93, 5,36 resp. Relación entre RA y calidad de lectura, 51,60% (a), media de notas de 5,36, 23,60% leen (b) su media de notas de 5,28, y 24,80% leen (c), media de notas de 5,42. Cursaron 2do 196 de los cuales 25,51% no leen, 71,42% leen y 3,06% NS/NC, media de notas de 5,44 y 5,26 resp. De los que leen, 71,42% realizan lectura de (a), siendo su media de notas 5,20; 20,71% leen (b), con una media de notas de 5,15 y 7,85% leen (c) con una media de notas de 5,42. **CONCLUSION:** la bibliografía consultada coincide en la necesidad de desarrollar el hábito de la lectura, no se ha encontrado información relevante en ésta temática, pero se puede afirmar la necesidad de incentivar a los jóvenes para crearles el hábito de la lectura.

En histología, la estructura es un elemento esencial que tiene como fuente de información la imagen. El análisis de la información visual consiste en el trabajo con imágenes microscópicas de cortes histológicos. Para lograr su comprensión integral se requiere del uso de recursos que faciliten la observación de estructuras. Biología Bucal es una asignatura integrada por contenidos anatómicos, bioquímicos, embriológicos e histológicos. Los temas de Histología bucal se discuten en trabajos prácticos (TPs), donde los alumnos observan al microscopio cortes histológicos relacionados con los contenidos vistos en los seminarios. **Objetivo:** Evaluar el uso de un recurso de entrenamiento visual de imágenes histológicas, en la cátedra de Histología y Embriología de la Facultad de Odontología, UBA. **Materiales y métodos:** Como parte de una innovación didáctica prevista, se confeccionaron presentaciones en PowerPoint con microfotografías y referencias de cada uno de los TPs. Durante el año 2009 dichas presentaciones fueron subidas antes del examen práctico a la página web de nuestra Facultad. Durante la primera instancia de evaluación se realizó un breve cuestionario anónimo con el objetivo de recopilar información y opiniones de los alumnos sobre la utilidad atribuida al recurso. **Resultados:** Los resultados indicaron que la mayoría de los alumnos pudo acceder al material y que éste facilitó el entrenamiento para la evaluación práctica. Por otra parte, para evaluar el rendimiento de los estudiantes en la evaluación práctica se compararon los resultados obtenidos en el año 2009 con los obtenidos durante el año 2008. Durante este año, el 85% del total aprobó la evaluación práctica en primera instancia, mientras que en el año 2009 la cantidad de aprobados fue del 91%. Antes del 2009 los alumnos solicitaban repaso de los preparados previo al examen práctico. A partir de la implementación de este recurso dichas clases complementarias no fueron solicitadas. **Conclusión:** El análisis preliminar de los resultados permite advertir que este recurso no sólo ha resultado eficiente para el entrenamiento visual y análisis de imágenes sino que posibilita que el estudiante gane autonomía, participando activamente del proceso de aprendizaje y favoreciendo el autoaprendizaje.

Objetivo: El objetivo del presente trabajo fue relevar la incorporación de hábitos de auto-cuidado en Salud Bucal en alumnos que obtuvieron la condición de promoción en Odontología Preventiva y Social I año 2009. Fac. Odontología. U.N.C., así como, las recomendaciones sobre dichas prácticas a su entorno familiar y comunitario; a fin de valorar el impacto de saberes aprehendidos.

Método: En este estudio fueron incluidos 70 alumnos, previo consentimiento. Para relevar las prácticas de auto-cuidado incorporadas y transmitidas; se utilizó un instrumento con formato de encuesta, auto-suministrada en el que se incluyeron las variables: técnica y frecuencia de cepillado, uso del hilo dental, modificación en el tipo y periodicidad de renovación del cepillo y dieta criogénica. Los datos se representan mediante frecuencia absoluta y relativa, con test de hipótesis de diferencias de proporciones p-valor < 0,05.

Resultados: el 84,1% puso en práctica técnicas de higiene bucal aprehendidas durante el cursado. El 72,9% modificó la frecuencia de cepillado y un 96,3% de éstos adicionó el cepillado después de cada comida. La variación en la frecuencia en la renovación de su cepillo se presentó en el 58,6% de los alumnos, incorporando en un 69,7% el uso del hilo dental. En cuanto a las recomendaciones al entorno familiar, el 81,5% instruyeron sobre técnicas de cepillado, el 98,6% destacaron la importancia de su frecuencia y el 89,4% recomendó el uso de cepillo dental.

Conclusión: Asumir que el auto-cuidado en Salud Bucal es una vivencia cotidiana y el fomento es el compartir sus propias vivencias con su entorno familiar. Nuestros resultados demuestran un reconocimiento de las temáticas abordadas en las actividades teórico-prácticas desde que el 94,3% recomendó el uso del cepillado y su frecuencia para sus allegados.

MIGUEL R, SAPIENZA M*, ZEMEL M, COCCO L, PÓLVORA B, IANTOSCA A, DI GIROLAMO G, BLANCO N, MIGUEL L. Facultad de Odontología, Universidad Nacional de La Plata

Últimamente se integró en diferentes currículos odontológicos la formación “profesionalista” con el emergente paradigma bioético de atención clínica. En este contexto, el Proceso de Consentimiento Informado (PCI) se presentó como uno de sus contenidos educativos principales vinculado a la actual relación odontólogo-paciente.

OBJETIVOS: El objetivo del estudio fue observar debilidades y fortalezas de la inclusión de estrategias de enseñanza del PCI en las prácticas universitarias del Ciclo Clínico de la Carrera de Odontología.

MÉTODOS: Se realizó un estudio observacional descriptivo sobre variables: 1) relación clínica y 2) obtención del consentimiento. Se registró una encuesta cerrada, voluntaria y anónima a una muestra azarosa de 200 estudiantes regulares del Ciclo Clínico-Socio-Epidemiológico de la Carrera de Odontología de la Facultad de Odontología de la Universidad Nacional de La Plata (FOUNLP), Argentina. El muestreo comprendió 100 alumnos de cuarto año (Grupo A) y 100 de quinto año (Grupo B).

RESULTADOS: En relación con la primer variable se evaluó el indicador “previsión de tiempo para el PCI” observándose una respuesta favorable en ambos grupos (A=88%; B=93%; $p>0.05$). Al medir la “respuesta del paciente” se observó que el Grupo B percibió un mayor protagonismo del paciente en el PCI (A=11%; B=42%; $p<0.05$), mientras que el A percibió una mayor indiferencia respecto al PCI (A=68; B=24; $p<0.05$). Sobre la variable obtención del consentimiento, se comprobó que el universo completo de ambos grupos implementó el PCI en sus prácticas universitarias.

**** CONCLUSIÓN:** A partir de los datos tomados de la muestra procesada se puede concluir: a) Si bien el PCI se implementó regularmente, los estudiantes de cuarto año percibieron una significativa indiferencia luego de realizarlo en sus pacientes; b) Sin embargo, la previsión de tiempo posibilitó que un grupo de estudiantes de quinto año percibieran una mejor respuesta del paciente luego de realizar el PCI en su aprendizaje universitario.

Investigación financiada por U.N.L.P.

*Saporitti F, Irigoyen S, Medina M, Albarracin S, Seara S, Coscarelli N, Tomas L, Mosconi E, Cantari Facultad de Odontología. Universidad Nacional de La Plata

Las demandas sociales y las necesidades teórico-prácticas actuales encontraran respuestas en la construcción de modelos didácticos basados en la descripción y comparación de algunos hábitos relacionados con el desarrollo de la autonomía en el aprendizaje de los alumnos ingresantes a las Universidades.

OBJETIVO: Determinar la capacidad de Autonomía en el estudio en ingresantes de la Facultad de Odontología de la U.N.L.P.

METODOS: Se realizó una investigación de tipo cuanti - cualitativa, descriptiva y comparativa sobre variables obtenidas mediante la aplicación de una encuesta semiestructurada, anónima, administrada a población estudiantil de ambos sexos, procedente de escuelas públicas o privadas, ingresante a la Facultad de Odontología de la UNLP, que cursan la asignatura Introducción a la Odontología. **RESULTADOS:** Total de encuestados 329 ingresantes, elementos para determinar las capacidades de Autonomía en el estudio según la escuela de procedencia, Públicas=179 (54,4%) y Privadas=150. (45,6). Se utilizaron las siguientes variables: Organizo mi estudio sin necesitar que me lo digan; la distribución fue: Procedencia PUBLICAS: Siempre=98 (54,8%). A veces=76 (42,4%). Nunca=5 (2,8%). PRIVADAS: Siempre=124(82,7%). A veces=24 (16%). Nunca=2 (1,3%). Utilizo habitualmente la Biblioteca: Procedencia PUBLICAS: Siempre=9 (5,1%). A veces=122 (68,1%). Nunca=48 (26,8%). PRIVADAS: Siempre=12(8%). A veces=70 (46,7%). Nunca=68 (45,3%). Una vez terminado de estudiar un tema, me autoevalúo: Procedencia PUBLICAS: Siempre=56 (31,3%). A veces=94 (52,5%). Nunca=29 (16,2%). PRIVADAS: Siempre=32(21,3%). A veces=94 (62,7%). Nunca=24 (16%).

CONCLUSION: A partir de los resultados obtenidos de las encuestas procesadas se puede concluir: 1) en ambas procedencias existen índices que determinan que los ingresantes poseen capacidad para el estudio autónomo. 2) Si bien se observó que un alto porcentaje nunca utiliza la biblioteca, no resulta significativo para el desarrollo de dicha capacidad.

Seara, S*; Tomas, L; Medina, M; Irigoyen, S; Albarracín, S; Coscarelli, N; Papel, G; Rueda, L; Mosco Facultad de Odontología. Universidad Nacional de La Plata

Objetivo: identificar y jerarquizar los rasgos de la ética profesional que los estudiantes valoran como primordiales para el ejercicio profesional.

Material y método: Se realizó un estudio descriptivo en el que se utilizaron técnicas de análisis cuantitativo y cualitativo. La población fueron estudiantes de la Facultad de Odontología-UNLP, inscriptos en OPS en el año 2008. Se seleccionó una muestra de 1530 estudiantes, 53.5% mujeres, 46.5% hombres y promedio de edad 21 años. Los estratos de la muestra se organizaron en función del nivel de formación curricular y se distribuyen en 3 etapas: básica, preprofesional y profesional, con 629 estudiantes en la etapa básica, 346 en la preprofesional y 555 en la profesional. De acuerdo con la metodología planteada, se utilizaron dos instrumentos: un cuestionario con una pregunta abierta, solicita al estudiante que especifique y jerarquice cinco rasgos de ser un buen profesional; además de información general como sexo y edad. El segundo instrumento es una escala ipsativa que presenta la clasificación de 16 rasgos de ser un buen profesional, se solicita al estudiante que seleccione únicamente los tres rasgos que a su juicio son los más importantes. Con el fin de identificar si existen diferencias significativas en la asignación de las jerarquías de acuerdo con el nivel de formación, se realizó una prueba de hipótesis con Chi cuadrada.

Resultados: Al contrastar la jerarquización general con la etapa de formación curricular, se confirmó que los rasgos más valorados son la responsabilidad, la honestidad y el conocimiento. Los menos importantes son: saber trabajar en equipo y comunicación. Se identificaron coincidencias en las respuestas según la etapa de formación curricular respecto a los rasgos más y menos importantes. Además, no se encontraron diferencias entre las preferencias de los estudiantes de los primeros años respecto a los que están por egresar.

Conclusiones: Se concluye, finalmente, que la universidad enfrenta el reto de establecer específicamente qué valores ético-profesionales debe privilegiar y con base en qué estrategias se harán operativas dichas intenciones formativas, las cuales deberán orientarse a coadyuvar al cumplimiento de su misión institucional.

Steimberg C*, Alcaraz F, Aznarez M, Coromina E, D'Urso M, Fernández JI, Romano SC Vitantonio Facultades de Odontología. Universidad Nacional de Tucumán

Objetivo: analizar y comparar los problemas y preocupaciones que los docentes de las Facultades de Odontología de Tucumán, Rosario y Corrientes, encuentran en su práctica diaria.

Material y Método: se utilizó el Modelo de Adopción de Decisiones (CBAM) Basado en las Preocupaciones manifestadas por los propios docentes, relativas a siete ámbitos o dimensiones a saber: no preocupado, información, personal, gestión, alumnos, colaboración, y renovación, para conocer sus demandas. La recolección de datos se realizó en 66 docentes de Tucumán, 56 de Rosario y 59 de Corrientes.

Resultados: Las dimensiones más destacadas fueron: Alumnos con un 90% en las tres facultades; Gestión 80% en Corrientes, 70% en Tucumán y 60% en Rosario; Información 80% en Corrientes y 70% en Tucumán y Rosario.

En las tres facultades estudiadas sobresale como la preocupación más importante el "aprendizaje de los alumnos y su participación e intervención en las clases". En el nivel de Gestión se destacan las referidas al orden y la disciplina de los estudiantes en clase. En cuanto a la dimensión Información los docentes expresan la necesidad de recibir información sobre metodología de enseñanza y evaluación, así como también información sobre cómo enseñan los demás docentes.

Conclusiones: Las preocupaciones más destacadas en las tres facultades estuvieron en relación a alumnos, gestión e información.

217**CORRELACIÓN ENTRE LOS ESTILOS DE APRENDIZAJE Y DE ENSEÑANZA EN INGRESANTES DEL AÑO 2008 DE LA FOUNLP**

Tomas, L*; Medina, M; Irigoyen, S; Albarracín, S; Coscarelli, N; Papel, G; Rueda, L; Mosconi, E; Sea Facultad de Odontología. Universidad Nacional de La Plata

OBJETIVO: Determinar la correlación de los estilos de aprendizaje y los estilos de enseñanza en el estudiantado de ingreso 2008 de la FOUNLP.

MÉTODOS: La presente investigación es un estudio de tipo descriptivo con hipótesis, que se realiza a través del método de encuesta de opinión. Este método se caracteriza por estudiar e indagar información sobre una o más variables a partir de las opiniones de una población específica. El trabajo fue realizado a partir de una metodología de naturaleza cuantitativa; que permite demostrar objetivamente la relación funcional entre sus variables. La muestra fue seleccionada a través de un muestreo probabilístico de tipo aleatorio (Población total N= 568 Estudiantes), que de acuerdo al sexo el 74% correspondía al femenino y el 26 % restante al masculino. Se utilizó como técnica de acopio de datos el Cuestionario de Honey Alonso. Es un Cuestionario tipo escala, con 80 reactivos que valoran cuatro estilos de aprendizaje: Teórico, Pragmático, Activo y Reflexivo.

RESULTADOS: Los alumnos con el estilo de aprendizaje Activo, afirman que se les facilita más aprender sus contenidos con profesores de estilo Auditivo como lectores. Para los alumnos con estilos Reflexivos señalan que se adaptan con mayor facilidad a los profesores con los estilos Auditivos y Lectores / Escritores. Los alumnos de estilo Teórico señalan que los contenidos que adquieren con mayor facilidad esta en los profesores de naturaleza Auditiva y Lectura – Escritura. Los Pragmáticos asumen preferencias por los Auditivos, Lectores / Escritores y Kinestésicos. En este caso, las relaciones entre los estilos si ofrecen compatibilidad con los primeros y los últimos, pero no así los Lectores.

CONCLUSIONES: Los estilos no son mejores ni peores, buenos ni malos, son neutros. Cada estilo tiene su propio valor y su propia efectividad para realizar actividades. Los estilos de aprendizaje de acuerdo a las circunstancias pueden variar, ya que no son absolutos. No hay estilos completamente puros, un estilo de aprendizaje se puede utilizar con mayor frecuencia que otro, sin embargo al tener experiencias diversas serán utilizados los distintos estilos de aprendizaje.

218**ESTUDIO COMPARATIVO DE DIFERENTES ESTRATEGIAS DE ENSEÑANZA-APRENDIZAJE EN FARMACOLOGÍA**Virga C, Aguzzi A*, Ricco V.
Facultad de Odontología

La Farmacología es una materia muy dinámica, en la que se producen cambios continuos con el avance de la investigación, por lo que los alumnos no solamente deben adquirir nuevos conceptos y relacionarlos con los preexistentes sino que también deben de formarse en la adquisición de habilidades que les permitan mantener actualizados sus conocimientos.

Objetivo: Evaluar diferentes estrategias de enseñanza-aprendizaje utilizadas en la asignatura Farmacología y Terapéutica con el objeto de generar condiciones que permitan al alumno construir conocimientos relevantes y potencialmente significativos.

Materiales y métodos: La muestra estuvo constituida por 150 alumnos que fueron divididos en tres grupos: uno realizó una actividad de Búsqueda Bibliográfica dirigida; otro trabajó con el modelo de la Terapéutica Razonada y el tercero desarrolló una actividad de Odontología Basada en la Evidencia. Para evaluar la actitud de los estudiantes frente a las diferentes modalidades de trabajo se les efectuó una encuesta anónima. Los datos fueron procesados y se les realizó un análisis estadístico-descriptivo-porcentual, según la frecuencia de las respuestas.

Resultados: La Terapéutica Razonada les resultó más amena que las otras actividades pero requirió mayor colaboración de los docentes; todas demostraron fomentar la participación grupal, pero la de mayor porcentual fue la Odontología Basada en la Evidencia ; a si mismo consideraron que tanto la Terapéutica Razonada como la Búsqueda Bibliográfica podrían aplicarse en otras unidades, y en menor porcentaje la Odontología Basada en la Evidencia.

Conclusiones: Los alumnos demuestran un marcado interés por estas actividades complementarias que les brindarían las herramientas necesarias para lograr afianzar conocimientos y desarrollar competencias actitudinales y procedimentales.

ESTUDIO DE LA EFECTIVIDAD TERAPÉUTICA DE ALENDRONATO Y MONOFLUORFOSFATO DE SODIO EN LA REMODELACIÓN ÓSEA EN RATAS

Aramburu G*, Virga C, Aguzzi A, Hubert S. Facultad de Odontología UNC

La evaluación experimental de los bisfosfonatos ha sido y sigue siendo muy prolífera en modelos *in-vitro* y en animales, para la generación de evidencias que sustenten su uso terapéutico en distintas situaciones clínicas.

Objetivo: Estudiar el efecto de la administración de alendronato (AL) por vía subcutánea y de Monofluorfosfato de sodio (MFP) por vía oral sobre la regeneración tisular de cavidades óseas neoformadas.

Materiales y métodos: La fórmula farmacéutica fue preparada con una dosificación de 0,5 mg/kg de peso para AL. El MFP se administrará en el agua de bebida. El control (C) fueron buffers sin principios activos. El efecto de AL y MFP se evaluó en ratas machos Wistar normales (n=64), con un peso de 160 ± 20 g, divididas en 4 grupos. La droga se inyectó en forma subcutánea en tiempos 0, 7, 15, 30, 60 y 90 días postquirúrgica. Se tomaron radiografías de las tibias, inmediatamente posterior a la cirugía y en cada uno de los tiempos experimentales. Las placas fueron reveladas en forma automática con aparato Kodac XP (1100). Las muestras fueron analizadas con el Software Image ProPlus versión 4,1 de Media Cybernetics. Este software mide densidad óptica obteniendo valores numéricos que son registros de las siguientes zonas: hueso medular, hueso cortical, zona problema y área circundante a la zona problema.

Resultados: El grupo AL evidenció una radiopacidad notoria alrededor de la cavidad quirúrgica a los 15 y 30 días mostrando un área de condensación ósea importante. A los 60 y 90 días la cavidad quirúrgica no se pudo observar siendo el sitio ocupado por hueso neoformado. El grupo MFP mostró radiopacidad compatible a neoformación ósea a los 30 y 60 días observándose un área radiopaca importante alrededor de la cavidad quirúrgica mayor que AL incrementándose a los 60 y 90 días. En AL -MFP se observó condensación alrededor de la cavidad a los 15 días siendo mayor que AL y MFP por separado. La radiopacidad aumenta a las 30 y 60 días estacionándose y mostrando toda la lesión inicial neoformada a los 90 días.

Conclusiones: Los resultados obtenidos permiten establecer que AL y MFP producen neoformación ósea en el sitio quirúrgico, por lo que resultarían efectivos como complemento de la terapia odontológica.

CORRELACIÓN ENTRE MUCOSITIS Y ANTIOXIDANTES SALIVALES EN PACIENTES SOMETIDOS A TRANSPLANTE DE MÉDULA

Bachmeier E*, López M, Wietz F, Mazzeo MA, Linares J, Finkelberg AB.
Cátedra de Fisiología. Facultad de Odontología. UNC.

OBJETIVO: En los tratamientos altamente inmunosupresivos y tóxicos, previos al transplante de stem cell de médula ósea (TMO) las complicaciones bucales, tal como mucositis, constituyen un factor limitante en la administración de la terapia.

Las altas dosis de quimioterapia generan especies reactivas de oxígeno (ROS), que causan daño en el ADN del epitelio y submucosa e inician una cascada de eventos biológicos causales de mucositis. A fin de evaluar la eficacia defensiva local del paciente sometido a TMO, se dosaron los antioxidantes salivales superóxido dismutasa (SOD) y ácido úrico (AU).

MÉTODOS: Se recolectaron muestras de saliva basal en 10 pacientes sometidos a TMO del Servicio de Oncología del Sanatorio Allende (Córdoba) en las etapas: inicial, previa a la terapia de acondicionamiento (I); media: 7 a 10 días posteriores al TMO (M) y final, 30 a 45 días posteriores al egreso del aislamiento (F). Para la determinación de SOD se utilizó un kit de RANDOX (RANSOD Superóxido dismutasa manual) y para ácido úrico se utilizó el método enzimático UOD/PAP espectrofotométrico, Trinder Color. Wiener.

RESULTADOS: La concentración de SOD en la etapa (M) fue significativamente mayor ($p < 0.01$) con respecto a la etapa (I), revirtiéndose en la etapa (F). La concentración de ácido úrico fue significativamente menor ($p < 0.001$) en la etapa (M) en relación a la (I) y en la etapa (F) recupera los valores de la etapa (I).

CONCLUSIÓN: El aumento de SOD en la etapa (M) se correlaciona con la severidad de la mucositis observada, lo que podría interpretarse como un mecanismo de defensa de la saliva contra el estrés oxidativo producido por la quimioterapia. La disminución del ácido úrico, responsable del 70% de la acción antioxidante de la saliva, en la etapa (M), favorecería el desarrollo de grados más altos de mucositis.

221

ANÁLISIS DEL IMPACTO DE LA INGESTA DE PROTEÍNA DE BAJO VALOR BIOLÓGICO SOBRE LA CALIDAD BIOMECÁNICA

Bozzini C*, Huygens P, Picasso E, Champín G, Bozzini CE, Alippi RM
Cátedra de Fisiología, Facultad de Odontología, UBA

OBJETIVOS: El objetivo de esta investigación fue de analizar el impacto de la ingesta gluten, proteína de bajo valor biológico, ampliamente utilizada en nutrición humana, sobre la calidad biomecánica del hueso cortical diafisario femoral. **MÉTODOS:** ratas S-D hembras de 30 días de edad ($n = 60$) fueron alimentadas con dietas conteniendo 5, 10, 15, 20, 25 o 30% de gluten de trigo (G) (VB = 24,2) entre los 30 y 90 d de edad. Ratas alimentadas con caseína (C) (VB = 100) fueron consideradas controles. El crecimiento corporal global fue evaluado en base a variaciones de peso corporal, mientras que el esquelético mediante longitud corporal y de la cola. El crecimiento en función del alimento consumido acumulado y su conversión en biomasa fue evaluado mediante la ecuación de Parks. Los animales fueron sacrificados al final del período experimental, siendo el fémur de cada uno sometido a ensayo de flexión a 3 puntos en un equipo Instron 4442 con una velocidad constante de 5 mm/min. El análisis gráfico de las curvas carga/deformación permitió la estimación de la calidad mecánica de los huesos. Los resultados ($X \pm ES$) fueron evaluados estadísticamente mediante ANOVA y test de Tukey- Kramer. **RESULTADOS:** Los grupos de hasta 15% de G no lograron sostener el crecimiento, logrando los restantes un crecimiento modesto. Se observó una eficiencia creciente de conversión del alimento en biomasa, aunque notablemente inferior al del grupo C. La masa ósea mostró una disminución significativa en respuesta a G, no alcanzando normalidad, efecto también observado en las propiedades biomecánicas extrínsecas indicadoras de calidad mecánica. La rigidez del material óseo (propiedad intrínseca) no sufrió modificaciones. **CONCLUSION:** la dieta conteniendo gluten de trigo como fuente proteica induce un déficit de crecimiento de la biomasa, acompañado de variaciones del comportamiento biomecánico mediodiafisario femoral a nivel de las propiedades estructurales. Esto podría ser la expresión del menor tamaño de los huesos, en respuesta al menor crecimiento en relación con el contenido proteico de la dieta. La rigidez intrínseca del material óseo cortical no fue afectada por el tratamiento.

Proyectos UBACYT O-002 y O-005.

222

CALIDAD DE VIDA EN ESTUDIANTES DE LA FACULTAD DE ODONTOLOGÍA DE LA UNIVERSIDAD NACIONAL DE TUCUMÁN

*Cardinale M.; Bottcher S.; Coromina E.
Facultad de Odontología. Universidad Nacional de Tucumán

OBJETIVOS: Establecer la frecuencia de comportamientos saludables en estudiantes de la FOUNT, conocer el concepto que los alumnos tienen de su propia salud y comparar hábitos entre alumnos de diferentes ciclos de la carrera.

MÉTODO: Investigación de carácter descriptivo, comparativo, de diseño transversal. Población: 150 estudiantes. Instrumento de recolección de datos: adaptación del cuestionario de Prácticas y Creencias Sobre Estilos de Vida, tomado de Salazar y Arrivillaga (2003).

RESULTADOS: Pertenecían al Ciclo Básico (CB) el 41% y al Ciclo Clínico (CCL) el 59%. Eran 78% mujeres y 22% varones. Edad promedio: 23 años. Respecto a la percepción subjetiva de su salud, el 90% del CB y 91% del CCL la consideran buena, muy buena y excelente. No existen diferencias significativas (chi cuadrado, $p = 0.171$). Fuma el 29% del total. El 60% dijo sentirse deprimido el último mes. Consume alcohol el 30% del CB y el 28% del CCL, y sustancias psicoactivas el 3% del CB y 3% del CCL. No mantiene un horario regular de comidas, el 13% del CB y el 30% del CCL, diferencia significativa (chi cuadrado, $p = 0.033$). Consume siempre comidas rápidas el 21% del CB y en el CCL el 33%. Diferencia significativa (chi cuadrado, $p = 0.086$). Algunas veces realiza actividad física el 54% del CB y el 53% del CCL. Nunca lo hace el 8% de CB y el 30% del CCL. Evidencia suficiente para asegurar que en el CB realizan más actividad física que en el CCL (chi cuadrado, $p = 0.0007$). El 43% del CB siempre incluye momentos de descanso en su rutina diaria y en el CCL: 26%. Nunca lo hace el 3% del CB y el 16% del CCL. Esto es significativamente diferente (chi cuadrado, $p = 0.014$).

CONCLUSIONES: El deterioro en la calidad de vida constituye un riesgo latente en los estudiantes que deben afrontar cambios, adaptaciones y exigencias en la Universidad. Se observó que los alumnos tienen una visión subjetiva de su propia salud que no coincide en general con los resultados obtenidos en el estudio. Los hábitos de vida poco saludables aparecen a medida que los alumnos van progresando en la carrera.

223**VALOR DIAGNÓSTICO DEL CORTISOL SALIVAL MATUTINO
EN LA INSUFICIENCIA ADRENAL**Cardoso EML*, Arregger AL, Tumilasci EG, Pazo JH, Contreras LN
Endocrinología Experimental, IDIM-CONICET; Laboratorio de Glándulas Salivales, Facultad de Medicina, UBA.

El cortisol en saliva (SAF) refleja la fracción biodisponible del cortisol total circulante. Su uso en la práctica clínica permite el abordaje no invasivo del paciente en el estudio de la suficiencia adrenal. El objetivo de este trabajo fue determinar el valor diagnóstico del cortisol salival basal (SAF₈) en pacientes con insuficiencia adrenal (IA), previamente diagnosticada por la prueba de estímulo con baja dosis de ACTH sintética (LDT). Métodos: se evaluaron 30 sujetos sanos (N; 16 mujeres y 14 hombres, edad: 20-55 años) y 30 pacientes con IA (17 mujeres y 13 hombres, edad: 19-56 años; en 13 casos (IA₁) la insuficiencia adrenal fue de causa primaria y en 17 casos (IA₂) secundaria). En todos los pacientes la dosis sustitutiva con hidrocortisona oral se suprimió 24 horas previas al estudio. LDT: en condiciones basales (8,0 horas) se obtuvo una muestra de saliva total (SAF₈) y de sangre para cortisol plasmático total (F₈). Luego se inyectó 25,0 microgramos de ACTH sintética por vía intramuscular y a los 30 minutos del estímulo se obtuvo saliva total para cortisol salival (SAF₃₀). La determinación del esteroide se realizó por RIA. Resultados: en N las concentraciones basales de SAF₈: $11,0 \pm 4,0$ nM, y F₈: $337,0 \pm 100,0$ nM fueron significativamente superiores a IA₁ (SAF₈: $2,0 \pm 1,1$ nM y F₈: $170,0 \pm 40,7$ nM) y IA₂ (SAF₈: $3,1 \pm 1,4$ nM y F₈: $180,0 \pm 53,0$ nM), p: 0,0001 en todos los casos. La respuesta esteroidea a los 30 minutos post ACTH en IA₁ (SAF₃₀: $3,1 \pm 2,2$ nM) y en IA₂ (SAF₃₀: $9,4 \pm 6,5$ nM) fue significativamente menor a la de N (SAF₃₀: $39,7 \pm 14,61$ nM), p: 0,0001 en ambos casos. El estudio ROC de las concentraciones esteroideas basales (Software: MedCalc) demostró para SAF₈ $\leq 4,4$ nM 100% de sensibilidad y especificidad para definir insuficiencia adrenal (AUC_{ROC}: 1,00; 95% CI: 0,94-1,00). Un valor de F₈ $\leq 232,0$ nM diagnosticó IA con una sensibilidad y especificidad del 93,3% y 86,7%, respectivamente (AUC_{ROC}: 0,925; 95% CI: 0,828-0,977). Conclusión: nuestros datos avalan la inclusión del SAF₈ como biomarcador salival en el algoritmo inicial para la pesquisa de insuficiencia adrenal.

*Parcialmente subsidiado UBA (M825).***224****ESTUDIO PRELIMINAR SOBRE HÁBITOS DE SUEÑO
EN ESTUDIANTES UNIVERSITARIOS**Coromina Estela Inés*, Suayter Inés
Facultad de Odontología Tucumán

Objetivo: el objetivo del presente estudio fue conocer los hábitos y costumbres de sueño en una muestra de estudiantes de la Facultad de Odontología de la U.N.T.

Métodos: el estudio fue observacional, descriptivo y transversal. Los datos se obtuvieron a partir de un cuestionario estructurado y anónimo a una muestra de 147 estudiantes, 38 (26%) varones y 109 (74%) mujeres. La edad promedio de los estudiantes fue de $18,9 \pm 1,8$ años.

Resultados: durante los días de clases se acuestan de media a la 1 de la mañana (IC 95% 0,40-1,07), y los fines de semana retrasan la hora de acostarse hasta las 2,8 (IC 95% 2,4-3,2). La hora media para levantarse de lunes a viernes es de 7,2 (IC 95% 7-7,4) y sábados y domingos 10,8 (IC 95% 10,4- 11,1). El 55% de los estudiantes duerme 6,30 horas o menos durante la semana. El 22,4% del total duerme menos de 6,30 horas durante la semana y menos de 7 horas los fines de semana. El 78% tiene dificultad para conciliar el sueño por problemas relacionados con los estudios, el 84% considera que el ingreso a la facultad modificó sus hábitos de sueño. Se desvelan para estudiar el 69% y de ellos el 35% lo hace 3 veces por semana. El 33% califica la calidad de su sueño como mala o muy mala; el 86% se siente cansado o algo cansado al levantarse, el 40% duerme siesta más de 1 hora.

Conclusión: más de la mitad de los estudiantes disminuyen sus horas de sueño nocturnas durante los días de actividad académica para cumplir con sus compromisos en la facultad y la tercera parte no recupera las horas perdidas los fines de semana, lo que demuestra hábitos de sueño poco saludables.

225**MODULACIÓN COLINÉRGICA EN LA PRODUCCIÓN DE LEUCOTRIENOS EN LA PULPITIS EXPERIMENTAL DE LA RATA**Alejandra De Couto Pita*, Enri Borda, Leonor Sterin-Borda.
Cátedra de Farmacología. Facultad de Odontología. UBA.

Si bien se han detectado muchos de los mediadores inflamatorios presentes en el tejido pulpar la presencia de leucotrienos es aún poco conocida. La 5-lipooxigenasa es la principal enzima en la biosíntesis de los leucotrienos. Esta enzima utiliza ácido araquidónico como sustrato para formar 5-HPETE y con posterioridad leucotrieno A₄. Este compuesto puede convertirse enzimáticamente en LTB₄ y en el precursor de un importante tipo de leucotrienos que contienen cisteinilo (LTC₄, LTD₄, LTE₄ y LTF₄).

El **objetivo** de este trabajo fue estudiar el efecto del agonista colinérgico pilocarpina sobre la producción de cisteinil-leucotrienos en el tejido pulpar de la rata durante la inflamación.

Métodos: La pulpitis experimental se logró mediante la apertura de la cámara pulpar de los incisivos superiores de la rata aplicando un lipopolisacárido (LPS, de E.coli) en la entrada del conducto y esperando un tiempo de 6 horas desde la colocación del LPS hasta la remoción de la pulpa. El LPS causa una reacción inflamatoria máxima en el área coronaria de la pulpa a las 6 hs. La formación de cisteinil-leucotrienos se midió por medio de la utilización de un kit comercial (Enzyme Immuno Assay Cayman Chemicals, Ann Arbor, MI). Los datos fueron expresados en pg/mg de tejido húmedo.

Resultados: En la pulpitis experimental aumentó la liberación basal de cisteinil-leucotrienos con respecto a la pulpa normal; dicho efecto fue inhibido por 1×10^{-10} M de pilocarpina. El efecto inhibitorio de la pilocarpina fue revertido por la inhibición de la actividad de la Óxido Nítrico Sintasa (ONSi) con aminoguanidina, por su parte a las mismas concentraciones de pilocarpina se observó una disminución de la actividad y expresión génica de la ONSi.

Se **concluye** que la estimulación del receptor muscarínico con 1×10^{-10} M de pilocarpina durante la inflamación pulpar inhibe la liberación de cisteinil-leucotrienos junto con la inhibición de la actividad de la enzima ONSi lo cual produce a su vez disminución de la formación de Óxido Nítrico.

226**EVALUACIÓN DE LA RESPUESTA ÓSEA ADMINISTRANDO BISFOSFONATOS CON UN NUEVO PROTOCOLO TERAPÉUTICO**De Leonardi A*, Virga C, Aguzzi A, Aramburu G,
Facultad de Odontología UNC

Los bisfosfonatos inhiben de manera permanente la acción de los osteoclastos afectando múltiples procesos desde su diferenciación a partir de células madre. **Objetivo:** Estudiar el efecto de Bisfosfonatos administrado por vía subcutánea en el sitio quirúrgico, en la regeneración tisular de cavidades óseas neoformadas. **Materiales y métodos:** La fórmula farmacéutica fue preparada con una dosificación de 0,5 mg/kg de peso para AL y de 0,6 mg/kg de peso para PA. El control (C) fueron buffers sin principios activos. El efecto de los bisfosfonatos se evaluó en ratas machos Wistar normales (n=48), con un peso de 160 ± 20 g, divididas en 3 grupos de 16 ratas cada uno. Un grupo actuó como grupo control, y los otros dos como grupos problema (uno para cada droga).

Las drogas se inyectaron en forma subcutánea en tiempos 0, 7, 15, 30, 60 y 90 días postquirúrgica. Los sacrificios para la toma de muestras fueron a los 7, 15, 30, 60 y 90 días. Los estudios histopatológicos se realizaron decalcificando con EDTA, incluidos en parafina. Los cortes fueron teñidos con HE y técnica de Masson. Las mediciones se realizaron utilizando un programa de análisis de imágenes digitales. La comparación de los datos se realizó por análisis de la variancia a dos criterios de clasificación. Se consideraron diferencias significativas si $p < 0,05$. **Resultados:** El presente modelo experimental pudo demostrar que producen un incremento de la actividad ósea, aún en dosis bajas. Entre los grupos problema, AL demostró ser más eficaz que PA en la reducción de osteoclastos al avanzar en el tiempo. En el estudio histomorfométrico de osteocitos y lagunas vacías se encontraron diferencias estadísticamente significativas. Los resultados muestran diferencias estadísticamente significativas entre PA y AL comparado con el grupo C en relación al mayor número de lagunas vacías encontradas en los tiempos experimentales a los 90 días de tratamiento. **Conclusiones:** Ambas drogas aceleran y estimulan la regeneración ósea. Este estudio sugiere que la aplicación subcutánea de bisfosfonatos podría resultar efectiva como un complemento de la terapia odontológica para reducir la resorción ósea después de las cirugías orales. No se evidenció necrosis ósea en el presente estudio.

227**ACTIVIDAD NTPDÁSICA EN RETÍCULO ENDOPLÁSMICO DE GLÁNDULA SUBMANDIBULAR DE RATA**Egido P*, García MH, Rivas NC, González DA.
Cátedra de Biofísica, FOUBA

Las ecto-nucleotidasas trifosfato difosfohidrolasas (NTPDasas) son enzimas que hidrolizan nucleótidos extracelulares con altas velocidades sin mediar ningún transporte iónico. Se expresan en membrana plasmática (MP) de diversos tipos celulares y muchas son las especulaciones acerca de su rol fisiológico. Por ejemplo, se postulan como reguladoras de la concentración de ATP y de ADP disponibles para activar los receptores purinérgicos.

Objetivos: Caracterizar la actividad NTPDásica correspondiente a microsomas de glándula submandibular (GSM) de rata enriquecidos en retículo endoplásmico. **Métodos:** Se midió el fosfato (Pi) liberado a partir de diferentes sustratos (ATP, ADP, AMP) con un método colorimétrico. Según los protocolos, los microsomas fueron suspendidos en el medio de incubación o retenidos en un filtro (Millipore 0.22 mm de poro) a través del cual se los perfundió de forma continua. **Resultados:** **1.** Se analizaron los perfiles cinéticos de hidrólisis de ATP en distintas concentraciones (0.1, 0.3, 0.6, 1.5 y 3.0 mM), mostrando la existencia de algún proceso de inhibición que disminuye la actividad con el tiempo. **2.** Se estimaron los valores de K_M y de V_{MAX} (0.23 ± 0.05 mM de 1.40 ± 0.06 mmolesPi/min.mg proteína; $x \pm DS$, $n=4$). **3.** Los tiempos medios de la inactivación encontrada presentan una tendencia a disminuir a medida que la concentración de sustrato aumenta. **4.** La actividad de los microsomas inmovilizados y perfundidos en forma continua es menor que la obtenida a partir de la preparación en suspensión, pero no presenta inhibición. **5.** El agregado de ADP 0.3 mM al inicio de la reacción no disminuye significativamente la velocidad inicial de hidrólisis de 3 mM ATP. **Conclusiones:** **1.** Los valores de K_M y V_{MAX} hallados, junto a la especificidad de sustrato para la actividad nucleotidasa, se corresponden con lo descrito en células enteras en suspensión. Podemos concluir que se trataría de la misma enzima, en tránsito hacia MP. **2.** La inactivación hallada sería un fenómeno de autoregulación que: i) no se debe a la acumulación de producto, ii) se produce en presencia de ATP, iii) no se observa en las vesículas perfundidas, por lo que podría deberse a la formación de algún compuesto lábil y lavable durante el flujo continuo.

228**INFLUENCIA DEL AYUNO EN EL PERFIL DE ÁCIDOS GRASOS EN SALIVA PAROTÍDEA DE RATAS**Escandriolo Nackauzi J*, Gallará R, Defagó M, Actis A.
Facultad de Odontología, Universidad Nacional de Córdoba

La saliva constituye un valioso fluido biológico para el análisis de biomarcadores, como así también para el diagnóstico y pronóstico de ciertas enfermedades. Las glándulas salivales (GS) pueden ser afectadas por diversos factores fisiológicos, patológicos y dietarios, los que alteran el flujo, la secreción y la composición química salival.

OBJETIVO: el propósito de este estudio fue determinar la influencia del ayuno en el perfil de ácidos grasos (AG) en saliva parotídea de ratas adultas. **MÉTODOS:** Se utilizaron 16 ratas machos adultas de la cepa Wistar, divididas en dos grupos: con ayuno de 16 horas (A) y sin ayuno (sA). Para la obtención de saliva, se canalizaron los conductos excretores parotídeos en los animales previamente anestesiados. Se inyectó intraperitonealmente una mezcla de isoproterenol y pilocarpina (5 mg/Kg de peso corporal) para inducir la secreción salival y se recolectó la saliva durante 20 minutos. Además, se midió el volumen salival. Las muestras fueron congeladas a -20° C hasta su procesamiento. Se realizó la extracción de los lípidos salivales por el método de Folch y se efectuó la metilación de los AG con metóxido de sodio. Los metilésteres obtenidos fueron determinados por cromatografía de gas y sus valores fueron expresados en porcentaje de área. Se utilizó el test de Kruskal-Wallis para comparar la proporción de cada AG entre ambos grupos, ($p < 0.05$) mediante el programa estadístico Infostat.

RESULTADOS: La media del volumen total de saliva en los grupos A y sA fue $100,78 \pm 15,97$ y $50,05 \pm 11,79$ respectivamente. La diferencia de volumen entre ambos grupos fue estadísticamente significativa ($p < 0.05$). En el grupo A, se observó un mayor número de AGs que en el sA. Los AGs 16:0; 18:0; 18:1; 18:2 n-6 presentaron valores superiores en el grupo sA que en el A ($p < 0.05$). **CONCLUSION:** Los resultados de este estudio preliminar sugieren que el ayuno influye sobre el volumen salival y la composición de AG. No obstante, es necesario continuar investigando en un mayor número de animales.

Subsidiado por Secretaría de Ciencia y Tecnología. Universidad Nacional de Córdoba. Res. N° 069/08 y Ministerio de Ciencia y Tecnología-Provincia de Córdoba Res. N°121/08. Córdoba, Argentina.

ACIDOS GRASOS MONOINSATURADOS DIETARIOS: CORRELACION ENTRE EL PERFIL LIPIDICO LIPOPROTEICO Y EL CONTENIDO MINERAL OSEO

Alsina Estefania¹, *Gonzales Chaves María M1, Zago Valeria⁴, Hecht P2, Scherier Laura⁴, Rodriguez Pat¹ Cátedras de Bioquímica, 2Biofísica y 3Técnica de Operatoria, Facultad de Odontología. 4Laboratorio

El perfil lipídico-lipoproteico aterogénico expone a los individuos al riesgo de desarrollar arterioesclerosis con calcificación vascular y osteoporosis.

Objetivo: Estudiar en ratas con HC, el efecto de dietas ricas en ácidos grasos monoinsaturados (AGAO, ω -9) sobre los lípidos séricos y su relación con el contenido mineral óseo (CMO). Ratas Wistar macho (n=48) de 21±2d fueron asignadas aleatoriamente a uno de 6 grupos. Durante 8 semanas, el grupo control (C) recibió dieta AIN-93G, mientras que los grupos AGAO y AO recibieron dietas con aceites ricos en ω 9, aceite de girasol alto oleico (AGAO) o aceite de oliva (AO), respectivamente. Los restantes recibieron por 3 semanas (T3) una dieta aterogénica (A) rica en GS+col. Luego por 5 semanas (T8) siguieron el siguiente protocolo: A continuó con la A, mientras que los grupos col-AGAO y col-AO, reemplazaron la GS por ω 9+col. A T3 se midió en todos los grupos la colesterolemia total (col-T) y a T8: col-T, triglicéridos (TG), col HDL, col noHDL y CMO total (DXA, Lunar DPX).

Resultados (media ± DE, y correlación múltiple, nivel de significación 5%). A T3, se observó hipercolesterolemia en A, col-AGAO y col-AO (p<0.001). A T8, C, AGAO y AO mostraron perfil lipídico lipoproteico similar y normal; col-AGAO presentó valores más elevados de col-T y de col-noHDL y menores de col-HDL (p< 0.001). El estudio de correlación múltiple mostró: los coeficientes β entre perfil lipídico y CMO fueron: -1.810 (p<0.08); -0.34 (p<0.034); 1.476 (p=0.17) para Col-noHDL, TG y Col-T, respectivamente (r=0.658). CMO y col-HDL mostró una correlación positiva (p=0.017). Estos hallazgos sugieren que el manejo nutricional de individuos HC no resultaría adecuado con dietas ricas en ω 9 provenientes del AGAO. Asimismo dado el efecto negativo sobre la masa ósea, se recomienda el seguimiento de la CMO.

Subsidiado por UBACyT O-008 y O-015.

COMPARACIÓN DE LA EFECTIVIDAD ANTIMICROBIANA ENTRE HIPOCLORITO DE SODIO Y DETERGENTES ENZIMÁTICOS SOBRE MESADAS EN CUATRO SERVICIOS DE ODONTOLOGIA HOSPITALARIOS

Jotko C*, Butler T, Serrano V, Ameri C, Solari E, Cattaneo M, Casariego Z. FACULTAD DE ODONTOLOGIA UNLP

Introducción: Los Comités de Control de Infecciones en Hospitales generalmente están encargados y recomiendan los materiales desinfectantes más adecuados para limpiar los pisos y muebles de todas las secciones edilicias. Hoy en día se entiende la importancia de este trabajo concerniente a la Salud Pública. **Objetivo:** Comparar la efectividad de un detergente enzimático con la solución al 1% de hipoclorito de sodio sobre *bacterias Gram+*, *Bacilo subtilis* y *hongos*, adheridos a mesadas azulejadas en cuatro Servicios de Odontología hospitalarios. **Metodos:** Se seleccionaron los Servicios de Odontología de los Hospitales San Martín y Gutiérrez de La Plata, Unidad Sanitaria Centro de la Ciudad de Ensenada y del Hospital Escuela de FOLP. Se tomaron muestras sobre 1m² de varias superficies de mesadas de esas Instituciones, 1ro., después de limpiadas con solución al 1% de Hipoclorito de sodio y 2do., después de limpiar con el detergente enzimático. Todas las especies fueron procesadas de acuerdo a los métodos indicados por los Stándares Internacionales y ambos grupos fueron comparados estadísticamente por el Test de pearson y ANOVA

RESULTADOS: Se obtuvieron las medias correspondientes:

	MEDIA HNa	MEDIA DE
G+	12,11	6,42
BS	8,64	4,50
H	10,71	8,47

Al analizar los resultados, la diferencia fue estadísticamente significativa: (p=0.001 en bacterias *Gram+* y <0,0001 respecto a *Bacilo subtilis* y *Hongos*), **Conclusión:** El detergente enzimático ha demostrado una efectividad mayor en comparación con el Hipoclorito de Sodio.

COMPORTAMIENTO BIOMECÁNICO DE LA MANDÍBULA DE RATAS DESNUTRIDAS TRATADAS CON DOSIS CRECIENTES DE PRO

*Lezón ChE1, Bozzini C1, Olivera MI1, Champin G1, Pintos P1, Ojea A1, Mandalunis P2, Boyer PM1. 1Cátedra de Fisiología, 2Cátedra de Histología y Embriología, FOUBA, Universidad de Buenos Aires

Existe evidencia de la regulación simpática de la masa ósea debido a la presencia de receptores adrenérgicos en osteoblastos y osteoclastos y de la inervación simpática del tejido óseo. **OBJETIVO:** El propósito del presente estudio fue evaluar el efecto de diferentes dosis de Propranolol (P, mg/Kg/día) sobre la morfometría y competencia mecánica mandibular en un modelo animal de desnutrición armónica (ED). **MÉTODOS:** Ratas macho de la cepa Wistar de 21 días se dividieron en Control (C), C + P3.5 (CP3.5), C + P7 (CP7), C + P10.5 (CP10.5), C + P14 (CP14), ED, ED + P3.5 (EDP3.5), ED + P7 (EDP7), ED + P10.5 (EDP10.5) y ED + P14 (EDP14). C con/sin P fueron alimentados *ad libitum*; ED con/sin P recibieron un 80% de la dieta de C durante 4 semanas. P, 3.5, 7, 10.5 y 14 mg/Kg/día, fue inyectado ip por 4 semanas en CP3.5 y EDP3.5, CP7 y ED7, CP10.5 y EDP10.5 y CP14 y EDP14, respectivamente. Los huesos fueron estudiados morfométrica y biomecánicamente. Para los estudios biomecánicos, las mandíbulas fueron sometidas a un test de flexión a tres puntos en un equipo Instron modelo 4442. Los gráficos carga/deformación obtenidos permitieron determinar la resistencia a la fractura, carga elástica límite y rigidez mandibulares. Se determinó el volumen óseo interradicular mediante histomorfometría estática. **RESULTADOS:** La restricción global afectó negativamente el crecimiento corporal, el mandibular y sus propiedades estructurales óseas, confirmando estudios previos ($p < 0.01$). Ninguna dosis de P modificó los parámetros morfo-antropométricos ($p > 0.05$). A 3.5 y 14 mg/Kg/día, P no previno los efectos negativos del estrés nutricional sobre la calidad mecánica del hueso. Sin embargo, P mejoró la competencia biomecánica ósea con incremento significativo del volumen óseo interradicular en ED vs C con 7 y 10.5 mg/Kg/día de propranolol ($p < 0.001$). **CONCLUSIONES:** Los resultados del presente estudio sugieren que el efecto preventivo del P sobre la competencia mecánica ósea del ED es dependiente de la dosis empleada. El propranolol, según el régimen administrado (dosis-tiempo) incrementa la masa ósea alveolar y la calidad mecánica del hueso integrado como órgano. UBACyT 0004.

ALTERACIONES FISIOPATOLÓGICAS EN GLANDULAS SUBMADIBULARES DE RATAS CON INGESTA CRÓNICA DE ALCOHOL

*Mariani M.C., Plavnik L., Malberti A, Linares J, Finkelberg A. Cátedra de Fisiología, Facultad de Odontología. UNC

Introducción: El Alcoholismo, acarrea graves consecuencias socio sanitarias y económicas, con elevada prevalencia en nuestro país. En las personas alcohólicas, se producen alteraciones de la homeostasis del sistema estomatognático, pudiendo provocar alteraciones tanto a nivel de tejidos duros y blandos como en saliva. El **Objetivo** del presente trabajo fue evaluar la cantidad y composición salival así como su correlación con posibles alteraciones histopatológicas de glándulas submandibulares, en un modelo de ingesta crónica de alcohol en ratas.

Métodos: Se utilizaron 30 ratas machos Wistar, de un mes de edad, mantenidas con temperatura y fotoperíodo controlado, fueron divididos los siguientes grupos experimentales: Controles: con alimentación y agua ad libitum. Alcohólicas: con dieta y agua ad libitum + edulcorante + 5% de etanol, aumentando hasta el 10%, durante 4 meses.

Finalizado dicho período, se las anestesió con Ketamina/Xilacina y se canalizaron las glándulas submaxilares (GS); se indujo la secreción salival con la administración intraperitoneal conjunta de 5 mg/Kg. de peso corporal de Isoproterenol y pilocarpina. Posteriormente se sacrificaron los animales procesándose las glándulas submandibulares para su análisis histológico.

Resultados: El volumen de saliva estimulada fue significativamente mayor en grupo tratado (AL), respecto al grupo control (C) ($p < 0,05$), con un aumento estadísticamente significativo en la concentración del Ca^{2+} ($p < 0,01$). Histológicamente, se observó un aumento del tamaño y vacuolización citoplasmática de los acinos serosos, conductos estriados con disminución del lumen ductal y destrucción citoplasmática, gran cantidad de gránulos secretorios intracitoplasmáticos PAS + en los conductos estriados y ligera secreción en la luz. **Conclusión:** Se puede concluir que las alteraciones del flujo salival, estarían relacionadas con el proceso secretorio a nivel de conductos estriados, los cuales presentan un notable deterioro, sin cambios evidentes a nivel acinar.

233

ESTUDIO TEMPORAL DEL DESARROLLO DE PERIODONTITIS POR APLICACIÓN DE LIPOPOLISACÁRIDO DE ESCHERICHIA COLI

Ossola CA*, Surkin PN, Mohn C, Amer M, Rettori V, Elverdin JC, Fernandez-Solari J.
Cátedra de Fisiología, FOUBA; CEFyBO, CONICET/UBA.

La periodontitis es uno de las afecciones más comunes de la cavidad bucal y que generalmente tiene su origen en la placa bacteriana. En el presente estudio trabajamos con un modelo infeccioso de inducción de periodontitis que consta de inyecciones de lipopolisacárido bacteriano (LPS) en el tejido gingival. El **OBJETIVO** de este trabajo fue evaluar distintos parámetros de enfermedad periodontal que presentan los animales sometidos a dichas condiciones a distintos tiempos. **MÉTODOS:** Inyecciones de 10µL de LPS (1mg/mL), o su vehículo, fueron aplicadas en la encía vestibular y palatina/lingual del primer molar y en el espacio interdental entre el primer y segundo molar de ambos maxilares. Las inyecciones se realizaron tres veces por semana; los grupos experimentales fueron ratas inyectadas con LPS durante 1, 3 y 6 semanas, con sus respectivos controles (n=6). Al finalizar los tratamientos se extrajeron las encías y los maxilares superior e inferior para realizar distintas determinaciones. La pérdida ósea a nivel de los primeros molares fue evaluada midiendo la distancia entre el límite amelocementario y la cresta ósea alveolar. En las encías se midió actividad de oxido nítrico sintasa inducible (NOSi) por radioconversión de 14C-L-arginina a 14C-L-citrulina y contenido de prostaglandina E2 (PGE2) por RIA como marcadores inflamatorios de periodontitis. **RESULTADOS:** en las ratas tratadas con LPS durante una semana no se observó pérdida ósea significativa con respecto a los controles, aunque el contenido gingival de PGE se elevó en las encías provenientes de ambos maxilares (p<0.05) con respecto a los controles. A las tres semanas se evidenció pérdida ósea en las ratas tratadas, mientras que la mayor diferencia con los controles se observó a las 6 semanas. Sin embargo no hubo diferencias significativas entre los grupos en los niveles gingivales de PGE2 a las 3 y 6 semanas. A las 6 semanas los animales tratados mostraron niveles incrementados de actividad de NOSi respecto de las ratas control (p<0.05), lo cual podría vincularse con el mayor deterioro óseo. **CONCLUSIÓN:** la aplicación crónica de LPS provoca daño periodontal que se acentúa en el tiempo y que podría estar asociado a alteraciones en los niveles de oxido nítrico y PGE2.

234

ACEITES VEGETALES DE LA DIETA Y MASA ÓSEA: CUAL ES LA MEJOR OPCIÓN?

*Pellegrini G1, Alsina E1, Ferreira Monteiro A1, Suárez C1, Casavalle P1, Mandalunis P2, Friedman S1
1Cátedras de Bioquímica, 2Histología, Facultad de Odontología. Universidad de Buenos Aires.

Previamente encontramos que el consumo de dietas ricas en grasa saturada impacta negativamente sobre la masa ósea (MO) durante el crecimiento donde el hueso es más vulnerable al estrés nutricional. Existen evidencias acerca de los efectos beneficiosos del consumo de ácidos grasos poliinsaturados (AGP) n3 y n6 sobre la salud ósea. Sin embargo, no está claro qué fuente de AGP es óptima. **Objetivo:** investigar en ratas en crecimiento, los efectos del consumo de dietas con distintas concentraciones de AG esenciales sobre el perfil plasmático de AG y la MO. Treinta ratas Wistar macho al destete fueron divididas en 6 grupos, según 2 variables: fuente (aceites de: maíz=**M** rico en AGPn6, soja=**S** AGPn3 y n6, y lino=**L** rico en AGPn3) y concentración de grasa dietaria (7 o 20g%). Las dietas se administraron ad libitum durante 4 semanas donde se monitorearon antropometría y eficiencia energética (EE=aumento de peso(g)/consumo de dieta(kcal)). A t=final, las ratas fueron sacrificadas y se evaluaron: Contenido Mineral óseo (normatizado por peso CMO/P, mg/g) y densidad mineral ósea (DMO, mg/cm²) totales por DXA; volumen óseo (VO/VT)(%); ancho del cartílago de crecimiento total e hipertrófico (ACT, ACH mm) y porcentaje de AG en plasma (en pool, gr/100gr de lípidos). Estadístico UNIANOVA-SNK (p<0.05). **Resultados** (% , media+DE): Los grupos no presentaron diferencias antropométricas ni en EE. Tanto al 7% como al 20%, el grupo **L** manifestó niveles considerables de AGPn3 en plasma (13% vs 4% y 2% en **S** y **M**). Al contrario, **S** y **M**, mostraron niveles altos de AGPn6 (35%). Los parámetros densitométricos sólo se afectaron por fuente: en CMO/P, **L** (9.1±0.8) fue mayor que **S** (7.1±1.1) = **M** (6.7±1.1)(p<0.001); y en DMO, **L** (233.9±5.2 = **S** (235.0±4.4) y > **M** (228.7±5.4) (p<0.001). No obstante, los parámetros histomorfométricos se alteraron sólo por concentración: ACCT, **7%** (0.44±0.05) > **20%** (0.38±0.08) (p<0.05) y ACH **7%** (0.26±0.04) > **20%** (0.21±0.06)(p<0.05). En VO/VT no se encontraron diferencias significativas. **Conclusión:** la mejor opción para optimizar la MO en el crecimiento es consumir aceites ricos en AGPn3 en cantidades adecuadas. Se desaconseja que la suplementación exceda las calorías de la dieta proveniente de los lípidos. *UBACyT 0008.*

Introducción: La artritis reumatoidea es una enfermedad autoinmune que produce alteraciones articulares con manifestaciones dolorosas, razón por la cual el paciente se encuentra ampliamente medicado. En este contexto, los primeros síntomas de patologías relacionadas con la A.T.M. quedan enmascarados, por lo que el enfermo relata alteraciones cuando la mecánica está francamente afectada.

Objetivo: Avanzar en una metodología que permita el diagnóstico precoz de patologías que afectan la A.T.M. en artritis reumatoidea para disminuir los efectos deletéreos.

Material y Métodos: Se analizaron 40 pacientes que concurren al Servicio de Reumatología del Sanatorio Allende y el Hospital Córdoba. Luego del consentimiento y un exhaustivo examen bucal y clínico de la A.T.M. se separaron en 1-pacientes con diagnóstico de artritis reumatoidea (AR) y 2- pacientes sin (AR) ni síntomas de afección de ATM (C). Se analizaron las ortopantomografías, condilografías bilaterales a boca abierta y boca cerrada y las ecografías power de alta resolución.

Resultados: Se observaron sólo 2 pacientes (C) con derrame articular mínimo. Por el contrario, en pacientes A.R.: 18 con derrame articular, 3 con distensión capsular, 12 con degeneraciones de cabeza del cóndilo mandibular, 11 con la trayectoria condilar anterior en dinámica alterada y 20 con distintos grados manifiestos de asimetría condilar. Ningún paciente acusó dolor previo o espontáneo, ni acúfenos mantenidos en el tiempo.

Conclusiones: Estos métodos permitieron apreciar dos tipos específicos de patologías: 1- Inflamatoria, dado por los derrames y las distensiones capsulares, sumado a una dinámica alterada. 2- Degenerativa, apreciables por las modificaciones en el cartílago y estructuras óseas. Se puede concluir que éstas técnicas constituyen importantes marcadores orientativos que permiten el tratamiento precoz de entidades existentes, previo a la sintomatología de las mismas o un efecto deletéreo irrecuperable.

OBJETIVOS: La investigación presente fue diseñada con el objeto de evaluar la repercusión biomecánica de la malnutrición proteica impuesta a ratas entre los días 26° y 135° de edad sobre la mandíbula (M), hueso que no soporta carga relacionada a peso corporal sino a fuerzas masticatorias. **MÉTODOS:** Ratas Sprague-Dawley hembras de 26 d de edad (n=14) fueron alimentadas con dietas conteniendo 4% (grupo P4) (ICN 960254) o 20% (grupo P20) (ICN 960260) de caseína y sacrificadas 111 d después. Peso y longitud corporales fueron registrados regularmente. Las mandíbulas fueron disecadas y liberadas de tejido blando. Se realizaron mediciones entre diversos puntos anatómicos para estimar la morfometría del hueso. La Densidad Mineral Ósea (DMO) fue determinada en un densitómetro LUNAR DPX-L. La M derecha de cada animal fue sometida al test de flexión a 3 puntos para obtener la curva *carga/deformación* y estimar las propiedades estructurales del hueso mandibular. Los resultados ($X \pm DS$) fueron analizados estadísticamente mediante test *t* de Student. **RESULTADOS:** El peso y la longitud corporales fueron menores en el grupo P4 que en el P20 (-75% y -32%, respectivamente). Longitud de la base, altura y área mandibular (índice del tamaño de M) fueron afectados negativamente por la dieta P4, lo mismo que la porción posterior de M (posterior al molar III). La porción anterior (procesos alveolar e incisivo) no fueron afectadas por dieta o edad. Todas las propiedades biomecánicas de M (carga de fractura, resistencia en fase elástica, límite elástico) fueron 43-64% menores en grupo P4 que en grupo P20. El valor de DMO fue similar en ambos grupos. **CONCLUSION:** 1) La malnutrición proteica crónica impuesta a ratas desde la infancia hasta la adultez reduce el crecimiento de la porción posterior de la mandíbula sin inducir cambios en su porción anterior, lo que produce una cierta deformación del hueso en comparación con animales de la misma edad; y 2) la importante pérdida de resistencia a fractura y de rigidez durante el período elástico es aparentemente causada por disminución de la masa ósea o de su distribución espacial, con mantenimiento de la normalidad de las propiedades óseas intrínsecas. *Proyectos UBACYT O-002 y O-005.*

237**FACTORES INMUNOLÓGICOS NO ATEROGÉNICOS DE RIESGO CARDÍACO EN PACIENTES CON ENFERMEDAD PERIODONTAL**Segovia M.*, Ganzinelli S., Borda E. y Sterin-Borda L.
FOUBA

Objetivo: La enfermedad periodontal (EP) es una patología infecciosa inflamatoria crónica con un fuerte componente autoinmune que afecta los tejidos de sostén de las piezas dentarias. Varios estudios epidemiológicos han demostrado una asociación entre la EP avanzada y una mayor incidencia de eventos cardiovasculares. En este trabajo exploramos la presencia de auto-anticuerpos presentes en el suero de pacientes con EP avanzada capaces de interactuar con el receptor $\beta 1$ adrenérgico ($\beta 1$ AR) del miocardio y de alterar su fisiología.

Métodos: Se estudiaron los sueros obtenidos de 36 pacientes con EP crónica severa y 20 individuos sanos mediante el método de ELISA, utilizando como antígenos membranas cardíacas de rata y un péptido sintético correspondiente al segundo dominio extracelular del $\beta 1$ AR humano. Se evaluó la contractilidad de aurícula aislada de rata, midiendo el dF/dt en presencia de los anticuerpos. Se midió la producción de AMPc en presencia de diferentes concentraciones del anticuerpo.

Resultados: Por ELISA, se observó la presencia de anticuerpos séricos en pacientes con EP. De los pacientes con EP estudiados, 28/36 (77,7%) resultaron positivos contra membrana cardíaca y 23/28 (82,2%) fueron positivos contra el péptido sintético $\beta 1$ adrenérgico. Asimismo, estos anticuerpos se mostraron biológicamente activos sobre la actividad auricular de rata, comportándose como agonistas parciales (dF/dt [$X \pm ESM$]: IgG anti b1 10-7M: $+50 \pm 4\%$ n=21; IgG anti b1 10-6M: $-45 \pm 3\%$; n=21).

Por otra parte, las IgGs inhibieron los efectos estimulatorios de un agonista β adrenérgico auténtico (Isoproterenol) tanto sobre el dF/dt como sobre la producción de AMPc cardíaco.

Conclusión: Se concluye que en el suero de pacientes con EP crónica existen anticuerpos capaces de interactuar con los $\beta 1$ AR del miocardio. Estos anticuerpos, junto con otros factores, podrían jugar un rol en el desarrollo de enfermedades sistémicas, como las miocardiopatías, en el curso crónico de la EP.

238**EFFECTOS CENTRALES Y LOCALES DE ENDOCANABINOIDES SOBRE EL FUNCIONAMIENTO DE LA GLÁNDULA SUBMAXILAR DE**Surkin PN*, Prestifilippo JP, Ossola CA, Fernandez- Solari J, Elverdin JC
Cátedra de Fisiología, FOUBA; CEFyBO, CONICET/UBA.

La glándula submaxilar (GSM) es un órgano clave en el control de los procesos inflamatorios que tienen lugar en la cavidad bucal. Los centros superiores que controlan su función secretora se encuentran en el hipotálamo lateral y ejercen su acción a través de fibras autonómicas dirigidas hacia las glándulas salivales. Se ha demostrado que la secreción salival se encuentra inhibida en condiciones de endotoxemia inducida por LPS a través de la acción de citoquinas pro-inflamatorias tales como el factor de necrosis tumoral alfa ($TNF\alpha$). En trabajos previos demostramos que los endocannabinoides participan como intermediarios en procesos inhibitorios de la secreción salival actuando tanto a nivel central como periférico. Por lo tanto el **OBJETIVO** del presente trabajo fue estudiar la participación de los endocannabinoides en procesos inhibitorios de la secreción salival, en ratas, inducidos local o centralmente por LPS o $TNF\alpha$, respectivamente. **MÉTODOS:** Se utilizaron dos modelos experimentales con 3 grupos cada uno (n=5); 1) a- inyección intraglandular (ig) de vehículo (control), b- inyección ig de LPS (50 μ g/50 μ l) y c- inyección ig de LPS + AM251 (15 μ g/50 μ l), antagonista selectivo de receptores de cannabinoides tipo 1; y 2) a- inyección intracerebroventricular (icv) de vehículo (control), b- inyección icv de $TNF\alpha$ (10ng/5 μ l) y c- inyección icv de $TNF\alpha$ + AM251 (500ng/50 μ l). En ambos casos, bajo anestesia, se estudió las respuestas secretorias con distintas dosis del sialogogo metacolina (MC) inyectado vía femoral. **RESULTADOS:** la inhibición de la secreción salival observada 1 h después de la inyección ig de LPS con respecto a los controles ($p < 0.05$ para 3 μ g/Kg de MC y $p < 0.01$ para 1 y 10 μ g/Kg de MC), fue prevenida completamente por la inyección simultánea de AM251. En igual sentido, la inhibición de la secreción salival observada 30 min después de la inyección icv de $TNF\alpha$ con respecto a los controles ($p < 0.05$ para 1 y 10 μ g/Kg de MC y $p < 0.01$ para 3 μ g/Kg de MC) fue prevenida completamente por la inyección concomitante de AM251. **CONCLUSIÓN:** los endocannabinoides participarían como mediadores de los efectos inhibitorios de la secreción salival desencadenados tanto a nivel central como periférico en condiciones inflamatorias.

Hemos comunicado que la intoxicación crónica con Aluminio (Al) de ratas inmaduras en condiciones de hipoxia (HX) produce deterioro de la calidad del material óseo expresado como una disminución de la resistencia a la deformación y la fractura (propiedades estructurales). El **objetivo** del presente trabajo fue evaluar indirectamente la calidad ósea mandibular mediante el estudio histológico y morfométrico. **Métodos:** Ratas hembra al destete fueron inyectadas con dosis de 27 mg de Al elemental por Kg, durante 3 meses 3 v/sem. Ratas control fueron inyectadas con vehículo. La mitad de cada grupo fue mantenida en cámaras de HX durante todo el tiempo experimental. Se realizó doble marcación con tetraciclinas según el protocolo para histomorfometría dinámica. En los cortes decalcificados y teñidos con H&E, se determinó el volumen óseo interradicular, el ancho y la altura periodontal. La distribución geométrica se evaluó en los cortes transversales en el punto de fractura realizada en el equipo Instron 4442. **Resultados:** el ancho del ligamento no fue modificado por los tratamientos, pero la altura del mismo aumentó significativamente cuando ambos tratamientos se aplicaron simultáneamente. El volumen óseo disminuyó en todos los grupos experimentales sin diferencias significativas entre ellos. En los cortes mesio-distales por desgaste observados con luz UV se estudió la presencia de simple y doble marcación en los grupos con tratamientos realizados por separado, con una significativa disminución de la magnitud de depósito óseo en el grupo HX. Cuando ambos tratamientos se aplicaron simultáneamente se observaron solamente marcaciones simples. En los cortes transversales se vio un aumento del área medular en los grupos mantenidos en HX. Los datos fueron procesados estadísticamente mediante ANOVA utilizando el software Prism v 3.0. **Conclusiones:** el Al como agente estresante del tejido óseo produce alteraciones a nivel microestructural del hueso, disminuyendo las propiedades materiales del mismo sin tener efectos en la cinética de formación ósea del hueso mandibular. Al agregar otro factor estresante, como es la HX, se exacerba el efecto deletéreo sobre el hueso. UBACyT O407.

Los pacientes sometidos a TMO muestran manifestaciones a nivel de cavidad bucal que pueden ser un factor limitante en la continuidad de la terapia. El presente trabajo tiene por **OBJETIVO** evaluar la cantidad y composición del flujo salival y su correlación con algunos índices de salud bucal.

MÉTODOS: Se recolectaron muestras de saliva basal en 10 pacientes sometidos a TMO del Servicio de Oncología del Sanatorio Allende (Córdoba) en las etapas: inicial, previa a la terapia de acondicionamiento (I); media: 7 a 10 días posteriores al TMO (M) y final, 30 a 45 días posteriores al egreso del aislamiento (F).

RESULTADOS: A pesar de la manifestación de xerostomía en un 60% de los pacientes analizados, no se observaron cambios en el flujo salival. Por el contrario, la composición salival se modifica, con una marcada elevación de Cl⁻ y Na⁺ que no se revierte al finalizar el tratamiento. La única modificación observada a nivel de los componentes orgánicos, fue una marcada disminución de la urea. En relación a los índices de salud bucal, la profundidad de sondaje, así como el índice de inflamación y placa se incrementan considerablemente. La prof de sondaje

CONCLUSIÓN: La sensación subjetiva de boca seca manifestada por la mayoría de los pacientes, no se correlacionó con hiposalivación. El incremento de Cl⁻ y Na⁺ podría relacionarse con alteraciones a nivel ductal, que modificarían su reabsorción. El aumento en la profundidad de sondaje e índice de inflamación, que no se revierte al finalizar la etapa de evaluación, aumentaría el riesgo de enfermedad periodontal en estos pacientes, por lo que sería necesario la incorporación del odontólogo en los equipos oncológicos.

241**INHIBICIÓN DIFERENCIAL DE MEPIVACAÍNA Y PROCAÍNA
SOBRE LA BOMBA DE CALCIO**Casadoumeçq AC*, Di Croce DE, Sánchez GA, Takara D.
Cátedra de Biofísica. Facultad de Odontología. UBA

OBJETIVO: La Ca-ATPasa de retículo sarcoplásmico (RS) es uno de los sistemas más importantes de la célula muscular esquelética que mantiene la [Ca] citosólico en condiciones fisiológicas. Transporta dos iones Ca hacia el interior de la organela a expensas de la energía libre de hidrólisis de ATP durante la relajación muscular. La inhibición de la proteína bomba de Ca por anestésicos locales podría promover una contracción sostenida o rigidez muscular. El propósito del trabajo fue estudiar el efecto inhibitor y/o activador de mepivacaína y procaína sobre la actividad Ca-ATPásica y el transporte de calcio. **MÉTODOS:** Se obtuvieron vesículas selladas de membranas de RS de músculo esquelético rápido con habilidad de acumular Ca (Champeil et al., 1985). La actividad ATPásica se determinó por la técnica colorimétrica (Baginski et. al., 1967). La captación de Ca se determinó por la técnica radioisotópica. **RESULTADOS:** En presencia del ionóforo de Ca, la mepivacaína (M) y la procaína (P) inhibieron la actividad ATPásica de modo dosis-dependiente. Los valores de K_i fueron estadísticamente significativos ($K_i(M)=15.7\pm 2.4$, $n=8$; $K_i(P)=29,1\pm 1.8$, $n=4$). En ausencia de calcimicina, los valores de K_i fueron mayores que en su presencia y no presentaron diferencia estadísticamente significativa ($K_i(M) = 50.3\pm 6.5$, $n=8$; $K_i(P) = 51.9\pm 6.2$, $n=4$), indicando que en presencia de calcimicina se evita la disminución del gradiente electroquímico de calcio. La preexposición de la membrana de RS a M invirtió el efecto inhibitorio de la droga sobre la actividad enzimática. La P también aumentó la actividad ATPásica pero con una menor velocidad. El efecto activador de los anestésicos sobre la proteína bomba de Ca disminuyó cuando se preincubó además en presencia de diferentes [Ca], siendo más acentuado este efecto en presencia de P. Los resultados sugieren que la M incrementa la permeabilidad de la membrana al Ca en una mayor magnitud que la P. Los valores de K_i para la captación de Ca ATP-dependiente presentaron diferencia significativa ($K_i(M) = 51.7\pm 6.5$, $n=8$; $K_i(P) = 37.6\pm 1.4$, $n=4$). **CONCLUSIÓN:** La M tiene un efecto inhibitor y/o activador sobre la Ca-ATPasa de membranas de RS de músculo esquelético de mayor magnitud que la P. *Subsidio UBACyT O 802.*

242**PROYECTO: EVALUACIÓN DE AULAS VIRTUALES. PLATAFORMA VIRTUAL
DE LA FACULTAD DE ODONTOLOGÍA DE LA UNC**Hernando L*, Spadliero de Lutri M, Evjanian G.
FACULTAD DE ODONTOLOGIA U.N.C

Objetivo: El objetivo del estudio es realizar una evaluación de la calidad tanto educativa como técnico-organizativa de las aulas virtuales creadas por los profesores en la plataforma virtual de la Facultad de Odontología de la UNC, como instrumento de apoyo a la enseñanza de grado, durante el año 2010.

Método: Se desarrollará un estudio descriptivo, tomando como unidades de observación cuantitativas el 100% de las aulas virtuales habilitadas durante el año 2010 y una muestra aleatoria correspondiente al 10% de estas aulas virtuales que se analizarán cualitativamente. La dimensión técnico-organizativa se evaluará mediante investigación cuantitativa (datos de identificación del aula, contenidos, recursos de información y de comunicación). La dimensión calidad educativa (actividades de aprendizaje, organización didáctica, instrumentos de evaluación, diseño gráfico y modelo pedagógico) se evaluará mediante análisis cualitativo. El análisis de datos cuantitativos se realizará mediante frecuencias relativas expresadas en porcentaje y prueba de Chi cuadrado para homogeneidad de proporciones, con $p < 0.05$. El análisis cualitativo se evaluará teniendo en cuenta el concepto de calidad educativa considerándose, el programa formativo, la organización de la enseñanza, los recursos humanos involucrados y los materiales, el proceso formativo y los resultados obtenidos. Diseño del instrumento de evaluación: se desarrollará teniendo en cuenta las dimensiones de análisis. Elaborado el instrumento se desarrollará una prueba piloto de aplicación del mismo en un grupo de 3 aulas. Evaluada la prueba piloto se realizarán las calibraciones que se consideren pertinentes, para luego aplicarla a la totalidad de aulas seleccionadas. Resultados esperados: se pretende identificar oportunidades de mejora en la organización de contenidos y diseño de las aulas virtuales destinadas a la innovación de la docencia desarrollada a través de estos espacios virtuales por los docentes de la Facultad de Odontología de Córdoba.

El **objetivo** de este trabajo fue investigar, qué sienten los estudiantes cuando tiene que atender a un paciente niño. Se partió del concepto de representaciones como construcciones mentales que realizan las personas acerca de la realidad que legitiman y justifican sus acciones sociales dentro de un contexto sociocultural–educativo.

Materiales y Metodo: se tomó como muestra, a alumnos que cursaban la Asignatura Odontopediatria de la Facultad de Odontología de la UNT teniendo en cuenta el carácter cualitativo de esta investigación, las decisiones acerca de las técnicas de obtención de información mas adecuadas para captar en terreno los observables de mi objeto fueron: la observación directa (participativa) e informes escritos.

Resultados: durante los tres años consecutivos(2005/2006/2007)los miedos y el temor fueron las variables con más frecuencia encontrados (50%)del universo de 30,28 y 26 respectivamente. El miedo es siempre una experiencia individualmente experimentada, socialmente construida y culturalmente compartida. Esta emoción es una percepción–una representación–una señal. Aun cuando algunos dicen no sentirlo, el miedo está presente. *“El miedo no es solamente una forma de hablar el mundo, es además una forma de actuar”.*

Conclusión: el miedo es una de las emociones inherentes a la conducta del hombre que lo acompaña desde su génesis. Para poder superar esta emoción en su proceso de formación, es necesario que el estudiante experimente en primer lugar, la búsqueda de su significado personal sobre la atención de su paciente, igualmente es importante la familiarización con la disciplina y la utilización del tiempo disponible (antes que le toque enfrentar aspectos técnicos y metodológicamente relevantes) que permita al alumno que el contacto con el niño se produzca en un ámbito de menos ansiedad y stress.

La presencia de microorganismos dentro de los conductos radiculares, puede ser eliminada mediante la preparación química y mecánica de los mismos. Luego de este procedimiento, una de las técnicas utilizadas por el odontólogo para la obturación radicular, consiste en el empleo de conos de gutta-percha tomados directamente del envase, los cuales no siempre conservan los estandares de esterilización previstos por el fabricante.

En el presente trabajo se procedió a: 1º) Contaminar 44 conos de gutta-percha con enterococo faecalis ATCC29212 y 2º) Colocar dichos conos en tres soluciones antisépticas de uso clínico habitual (hipoclorito de sodio 2,5%, iodopovidona 10% y alcohol 70%), en dos períodos de tiempo 1 y 5 minutos. 3º) Los conos de gutta-percha fueron retirados de las respectivas soluciones e incubados en 5ml. de solución BHI (Braine Hearth Infusion) a 37°C por un período de 24 y 48hs. 4º) La valoración del efecto antiséptico se efectuó mediante la determinación de la turbidez del medio de incubación.

El hipoclorito de sodio 2,5% resultó ser la solución más efectiva en la eliminación del enterococo faecalis contaminante de la superficie de los conos de gutta-percha, mientras que la iodopovidona 10%, en el procedimiento utilizado, careció de efecto antiséptico y la solución de alcohol 70% resultó tener un efecto intermedio entre ambas.

Los presentes resultados nos permiten concluir que: el hipoclorito de sodio 2,5% debería ser considerada la solución de elección para la descontaminación de conos de gutta-percha empleados en la obturación de conductos radiculares.

245**PROYECTO: ESTUDIO DE LAS CARACTERISTICAS CRISTALOGRAFICAS DEL PROCESO DE REMINERALIZACIÓN IN VITRO DE LA LESIÓN INCIPIENTE DE CARIES POR MICROSCOPIA ELECTRONICA DE BARRIDO**

*Tolcachir B y Gallará RV Cátedras de Integral Niños y Adolescentes, Química Biológica Facultad de Odontología; Química Biológica

El paradigma que rige el diagnóstico y tratamiento de la caries dental en la actualidad impone la búsqueda de terapéuticas apropiadas. Este modelo prioriza el control de los factores de riesgo y destaca las técnicas de remineralización. **OBJETIVO:** Estudiar mediante microscopía electrónica de barrido (SEM) y microanálisis con sonda de electrones (EPMA), las características cristalográficas de la remineralización de la “mancha blanca”, como una forma de reparación del esmalte frente a la lesión incipiente de caries. Extrapolar los resultados a los protocolos terapéuticos. **MÉTODOS:** Se emplearán 56 premolares extraídos por razones ortodóncicas o terceros molares retenidos, libres de caries, manchas blancas o hipoplasias, seccionados en mitad vestibular y lingual (n=112). Cada sección con una ventana de esmalte libre de 4x2mm será sumergida en solución desmineralizante (96hs). Luego, las muestras se dividirán aleatoriamente en 4 grupos: **Grupo1 (G1)** una aplicación diaria de CPP-ACP (Mi Paste®). **G1-1**, durante tres días; **G1-2**, diez días y **G1-3** catorce días. **Grupo 2 (G2)**, aplicación de barniz de Flúor 2,26 % (Duraphat®) cada 48 hs: **G2-1** una aplicación; **G2-2** dos aplicaciones; **G2-3**, tres aplicaciones. **Grupo Control (+)**, muestras conservadas en saliva artificial. **Grupo Control (-)**, muestras mantenidas en agua destilada. Para determinar el aspecto clínico, los especímenes serán escaneados antes y después de cada tratamiento (HP 3670, 1200 dpi) y se realizará análisis de las imágenes obtenidas (Image Pro-Plus 4,52). En cada grupo experimental se determinará el aspecto ultraestructural (SEM, LEO 1450VP) y análisis de calcio, fosfato y flúor en la zona de la lesión y áreas circundantes (EPMA, Microsonda JEOL JXA 8230). También se realizarán mediciones de microdureza Knoop en zonas remineralizadas y de esmalte sano. Los resultados serán analizados mediante el empleo de tests estadísticos apropiados. **IMPACTO:** si se acepta que la remineralización no es una restitución *ad-integrum* del esmalte, resulta de importancia el estudio de las características cristalográficas de estos nuevos depósitos minerales y su integración al tejido preexistente, pues confieren particularidades al aspecto clínico de la lesión y al comportamiento frente a un nuevo ataque ácido.

246**PROYECTO: ESTRATEGIAS TERAPÉUTICAS CON TRIÓXIDOS MINERAL AGREGADOS DE ORIGEN NACIONAL EN TRATAMIENTOS DE PULPOTOMÍAS EN PIEZAS DENTARIAS PERMANENTES DE ADOLESCENTES Y JÓVENES. ENFOQUE INTERDISCIPLINARIO**

Gutiérrez M. *, Rodríguez I A, Fadel P, Jerez MI, Llompert L, Marega G, Villalba C, Abratte . Cátedras de Endodoncia “B”1 e Histología “B”2 Facultad de Odontología UNIC

Resultados previos nos permitieron comprobar la efectividad a nivel clínico y radiográfico del trióxido mineral agregado CPM® cuando fue aplicado como apósito pulpar en el tratamiento de pulpotomía en los primeros molares permanentes. Por ello nuestro **objetivo**, en este trabajo, será complementar el estudio con la inclusión de los segundos molares permanentes. **Métodos:** Se seleccionarán 25 pacientes, de ambos sexos entre 15 y 25 años de edad cuyos segundos molares permanentes presenten cavidad de caries macropenetrante con diagnóstico de pulpas clínicamente sanas o con sintomatología dolorosa típica de las pulpas levemente inflamadas (hiperemia-pulpitis incipiente) con apexogénesis completa o con foramen inmaduro y cuyo remanente coronario permita la restauración definitiva con materiales plásticos. Se confeccionará la Historia Clínica, donde figurará la historia médica- odontológica. Se solicitará la firma del consentimiento informado e información para el paciente. Logrado el diagnóstico se comenzará con la etapa coronaria eliminando caries, aislamiento y desinfección del campo operatorio. El tratamiento de pulpotomía consistirá en la remoción de la pulpa cameral con fresas de tamaño acorde a la cámara pulpar, irrigación con solución fisiológica y desinfección de la cavidad con una torunda de algodón humedecida en hipoclorito de sodio al 2,5%. Lograda la hemostasia, se cubrirá el piso de la cámara pulpar (2-3 mm) con el cemento CPM® (Egeo S.R.L. Argentina, ANMAT N° 3344/03) utilizando un porta- amalgama estéril, se ejercerá leve presión para su distribución y se colocará una torunda de algodón humedecida en agua y otra seca. Se obturará provisoriamente con cemento a base de óxido de Zn eugenol. Siete días después se hará el primer control clínico, se retirará el algodón y se restaurará definitivamente. Los controles clínico-radiográficos se realizarán cada tres meses hasta completar los 24 meses. Los mismos consistirán, a través, de la anamnesis comprobar la presencia o ausencia de sintomatología, de no hallar ningún dato relevante en el examen clínico y se verificará a través de una radiografía periapical el estado de la zona ápico-periapical. Los datos obtenidos serán registrados en una ficha confeccionada para tal fin.

247**PROYECTO: DETERMINACIÓN DE LA CORRELACIÓN CLÍNICA, DERMATOSCÓPICA E HISTOLÓGICA DE LAS LESIONES PIGMENTARIAS DE CAVIDAD BUCAL**A Mordoh, M Gandolfo, S Sano, A Lence, H Lanfranchi
Catedra clinica estomatologica-FOUBA

Dado que no existe en la actualidad conocimiento de la correlación entre patrones dermatoscópicos, con la clínica e histología en las lesiones pigmentadas bucales(a diferencia de lo que ocurre en piel), establecer si determinados patrones dermatoscópicos se correlacionan en forma significativa con diagnósticos histológicos en lesiones mucosas, permitiría, mediante un método no invasivo, limitar en el futuro el número de biopsias sólo a aquellos casos en donde hubiera firme sospecha de malignidad.

El objetivo del estudio es describir las características clínicas, dermatoscópicas e histológicas de las lesiones pigmentadas bucales, según correspondan a melanosis, lentigos, nevos o melanomas y estimar la concordancia entre los patrones dermatoscópicos observados en el estudio y la histopatología de las lesiones analizadas.

El estudio será prospectivo, descriptivo, de corte transversal y se realizará la examinación clínica, dermatoscópica y histológica de pacientes con lesiones pigmentadas bucales .

Se describirá la frecuencia de patrones dermatoscópicos según el tipo de lesión histológica expresado en porcentajes con su límite de confianza del 95%. Para estimar concordancia se utilizará un test de Gamma.

Se ha estimado, dada la ausencia de información, para una prevalencia estimada del evento del 50% +/- 10 %, un total de 96 casos.

248**PROYECTO: EXPRESIÓN DE PROTEÍNAS DE ADHESIÓN Y UNIÓN CELULAR EN TEJIDO PULPAR DE INCISIVOS DE RATAS EXPUESTAS****A FLUORURO EN EL AGUA DE BEBIDA**Centeno VA*, Gallará RV, Fontanetti PA, Ponce RH.
Cátedra "A" de Química Biológica. Facultad de Odontología. Universidad Nacional de Córdoba.

La ingesta excesiva de fluoruro durante el proceso de mineralización del diente puede causar fluorosis dental, la cual se caracteriza por cambios en la mineralización. Aunque los efectos del fluoruro sobre la odontogénesis han sido bien establecidos, los mecanismos moleculares que subyacen a la fluorosis no se conocen completamente. Las proteínas de adhesión (AJs) y unión intercelular (TJs) cumplen un rol esencial durante la dentinogénesis, debido a la influencia que ellas ejercen sobre las propiedades de la matriz de la dentina y la deposición mineral. Es probable que la expresión alterada de proteínas de AJs y TJs sea parte del mecanismo molecular desencadenado por la ingesta crónica de fluoruro.

Objetivo: Estudiar el efecto de la exposición a fluoruro en el agua de bebida sobre la expresión génica de claudinas, ocludinas, caderinas y moléculas relacionadas en el tejido pulpar del incisivo de rata.

Métodos: Ratas Wistar macho de 22 días de edad, mantenidas con comida y agua "ad libitum", se dividirán de manera aleatoria en 3 grupos experimentales consumiendo agua con diferente concentración de F: a) animales controles (0,3 ppm de F); b) animales tratados (1 ppm de F) y c) animales tratados (10 ppm de F). A los 2 meses del tratamiento las ratas serán sacrificadas por dislocación cervical. A partir del tejido pulpar de los incisivos superiores se extraerá el ARN. Mediante la técnica de RT-PCR se analizará la expresión de genes que codifican para proteínas de TJs (claudinas y ocludina) y de AJs (caderinas y cateninas). Por análisis de Western blot se estudiará la expresión de estas proteínas. Si el patrón de expresión de proteínas de TJs y AJs muestra alteraciones, se evaluará la actividad de marcadores de diferenciación celular tales como fosfatasa alcalina, osteocalcina y sialofosfoproteína dentinaria. **Impacto:** Aportar conocimientos sobre el mecanismo de acción molecular del F. a fin de diseñar estrategias que ayuden a prevenir sus efectos tóxicos.

249**PROYECTO: PROGRAMAS PREVENTIVOS EN PACIENTES CON APARATOLOGÍA FIJA DE ORTODONCIA. REMINERALIZACIÓN DE MANCHAS BLANCAS. ESTUDIO DE COSTO EFECTIVIDAD**BORJAS M I, NASSO P, FERNANDEZ C, VUOTO E, GRILLI S, PISTOCHINI A.
Universidad Nacional de Cuyo

Los programas preventivos en odontología son eficaces para la prevención de patologías dentarias. Son probablemente efectivos en la prevención de la enfermedad y el mantenimiento de la salud. Los pacientes con ortodoncia poseen un riesgo agregado de enfermar de caries por la dificultad que presentan para realizar una correcta higiene dental. Es común en ellos la aparición de manchas blancas (lesión inicial de caries) alrededor de bandas y brackets. El tratamiento es la aplicación de fluoruros, TH y asesoramiento dietético. Este proyecto se propone comparar dos programas preventivos en pacientes con aparatología fija de ortodoncia e investigar cual presentación de fluoruros reporta la solución más económica a iguales resultados en remineralización de lesiones. **Objetivos:** Comparar el costo efectividad de dos programas preventivos para remineralizar mancha blanca. Observar si existen diferencias significativas con la utilización de dos presentaciones diferentes de fluoruros. Instalar el programa más beneficioso para los pacientes **Metodología:** se compararán dos programas preventivos en pacientes con aparatología de ortodoncia. En ambos se aplicará un plan preventivo básico que consta del control de la infección, control del medio y refuerzo del huésped. El programa A aplicará fluoruros en forma de barniz y el programa B aplicará monofluorofosfato acidulado. Se observarán la remineralización de las lesiones. Se considerarán como valor 0 y 1 para superficies no remineralizada y superficie remineralizada. El costo efectividad se tomará analizando costos directos e indirectos por superficie remineralizada. Como criterios diagnósticos se utilizará índices ICDASII – CPOD- CPOS. **Resultados esperados:** Obtener el costo efectividad de los mismos. Comparar la utilización de dos formas de aplicación de fluoruros en programas preventivos. Aplicar el programa más adecuado en los pacientes. **Conclusiones:** Se espera de este proyecto poder definir cuál de los dos programas resulta en un costo/efectividad más viable para su aplicación en poblaciones vulnerables como los pacientes de ortodoncia.

250**PROYECTO: EVALUACIÓN BUCO-MAXILO-FACIAL DE JÓVENES ENTRE 18 Y 29 AÑOS EN TRATAMIENTO POR ADICCIÓN A DROGAS***Rotemberg E, Salveraglio I, Piovesan S, Varela A, Smasik K, Ormaechea R
FOUDELAR (Montevideo, Uruguay)

El presente trabajo procura evaluar el estado de salud buco-dental de individuos de 18 a 29 años que asisten a un Centro de Tratamiento por su adicción a drogas. Este estudio de casos y control, procura la detección de signos en el examen clínico regional y local que alerten de una probable adicción hacia drogas legales e ilegales de mayor distribución y consumo en el país. Una muestra de individuos en tratamiento por su drogodependencia en el Portal Amarillo será comparada con jóvenes no consumidores que concurren al Servicio de Registro y Admisión de Pacientes de la Facultad de odontología, con similares características socio-demográficas. Además se comprobará la validez de un test rápido con saliva para la detección de drogas madre y/o sus metabolitos en algunos individuos de la Facultad de Odontología, que relaten consumo reciente de drogas.

OBJETIVOS evaluar el estado de salud buco-dental de individuos de 18 a 29 años que asistan a un Centro de Tratamiento por su adicción a drogas.

MÉTODO se realizará un estudio descriptivo de las variables relevadas. Si bien este tipo de estudio no permite la obtención de prevalencia, se calculará la fracción de riesgo atribuible para cada factor. Se presentarán los datos en tablas tetracóricas con el cálculo de Odds Ratio y los intervalos de confianza correspondientes. La calibración de los examinadores será sometida a análisis estadístico con el test de Kappa, considerando satisfactorio un valor igual o mayor a 0,7. Previo consentimiento informado se aplicará a los individuos seleccionados un cuestionario y un examen clínico. Para la caracterización socioeconómica se utilizará el Índice de Nivel Socioeconómico (INSE), validado por el Departamento de Sociología de la Facultad de Ciencias Sociales. El procesamiento de datos se hará con software libre.

RESULTADOS se espera detectar las patologías relacionadas al consumo de drogas, para en próximos estudios conocer como contrarrestar el impacto y necesidades de tratamiento ante esta problemática. El análisis de los resultados del test rápido en saliva nos dará respuestas sobre la confiabilidad del mismo.

Objetivo: Valorar el rol del trauma oclusal en la evolución de las retracciones gingivales en pacientes fumadores y no fumadores.

Materiales y métodos: Se realizaron registros clínicos periodontales a 19 pacientes (10 fumadores y 9 no fumadores). A todos se reinstruyó en higiene con indicación de un cepillo ultra-suave y se les realizó terapia básica periodontal; clínicamente y a través del análisis de modelos en articulador semi-ajustable, se valoró la presencia de relaciones oclusales traumáticas. Al mes de concluida la terapia inicial se repitieron los registros clínicos y se instaló una placa de relajación rígida realizada en articulador semi-ajustable. Luego de 3 meses de instalada y ajustada la placa se realizaron nuevamente los registros clínicos categorizándose la evolución de las retracciones en "mejora", "empeora" y "sin cambios". Con los datos obtenidos se procedió al procesamiento estadístico (regresión logística multinomial).

Resultados: Del total de pacientes incluidos en el estudio en el análisis clínico y de modelos, 13 presentaron ausencia de todas o alguna de las guías desoclusivas (7 fumadores y 6 no fumadores), todos los pacientes presentaron facetas de desgaste como signo de parafunción. Del total de 507 elementos analizados, 302 presentaron retracciones (176 en fumadores y 126 en no fumadores). La evolución de las mismas exhibió las siguientes proporciones: "mejora" 63,26% y 58,92% para fumadores y no fumadores respectivamente, para "empeora" y "sin cambios" 20,47%, 22,6%, 15,75% y 18,08% para fumadores y no fumadores respectivamente. El procesamiento estadístico de los datos no arroja diferencias estadísticamente significativas en la categoría "mejora" en ambos grupos ($p > 0,05$). **Conclusión:** El trauma oclusal tendría inferencia en la evolución de las retracciones para ambos grupos, ya que neutralizada su acción, tanto los fumadores como los no fumadores respondieron de manera similar a la terapia implementada

Introducción: Los pernos intraradicales (PI) deben adaptar correctamente para asegurar la estabilidad y la permanencia de la corona. Diferentes factores, clínicos y técnicos, han sido estudiados para conocer los agentes determinantes de la retención de PI. La disminución de pasos secuenciales de laboratorio, la facilitación de la tarea técnica, la reducción del grado de manipulación de los materiales y la simplificación del proceso de colado, son aspectos fundamentales para lograr una mejor adaptación de PI garantizando el éxito de la restauración protética. **Objetivos:** Actualizar conocimientos de factores de orden técnico para mejorar la adaptación de PI colados. Desarrollar una técnica de laboratorio innovadora para su confección. Comparar las modificaciones al procedimiento de colado convencional y analizar las posibles ventajas. **Métodos:** Se utilizarán 40 incisivos centrales superiores artificiales (Kavo) que serán seccionados transversalmente para trabajar sobre las porciones radiculares exclusivamente. Se prepararan los conductos radiculares utilizando el mismo elemento de ensanche para todas las muestras. Estas serán divididas en 2 grupos iguales (A y B) y fijadas en un contenedor apropiado, para ser impresionados posteriormente. Las impresiones serán tomadas utilizando la técnica de doble impresión con silicona de adición. El grupo A será vaciado en yeso extraduro y el B en material refractario. Se llevaran a cabo la elaboración de los respectivos patrones con resina acrílica de polimerización en frío. En el caso de B solo se confeccionará la porción coronaria de dicho patrón. El grupo A será colado con la técnica convencional. En el caso del grupo B se invertirán los patrones acompañados de una sección del modelo donde fueron preparados. El proceso de cementado, se hará con el mismo agente cementante y a presión controlada. Se estudiará y comparará el coeficiente de retención de los PI en ambas técnicas, mediante un procedimiento de medición por tracción que permita medir la fuerza requerida para desalojar al PI del interior del conducto. Una vez obtenidas los valores de tracción para cada grupo serán sometidos a un análisis estadístico.

PROYECTO: DIFICULTADES EN FÍSICA GENERAL DE INGRESANTES A LA FACULTAD DE ODONTOLOGÍA DE LA UNIVERSIDAD NACIONAL DE TUCUMÁN (FOUNT)

CATALÁN, P.E.; PÉREZ, L.I.; ALDERETE, M.S.; MERLETTI, S.M.; CÓRDOBA, J.E.; JUÁREZ, T.A.; RODRIGUEZ, N.

Cátedra Biofísica, Facultad de Odontología, San Miguel de Tucumán

INTRODUCCIÓN: Los aspirantes a ingresar a la FOUNT deberían tener conocimientos básicos de Física General aprendidos en el nivel medio. Sin embargo, es una realidad la falta de articulación entre las instituciones del polimodal y la universidad. Piovani (2009) destaca que los alumnos que ingresan a carreras universitarias demuestran poseer escasos conocimientos en materias básicas como física, desconocen conceptos esenciales y carecen de dominio en procedimientos como resolución de problemas. La deficiencia en la educación preuniversitaria genera dificultades en los alumnos para afrontar esta materia y determina altos índices de fracaso en su rendimiento académico durante el ciclo inicial de la carrera.

OBJETIVO: Identificar los temas de mayor dificultad en física general que muestran los ingresantes a la FOUNT.

MÉTODO: Se administró una prueba diagnóstica de temas de física general a 137 aspirantes a ingresar a la FOUNT. La misma consistió en 29 preguntas estructuradas de comprensión y aplicación sobre Magnitudes (1), Estática (2), Cinemática (3), Dinámica (4), Trabajo y Potencia (5), Materia y Átomo (6), Temperatura y Calor (7), Hidrostática e Hidrodinámica (8), Gases (9) y Electricidad (10). Se agruparon las respuestas en tres categorías: *bien, mal, no contesta*.

RESULTADOS: Los resultados obtenidos revelan que los temas con predominio de respuestas nulas o erróneas fueron 5 (49,7%), 6 (52,4%), 7 (52,5%), 8 (44%), 9 (56,7%), mientras que los temas con mayor porcentaje de respuestas correctas correspondieron a 1 (67,3%), 2 (64,1%), 3 (64,2%), 4 (60,7%), y 10 (63,5%).

CONCLUSIÓN: Los alumnos aspirantes a ingresar a la FOUNT presentan falencias en Física General, existiendo temas específicos de mayor dificultad: Trabajo y Potencia, Materia y Átomo, Temperatura y Calor, Hidrostática e hidrodinámica y Gases. Esto demuestra la falta de articulación efectiva entre las instituciones del nivel medio y la Universidad, lo que hace necesario enfatizar la importancia de un curso de nivelación, previo al inicio de la actividad académica, para proveer y/o reforzar los conocimientos básicos necesarios de la asignatura.

PROYECTO: HÁBITOS ACADÉMICOS DE LOS INGRESANTES EN EL CINO (CURSO INTRODUCTORIO DE NIVELACIÓN EN ODONTOLOGÍA) RELACIONADOS CON SU RENDIMIENTO ACADÉMICO (FOUNT)

RODRIGUEZ, N.; JUÁREZ, T.A.; ALDERETE, M.S.; MERLETTI, S.M.; PÉREZ, L.I.; CÓRDOBA, J.E.; CATALÁN, P.E. Cátedra Biofísica, Facultad de Odontología, San Miguel de Tucumán.

INTRODUCCIÓN: El bajo rendimiento de los aspirantes a ingresar a la Carrera de Odontología de la FOUNT crea la necesidad de investigar las causas de este repetido fenómeno, para adecuar los factores inherentes al rol docente, con respecto a **buena enseñanza** (Litwin, 1997), a fin de lograr la construcción de un **aprendizaje significativo** (Ausubel) y potenciar las posibilidades cognitivas de los sujetos. **OBJETIVO:** Indagar sobre hábitos académicos de los ingresantes en el CINO y relacionarlos con su rendimiento en la evaluación final. **MÉTODO:** Se tomó una muestra aleatoria de 60 postulantes a la Carrera de Odontología en el año 2010, de un total de 300. Se administró una encuesta estructurada para investigar sobre metodologías y hábitos de estudio de los ingresantes. Se procesaron las encuestas para relacionar: Asistencia al curso (opcional), Concurrencia a profesor particular, Consultas, A quien recurrió ante dificultades y Horas de estudio. Además se solicitó a los alumnos que evalúen la utilidad del curso. Se relacionaron las respuestas de la encuesta con el puntaje obtenido sólo en teoría y no con el de resolución de problemas de la evaluación final del CINO. **RESULTADOS:** Se definieron tres grupos: G1 (0 a 40 puntos, reprobado), G2 (50 a 70, satisfactorio), G3 (80 a 90, sobresaliente). Con el test Chi cuadrado no se encontraron diferencias significativas para los tres grupos en los ítems *Recurrió a, Consultó, Horas de estudio y Utilidad del CINO*, encontrándose valores significativos en *Asistencia al CINO*, (donde G1 tuvo el 62% de asistencia al curso, G2 el 41% y G3 el 11%) y *Estudió con* (para la opción asistió a profesor particular G1 registró 15%, G2 el 55% y G3 el 56%). **CONCLUSIÓN:** Los postulantes que concurren a profesores particulares obtuvieron mejores resultados que los que no lo hicieron. A pesar de que la asistencia al CINO fue menor en el grupo de mayor rendimiento, hubo concordancia en que los contenidos dictados sirvieron para ampliar conocimientos con respecto a la formación previa.

255

PROYECTO: DIAGNÓSTICO DE LAS CONDICIONES ACADÉMICAS EN FÍSICA GENERAL DE LOS ESTUDIANTES AL INGRESO A LA F.O.U.N.T. MERLETTI, S.M.; PÉREZ, L.I.; ALDERETE, M.S.; CATALÁN, P.E.; CÓRDOBA, J.E.; JUÁREZ, T.A.; RODRIGUEZ, N.
Cátedra Biofísica, Facultad de Odontología. San Miguel de Tucumán.

INTRODUCCIÓN: Se ha detectado una disminución de la calidad de los aprendizajes adquiridos en el nivel medio en todas las áreas de conocimiento. La Facultad de Odontología de la Universidad Nacional de Tucumán (F.O.U.N.T.) implementó desde 2003 un Curso Introductorio de Nivelación en Odontología (C.I.N.O.) para mejorar la calidad de los conocimientos. Una prueba diagnóstica permite conocer los contenidos que efectivamente se estudiaron e incorporaron en el nivel medio con los cuales ingresan los estudiantes a la universidad. Loreto (2010) define condiciones académicas a las características socio – educativas de cada ingresante. Para Bergoña Rodríguez (2007) son los resultados educativos a partir de las características personales y educativas de los alumnos.

OBJETIVO: obtener un diagnóstico de las condiciones académicas en Física General de los estudiantes al momento de su ingreso a la FOUNT con el fin de desarrollar estrategias de corrección a los problemas detectados.

MÉTODO: Se administró una prueba diagnóstica a 137 aspirantes a la Carrera de Odontología. La misma fue validada en el año 2006 en una prueba piloto con ingresantes a la FOUNT. Consistió en veintinueve (29) preguntas estructuradas de comprensión y aplicación sobre magnitudes y estática, cinemática, dinámica, trabajo, potencia, átomo, hidrostática, hidrodinámica, gases y electricidad. **RESULTADOS:** Se encontró que 81 (59,1%; con un $IC_{95\%}=(50\%; 67\%)$) ingresantes tienen los conocimientos de Física General indispensables para el buen desempeño universitario en la FOUNT (más de 16 respuestas correctas)

CONCLUSIÓN: Los resultados obtenidos indican que una buena proporción de los aspirantes consultados posee un desempeño satisfactorio en los conocimientos previos de los contenidos propuestos de Física General en el C.I.N.O. Se propone un seguimiento a fin de evaluar su rendimiento académico posterior en el cursado de Biofísica.

256

PROYECTO: IMPORTANCIA DEL CURSO INTRODUCTORIO DE NIVELACIÓN EN ODONTOLOGÍA (CINO) EN LOS ASPIRANTES A INGRESAR A LA FACULTAD DE ODONTOLOGÍA DE LA UNIVERSIDAD NACIONAL DE TUCUMÁN (FOUNT) PÉREZ, L.I.; CATALÁN, P.E.; ALDERETE, M.S.; MERLETTI, S.M.; CÓRDOBA, J.E.; JUÁREZ, T.A.; RODRIGUEZ, N. Cátedra Biofísica, FO. San Miguel de Tucumán.

INTRODUCCIÓN: La FOUNT recibe por año aproximadamente 300 aspirantes a ingresar a la Carrera de Odontología. El diagnóstico de los conocimientos mínimos indispensables de los ingresantes es una preocupación de larga data para realizar la planificación de los cursos de primer año. Es por ello que desde el año 2003 la Facultad de Odontología, implementó el Curso Introductorio de Nivelación en Odontología (CINO) que busca garantizar una aceptable articulación con el nivel medio, aumentar el rendimiento en la carrera de grado y proponer contenidos necesarios al aspirante, para su desenvolvimiento en la vida universitaria, en especial para el cursado del ciclo básico. **OBJETIVO:** evaluar la importancia del Curso de Nivelación de Física general en los aspirantes a ingresar a la Carrera de Odontología de la FOUNT. **MÉTODO:** Se administró una prueba diagnóstica a 137 aspirantes antes de comenzar el CINO 2010. La misma consistió en 29 preguntas estructuradas de comprensión y aplicación. Al finalizar el curso de 36 horas de duración, en el que se abordaron temas de Física General, se evaluaron los conocimientos utilizando la misma prueba. En las pruebas pre y post- instruccionales se categorizaron las respuestas correctas obtenidas en intervalos de tres en tres. **RESULTADOS:** el 33% de los alumnos que obtuvieron puntaje entre 16 y 18 respuestas correctas en la prueba pre-instruccionales lo mantuvo, y el resto lo aumentó; el 15% de los que obtuvieron entre 19 y 21 mantuvo ese puntaje y el resto lo aumentó; de los que obtuvieron entre 22 y 24 al inicio, el 50% lo mantuvo y el resto lo aumentó; de los que obtuvieron entre 25 y 27 al comienzo, el 91% lo mantuvo y el resto lo aumentó. La media del puntaje inicial fue 16,7 y del final 20,7 sin categorizar los datos. El test de t para muestras apareadas dio un $p < 0.0001$. Existe evidencia suficiente para asegurar que los puntajes finales son significativamente mayores que los iniciales.

CONCLUSIÓN: Se puede concluir que si bien los ingresantes 2010 a la FOUNT llegaron con los conocimientos mínimos indispensables, después del cursado del CINO el nivel de rendimiento académico aumentó de manera significativa. Se demuestra así la importancia de este curso.

257**PROYECTO: INVESTIGACIÓN DE LA VARIACIÓN DIMENSIONAL DE LAS IMPRESIONES DENTALES CON ALGINATO VACIADAS EN DISTINTOS TIEMPOS**

Noste JL, Granato M, Martín A, Attorresi B, Galleano S, Di Benedetto S, Girgenti J, Valdés C, Surraco MF, Arancegui, N. Facultad de Odontología de Rosario-UNR

Objetivo: contribuir al conocimiento de las prácticas odontológicas respecto a las impresiones en hidrocoloide irreversible, Investigar la estabilidad dimensional del alginato en función de tiempo de almacenamiento.

Métodos: Se parte de un modelo maestro acrílico con 4 pilares metálicos. Los modelos obtenidos en 4 tiempos distintos: inmediato (I), 30 min. expuesto al aire (30M), 6 hs. sumergido en agua (6H) y 24 hs. en cámara húmeda cerrada (24CH) y 24 hs. En bolsa cerrada sin cámara de humedad (24BC); todas por quintuplicado. Las medidas se realizaron por triplicado con una máquina de medición por coordenadas Brown & Sharpe, empleando el programa "Tutor for Windows" V. 3.1, a $20 \pm 1^\circ\text{C}$ y 50% de humedad. Se efectuaron las comprobaciones en 8 parámetros, determinando las diferencias entre los promedios resultantes y las dimensiones medidas en modelo patrón de referencia, todos los resultados están en el orden de milímetros. Se utilizó el programa de estadísticas MedCal para evaluar los resultados realizando un análisis de la varianza, test K-S y un t-value.

Resultados: al analizar los datos obtenidos en I respecto al patrón, la diferencia entre las medias fue 0,0021, estadísticamente no significativa ($p=0,998$), al comparar 30M la diferencia entre medias fue de 0,1033, sin significación ($p=0,9897$) para 6H la diferencia entre medias fue 0,0322 ($p=0,9968$), para 24CH la diferencia fue 0,0135 ($p=0,9987$) y para 24BC la diferencia fue 0,0343 ($p=0,9966$).

Conclusiones: Según los datos metrológicos obtenidos, el vaciado que sufre menores variaciones dimensionales es el modelo realizado inmediatamente al retiro de la impresión, no obstante no hallar significación estadística, debemos de considerar que la suma de pequeños errores puede llevar a configurar una desadaptación de la prótesis. Profundizaremos la investigación tratando de encontrar significación clínica a los errores dimensionales hallados.

258**PROYECTO: RESISTENCIA ADHESIVA A DENTINA DE CEMENTOS RESINOSOS DE AUTOGRABADO**Chávez Lozada J *, Urquía Morales C.
Cátedra de Operatoria I "B". U.N.C. Argentina

Las restauraciones indirectas deben ser fijadas a las estructuras dentarias por medio de agentes cementantes, para evitar su desprendimiento y mantener un adecuado sellado marginal que garantice su permanencia en la cavidad bucal.

El **objetivo** de este trabajo es evaluar la resistencia adhesiva a dentina de los nuevos cementos de resina de autograbado.

Materiales y métodos: se utilizarán superficies planas de dentina, obtenidas a partir de terceros molares humanos recientemente extraídos ($n = 60$) que serán distribuidos aleatoriamente en 5 grupos, según los diferentes agentes de cementado experimentales; Grupo 1: Relyx U100(3M/ESPE), Grupo 2: Bis Cem (Bisco), Grupo 3: Max Cem (Kerr), Grupo 4: Bifix SE (Voco) y Grupo 5: Relyx ARC (3M/ESPE), control. Las muestras de dentina correspondientes a los grupos 1 al 4 no serán sometidas a ningún tratamiento previo; las del grupo 5 serán acondicionadas con un gel de ácido fosfórico al 35 % (Scotch Bond Etchant – 3 M Co) por 15 segundos, lavadas, secadas y se aplicará luego el sistema adhesivo (Single Bond 2-3M Co). Todos los materiales serán manipulados siguiendo las instrucciones de los fabricantes.

Seguidamente se fijarán a esas superficies, probetas cilíndricas de cerámica (IPS Empress 2-ivoclar/Vivadent) de 4.1 mm de diámetro cuyas superficies serán grabadas con ácido fluorhídrico y silanizadas, de acuerdo a las indicaciones.

Luego de 24 horas de almacenamiento en un medio con 100 % de humedad a 37°C , las probetas serán sometidas a ensayo de resistencia adhesiva bajo tensiones de corte en máquina Instron, con una velocidad del cabezal de 1 mm/minuto; a los 7, 14 y 21 días. Los valores medios serán registrados en MPa y los resultados obtenidos serán evaluados estadísticamente por análisis de varianza.

259

260

261

PROYECTO: PREVALENCIA DE ESPECIES DE LEVADURA EN SURCO PERIIMPLANTARIO EN PACIENTES CON MÁS DE CINCO AÑOS DE FINALIZADO SU TRATAMIENTO

Bertone A, Mujica MT, Pola S, Finkelievich J, Jewtuchowicz V.
UBA/Departamento de Microbiología, Parasitología e Inmunología. Área Micología. Fac. Medicina.

1. **INTRODUCCIÓN:** El origen infeccioso de la periimplantitis es un factor relacionado con la pérdida de oointegración. Las especies de levaduras colonizan biopelículas en cavidad bucal pero poco se conoce acerca de este nicho ecológico particular.
2. **OBJETIVO:** Conocer la prevalencia y distribución de levaduras en periimplantitis en pacientes con periimplantitis con más de 5 años de tratamiento con implantes.
3. **Materiales y MÉTODOS:** Se tomaron muestras de biopelícula subgingival de surcos periimplantarios con conos de papel y de cavidad bucal (paladar, lengua y carrillo) con hisopos estériles. Se colocaron en tubos eppendorf con 500 ml de solución fisiológica estéril y se identificaron. Procesamiento de la muestra: Examen Directo y cultivo. Identificación de los aislamientos: Sobre la base del color desarrollado en el medio cromogénico, micromorfología, PCR específica con los cebadores específicos de especie
4. **RESULTADOS:** El trabajo se encuentra en desarrollo. Basándose en las investigaciones ya realizadas se puede decir que hay una marcada prevalencia de *Cándida albicans* y *Cándida dubliniensis* en surcos periimplantarios en comparación con las otras especies de levaduras.
5. **CONCLUSIÓN:** los resultados preliminares permiten concluir que las especies de levaduras encuentran un nicho ecológico favorable para multiplicarse alrededor del implante. Si bien *Candida albicans* fue la especie predominante, otras se hallaron en periimplantitis como *C. dubliniensis*, *C. tropicalis*, *C. krusei*, *C. glabrata*, *C. parapsilosis*, *Saccharomyces spp*

262

PROYECTO: RELACIÓN DE LAS DISGNACIAS Y LAS ALTERACIONES FONEMÁTICAS EN EL HABLA INFANTIL

Filippa F, Nardi A, Schreiner A, Rhys K.
Facultad de Medicina, Universidad Nacional de La Plata. Facultad de Odontología, Universidad Nacional de Córdoba

Introducción: Las investigaciones realizadas hasta el momento no demuestran que las alteraciones fonemáticas puedan ser causa de disgnacias, pero si las disgnacias favorecen la alteración del lenguaje. La dinámica articulatoria pone en juego estructuras y órganos que conforman el sistema estomatognático. Modificaciones en forma, tamaño y/o relación de los maxilares y arcos dentarios, desequilibrios musculares y disfunciones, pueden alterar la precisión en la articulación del habla, originando alteraciones fonemáticas. Alteraciones Fonemáticas, son los retrasos o trastornos del habla en los que se manifiestan dificultades en la articulación o uso de uno o varios de los fonemas de la lengua, donde no existe una entidad neurológica de base.

A los 5 años el habla espontánea reproduce prácticamente todos los patrones fonológicos del sistema de la lengua en el adulto. Es importante contemplar el habla imitativa y el lenguaje espontáneo. Algunos sonidos pueden ser producidos en forma correcta en situación de repetición (por la retroalimentación auditiva) y en forma errónea en el habla espontánea o viceversa.

Eugnacia es la configuración perfecta y el término disgnacia se adopta para lo que se aparta de su propia eugnacia. La disgnacia es una alteración anátomo fisiológica del sistema estomatognático.

Objetivo: Investigar la relación entre las disgnacias y las modificaciones fonemáticas.

Material y Método: Estudio observacional-retrospectivo de prevalencia. Se utilizará la clasificación de la escuela italiana según la Asociación Argentina de Ortopedia Funcional de los Maxilares (A.A.O.F.M.). Se efectivizará en pacientes de ambos sexos entre 6 y 12 años con diagnóstico de disgnacia sin síndromes asociados y ausencia de malformaciones congénitas, de la Cátedra de Odontopediatría de la Facultad de Odontología de la Universidad Nacional de Córdoba y el Instituto Provincial de Odontología. En la valoración clínica fonaudiológica del lenguaje a repetición se utilizará una ficha fonéticamente balanceada. Para el lenguaje espontáneo se emplearán láminas.

PROYECTO: FORMACIÓN DE EQUIPOS DE TRABAJO Y PROTOCOLO DE IDENTIFICACIÓN ODONTOLÓGICA EN CASO DE CATÁSTROFES EN LA CAPITAL DE LA PCIA. DE LA RIOJA, ARGENTINA

Femopase F, Od. González CM. Sección Odontología Legal – Función Judicial de La Rioja

Introducción: Las catástrofes con muchas víctimas humanas se presentan más frecuentemente, por ejemplo los accidentes carreteros y aéreos, más las catástrofes naturales (ej. terremotos) conjuntamente con la ausencia de equipos de trabajo con profesionales odontólogos y de protocolos de identificación odontológica han llevado a las instituciones involucradas (ej. , OPS, FBI., F.D.I.) a recomendar, estimular y fomentar la formación de “equipos de trabajo de identificación odontológica”, adaptadas a cada región de trabajo, con la formulación de protocolos estrictamente odontológicos. **Objetivos:** · Identificar las instituciones que poseen profesionales odontólogos para la actividad pericial en situaciones de catástrofes (Ej. Policía, Penitenciaria, y otras) · Analizar el nivel de formación odontológica pericial forense de los profesionales. · Observar e investigar en los protocolos institucionales internacionales donde ya existe, para lograr un protocolo de real aplicación en la Rioja. · Buscar, describir, analizar y caracterizar las respuestas ante situaciones de catástrofes y específicamente las relacionadas al proceso de identificación odontológica como alternativa válida para la identificación de las personas. · Hacer que éste protocolo, sea factible de aplicación en casos de identificación humana.

Materiales y métodos: · Proponer un protocolo en identificación odontológica, de acuerdo al modelo ya existente, adaptado a nuestra realidad. · Realizar entrevistas semiestructuradas a los odontólogos para recabar datos sobre conocimiento odontológico-pericial para el procedimiento en caso de catástrofe. · Realizar las observaciones psicológicas por idóneos a los involucrados en la temática odontológica pericial. · Hacer un análisis de la logística de la zona de trabajo.

Importancia del trabajo: · Ante una catástrofe, contar con un protocolo confeccionado para la región y los equipos de trabajo odontológico establecidos, entrenado y preparado. · La tarea a desarrollar por los integrantes de los equipos odontológicos sea de un total conocimiento pericial.

265**PROYECTO: ASOCIACIÓN DE PATÓGENOS PERIODONTALES CON EXPRESIÓN DEL FACTOR DE NECROSIS TUMORAL α**

Monetti, M1, Usin M.M.2, Gonzalez, A.3, Cabral, H.R.A.4, Parodi, R.5, Sembaj, A.1
1-Cátedra de Bioquímica y Biología Molecular. Facultad de Ciencias Médicas, 2 Cátedra B de Periodonc

Objetivo: Relacionar la presencia de *Porphyromonas gingivalis* (*P. gingivalis*), *Tannerella forsythia* (*T. forsythia*), *Treponema denticola* (*T. denticola*), *Prevotella intermedia* (*P. intermedia*) y *Aggregatibacter actinomycetemcomitans* (*A. actinomycetemcomitans*), en bolsas periodontales de pacientes diagnosticados con gingivitis (G), periodontitis crónica leve (PCL) y periodontitis crónica moderada (PCM), con la expresión de TNF- α en tejido gingival y parámetros clínicos de enfermedad. **Métodos:** Se reclutan 6 pacientes con G, 7 con PCL y 13 con PCM. Se toman por paciente, muestras de bolsas periodontales para identificar por PCR periodontopatógenos, biopsias de tejido gingival para analizar la expresión de TNF- α . Se registra: Profundidad de sondaje (PS), Nivel de inserción clínica (NIC) y Pérdida ósea. **Resultados:** Demostramos que la presencia de *P. gingivalis*, *P. intermedia* y *A. actinomycetemcomitans* varía según la complicación clínica. Se detectó *P. gingivalis* con diferencias significativas: 16.6% en G, 57.1% en PCL y 57,8% en PCM. *P. intermedia* no se identificó en sujetos con G. *A. actinomycetemcomitans* se identificó en PCM (31.5%). *T. denticola* y *T. forsythia* se identificaron en los tres grupos en igual proporción. No se observaron diferencias significativas entre los grupos en la expresión de TNF- α . Las combinaciones *T. denticola* + *P. intermedia* y *P. intermedia* + *T. forsythia* están asociadas ($p=0.04$ y $p=0.02$) con la presencia de TNF- α , en el 20% y 25% de los pacientes respectivamente. La identificación de *P. gingivalis* + *A. actinomycetemcomitans*, *A. actinomycetemcomitans* + *T. forsythia* se asocian con PS y NIC más graves. *P. gingivalis* + *T. forsythia* se asocian con PS de gravedad. Se demostró una asociación significativa ($p=0.05$) entre la detección de *P. intermedia* con la expresión de TNF- α y aumento de progresión de la enfermedad. **Conclusión:** Los pacientes con PCM presentaron más probabilidad de asociaciones entre bacterias. La proporción de pacientes que presentan el complejo rojo aumenta con el progreso de la enfermedad y muestran una asociación directa ($p=0.052$) con los parámetros clínicos de NIC, PS y nivel de resorción ósea, siendo más graves en pacientes con PCM. Sugerimos que, *P. intermedia*, pero no *A. actinomycetemcomitans* desencadena en el paciente la expresión de TNF- α .

266**PROYECTO: COMPORTAMIENTO CLINICO DE LOS MINI-IMPLANTES UTILIZADOS DURANTE EL TRATAMIENTO ORTODONCICO**

Piacenza A, Peralta G, Rocamundi M*, Plavnik L, Bass Puer A.
Cátedra Ortodoncia B y Anatomía Patológica A – Facultad de Odontología – UNC. Fundación Creo

Los mini-implantes han sido estudiados por diversos autores, tanto desde el punto de vista clínico como histológico, teniendo en cuenta materiales, dimensiones, forma, biomecánica de las fuerzas aplicadas, momento ideal de aplicación, cirugía y tiempo de oseointegración, porcentaje de éxito, aspectos psicológicos y aspectos legales.

OBJETIVO: Estudiar el comportamiento clínico de los mini-implantes de activación inmediata durante el tratamiento ortodóncico.

MATERIALES Y METODOS: Este estudio se realizará sobre pacientes con tratamiento ortodóncico, que requieran la colocación de mini-implantes. Se utilizarán mini-implantes (Dewimed, Alemania) de diferentes longitudes, elegidas de acuerdo a las necesidades clínicas. Se realizará una ficha especial con consentimiento informado. Se registrarán datos tales como: edad, sexo, sitio de colocación, dirección y cantidad de fuerza aplicada y tipo de activación. Los tornillos serán activados de manera inmediata. Se realizará una medición del porcentaje de contacto óseo, con un resonador (Ostell, Suiza) en el momento de la colocación, a 30 días de la activación y en el momento de retirarlos. Además se extraerán con un torquímetro (Nobel Biocare, Suecia-USA), a los fines de obtener los valores de Torque de Remoción. Los datos obtenidos serán comparados y tratados estadísticamente, a los fines de evaluar el comportamiento clínico de mini-implantes frente a las variables estudiadas.

267**PROYECTO: EFECTOS DE DIFERENTES FÁRMACOS SOBRE EL MOVIMIENTO ORTODÓNICO. ESTUDIO IN VIVO.**

Escribano MF*, Rocamundi M, Piacenza A

Cátedra Ortodoncia B y Anatomía Patológica A – Facultad de Odontología – UNC.

Durante el tratamiento ortodónico en el hueso se generan procesos de remodelación en respuesta a un estímulo mecánico, estos procesos son controlados localmente por mediadores bioquímicos que, actuando en conjunto, coordinan la actividad osteobástica y osteoclástica. Estos mediadores pueden ser influenciados por agentes promotores y supresores, dando nacimiento a la hipótesis de que el movimiento dental ortodónico posee el potencial de ser manipulado farmacológicamente, de forma local o sistémica, incluyendo los efectos de prostaglandinas como de drogas inhibidoras de prostaglandinas e inhibidores de la actividad y formación osteoclástica.

OBJETIVO: Evaluar el efecto de diferentes drogas en el movimiento ortodónico.

MATERIALES Y METODOS: Se utilizarán 30 ratas Wistar machos, que serán divididos en 3 grupos: 1 control (sin medicación), Experimental 1 (con aplicación de antiinflamatorio esteroideo) y Experimental 2 (con aplicación de antiinflamatorio no esteroideo). Todos los animales serán sometidos a movimientos ortodónicos, utilizando un aparato especialmente diseñado para rata. La medicación se administrará a partir de los 21 días antes de la aplicación la fuerza, y se tomará un registro con silicona liviana en el momento de la colocación del aparato. A los 7 y a los 14 días se tomará un nuevo registro, y los animales serán sacrificados a los 30 días. Los maxilares se retirarán para su estudio histológico e histomorfométrico.

268**PROYECTO: ACCIÓN DE ANESTÉSICOS DE USO ODONTOLÓGICO SOBRE LA PROTEÍNA BOMBA DE CALCIO**

Di Croce DE*, Casadoumecq AC, Quiroz GO. Tutora: Takara D.

Cátedra de Biofísica, Facultad de Odontología, UBA

OBJETIVO: La Ca-ATPasa es una proteína unida a la membrana del retículo sarcoplásmico (RS). A expensas de la energía libre de hidrólisis de un mol de ATP, la enzima cataliza el transporte de 2 iones Ca desde el citosol al lumen de la organela, promoviendo la relajación muscular; mientras que la Ca-ATPasa de membrana plasmática transporta 1 ión calcio por mol de ATP hidrolizado. Por consiguiente, en músculo esquelético, la Ca-ATPasa de RS es mucho más eficiente para mantener la $[Ca^{2+}]$ citosólica en condiciones fisiológicas. Estudios de microscopía han revelado que los anestésicos locales causan daños ultraestructurales en las fibras musculares (Benoit y Belta, 1970; Dowick et. al., 1977). Se han atribuido aquellos daños al incremento de la concentración de Ca^{2+} intracelular (Zink et.al., 2003). La inhibición de la proteína bomba de Ca por anestésicos locales podría ser responsable de efectos indeseados tales como una contracción sostenida o rigidez muscular. El propósito del proyecto será el estudio de la toxicidad de anestésicos de uso odontológico (mepivacaína, prilocaína, lido-caína, procaína entre otros) sobre la Ca-ATPasa de RS de músculo esquelético (blanco rápido y masticadores) involucrando efectos inhibitorios y/o activadores.

HIPÓTESIS: los anestésicos locales interaccionan en diferentes etapas del ciclo catalítico y de transporte de la Ca-ATPasa.

MÉTODOS: Se obtendrán por centrifugación diferencial, vesículas selladas de membranas de RS de músculo esquelético de conejo con capacidad de acumular Ca (Champeil et al., 1985). Se analizará la composición proteica por electroforesis (SDS-PAGE). La concentración de proteína se determinará por la técnica de Lowry et. al. (1951). La actividad ATPásica se valorará por la técnica colorimétrica (Baginski et. al., 1967). La captación de calcio se evaluará por la técnica radioisotópica. A fin de evaluar la acción de los diferentes anestésicos locales se emplearán curvas concentración-efecto y se determinará la K_i . Se calculará la media y el error estándar de las variables en estudio. Las diferencias entre las medias correspondientes a los diferentes anestésicos se analizarán haciendo uso de la prueba de ANOVA.

PROYECTO: IMPORTANCIA DE LA PROTEÍNA INHIBIDORA DE ELASTASA SECRETADA POR LEUCOCITOS (S.L.P.I.) EN EL FLUJO SALIVAL

Grenat A, Rhys K.

Cátedra de Fisiología, Carrera de Odontología, Facultad de Medicina, Universidad Católica de Córdoba

Introducción:

La proteína inhibidora de elastasa, se halla presente en el flujo salival. Su peso molecular es de 11,7 kDa no glucosilada. Inicialmente fue aislada de las células epiteliales de la mucosa respiratoria. Se compone de dos dominios: un inhibidor de la proteasa en el dominio carboxilo terminal y el antimicrobiano dominio amino terminal. S.L.P.I. es una defensina que presenta actividades antibacterianas y suprime la producción de mediadores inflamatorios. Se ha demostrado su presencia en endoftalmítis por stafilococos áureos, en la inflamación del vítreo y la retina, entre otros. Recientes estudios demuestran que los macrófagos liberan S.L.P.I. en respuesta a las citocinas proinflamatorias, lipopolisacáridos bacterianos y metaloproteinasas.

El S.L.P.I. sería capaz de disminuir el grado de respuesta inflamatoria en las alteraciones periodontales, pudiendo incluso evitar la reabsorción secundaria de hueso alveolar. Podría también disminuir la presencia de colonias bacterianas sobre la superficie de hidroxiapatita.

Objetivo:

Determinar la importancia cualicuantitativamente del S.L.P.I. en la prevención, pronóstico y tratamiento de las patologías estomatognáticas de carácter infecciosas con mayor índice de prevalencia.

Materiales y Métodos:

Se establecerán dos líneas de abordaje. La primera se efectivizará en ratas Wistar, las que se dividirán en dos grupos: un grupo control (c) y un grupo con periodontitis inducida experimentalmente (e). La otra línea se concretará en dos grupos, (previo consentimiento informado): un grupo control integrado por alumnos voluntarios de la Facultad de Medicina, a los que se les realizará un exhaustivo examen bucal (c) y pacientes de un comunidad de escasos recursos de las sierras de la provincia de Córdoba, los que también serán sometidos a un examen bucal (e).

PROYECTO: INFLUENCIA DE LA POSICIÓN POSTURAL, LA PRONACIÓN DE PIE Y VALGO DE CALCÁNEO SOBRE LA A.T.M. Y LA OCLUSIÓN

*Massa Díaz I, Funes Alvarez M, Rhys K.

Facultad de Odontología, Universidad Nacional de Córdoba.

Introducción:

En condiciones normales el pie posee tres puntos de apoyo, los dos anteriores soportan el 50% del peso corporal que corresponden a las cabezas del primero (25%) y quinto (25%) metatarsianos, el posterior corresponde al talón (parte posterior del calcáneo) que soporta el otro 50%. Si la descarga de peso es alterada esta podría traer adaptaciones posturales que ascenderían desde el pie, pudiendo llegar incluso hasta la A.T.M. En una postura que partiera de pronación de pie y valgo de calcáneo, la tibia rotaría internamente y compensaría con valgo de rodilla y rotación interna de fémur, transmitiendo esa posible adaptación a la cadera, lo que provocaría en los ilíacos basculación hacia anterior, que llevaría a un aumento compensatorio de las curvaturas vertebrales, lo que resultaría de hiperlordosis a nivel lumbar y cervical con posible compensación en cifosis a nivel dorsal y a nivel craneal, lo que proyectaría la cabeza conllevando una posible anteriorización de la A.T.M.

Objetivo:

Establecer metodologías de diagnóstico precoz en patologías que afecten la A.T.M. en pacientes con pronación de pie y valgo de calcáneo para minimizar los efectos deletéreos y establecer terapéuticas tempranas y de fácil concreción.

Material y Métodos:

Se analizarán pacientes de ambos sexos en escolarización. Luego del consentimiento informado de el o los tutores de los menores involucrados, se establecerán dos grupos experimentales: 1- (C) pacientes controles sanos. 2- (P.P.) pacientes con diagnóstico de alteración postural, pronación de pie y valgo de calcáneo. En ambos grupos se efectuará un examen clínico de la cavidad bucal, con énfasis en la A.T.M.

271**PROYECTO: NECESIDAD DE TRATAMIENTO DE ORTODONCIA EN NIÑOS CON INFECCIÓN POR VIH**

*Alessandrello H, Casim D, Lecumberri R, Squassi A, Sanchez G

Clínica para la Atención de Pacientes de Alto Riesgo 1 – Facultad de Odontología – Universidad de Buenos Aires

El tratamiento con medicación antirretroviral aumentó la sobrevida de los niños VIH+, adquiriendo características de enfermedad crónica y modificando el perfil de necesidades de tratamiento odontológico. El tratamiento en población pediátrica involucra la administración de suspensiones con alto contenido de sacarosa a cortos intervalos entre dosis, así como regímenes dietarios que incluyen una alta proporción de carbohidratos (Eldridge, 2000; Phelan, 2004). Se han descrito alteraciones cuantitativas y cualitativas de la saliva asociadas con la medicación y la progresión de la infección (Madigan, 1996). Estos factores se encontrarían asociados con mayor severidad en caries dental (Alessandrello, 1997), que condicionarían las modalidades de intervención, hacia un perfil mutilante con potenciales consecuencias sobre el equilibrio oclusal. **Objetivo:** Determinar la necesidad de tratamiento de ortodoncia en niños con infección por VIH que concurren a servicios especializados. **Materiales y métodos:** la población está constituida por niños VIH+ que demandan atención en un servicio especializado. Los criterios de inclusión consistirán en: niños entre 6 y 16 años con diagnóstico de infección por VIH bajo medicación antirretroviral. Sobre una muestra de 100 individuos se realizará un examen clínico a cargo de operadores calibrados y se determinará el índice CPOD, INTC (Bordoni, 1993), índice de PONT, índice de discrepancia dentaria y el índice de necesidad de tratamiento ortodóntico (Shaw y Broock, 1989). Se realizará una evaluación de la historia clínica odontológica a efectos de determinar las intervenciones mutilantes realizadas. Se calculará la media aritmética y error estándar para las variables continuas. Se determinará la distribución de frecuencias para las variables categóricas y se realizarán estudios de asociación mediante la prueba de chi cuadrado entre la historia odontológica, el estado dentario y los índices de necesidad de tratamiento ortodóntico. El nivel de significación será $p < 0.05$. Se analizará la vinculación entre la necesidad de tratamiento ortodóntico, como variable dependiente y las restantes variables en estudio, como variables independientes, a través de modelos uni y multivariados de regresión logística.

272**PROYECTO: ESTUDIO ANALÍTICO Y COMPARATIVO SOBRE LA INFLUENCIA DE DIFERENTES FACTORES EN EL DOLOR POST-ENDODONCIA**Arena A, Luján G, Villalba A, Bronstein M*, Croharé L.
Cátedra de Endodoncia B, Facultad de Odontología, UNC

Objetivo: Establecer si existe correlación entre la variable intensidad y la permanencia del dolor inmediatamente después de realizada una endodoncia y las variables edad, síntomas previos, estado pulpar y lugar de atención. **Métodos:** El estudio (prospectivo y comparativo) se desarrolló sobre una población de 60 pacientes, los que se dividieron en dos grupos. Grupo 1 de 30 pacientes concurrentes a la Facultad de Odontología de la U.N.C., atendidos por alumnos de grado entre mayo- junio del año 2010. El Grupo 2, de 30 pacientes atendidos en consultorios privados de la ciudad de Córdoba capital, en el mismo período. Se establecieron criterios de inclusión específicos y se diseñó un protocolo ad hoc para la obtención de datos. A la semana se realizó el control clínico con los siguientes parámetros: **Dolor Ausente1:** sin dolor. **Dolor leve2:** dolor sólo provocado al masticar, de 1 día de duración, sin necesidad de tomar medicamentos calmantes. **Dolor Moderado3:** dolor localizado, provocado al masticar, con sensación de diente elongado y ligera movilidad, de 2 días de duración, con necesidad de tomar medicamentos. **Dolor Intenso4:** dolor irradiado, pulsátil, provocado al masticar, sensación de diente elongado, movilidad, edema, de 3 o más días de duración, sin efecto a los medicamentos. **Resultados:** Se utilizó el test de chi cuadrado y el de Spearman, obteniendo los siguientes resultados: Al considerar los **síntomas previos**, el 83% de los casos con pulpa clínicamente sana no presentaron dolor post-tratamiento. Es relevante que la mayoría de los casos con dolor intenso (80%) habían sido diagnosticados con algún tipo de necrosis, obteniéndose un valor $p < 0.05$ para la prueba de Chi² y un valor $p < 0.01$ para el test de correlación de Spearman. En cuanto a la **vitalidad pulpar**, el 48,5% con pulpa vital no percibieron dolor post-endodóntico, siendo estadísticamente significativa la diferencia entre grupos, $p < 0.05$. **Conclusión:** Los datos obtenidos aportan la necesidad de tomar los recaudos pertinentes en pacientes con diagnóstico de pulpa no vital, ya que, en su mayoría revelaron dolor agudo pos-endodóntico. Esta situación no es evidente en aquellos casos con diagnóstico de pulpa vital, clínicamente sana.

273**PROYECTO: SABERES Y PRÁCTICAS DE AUTOCUIDADO EN SALUD BUCAL EN ESTUDIANTES DE LA UNIVERSIDAD NACIONAL DE CÓRDOBA**

Sánchez Dagum M, Mandozzi M, Sánchez Dagum E, Sanz A, Marega G, Evjanian G, Sica Sanchez M
Cátedra de Odontología Preventiva y Social I - II. Facultad de Odontología. U.N.C

Una Universidad Saludable y de Calidad es aquella que de forma continua está mejorando su ambiente físico y social desde la perspectiva de apoyo mutuo; los aportes de las investigaciones sobre estilos de vida y conocimientos de prácticas de auto-cuidado en Salud Bucal, en estudiantes Universitarios, contribuyen a integrar en la estructura, procesos y cultura universitaria, un compromiso hacia la salud y el bienestar.

Objetivo: Conocer los hábitos de vida y las prácticas de auto-cuidado en Salud de los estudiantes de la U.N.C; a fin de diseñar Programas de Educación para la Salud Bucal acordes a sus necesidades.

Método: Tipo de estudio: Cuanti- Cualitativo. Descriptivo. Transversal. Correlacional. Comparativo. Población: estará constituida por alumnos de grado, estudiantes regulares de las diferentes carreras de la U.N.C; de ambos sexos entre las edades de 19 a 24 años. Se realizará un muestreo probabilístico, aleatorio, por conglomerados (según unidades académicas), cada conglomerado estará conformado por unidades muestrales proporcionales a la cantidad de alumnos regulares de grado perteneciente en cada unidad académica. Se incluirán los Universitarios que en forma voluntaria y con consentimiento informado, por escrito, según las normas de ética internacionales acepten formar parte del estudio. Se excluirán a los estudiantes cuyas unidades académicas no estén ubicadas geográficamente dentro del predio de la Ciudad Universitaria de Córdoba y a los alumnos pertenecientes a la Facultad de Odontología. Los datos se recolectarán por encuesta Semi- estructurada, Auto-suministrada diseñada a tales fines. Dimensiones de estudio: Prácticas Preventivas Odontológicas y Saberes en Salud Bucal. Etapas: Primera etapa: Capacitación Socio-epidemiológica. Segunda etapa: Diseño y construcción del instrumento, Tercera etapa: Análisis de los datos: Frecuencia relativa y su intervalo de confianza 95%. Valores medio con desvíos estándar fijando un valor $p < 0,05$ para significación estadística. Aprobado: Resol. HCD FO. 174/10.

274**PROYECTO: ASPECTOS SOCIO-DEMOGRÁFICOS Y ENTORNO FAMILIAR DE ESTUDIANTES DEL TERCER AÑO DE LAS CARRERAS DE ODONTOLOGÍA DE LA PROVINCIA DE CÓRDOBA, COMO MOTIVADORES EN LA ELECCIÓN DE LA PROFESIÓN**

*Sánchez Dagum M; Mandozzi V; Sanz A; Hernando L; Tarifa S.
Cátedra de Odontología Preventiva y Social I - II. Facultad de Odontología. U.N.C.

Objetivo: Identificar los factores socio-demográficos y entorno familiar inmediato, como las expectativas académicas de los alumnos de tercer año de las carreras de Odontología en la provincia de Córdoba, (UNC y UCC) a fin de contribuir al diseño de un observatorio de recursos humanos en Salud Bucal, y realizar un aporte institucional en la identificación del perfil de los estudiantes. **Método:** Cuali- cuantitativo, descriptivo, transversal, y correlacional. **Población:** alumnos cursantes del tercer año de las carreras de Odontología: UNC y UCC de ambos sexos. La selección de la muestra será realizada por muestreo aleatorio simple, sistemático, para la UNC. $n=150$ y, para la UCC la totalidad de la población $N=35$. Se elaborará un instrumento para recolección de datos con formato de encuesta pautada, la cual será auto suministrada. **Dimensiones a estudiar:** Entorno familiar, social, motivaciones en la elección de la carrera, imaginarios del estudiante sobre futuro del desempeño profesional y el lugar y expectativas en relación a su formación académica. **Criterios de Inclusión:** se incluirán los estudiantes que en forma voluntaria, anónima y con consentimiento informado acepten la participación, acorde a los delineamientos de ética de la Asociación Mundial de Médicos. **Criterios de Exclusión:** no se incorporarán a los estudiantes del tercer año de ambas instituciones que no cursen la asignatura de Odontología Preventiva y Social. **Primera Etapa:** Diseño y confección de los Instrumentos. **Segunda Etapa:** Recolección y Análisis de los datos: Frecuencia relativa y su intervalo de confianza 95%. $p < 0,05$ para significación estadística de los mismos. **Tercera Etapa:** Evaluación de los resultados. Elaboración de la discusión, conclusiones y recomendaciones finales. Presentación a reuniones Científicas. **Cuarta Etapa:** Difusión de los resultados. Preparación de Artículos (Papers) para su publicación.

Presentado a subsidio SeCyT UNC 2010.

275**PROYECTO: ACTIVIDAD DE CARIES Y COMPOSICIÓN SALIVAL EN PERSONAS QUE VIVEN CON VIH/SIDA**Lastra Fukunaga V, D'Eramo, Sanchez G, Fuchs A, Squassi A
Facultad de Odontología-UBA

Los pacientes con infección por el VIH se consideran un grupo de alto riesgo de caries, sin embargo no han sido suficientemente estudiados los factores que determinan su severidad y velocidad de progresión. **Objetivo:** Asociar la prevalencia, severidad y velocidad de progresión de caries dental con variables bioquímicas salivales en personas que viven con VIH y sida. **Materiales y métodos:** La población estará constituida por pacientes VIH+. Los criterios de inclusión consistirán en: individuos de 15 a 45 años, con diagnóstico de infección por VIH bajo tratamiento antirretroviral. Los criterios de exclusión consistirán en individuos con menos de 6 piezas dentarias, con lesiones bucales que generen cuadros inflamatorios, pacientes con elevada actividad deportiva, con enfermedades sistémicas o bajo tratamiento no asociado con la infección por VIH, o bajo medicación antibiótica, previo al examen inicial o durante el período del estudio. Sobre una muestra intencionada de 30 sujetos VIH+ (Grupo Experimental) bajo atención médica en un servicio especializado y 30 sujetos sanos (Grupo Control) se realizará un examen basal que incluya los siguientes procedimientos: entrevista estructurada para determinación de: características socio demográficas, higiene bucal, utilización de servicios odontológicos, hábitos, factores de riesgo vinculados con la infección por VIH; historia médica para determinación de tiempo y tipo de medicación antirretroviral, tiempo de diagnóstico, historia de episodios de internación y enfermedades oportunistas; determinación de carga viral y recuento de CD4; examen clínico de estado dentario a cargo de dos investigadores calibrados; recolección de saliva estimulada y no estimulada para determinación de tasa de flujo, composición y recuento de *St. grupo mutans*. Se determinarán los índices CPOD, CPOS sus componentes discriminados e ICDAS II. Sobre las muestra de saliva se realizarán las siguientes determinaciones proteínas totales, (Bradford); IgA total, SIgA, lisozima, lactoferrina, lactoperoxidasa, SLPI y catelicidin LL-37 (ELISA); mucina sub-tipo MUC-5 Y MUC-1 (método colorimétrico Alcian Blue). Cada 6 meses, se realizarán similares determinaciones clínicas y de laboratorio. Se determinarán medidas de tendencia central y dispersión para cada indicador. La relación entre las variables se explorará haciendo uso de prueba de chi cuadrado, modelos de regresión y análisis multivariado.

276**PROYECTO: ATENCIÓN PRIMARIA DE LA SALUD EN ESCUELAS RURALES: EVALUACIÓN DE UN PROGRAMA PREVENTIVO-EDUCATIVO**Manzano, M; Brasca, N; Porta, J; Leiva Centeno, A; Larghi C; Corbalán M, Girardi M, Palma G, Alvarez
Facultad de Odontología, U.N.C.

La Facultad de Odontología de la UNC realiza actividades articulando docencia, extensión e investigación que la vinculan con la comunidad, contribuyendo a la transformación de las condiciones de salud de la población. En este contexto surge el programa de salud bucal APRENDER A VIVIR EN SALUD, que persigue la filosofía de la ATENCIÓN PRIMARIA DE SALUD, buscando enfatizar las medidas de promoción y prevención con un enfoque interdisciplinario y procurando respaldo del entorno social, actuando como agentes multiplicadores de salud. En este programa se desarrollan talleres informativos sobre cuidados de la salud bucal destinados a padres, docentes y alumnos. Se realizan prácticas preventivas que consisten en enseñanza de técnica de cepillado, rondas de auto-cepillado con geles fluorados de uso profesional y Tratamiento Restaurador Atraumático en los casos que lo requieran.

El **objetivo** de este trabajo será evaluar este programa preventivo-educativo de salud bucal.

Métodos: Se trabajará en la Escuela Rural "Eloy Gómez" de la localidad de Falda de Los Reartes, Córdoba y su anexo, ubicado en Villa Ciudad Parque, con alumnos (n=100) de ambos sexos, de edades comprendidas entre los 4 y 6 años. Se establece un cronograma de trabajo con una visita semestral durante un periodo de 3 años. En cada visita se realizará un examen clínico y registro del estado de la dentición según el formulario de evaluación buco-dental propuesto por la OMS y el Índice de Necesidad de Tratamiento (Bordoni). De los datos relevados se procesará la información y se construirán los siguientes índices: CPOD, ceod, Índice de Higiene Oral Simplificado y evaluación clínica del TRA (criterios de Frencken y los de Ryge modificados). Para la descripción de los datos se utilizará: frecuencias relativas para las variables cualitativas/categóricas, y valor medio (mediana) y rango para variables cuantitativas. Las variaciones temporales en los índices se harán por pruebas para muestras apareadas (variables cuantitativas) y prueba de Mc Nemar (variables cualitativas), en ambos casos fijando un valor $p < 0,05$ para significación estadística.

277

PROYECTO: PERDIDA DE TEJIDO DENTARIO DE ORIGEN NO BACTERIANO EN ADOLESCENTES DE UNA COMUNIDAD RURAL

Y DEL AREA METROPOLITANA DE BUENOS AIRES

Argentieri A, Doño R, Pistochini A, Sorazabal A
FOUBA

La erosión dental es la pérdida patológica, irreversible, de tejidos duros de la superficie dentaria que responde a un proceso químico no bacteriano y puede tener una etiología multifactorial debida a causas extrínsecas o intrínsecas. Los ácidos intrínsecos (gástricos, de regurgitación o vómitos) y extrínsecos (dieta) han sido relacionados como el principal factor etiológico, iniciando los procesos químicos que conducen a la disolución mineral, al reblandecimiento y consecuente la pérdida de la superficie de tejido dentario (Zero, 2005).

El consumo de bebidas ácidas ha aumentado en popularidad y han sido relacionadas con la pérdida de tejido dentario de origen no bacteriano.

OBJETIVOS: a) determinar el patrón de consumo de bebidas de uso frecuente, b) realizar las determinaciones analíticas de las bebidas de mayor consumo, c) registrar la pérdida de tejido dentario de origen no bacteriano y d) analizar la asociación entre ambos.

El proyecto propone contribuir al conocimiento de la pérdida de tejido dentario no bacteriano en nuestro medio.

METODOS: 1) Se seleccionará una muestra de 300 adolescentes entre 15 y 20 años de una comunidad rural y urbana. 2) Se obtendrá el consentimiento informado de los participantes y/o de los representantes legales; 3) Se realizará un cuestionario validado, con preguntas de datos personales, de salud general, antecedentes odontológicos y patrones de consumo en relación a bebidas de consumo frecuente. 4) Se realizarán las determinaciones analíticas (pH y efecto buffer a pH 5.5 y 7) de las diez bebidas de mayor consumo. 5) Se registrará la pérdida de tejido dentario de origen no bacteriano mediante inspección visual con iluminación artificial, espejo bucal y secado de las superficies dentarias, según índice BEWE (Lussi, 2008) y Smith and Knight (TWI). 6) Análisis estadístico: se determinará la distribución de frecuencia de las respuestas al cuestionario según dominios, se realizará prueba de Asociación (χ^2) y coeficiente de correlación entre el estado bucodental y los respuestas obtenidas de los cuestionarios.

278

Objetivo: Desarrollar un modelo evaluativo de la atención odontológica como estrategia para la toma de decisiones educativo-sanitarias. **Marco teórico-metodológico:** La salud es resultante de la interacción de los genes, del modelo social, del estilo de vida y de las percepciones que muestran la manera de cómo el proceso de salud-enfermedad-atención es analizado por los sujetos y la sociedad (Contandriopoulos, 2006). Los momentos metodológicos fueron: (1) desarrollo del modelo evaluativo (ME); (2) selección de la base territorial municipal y de las sub-bases institucionales y comunitarias a evaluar mediante un estudio georreferencial; (3) aplicación y análisis de los datos obtenidos mediante la aplicación del ME. **Resultados:** El ME diseñado incluyó: (a) recolección de datos secundarios proveniente de documentación demográfica y de estadísticas de subsectores público y privado; (b) validación y aplicación de un cuestionario destinado a usuarios de servicios odontológicos (EGOHID II; 2008); (c) realización de entrevistas a informantes claves. Para el análisis de los datos se incluyeron técnicas cuantitativas y cualitativas (frecuencia de causas de consultas, pertinencia del perfil resolutivo relevado en los cuestionarios, análisis del discurso expresado en las entrevistas). Los problemas fueron categorizados mediante la aplicación de matrices *ad hoc*. La aplicación del ME reveló: debilidades en la articulación necesidades/ofertas servicios, amenazas por la fragilidad de recursos físicos y financieros y ausencia de protocolos clínicos consensuados, fortalezas basadas en la existencia de programas preventivos y de redes sociales con fuerte anclaje local y oportunidades por la capacidad de los Consejos Locales de Salud para la participación comunitaria. Impacto del estudio: Fueron diseñados 5 proyectos de intervención e iniciada la ejecución de dos de ellos. **Conclusiones:** El modelo evaluativo aplicado permite el análisis causal de la problemática sanitaria a nivel local para encarar la formulación de proyectos de intervención educativo-sanitarias basados en la evidencia. *UBACYT R 001*.

Introducción: El rol de los mastocitos en el crecimiento tumoral se debe a la presencia, en el contenido de sus gránulos, de dos tipos de factores: moléculas inductoras de proliferación celular como la triptasa y la histamina y factores pro-angiogénicos como heparina, VEGF, IL-8 y MMP. En estudios previos hemos demostrado que en el modelo de la bolsa de la mejilla del hámster los mastocitos se acumulan en el tejido premaligno y la base de los tumores e inducen proliferación de las células epiteliales malignas por degranulación del mitógeno epitelial triptasa (Aromando, SAIO 2006). Asimismo, hemos demostrado que el tejido potencialmente maligno de la bolsa de la mejilla del hámster induce antes de la aparición de tumores, una neovascularización que garantizará la nutrición a los futuros tumores (Aromando, SAIO 2008). En este estudio, investigamos la correlación entre el movimiento de los mastocitos en los tejidos de la bolsa y la neovascularización que precede la aparición de tumores. **Materiales y métodos:** se utilizaron hamsters golden syrian que fueron topicados según protocolo de cancerización (Shklar G 1979) y sacrificados entre las semanas 16 y 18, cuando ya habían desarrollado tumores. Las bolsas fueron extirpadas manteniendo sus posición in situ. Se utilizó un grupo de animales no cancerizados como control. La detección de mastocitos se realizó utilizando la técnica de Alcian Blue-Safranina y las paredes vasculares se marcaron mediante la determinación de Factor VIII. Para el recuento de mastocitos y de secciones vasculares en tejido premaligno y estroma tumoral se utilizó una grilla colocada en el ocular del microscopio. **Resultados:** la población de mastocitos aumenta en el tejido premaligno hasta la base de los tumores y cae a valores inferiores a los normales en el estroma tumoral. Similarmente, la densidad vascular aumenta en el tejido premaligno, especialmente en los sectores displásicos y disminuye en el estroma tumoral. El test de Spearman indicó una correlación entre variaciones de mastocitos y variaciones vasculares. **Conclusión:** la angiogénesis del tejido premaligno en la bolsa de la mejilla del hámster, podría estar parcialmente inducida por la actividad de los mastocitos.

281

UTILIZACIÓN DE RADIOGRAFÍAS ESTANDARIZADAS PARA VALORAR LOS CAMBIOS EN LA DENSIDAD ÓSEA POST TERAPIA PERIODONTAL Y OCLUSAL

García MG*, Esper ME
Cátedra de Periodoncia "B" - Facultad de Odontología - UNC

Objetivo: Valorar los cambios en la densidad ósea post terapia periodontal y oclusal. **Materiales y métodos:** Se tomaron registros clínicos y radiográficos estandarizados a 19 pacientes con patología periodontal y trauma oclusal. Luego del mes de concluída la terapia básica, previo montaje de modelos en articulador semi ajustable para sus confección, se instaló una placa de relajación rígida. Pasados los 3 meses de instalada y ajustada la placa se repitieron los registros clínicos y radiográficos. En las radiografías categorizadas con buena correspondencia geométrica se realizó la sustracción de las mismas a través de un software de comparación (UTSCHA - Image Tool 3). Posteriormente en el hueso interproximal, se seleccionaron áreas de interés crestaes y subcrestaes, las que fueron medidas por el programa en escala de grises. Valores superiores a 128 se consideraron como ganancia de densidad. **Resultados:** Sobre un total de 537 sitios analizados, ganaron densidad 365, perdieron densidad 85 y permanecieron sin cambios 87. **Conclusiones:** Sería de utilidad considerar en la clínica el empleo de registros clínicos y radiográficos reproducibles para valorar el rol de la oclusión traumática en la patogénesis de la enfermedad periodontal, ya que el potencial del trauma sólo puede confirmarse histológicamente. De este modo se podría lograr una terapéutica más racional.

282

ESTUDIO DE PACIENTES CON LA CONVEXIDAD FACIAL AUMENTADA EN EL SERVICIO DE ORTODONCIA DE LA FACULTAD DE ODONTOLOGÍA DE LA UNNE

Collante de Benítez C, Lewintre de Borjas M, Latyn de Enz K*, Alarcón Laurenzana S.
Facultad de Odontología de la UNNE

La determinación de la convexidad facial aporta datos que definen la clase esquelética del paciente. Esto posibilitará la aplicación de diferentes estrategias de tratamiento. **Objetivo:** El objetivo de esta etapa del proyecto fue la determinación de la convexidad facial de los pacientes que concurrieron al Servicio de ortodoncia para seleccionar aquellos casos cuya convexidad facial fuera superior a 2mm, dato que determina la clase II esquelética. **Materiales y Métodos:** El estudio fue descriptivo, transversal. La muestra estuvo integrada por 16 pacientes portadores de convexidad facial aumentada, fue seleccionada de 60 pacientes que concurrieron al servicio de ortodoncia de la facultad de Odontología de la UNNE, cuyas edades oscilaron entre 18 y 22 años, sanos, sin tratamiento previo con aparatología fija o funcional. La evaluación se realizó mediante telerradiografías de perfil del lado derecho del paciente que abarcaron hasta la 7ma vértebra cervical. Para la toma radiográfica se consideró la postura relajada del paciente, en apnea, las mismas se realizaron en el Servicio de Radiología de la UNNE. Se procedió a realizar el trazado anatómico de las estructuras a estudiar, abarcando huesos de la cabeza, las 7 vértebras cervicales y el hueso hioides, cuya finalidad era estudiar la clase esquelética para en una etapa posterior del proyecto relacionarla con la posición del hueso hioides. Las referencias cefalométricas utilizadas en la evaluación radiográfica fueron los puntos: A, Na (nasion), Pr (porio), Or (orbitario), Po (pogonio). Dichas referencias corresponden al cefalograma de Ricketts. **Resultados:** Los resultados obtenidos de la convexidad facial de los pacientes incluidos en la muestra, osciló entre un valor mínimo de 2,38mm y un máximo de 8,43mm, siendo el valor promedio 5,3mm.

283**MAYOR EXPANSIÓN TRANSVERSAL EN ORTODONCIA, UTILIZANDO BRACKETS AUTOLIGABLES**Mateu, ME, Folco AA, Iglesias M, Gambardella L, Benítez Rogé S, Cabrese D, Lumi M, Pelizardi C, Sayago A.
Cátedra de Ortodoncia, Facultad de Odontología, Universidad de Buenos Aires.

Objetivo: Comparar la respuesta ósea de los maxilares superior e inferior en la etapa de alineación (primera etapa del tratamiento) ante la acción ortodóncica con Sistema Damon, y con Técnica de Roth. **Métodos:** Se estudiaron 17 pacientes de ambos sexos, entre 12 y 48 años, pertenecientes a la Cátedra de Ortodoncia de la FOUBA, que presentaron necesidad de expansión en sus arcadas. La muestra fue distribuida al azar, en dos grupos. El grupo A (N= 8) fue tratado con el Sistema Damon, brackets autoligables y arcos de Niquel-Titanio-Cobre (Cooper Ni-Ti). El grupo B (N=9) con la Técnica de Arco Recto, brackets Synthesis (sistema con fricción) y la alineación se realizó con arcos de alambre de Niquel-Titanio (Ni-Ti), sin realizar exodoncias hasta finalizar la alineación. Se evaluó la expansión transversal de ambos maxilares, a través de 8 medidas transversal registradas en los modelos pre y post alineación para cada paciente, a nivel de caninos, primeros y segundos premolares y primeros molares superiores e inferiores. **Resultados** El tratamiento con brackets autoligables, (Grupo 1) mostró un aumento en la medida del diámetro transversal promedio de 2,66 + 3,6 mm. y con la técnica convencional, (Grupo 2) el aumento logrado fue de 0,99 + 1,54 mm. con diferencia estadísticamente significativa entre ambos grupos (p=0,0005). **Conclusiones:** Con brackets autoligables y arcos de Niti Cu Damon, se obtiene mayor expansión transversal que utilizando brackets convencionales y arcos de Ni-ti.

284**MÉTODO DE EVALUACIÓN DE EXPANSIÓN TRANSVERSAL DE LAS ARCADAS EN TRATAMIENTOS ORTODÓNCICOS. ESTUDIO COMPARATIVO**MMateu ME, Folco A, Benítez Rogé S*, Calabrese D, Iglesias M, Gambardella L, Sayago A, Pelizardi C.
Cátedra de Ortodoncia, Facultad de Odontología, Universidad de Buenos Aires

Es importante conocer los cambios en el diámetro transversal de las arcadas, sin que influyan en el registro las modificaciones producidas en la inclinación de las piezas dentarias (volcamiento). **Objetivo:** comparar las modificaciones del diámetro transversal utilizando reparos óseos y reparos dentarios, luego de la expansión de los maxilares lograda durante la alineación dentaria. **Métodos:** Se evaluaron 4 medidas por arcada: caninos, primeros y segundos pre molares y primeros molares de los modelos pre y post expansión por tratamiento ortodóncico de 17 pacientes atendidos en la cátedra de Ortodoncia de la F.O.UBA. Se compararon las medidas obtenidas tomando reparos óseos (RO), con las obtenidas de reparos dentarios (RD). **Resultados:** la expansión promedio para maxilar superior fue de: RO = 1,55 + 2,77 mm. y RD= 3,07+ 2,8 mm. con diferencia estadísticamente significativa entre los valores (p=0,001) y para maxilar inferior fue de: RO = 1,90 + 2,98 mm. y RD= 2,50+ 3,29 mm. sin diferencia estadísticamente significativa entre los valores (p= 0,26). **Conclusiones:** Las arcadas presentaron incremento del diámetro transversal, que fue evidenciado por ambos métodos de registro de medida. Los valores tomando reparos óseos presentaron menos variación e informan sobre las modificaciones del tejido óseo sin agregar las modificaciones de las inclinaciones de las piezas dentarias, que se manifiestan más en el maxilar superior.

DETERMINACIÓN INMUNOHISTOQUÍMICA DE LEPTINAS EN DISTINTOS TIPOS DE MÉDULA ÓSEA EN UN MODELO DE REPARACIÓN ÓSEA PERI-IMPLANTE

Basualdo MM*, Collet AM, Olmedo DG, Guglielmotti MB
Facultades de Odontología, UBA y UNT

La capacidad osteogénica de la médula ósea está regulada por la acción de citoquinas, hormonas, factores de crecimiento, mecanismos neuroendócrinos entre otros factores locales y sistémicos que intervienen en la reparación ósea, algunos de ellos varían con la edad y el sexo. En estudios previos hemos descripto un aumento del volumen óseo peri-implante en relación a la médula ósea a predominio adiposo (Bone38(5):S1-S17,2006). Se ha reportado que la leptina de los adipocitos de la médula ósea ejerce un rol modulador de la actividad de células osteogénicas. La expresión de leptinas en tejido óseo ha sido escasamente estudiada in vivo. **Objetivo:** Evaluar mediante marcación inmunohistoquímica, el patrón de expresión de leptinas en diferentes tipos de médula ósea y tejido óseo en ratas de diferentes edades y sexo. **Materiales y métodos:** Se utilizaron 40 ratas Wistar: de 1 mes (10 hembras -Grupo 1 y 10 machos -Grupo 2) y de 12 meses de edad (10 hembras -Grupo 3 y 10 machos -Grupo 4). Se colocó en una de las tibias de cada animal un implante laminar de titanio (Cabrini y col. Implant Dent.2(4):264-7,1993). Los animales se sacrificaron a los 30 días post-implante. Se estudiaron las tibias contralaterales no implantadas que fueron resecadas, fijadas en paraformaldehído al 4% en solución buffer fosfato de sodio 0,1M, pH 7.4, 48hs, descalcificadas con EDTA, e incluidas en parafina. Se utilizó IgG de conejo Ob(A-20)(Santa Cruz Biotech, CA, USA) como anticuerpo primario. Histológicamente se observó médula hematopoyética en los grupos de 1 mes y médula a predominio adiposo en los grupos de 12 meses. La marcación inmunohistoquímica mostró expresión de leptinas en osteoblastos, células de recubrimiento óseo, osteocitos, endotelios, megacariocitos y adipocitos en todos los grupos estudiados. En el modelo experimental utilizado, el mayor volumen óseo reportado anteriormente en el microentorno peri-implante con relación a la médula ósea a predominio adiposo, podría ser atribuido a la función endócrina de las leptinas secretadas localmente por los adipocitos, actuando directa o indirectamente sobre células madre de la médula ósea u osteoblastos. Implant Vel -Argentina / UBACyT O009.

PATOLOGÍAS INTERNAS DE ARTICULACIÓN TEMPORO MANDIBULAR. RELACIÓN ENTRE LA PERCEPCIÓN DEL PACIENTE Y EL DIAGNÓSTICO CLÍNICO

Páez R*, Delgado AM, Erbiti S, D'Urso M.
Gabinete de Disfunción Cráneo Mandibular CIUNT. Cátedra Bioestadística Facultad de Medicina

Objetivo: Relevar los distintos tipos de trastornos internos articulares en resonancias magnéticas de pacientes, y asociarlos con la percepción de signos y síntomas por parte del paciente, y con los detectados en el examen clínico. **Materiales y Método:** El diseño fue descriptivo de corte transversal. El grupo estuvo constituido por 143 pacientes que concurren al Gabinete por síntomas y signos de síndrome cráneo-mandibular. En la historia clínica, se registró: motivo de consulta, percepción del paciente según el lado afectado, signos y síntomas clínicos detectados por el profesional examinador (dolor articular, dolor de músculos faciales, ruidos articulares), y los resultados de la resonancia magnética de ATM. Se determinaron los diagnósticos, los que fueron agrupados según el lado y comparados con las percepciones del paciente y con el examen clínico. Los datos fueron asociados entre sí mediante test chi cuadrado con un grado de significación de 0,5. **Resultados:** del total de pacientes examinados (n=143) con un promedio de edad de 31,4, el 85% correspondía al sexo femenino. El principal motivo de consulta fue el dolor (55%), seguido por el ruido articular (24%). En el examen clínico se encontró dolor articular en el 74,6% de los pacientes; 79,7% presentaban ruidos, 37,3% limitación de apertura y 80,2% dolor muscular en alguno de los lados o en ambos. Según el examen de las resonancias, 71 % de las ATM derechas y un 68% de las izquierdas mostraban alguna patología articular. No se encontró diferencias significativas al asociar las distintas patologías con la edad según el lado del problema (p=0,347 en el derecho; p=0,463 izquierdo, test exacto). Tampoco se encontró asociación entre la presencia de dolor articular registrado por el examinador y la patología articular (p=0,20). Hay diferencias significativas entre los ruidos articulares y patología (p<0,0001) y dolores musculares y patología (p=0,01). **Conclusiones:** Para este grupo de pacientes, ambos sexos son afectados de la misma manera por las patologías articulares. Existe asociación entre la patología diagnosticada con los ruidos articulares y con los dolores musculares.

Objetivo: evaluar la morfología de la articulación y del disco, como así también su posición y relacionarlo con las distintas patologías articulares. **Material y método:** fueron evaluadas 81 resonancias magnéticas de ATM de pacientes con sintomatología de desorden cráneo-mandibular, sobre las que se trazó un calco sobre el que se midió las distintas variables. La eminencia articular fue clasificada según su morfología en 4 categorías: Caja, Sigmoidea, plana y deformada. El disco articular fue clasificado según su forma en: biconcavo, biplanar, biconvexo, hemiconvexo y arrugado. La posición del mismo como (a) superior, (b) anterosuperior, (c) anterior o (d) anteroinferior. Las patologías articulares fueron clasificadas en: Desplazamiento discal con recaptura (DDCR), Desplazamiento discal sin recaptura (DDSR), también fueron registradas aquellas articulaciones sanas (N). Todas las variables fueron agrupadas según si se encontraban en ATM derecha o izquierda. **Resultados:** Se analizaron resonancias de 162 articulaciones. En el grupo de pacientes, 86% pertenecen al sexo femenino y 14 % masculino, con una media de edad 30,9 años. Del total de articulaciones estudiadas, un 17% tenía forma de caja, 70% sigmoidea y 13% plana. El disco se presentó con forma bicóncava en un 52,5% de los casos, 10% biplano, 9,5% hemiconvexo, 10% biconvexo y 19% arrugado. Según patología, un 19% presentaba DDCR, un 15% DDSR y el resto (46%) estaban sanas. No se encontró diferencias significativas entre la edad y la presencia de trastornos internos según lado ($p=0,545$ en derecho y $p=0,261$ izquierdo) (Test Kruskal Wallis); ni según género ($p=0,459$ derecho y $p=0,337$ izquierdo) (Test chi cuadrado). No se encontró diferencias significativa entre la morfología de la eminencia articular y patología articular ($p=0,72$) (Test chi cuadrado), pero hubo asociación entre la morfología del disco y patología articular ($p<0,0001$), y entre la posición del disco y la patología ($p<0,0001$) (test chi cuadrado). **Conclusión:** la morfología articular no está asociada con la presencia de los distintos trastornos internos articulares; aunque si hay evidencias para afirmar que la morfología y posición discal están asociadas a ellos. Subsidio 26/ J414 CIUNT

OBJETIVO: analizar las diferencias de los factores traumáticos de origen dentario, protético y funcional en pacientes con Carcinoma bucal (CB), Ulcera Traumática Crónica (UTC) y lesiones traumáticas benignas de cavidad bucal. **MÉTODO:** se realizó un estudio retrospectivo de 282 pacientes de ambos sexos, edad de 18 a 80 años, con CB, UTC y lesiones benignas asociadas a trauma intraoral crónico (TIC). Cuando fue necesario, el diagnóstico fue confirmado por estudio histopatológico. Todos los pacientes fueron atendidos en la Cátedra de Clínica Estomatológica A, donde se hizo una historia clínica donde se registraron variables socioculturales, psicológicas, herencia medioambientales, médicas y odontológicas. El examen de la cavidad bucal fue realizado por estomatólogos calibrados, por inspección visual y palpación. Los factores traumáticos intraorales fueron clasificados en dentarios, protéticos y funcionales, y los datos fueron ajustados por trauma intraoral crónico. **RESULTADOS:** CB y UTC estuvieron asociados a factores protéticos, especialmente falta de estabilidad y retención de la prótesis. Asimismo, la UTC estuvo asociada principalmente a factores dentarios, particularmente dientes filosos. El trauma funcional se presentó comúnmente en relación a factores dentarios y protésicos. El tiempo de presencia del TIC estuvo altamente correlacionado con CB y UTC. **CONCLUSIÓN:** algunas variables indican diferencias entre los factores dentarios, protéticos y funcionales en relación a CB, UTC y lesiones benignas. El tiempo de acción del TIC es un factor importante a considerar en el desarrollo de CB y UTC.

ESTUDIO DE LOS FACTORES DE RIESGO EN LA EVOLUCIÓN DEL LIQUEN PLANO BUCAL

Scola M*, Gandolfo M, Masquijo P, Keszler A, Lanfranchi H.
Cátedra de Clínica Estomatológica. Cátedra de Anatomía Patológica. Facultad de Odontología. UBA

Las formas no reticulares del liquen plano bucal (LPB) son actualmente aceptadas como lesiones potencialmente malignas de la mucosa bucal. La displasia es una alteración estructural y citológica del epitelio que en muchos casos indica una etapa inicial de transformación maligna. No se encontró en la literatura un estudio de la evaluación de los factores de riesgo en la transformación en displasia de los líquenes no reticulares. El **objetivo** de este trabajo es evaluar los factores de riesgo (RR) tales como tabaco (Ta), alcohol (Al) e irritación traumática persistente (ITP) en lesiones displásicas de líquenes no reticulares. **Materiales y métodos:** Se estudiaron un total de 29 casos con diagnóstico clínico e histopatológico de LPB. De los mismos 51,7% (15) presentaron diagnóstico histopatológico de distintos grados de displasia epitelial fueron considerados como casos y 48,3% (14) que no presentaban ningún grado de displasia se consideraron como controles. Se estudio el riesgo relativo de la presencia de Ta, Al y ITP en los casos estudiados. **Resultados:** Se encontró que el consumo de tabaco fue 41% en liquen plano y de 21% en los casos de displasia con un $RR = 0,18$. El consumo de alcohol fue de 24% en los casos de LPB y de 17% en las displasias con un $RR = 0,63$. Cuando se evaluó la ITP el 37% se encontró en los casos de LPB y el 38% en las displasias con un $RR = 1,3$. **Conclusiones:** Los datos aquí obtenidos demuestran la importancia de considerar la irritación crónica permanente como un factor de riesgo a tener en cuenta para los odontólogos en pacientes con liquen plano bucal. Subsidio: UBACyT O013

CARACTERIZACIÓN ULTRAESTRUCTURAL DE LA SUPERFICIE DEL ESMALTE EN MOLARES PERMANENTES CON DIAGNÓSTICO DE HIPOMINERALIZACIÓN MOLAR-INCISIVA (MIH).

Bozal CB*, Ortolani A, Cortese GS, Biondi AM.
Cátedras de Histología y Embriología y de Odontología Integral Niños, FOUBA

La Hipomineralización Molar-Incisiva (MIH) es una entidad de etiología desconocida definida en los últimos años, que se caracteriza por la presencia de opacidades localizadas de color blanco, crema, amarillo o pardo en los primeros molares y en menor frecuencia en los incisivos permanentes. Si bien aún no existe consenso en relación a su tratamiento, la adhesión al esmalte hipomineralizado es débil, no habiendo publicaciones sobre la histología y composición iónica del esmalte afectado. **Objetivo:** Estudiar la ultraestructura y composición mineral de la superficie del esmalte de piezas con diagnóstico clínico de MIH por medio de microscopía electrónica de barrido (MEB) y análisis iónico (EDS). **Métodos:** Se utilizaron piezas dentarias con diagnóstico clínico de MIH leve y moderada, sin pérdida de esmalte, y con indicación de extracción por razones externas a este estudio. Se procesaron las muestras para MEB y se realizó la observación de ultraestructura con un microscopio ZEISS (Supra 40) y análisis de la composición mineral con detector EDS (Oxford Instruments). **Resultados:** El esmalte de las zonas no hipomineralizadas de las piezas con MIH mostró una superficie con representación prismática normal. La superficie del esmalte de la lesión hipomineralizada de color blanco-crema se presentó porosa con ocasionales grietas. La opacidad de color amarillo-pardo presentó mayor porosidad, con grietas de mayor tamaño, y presencia de gran cantidad de escamas. La composición mineral de la superficie mostró en las zonas de las lesiones una disminución del contenido de Ca y P y un aumento del de O y C, en comparación con la del esmalte normal. En el esmalte con opacidad de color amarillo-pardo se detectó la presencia de Mg, Zn y Rb, ausentes en la lesión de color blanco-crema y en el esmalte normal. **Conclusión:** Las piezas dentarias con diagnóstico de MIH, inclusive con superficies adamantinas clínicamente intactas, presentan severas alteraciones ultraestructurales y cambios en la composición iónica del esmalte afectado que podrían interferir con los mecanismos de adhesión. Subsidio UBACyT O 20020090200068

¿SERÁ LA QCT-MC EL MÉTODO DE DIAGNÓSTICO POR IMÁGENES MÁS FIABLE EN LA EVALUACIÓN DE LA ARQUITECTURA ÓSEA MANDIBULAR?

4Gubert M, 1Gómez Echarren MP, 3Bruno G, 4Monforte F, 4Caló C, 1Friedman SM, 4Lylyk P, 1,2Gamba CA*. Cátedras de 1Bioquímica, 2Histología y 3Radiología, Facultad de Odontología, UBA y 4Clínica Sagrada Familia, ENERI, Argentina.

La radiología es de mucha utilidad para el diagnóstico de las enfermedades óseas y articulares, proporcionando claves del comportamiento de las lesiones. Además de las radiografías simples, existen otros métodos radiográficos auxiliares que nos ayudan a diagnosticarlas. Dentro de los métodos que utilizan radiaciones ionizantes y nos permiten la cuantificación de la masa ósea, fueron de interés para este estudio la DXA (densitometría ósea) y la QCT-MC (cuantificación tomográfica multicorte). **Objetivo:** Confrontar al DXA, método de diagnóstico actualmente considerado "Gold Standard" para la evaluación de la osteopenia y osteoporosis, versus la QCT obtenida por TCM-64 en un modelo experimental de ratas en crecimiento. **Métodos:** Ratas Wistar macho (n=12) al destete loteadas por peso en 2 grupos: Control (C) y experimental (E), con un peso promedio inicial sin diferencias significativas ($p > 0.05$), recibieron a libre demanda: C dieta stock para roedores (pellets) y E una dieta que reduce el volumen óseo ($p < 0.05$) durante 7 semanas (Tf) en las que se monitorearon antropometría y consumo dieta. A Tf con los animales anestesiados se realizó la adquisición tomográfica multislice (Philips Brilliance 64CT), realizándose luego el análisis por QCT (eFilm Workstation 2.1) de la mandíbula, midiéndose en unidades Hounsfield=UH. Posteriormente, mediante el análisis de la mandíbula aislada (DXA, Lunar DPX) se cuantificó el contenido mineral óseo (CMO en mg) y se estimó la densidad (DMO en mg/cm²). Análisis estadístico: test t de Student (nivel de significación $p < 0.05$). **Resultados:** A Tf no hubo diferencias zomométricas ni en el consumo de dieta ($p > 0.05$). Las hemimandíbulas de E mostraron una reducción altamente significativa ($p < 0.0001$) del CMO y la DMO versus C. Las UH de diferentes zonas mandibulares mostraron una reducción significativa en E ($p < 0.05$) frente a los valores de C. **Conclusión:** Estos datos sugieren que la QCT multicorte permite evaluar la densidad ósea en la mandíbula, con mínimas dosis de radiación, no siendo esto posible por DXA.

BIOESTADÍSTICA Y METODOLOGÍA DE LA INVESTIGACIÓN. UN ACERCAMIENTO AL PERFIL EPISTEMOLÓGICO DEL PROFESIONAL EGRESADO

García MH*, Egido P, Vacca F, Cerutti R, González DA.
FOUBA/ Cátedra de Biofísica

La asignatura Bioestadística y Metodología de la Investigación forma parte del sexto año del pregrado en FOUBA. Durante la cursada, los alumnos elaboran grupalmente (4 a 5 participantes) un proyecto de investigación, en una temática que les resulte de interés, sin restricciones en esta elección. El docente actúa como tutor científico, pudiendo el grupo, además, contar con la asesoría temática de alguien externo a la cátedra. **Objetivo:** Dada la ubicación de esta asignatura en la currícula, postulamos que el trabajo elaborado por los alumnos refleja su perfil epistemológico en cuanto a sus inquietudes disciplinares y el grado de adquisición o manejo de herramientas de búsqueda de información científica. **Método:** Relevamos la totalidad de todos los trabajos pertenecientes a los años 2007, 2008, 2009 y 2010. Para ello, tuvimos en cuenta: el área temática de la propuesta, la existencia de asesoría externa a la cátedra, el manejo de bibliografía en cuanto a tipo de publicación e idioma y la unidad experimental utilizada para confeccionar el protocolo. **Resultados:** Analizando las áreas temáticas, se observan preferencias por Materiales Dentales, Odontología Preventiva, y Estomatología. Las áreas con menor cantidad de trabajos son aquellas relacionadas con asignaturas básicas, como Microbiología y Farmacología. El análisis temporal muestra el corrimiento a otras temáticas como Implantología. En cuanto al diseño experimental, existe una fuerte tendencia a la práctica clínica con pacientes. Aunque la mayoría de la bibliografía citada corresponde a trabajos científicos, existen citas de libros de texto en castellano utilizados durante la carrera. Más de la mitad de las citas relevadas son de trabajos en inglés. La mayoría de los grupos recurrió a docentes/profesionales de otras cátedras para asesorarse. **Conclusiones:** Estos resultados pueden ser útiles como base para diseñar refuerzos curriculares que apunten a fortalecer la formación de pregrado en las áreas que se han detectado como deficitarias (inglés, acceso y lectura de publicaciones científicas). Por otro lado, las preferencias temáticas y el buen vínculo que establecen los alumnos con sus asesores, deberían tenerse en cuenta a la hora de proyectar políticas de promoción de la investigación clínica entre los egresados.

INTRODUCCIÓN. El objetivo de este trabajo fue evaluar las modificaciones de pH y la difusión del ion calcio a través de la dentina radicular de pastas de hidróxido de calcio y MTA usando clorhexidina como vehículo. **MATERIALES Y METODO:** Se emplearon 45 dientes humanos (premolares inferiores) recientemente extraídos, a los que se les seccionó las coronas a nivel cemento-adamantino, y se instrumentaron utilizando técnica escalonada (step-back) la longitud de trabajo fue determinada visualizando la lima a través del foramen y disminuyendo 0.5 mm. de esta medida; irrigando con NaOCl 1% y como irrigación final EDTA 17%, eliminándola con agua destilada. Luego de secar los conductos con puntas de papel, se removió el cemento con curetas de Gracey y se obturaron los mismos con diferentes pastas: 1)- Ca (OH)₂ + Gluconato de Clorhexidina 0,1%, 2)- Ca (OH)₂ + Gluconato de Clorhexidina 0,01%, 3) Ca (OH)₂ + Agua destilada, 4) MTA + Gluconato de Clorhexidina 0,01%, 5) MTA + Gluconato de Clorhexidina 0,1%, 6) MTA + Agua destilada, 7) Agua destilada (control), 8) Gluconato de Clorhexidina 0,1%, 9) Gluconato de Clorhexidina 0,01%. El ápice y la apertura coronaria se sellaron con IRM. Las raíces se colocaron individualmente en tubos Eppendorf con 1 mL de agua destilada. A los 7 y 14 días se retiraron las piezas de los tubos y se analizó el contenido del ion calcio en la solución por espectrofotometría de absorción atómica. Además, se midió el pH pre y post con pHmetro digital (Broadley-Yames Corp, Irvine, Calif). Los datos obtenidos se analizaron estadísticamente con el test T para muestras independientes y ANOVA. **RESULTADOS:** Todas las pastas de hidróxido de calcio se comportaron de manera similar en la liberación de iones calcio y variaciones de pH ($p \geq 0.05$). Estadísticamente se evidenciaron diferencias significativas ($p \leq 0.05$) entre las pastas de hidróxido de calcio y MTA siendo mayor la liberación de calcio como así también la modificación de pH para las primeras tanto a los 7 como a los 14 días. **CONCLUSION:** Las pastas de hidróxido de calcio presentaron una mayor difusión de iones calcio con respecto al MTA en ambos periodos de tiempo.

Las co-infecciones bucales (enfermedades periodontales) son prevalentes en individuos VIH+, y se correlacionan con los niveles de carga viral. Sin embargo, el potencial de los microorganismos bucales para inducir una reactivación del virus en pacientes bajo tratamiento antirretroviral no ha sido estudiado. **Objetivo:** Determinar la capacidad predictiva de variables clínicas, bioquímicas y microbiológicas de estado periodontal sobre el estado de fallo a la terapia antirretroviral en pacientes VIH+. **Materiales y métodos:** La población estará constituida por pacientes VIH+ bajo tratamiento antirretroviral. Los criterios de inclusión consistirán en: individuos de 21 a 60 años, con diagnóstico de infección por VIH, y bajo tratamiento antirretroviral. Los criterios de exclusión consistirán en individuos con menos de 10 piezas dentarias, con enfermedades sistémicas o bajo tratamientos farmacológicos o de otro tipo no asociados con la infección por VIH, o bajo medicación antibiótica, previo al examen basal o durante el período del estudio. Sobre una muestra de 90 pacientes, se realizarán un examen basal que incluya los siguientes procedimientos: entrevista estructurada para determinación de: características socio demográficas, prácticas de higiene bucal, patrón de utilización de servicios odontológicos, hábitos, factores de riesgo vinculados con la infección por VIH; historia médica para determinación de tiempo y tipo de medicación antirretroviral, tiempo de diagnóstico, historia de episodios de internación y de enfermedades oportunistas; determinación de carga viral y recuento de CD4; examen clínico (recolección de biofilm subgingival para determinación de presencia de los siguientes microorganismos: *P. gingivalis*, *P. intermedia*, *F. nucleatum*, *A. actinomycetemcomitans*, mediante PCR cualitativo (Ashimoto, 1996; Avila-Campos, 1999); recolección de fluido crevicular para determinación IL-1 β , TNF y PgE₂ mediante ELISA. Cada 4 MESES se registrarán los valores correspondientes a la carga viral y al recuento de CD4, y una actualización de la historia médica. Cada 6 meses, se realizarán similares determinaciones clínicas y de laboratorio ODONTOLÓGICAS. Se determinarán distribución de frecuencia y medidas de tendencia central y dispersión para cada indicador. Se realizarán procedimientos de análisis multivariado tomando como variable dependiente los niveles de linfocitos CD4 y la carga viral.

El **objetivo** de este trabajo fue evaluar la frecuencia de fracasos de Implantes Oseointegrados en la Zona Posterior del Maxilar Superior en Pacientes con Reabsorción Ósea Severa sin Injerto.

Métodos. Se realizó un estudio longitudinal de 8 años de 57 pacientes (27 hombres-30 mujeres) con rango de edad de 33 a 71 años. Se realizaron un total de 134 implantes en área de premolar-molar de maxilares superiores severamente reabsorbidos. En una primera etapa quirúrgica, los implantes fueron colocados paralelos a la pared anterior del seno para nasal (A; n=40), en la curvatura del paladar inclinados en forma similar a la raíz palatina del primer molar superior (P; n=37), en la tuberosidad del maxilar superior próxima a la pared posterior del seno paranasal (T; n=40) y en la lámina vertical del paladar (V; n=17), dependiendo del hueso disponible. La instalación de los implantes fue llevada a cabo según el protocolo "ad modum Brånemark". En 2ª etapa quirúrgica (6 meses) se realizó la conexión transmucosa de las fijaciones oseointegradas instaladas. El tratamiento protético fue comenzado en todos los pacientes a las 3 semanas después de la conexión transmucosa. **Resultados:** del total de los implantes realizados se observó en sólo 3 pacientes 3 implantes fracasados al momento de la conexión transmucosa (2,24%). En cuanto a la calidad de hueso que se observó en la mayoría de los pacientes prevaleció (57,89%) el tipo III. Además se observó que en los sitios A y T la mayoría de los implantes (51,25%) eran de 15 mm en cuanto a su longitud mientras que en el sitio V el 58,82% de los implantes realizados eran de 18 mm.

Conclusión. El método descrito para el tratamiento de arcos edéntulos representa una alternativa terapéutica de tratamiento entre otros que se aplican para solucionar esta problemática. Este procedimiento quirúrgico mínimamente invasivo podría ser aplicado en pacientes ambulatorios para el tratamiento de las porciones posteriores de los arcos maxilares superiores severamente reabsorbidos con el objeto de rehabilitar con prótesis fija implanto soportada.



SOCIEDAD ARGENTINA DE INVESTIGACIÓN ODONTOLÓGICA
DIVISIÓN ARGENTINA DE LA INTERNATIONAL ASSOCIATION FOR DENTAL RESEARCH

XLIII REUNIÓN ANUAL

ÍNDICE POR AUTORES

- Abate, C. 58, 143
Abel, V. 76, 85, 93, 102
Abratte 246
Abújder, M. 29
Abusamra, L. 294
Actis, A. 39, 138, 228
Acuña, M. 157
Adler, I. 34
Aguas, S. 34
Agüero, N. 184
Agüero Romero, G. 111
Aguirre, L. 86
Aguzzi, A. 150, 218, 219, 226
Alaminos, M. 123
Alavar, M. 20, 21, 173
Alarcon Laurenzana, S. 282
Albaina, O. 168
Albarraçín, S. 145, 195, 198, 210, 214, 215, 217
Albiero, E. 135, 235
Alcaraz, F. 216
Alcazar, V. 127
Alderete, M. 253, 254, 255
Alessandrello, H. 110, 271
Alfaro, G. 177
Alippi, R. 221, 236
Allegreti, P. 152, 153
Alsina, E. 229, 234
Alvaredo, G. 45
Alvarez 189, 276
Alvez, L. 75
Amer, M. 128, 158, 233
Ameri, C. 230
Antuña, V. 18
Aragón, H. 129, 130, 131, 155
Aramburu, G. 196, 197, 219, 226
Arapé, N. 49
Arena, A. 272
Argentieri, A. 277
Arias, S. 76, 77, 85, 92, 93, 102
Aromando, R. 35, 280
Arregger, A. 223
Arriaga, A. 25, 144, 204
Astesana, P. 235
Atala, J. 33, 78
Atlas, D. 293
Attorresi, B. 257
Auad, M. 130, 155
Augusto, G. 252
Avagnina, A. 34
Avellaneda, R. 130, 131, 155
Aybar Odstreil, A. 117
Azcona, M. 174
Azcona, S. 42
Azcurra, A. 26, 142, 175
Aznares, M. 216
Azzarri, M. 77
Bachmeier, E. 55, 220, 240
Barbero, S. 209
Barbosa, B. 115
Barembaum, S. 26, 142, 175
Baró, M. 156

Barra, J. 133, 134
Barrios, C. 194
Bas, C. 36
Basal, R. 177
Bass Puer, A. 165, 266
Basualdo, M. 285
Battilana, E. 200
Baudo, J. 152, 153
Bazán, M. 130, 155
Becerra, A. 100
Behr, G. 110
Belardinelli, P. 41, 126
Bella, M. 184
Belone, A. 40
Beltramone, L. 190
Benitez Roge, S. 283, 284
Bermolen, M. 171
Bernasconi, A. 113
Bernat, M. 171, 172
Berta, M. 196, 197
Bertolino, M. 47
Bertolotto, P. 39, 138
Bertone, A. 261
Biassi, T. 132
Biondi, A. 11, 47, 180, 290
Blanc, F. 41, 126
Blanco, N. 213
Blasco, F. 154
Boccio, I. 18
Bogado, Z. 194
Boiero, C. 63
Bojanich, M. 167, 175
Bolesina, N. 41, 126, 133
Bonetto, L. 164
Bonnin, C. 5
Bono, A. 159
Bontá, H. 160
Borda, E. 56, 61, 225, 237
Bordoni, N. 22, 23, 51, 279
Borges, J. 74, 84, 187
Borjas, M. 46, 249
Bosco, A. 42
Bosqued, R. 38
Bottcher, S. 222
Boyer, P. 231
Bozal, C. 64, 67, 290
Bozza, F. 32
Bozzini, C. 239
Bozzini, S. 221, 231
Bozzoni, C. 236
Bozzoni, CE. 236
Brain, L. 2, 3, 7
Brandizzi, D. 19, 36, 149
Brasca, N. 5, 189, 276
Bravo, D. 37
Bregains, L. 25, 144, 209
Brewer, V. 92
Brezzo, M. 134
Britos, M. 157
Bronstein, M. 272
Bruno, G. 66, 291
Bruno, I. 38
Bruno, M. 13
Brunotto, M. 42, 68, 133, 134, 159, 186, 288, 295
Brusca, M. 27, 168
Budeguer, A. 29
Bulacio, M. 82
Buldo, M. 244
Busamia, B. 135, 235
Busch, L. 163
Bustos, S. 80
Butler, T. 176, 177, 230
Cabirta, L. 112, 114
Cabral, H. 265
Cabral, R. 2, 3, 7
Cabrera, I. 59
Cabrese, D. 283, 284
Cabrini, R. 13, 19, 36, 149
Cachia, A. 178
Caetano, A. 40
Cajal, J. 29
Calafell, C. 14
Calamari, S. 26, 142, 175
Calderón, R. 167
Caló, C. 66, 291
Calvimonte, C. 140
Calvo, C. 59
Cambría Ronda, S. 46
Campos, A. 121, 123
Campos-Sanchez, F. 122
Canals, N. 135
Canga, E. 157
Cano, V. 79
Cantarini, L. 210, 214, 215, 217
Canzobre, M. 65, 111

Capuano, C. 24, 44, 50, 182
Caraballo, J. 148
Caramelo, P. 110
Carames, R. 174
Carbó, L. 174
Cardinale, M. 222
Cardoso, E. 223
Caride, F. 160
Carletto-Köber, F. 179, 202
Carracedo, E. 174
Carranza, M. 25, 125
Carranza, N. 160
Carranza, V. 125
Carrilho, M. 4
Carvalho, A. 132
Casadoumecq, A. 53, 241, 268
Casariego, Z. 230
Casavalle, P. 235
Casim, D. 271
Castillo, B. 209
Castillo, G. 142, 175, 209
Castillo, J. 36
Castillo, M. 209
Catalán, P. 253, 254, 255, 256
Cattaneo, M. 230
Cecho, A. 206
Cecilia, M. 170
Centeno, V. 248
Cerutti, R. 292
Cesteros, R. 9
Champín, G. 221, 231
Chávez Lozada, J. 258
Cheein, E. 82
Chelala, M. 29
Chiappe, V. 15
Ciancia Mansur, A. 170
Ciarenza, A. 158
Cilleros 23
Cobanera, A. 48
Cocco, L. 213
Colla, R. 39, 138
Collante, C. 282
Collet, A. 285
Condis, G. 190
Conill, J. 201
Conti, M. 239
Contreras, L. 223
Copello, M. 190
Corbalán, M. 276
Córdoba, J. 253, 254, 255, 256
Coria, S. 211z
Cornejo, L. 179, 184, 193, 204
Coromina, E. 216, 222, 224
Coronel, C. 26
Correa, D. 80
Cortese, S. 11, 47, 180, 290
Cortizo, A. 81
Cortizo, MC. 81
Cortizo, MS. 81
Coscarelli, N. 145, 195, 198, 210, 214, 215, 217
Costa, O. 62
Croharé, L. 272
Cruz, M. 181
Cruz, S. 20, 21, 173
Cuenya, P. 293
Cuesta, A. 30
Cuffini, C. 17
D'Atri, P. 13
D'Eramo, L. 51, 52, 275, 294
D'Urso, M. 216, 286, 287
Damante, J. 40
De Caso, C. 70
De Couto Pita, A. 225
De la Cal, C. 180
De la Casa, M. 170, 293
De la Cruz, G. 63
De la Vega, M. 69
De Leonardi, A. 226
De Lucca, R. 120
De Vito Moraes, A. 4
Defagó, M. 228
Delgado, A. 20, 21, 163, 173, 286
Denninghoff, V. 34
Dericia, J. 134
Di Baja, F. 80
Di Benedetto, S. 257
Di Croce, D. 53, 241, 268
Di Girolamo, G. 213
Di Salvi, N. 152, 153
Dias, M. 136
Díaz, A. 141, 178
Díaz, S. 83
Ditter, E. 38
Dmytrenko, G. 239
Doliani, M. 83
Dominguez, G. 152, 153, 206

Doño, R. 277
Doro 14
Dos Santos, M. 34
Duarte, S. 137
Echrte, J. 151
Edelberg, M. 79
Egido, P. 227, 292
Elverdín, J. 128, 158, 233, 238, 244
Encina, M. 200
Erimbaue, M. 82, 199
Erbiti, S. 286
Escandriolo Nackauzi, J. 39, 138, 144, 228
Escribano, M. 267
Escudero, M. 112, 119
Esmoris, M. 9
Españon, C. 76, 85, 93, 102
Esper, M. 14, 251, 281
Evjanian, G. 1, 175, 242, 273
Fadel, P. 246
Farah, C. 180
Farah, MA. 2, 3, 7
Farah, MI. 2, 7
Faustino, S. 37, 132
Fazio, M. 201
Femopase, F. 264
Fernandez, C. 24, 44, 46, 182, 249
Fernández, E. 41, 126
Fernández, J. 216
Fernández, M. 243
Fernández, P. 131
Fernández, V. 86
Fernandez de Mele, M. 176
Fernández Lorenzo, M. 81
Fernández Monjes, J. 97
Fernández-Solari, J. 233, 238
Ferrari, B. 10
Ferrari, L. 191
Ferraris, M. 121, 123, 125
Ferraro, S. 13
Ferreira, M. 161
Ferreira, P. 162
Ferrería, J. 166
Ferreira Montiero, A. 234
Ferreira, S. 69, 83, 156
Ferreira de Prato, R. 57, 188
Ferro, M. 20, 29
Feser, G. 16, 18
Filipa, F. 262
Filsinger, A. 80, 295
Finkelberg, A. 55, 135, 220, 232, 235, 240
Finquelievich, J. 261
Finten, S. 86
Flesia, A. 139
Flesia, G. 139, 140
Folco, A. 283, 284
Fontana, S. 141
Fontanetti, P. 248
Fracapani, M. 201
Friedman, S. 54, 66, 234, 291
Friso, E. 177
Fuchs, A. 275
Fuks, D. 164
Funes Alvarez, M. 270
Funosas, E. 16, 18
Furci, N. 44
Fuster, J. 17
Fuster Roselló, L. 17
Gabrielidis, A. 201
Gaido, I. 39, 138
Gait, M. 141
Gaiteri, M. 190
Gallarà, R. 228, 245, 248
Galleano, S. 257
Gallego, M. 200
Galli, F. 160
Galván, L. 82
Gamba, C. 66, 291
Gambardella, L. 283, 284
Gandolfo, M. 59, 247, 289
Gani, O. 1, 63, 70, 72, 73
Ganzinelli, S. 237
Garabalino, M. 60
Garat, J. 113, 117, 118
García, A. 34
García, E. 4
García, G. 14
García, M. 227, 251, 281
García, MH. 292
Garometta, E. 69
Garzón, I. 122, 123
Garrofé, A. 10
Giacco, C. 59
Giaquinta, M. 201
Giambartolomei, L. 42
Giannunzio, G. 166

Gianna, V. 79
Gigena, P. 184
Gil Deza, M. 170
Gilligan, G. 142
Gilligan, J. 127
Gimenez, E. 33, 78, 137, 139, 140
Gioino, G. 72, 73
Girardi, M. 5, 276
Girgenti, J. 257
Gliosca, L. 32, 169
Gobbi, C. 135, 235
Gómez, A. 100
Gómez, J. 194
Gómez, M. 15
Gómez Abuin, G. 36
Gomez Borus, C. 202
Gómez de Ferraris, M. 25, 105, 144, 185
Gómez Echarren, M. 66, 291
Gonzales Chaves, M. 54, 229
Gonzalez, A. 22, 265
González, C. 264
González, D. 227, 292
González, M. 28, 29, 32, 181
González-Ittig, R. 179
Gordillo, M. 129, 130, 131
Goubat, A. 80
Goya, J. 114, 116
Granato, M. 257
Grande, R. 4
Granillo, B. 31
Grenat, A. 269
Grenón, M. 164
Grilli, S. 249
Grosso, C. 202
Gubert, M. 66, 291
Guerra, D. 162
Guglielmonti, M. 128, 285
Gulino, M. 16, 18
Gutiérrez, M. 246
Gutiérrez, S. 20, 29
Guz, P. 45
Guzmán, H. 143, 146
Guzmán Montesana, G. 41
Haro, M. 23
Heber, E. 35, 60, 280
Hecht, P. 229
Hernández, J. 6, 96
Hernando, L. 202, 242, 274
Hero, F. 82
Herrera, A. 184, 189
Herrera, G. 41, 126
Hecht, P. 47, 180
Hidalgo, J. 88
Hilas, E. 184
Hubert, S. 219
Huygens, P. 221
Iantosca, A. 213
Ibañez, R. 131
Ienco, M. 47
Iglesias, M. 9, 43, 283, 284
Irazuzta, M. 209
Irigoyen, S. 145, 195, 198, 210, 214, 215, 217
Iriquin, M. 103, 104, 106, 107, 108, 109, 203
Iriquin, S. 103, 104, 106, 107, 108, 109, 203
Isla, C. 80
Itoiz, M. 35, 280
Jammal, M. 58, 143, 146
Jerez, M. 246
Jewtuchowicz, V. 30, 32, 261
Jimenez, M. 122, 179
Joison, A. 208
Jordán, S. 76, 77, 85, 93, 102
Juárez, D. 20
Juarez, R. 88, 94
Juárez, T. 253, 254, 255, 256
Kaplan, A. 10, 12, 49, 95, 111
Keszler, A. 149, 154, 289
Klass, C. 16
Klemonsks, G. 22, 182
Kowalski, L. 37, 132
Kraemer, E. 91
Kreimann, E. 35
Krummer, M. 31
Kruse, I. 196, 197
Labbrozzi, M. 59
Lacave, M. 64
Lamas, S. 32
Landman, G. 37, 132
Lanfranchi, H. 59, 149, 247, 289
Lapalma, M. 99, 100, 101, 183, 192
Larghi, C. 276
Lastra Fukunaga, V. 275, 294
Latyn, K. 282

Lavandei 171
Lavandeira, P. 171
Lawall, M. 115
Lazo, G. 177
Lazo, S. 177
Lazos, J. 68, 134, 288
Lecumberri, R. 52, 271
Ledesma, P. 112, 114
Leiva Centeno, A. 276
Lenarduzzi, A. 244
Lence, A. 247
Lerman, A. 110
Lescano de Ferrer, A. 175
Levin, B. 27, 30, 32
Lewicki, M. 67, 112
Lewin, P. 62, 148, 181
Lewinter, M. 282
Lezón, C. 231
Lima, A. 74, 75, 84
Linares, J. 55, 220, 232, 240
Lissera, R. 196, 197
Llupart, L. 246
Loguercio, A. 4
Lombardo, M. 24
López, G. 293
López, M. 55, 129, 130, 155, 220, 240
López, S. 41
López de Blanc, S. 126
Lopez Miranda, L. 117
Lopez Sivilat, F. 80
Lorenzo, M. 196, 197
Lozza Manzziotti, M. 252
Lucero, M. 184
Lucero, V. 209
Luján, G. 272
Lumi, M. 283
Luppi, L. 69
Lutri, P. 89, 90
Lylyk, P. 66, 291
Maccarone, G. 169
Maino, A. 178
Malaspina, E. 9
Malberti, A. 141, 232
Maldonado, C. 26
Maldonado, M. 48
Mandalunis, P. 54, 66, 71, 111, 112, 114, 116,
119, 124, 158, 211, 231, 234, 239
Mandozzi, M. 185, 212, 273
Mandozzi, V. 274
Manzano, M. 276
Manzano Fernandez, M. 189
Marchegiani, S. 235
Marega, G. 212, 246, 273
Maresca, B. 97
Marí, G. 16
Mariani, M. 232
Marigo Klein, L. 34
Marotte, C. 54
Marquís, P. 209
Martín, A. 117, 257
Martínez, B. 38
Martinez, C. 122, 173
Martinez, D. 148
Martínez, J. 137
Martínez, K. 47
Martínez, L. 204
Martínez, M. 38, 105, 175, 239
Martínez, S. 194
Masoli, C. 24, 44, 182
Masquijo, P. 289
Massa Díaz, I. 270
Mateu, M. 110, 283, 284
Maurino, N. 166
Mazzeo, M. 55, 220, 240
Mazzola, I. 2, 3
Medici, S. 51
Medina, F. 148
Medina, M. 145, 195, 198, 210, 214, 215, 217
Meheris, H. 117, 118
Melo, J. 136
Mena Serrano, A. 4
Mendel, M. 47
Mendes, C. 103, 104, 106, 107, 108, 109
Mendez, F. 75
Mendonça, C. 75
Meneses, A. 252
Menso, J. 14
Mentesana, G. 126
Merletti, S. 253, 254, 255, 256
Merlo, D. 177
Miguel, L. 213
Miguel, R. 213
Milat, E. 103, 104, 108, 109
Miller 60
Mina, S. 186
Miozza, V. 163

Mirotti, G. 91
Missana, L. 58, 143, 146
Mitre, P. 118
Módena, J. 181
Mohn, C. 233, 244
Molgatini, S. 27, 30, 32, 169, 172
Molina, G. 2, 3, 154
Molinari, A. 35, 60
Moncunill, I. 133, 184
Monetti, M. 265
Monforte, F. 66, 291
Montserrat, N. 90
Montañéz, D. 147
Monti Hughes, A. 60
Monzón, J. 157
Morales Abújder, M. 29
Morasso, A. 48
Mordoh, A. 247
Moreira Barros, I. 74, 84, 187
Morelato, R. 41, 126
Moreno, M. 14
Mosconi, E. 145, 195, 198, 210, 214, 215, 217
Moura, R. 136
Muiño, A. 34
Muiño, J. 34
Mujica, M. 261
Mulbani, P. 279
Musso, G. 14
Naigeboren, M. 199
Nardi, A. 262
Nasso, P. 249
Navarro, A. 287
Navarro Guitart, M. 188
Needleman, M. 50
Negrini, F. 45
Neves, R. 87
Nicolosi, L. 62, 148, 181
Nieto, M. 62
Nonogaki, S. 37
Noste, J. 257
Nuñez, F. 66
Oberti, T. 81
Ocampo, M. 33, 78
Ochonga, G. 175
Ojea, A. 231
Olguín, A. 6, 96
Oliveira, D. 37, 40, 122
Olivera, M. 57, 231, 236
Olmedo, A. 140
Olmedo, D. 13, 19, 285
Olmedo, L. 33, 137, 144
Ormaechea, R. 250
Orman, B. 56
Ortolani, A. 11, 47
Osilio, M. 196, 197
Ossola, C. 233, 238
Oviedo, J. 14
Oviedo Arévalo, J. 103, 104, 106, 107, 108, 109
Oyhanart, S. 211
Ozuna, A. 252
Ozvatic, B. 59
Paéz, R. 286, 287
Pajón, A. 147
Palacios, N. 172
Palacios, S. 151
Palma, G. 189, 276
Panei, P. 208
Panero, M. 80
Pani, M. 117
Panico, R. 142
Paparella, M. 19, 36
Papel, G. 145, 195, 198, 210, 214, 215, 217
Parodi, R. 265
Pascucci, J. 201
Passera, C. 189
Pastorino, N. 58, 146
Pastrana Sánchez, S. 189
Pavan, V. 47
Paz, A. 76, 92, 93, 102
Pazo, J. 223
Pazos, F. 177
Pecci, A. 15
Pedemonte, Z. 45
Peláez, A. 166
Pelizardi, C. 283, 284
Pellegrini, G. 54, 234
Peñaloza, M. 21
Peñalva, M. 206, 207
Peralta, G. 98, 165, 266
Pereira, A. 136
Pereira, L. 74, 75, 84, 87, 187
Pérez, L. 253, 254, 255, 256
Pérez, MA. 280
Pérez Moreno, L. 36
Pesce, E. 201
Pescio, J. 147

Piacenza, A. 165, 266, 267
Picasso, E. 221
Picca, M. 10, 43, 49
Piconi, C. 90
Piemonte, E. 288
Piloni, M. 154
Pinciroli, D. 208
Pintos, P. 231
Piovano, S. 22, 23, 44, 182
Piovesan, S. 250
Pira, D. 200
Pisterna, G. 178
Pistochini, A. 249, 277
Plavnik, L. 141, 232, 266
Pola, S. 261
Poletto, A. 137, 140
Polop, D. 125
Pólvara, B. 213
Ponce, R. 248
Ponton, J. 168
Porta, J. 276
Pozzi, E. 60
Pozzo, C. 48
Prado, L. 74, 84, 187
Prestifilippo, J. 238
Priotto, E. 89, 209
Probe, C. 45
Pujadas Bigi, N. 119
Pulitano Manisagian, G. 120
Quintero, A. 18, 57
Quinteros Villarruel, E. 56
Quiroz, G. 53, 268
Quiroz, M. 88, 94
Raguso, M. 92
Rama, A. 50
Ramirez Molina, R. 95
Ramos, L. 50
Rancich, L. 103, 104, 106, 107, 108, 109
Recio, M. 209
Reina, S. 61
Rettori, V. 233
Revigliano, M. 100, 101, 192
Reynoso, A. 99, 100, 101, 183, 192
Rezzónico, M. 209
Rhys, K. 235, 262, 269, 270
Ribeiro, L. 87
Ribotta de Albera, E. 17
Ricco, V. 218
Rico, R. 78
Riera, C.
Rimoldi, M. 103, 104, 106, 107, 108, 109
Ríos, A. 5
Ríos, C. 236
Ríos, H. 65
Rivas, N. 227
Rocamundi, M. 156, 165, 266, 267
Rodríguez, C. 15
Rodríguez, G. 117
Rodriguez, I. 121, 122, 123, 246
Rodriguez, M. 122, 123
Rodriguez, N. 253, 254, 255, 256
Rodríguez, P. 229, 244
Roqué Montilla, C. 252
Rolón, M.
Romanelli, H. 15
Romano, S. 216
Romero, S. 287
Roriz, V. 136, 161, 162
Rosa, A. 172
Rosino, V. 6, 96
Rosmino, F. 172
Rossi, G. 22, 24, 71, 124
Rostagno, M. 208
Rotemberg, E. 250
Rozas, C. 89, 91
Rubinstein, J. 202
Rubio, M. 62, 148, 181
Rubio, S. 14
Rueda, L. 145, 195, 198, 205, 210, 214, 215, 217
Rugani, M. 125
Ruggieri, M. 39, 138
Ruiz, G. 100
Ruiz Díaz de Centeno, E. 88, 94
Ruiz Holgado, N. 117
Sabaté, R. 97
Saez, M.
Sainz Aja, M. 3
Salas, A. 190
Salveraglio, I. 250
Sanbartolomeo, P. 206
Sánchez, G. 51, 52, 53, 97, 163, 241, 271, 275, 294

Sánchez, H. 101, 164, 192
Sanchez, L. 64, 67, 211
Sanchez, M. 122
Sánchez Dagum, E. 185, 212, 273
Sánchez Dagum, M. 185, 212, 273, 274
Sanchez Quevedo, M. 123
Sanjuan, N. 28
Sano, S. 247
Santana, M. 20, 173
Santini 36
Santos, M. 37
Santos, P. 75
Sanz, A. 212, 273, 274
Sapienza, M. 213
Saporitti, F. 205, 210, 214, 215, 217
Sarmiento, V. 74, 84, 187
Sarudiansky, A. 62
Sayago, A. 283, 284
Scatena, G. 142, 175
Scherier, L. 229
Scherma, M. 196, 197
Schreiner, A. 262
Schwint, A. 35, 280
Scola, M. 149, 289
Seara, S. 195, 198, 205, 210, 214, 215, 217
Sebelli, P. 47, 191
Secchi, D. 134, 142
Segovia, M. 237
Sembaj, A. 265
Senn, L. 68
Serabián, R.
Serrano, V. 230
Sezin, M. 89, 90, 91
Sica, M. 100
Sica Sanchez, M. 273
Silva, V. 161
Simonian, M. 80
Singh, F. 131
Sivak, M. 128
Smaisik, K. 250
Soares, C. 40
Solari, E. 230
Solari, J. 233
Somaglia, L. 171, 172
Sorazabal, A. 50, 277
Sorbera, J. 8, 252
Sorbera, L. 25
Sorbera Ferrer, L. 144
Soria, N. 118
Sorokin, S. 133
Soto, A. 16
Sotomayor, C. 142
Soubhia, A. 115
Spaccesi, J. 98
Spadiliero de Lutri, M. 89, 90, 91, 242
Spielberg, M. 19
Spoleti, M. 178
Spoleti, P. 178
Squassi, A. 46, 49, 51, 52, 71, 124, 271, 275, 294
Steehan, F. 100, 101, 192
Steehan, R. (h) 99, 100, 183
Stefani, C. 136
Steimberg, C. 216
Sterin-Borda, L. 56, 61, 225, 237
Stolbizer, F. 154, 166
Struck, M. 208
Suárez, C. 234
Suayter, I. 21, 224
Surkin, P. 233, 238
Surrac 257
Susmann, T. 189
Takara, D. 53, 241, 268
Tamburelli, M. 36
Tarifa, S. 274
Tasat, D. 13
Taveira, L. 115
Teixeira, G. 87
Tejerina, D. 27
Tellez, N. 12
Terrizzi, A. 239
Thorp, S. 60
Tirao, G. 150
Tjioe, K. 40
Tolcachir, B. 175, 245
Tomas, L. 145, 195, 198, 205, 210, 214, 215, 217
Tomasetti, V. 151
Toral, M. 22, 44
Tortolini, P. 14
Tosti, S. 152, 153, 206
Trivillín, V. 35, 280
Tumilasci, E. 223
Turcot, L. 32, 169, 171, 172

Ubios, A. 64, 67, 119, 120
Ulthon, A.
Uribe Echevarría, J. 89, 90, 91, 121
Urquía Morales, C. 5, 258
Usin, M. 14, 265
Vacca, F. 292
Vacas, M. 128, 158
Valdés, C. 257
Valente, M. 150
Vallejos, A. 86
Varela, A. 250
Vázquez, C. 125
Velazco, M. 59
Vera, M. 147
Vera Cucciaro, V. 175
Verde, M. 164
Verdú, S. 110
Verduci, P. 193
Vieira, A. 87
Vila, V. 194
Villalba, A. 272
Villalba, C. 242
Villalba, L. 154
Villagra, A. 208
Villarino, M. 120
Vilotta, S. 171, 172
Viramonte, M. 25
Virga, C. 150, 218, 219, 226
Visvisián, C. 1, 70
Vitantonio 216
Vizcovic, C. 177
Vuoto, E. 46, 249
Wang, L. 132
Werner, L. 59
Wietz, F. 55, 220, 240
Winik, B. 146
Winter, G. 148
Wiscovi, L. 129, 155
Ximenes Oliveira, C. 121
Ybarra, O. 16
Zago, V. 229
Zamberlin, J. 171
Zarate, A. 134, 209
Zaya, M. 7
Zeni, S. 54
Zemel, M. 213
Zimmermann, E.



DENTAL S.D.



*Al servicio de
la odontología*

DUARTE QUIRÓS 58 - 5000 CORDOBA
TEL./FAX (0351) 423-5633 / 427-2943
E-mail: dental@dinfovia.com.ar
www.dentald.com

JN | **JUAN
NOVACEK
S.A.**



Omar Dental



GRIMBERG

*"La calidad hace
la diferencia"*



home | institucional | novedades | contactenos

droguerías | farmacias

Lerma 426 - Cap. Fed. (C1414) Bs. As. - Tel.: (011) 4777-2022 / Fax: (011) 4773-2310 - contactenos@grimbergdentales.com

Colgate®

Sensitive Pro-Alivio®

FÓRMULA PRO-ARGIN™

*Alivio Instantáneo y Duradero
de la Sensibilidad*

DESENSIBILIZANTE



Colgate®



RECOMENDADA POR ODONTÓLOGOS